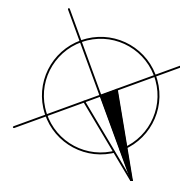


objednatel



MĚSTSKÁ ČÁST PRAHA 5  
NÁM. 14. ŘÍJNA 1381/4  
PRAHA 5, PSČ 150 22



GENERÁLNÍ PROJEKTANT



PROJEKTOVÁ, INŽENÝRSKÁ  
A KONZULTAČNÍ ORGANIZACE  
DESIGN, ENGINEERING AND CONSULTING ORGANIZATION

S–JTSK

± 0,000 = 224,67 m n.m.

Bpv

<b>PROJEKTOVÁ, INŽENÝRSKÁ A KONZULTAČNÍ ORGANIZACE</b> CERTIFIKÁT ISO 9001 VPÚ DECO PRAHA a.s., PODBABSKÁ 1014/20, 160 00 PRAHA 6 DIČ CZ60193280 www.vpupraha.cz					
PROJEKTANT	VYPRACOVAL	KONTROLA	HL.INŽ.PROJEKTU	ATELIÉR POZEMNÍCH STAVEB	
Ing. Ivan Brych	Ing. Ivan Brych	Ing. Vratislav Klíma	Ing. Jan Polívka	ČÍSLO ZAKÁZKY	2–0480–00/20
<b>ZŠ a MŠ Kořenského, objekt Pod Žvahovem 463/21, PRAHA 5–Hlubočepy–rekonstrukce objektu SO 110 ; SO 120 ; SO 130 B00 – Stavebně konstrukční řešení</b>				DOKUMENTACE	DUR–DSP
				MĚŘITKO	
				DATUM	06.2018
				POČET FORMÁTŮ	10 A4
OBSAH PŘÍLOHY <b>Statický výpočet</b>				ČÁST	ČÍSLO PŘÍLOHY
				<b>D</b>	<b>04</b>
				KÓD	ČÍSLO KOPIE

# **B.00 – STAVEBNĚ KONSTRUKČNÍ ŘEŠENÍ**

## **STATICKÝ VÝPOČET**

**Stavba:** „ZŠ a MŠ KOŘENSKÉHO, OBJEKT POD  
ŽVAHOVEM 463/21 - REKONSTRUKCE OBJEKTU“  
**Místo:** Pod Žvahovem 463/21, Praha 5-Hlubočepy  
**Objednatel:** Městská část Praha 5,  
nám. 14. Října 1381/4, 150 22, Praha  
**Vypracoval:** Ing. Ivan Brych  
**Stupeň PD:** DSP - dokumentace pro staveb. povolení  
**Datum zpracování:** 07/2017  
**Počet stran:** 218

## Obsah

1. Předmět statického výpočtu.....	9
2. Seznam použitých podkladů, ČSN, technických předpisů, odborné literatury, software .....	9
3. Materiál.....	10
4. Popis konstrukce .....	10
4.1. Stávající konstrukce.....	10
4.2. Navržené konstrukce.....	10
5. Zatížení.....	12
5.1. Vlastní tíha.....	12
5.2. Tíha technologie .....	18
5.3. Užitná zatížení.....	20
5.4. Zatížení klimatická .....	21
5.4.1 Zatížení větrem.....	21
5.4.2. Zatížení sněhem.....	32
5.4.3. Zatížení teplotou.....	34
5.5. Zatížení geotechnická .....	34
6. Výsledky výpočtu .....	37
6.1. Posouzení nosné konstrukce_110_hlavní budova .....	37
6.1.1. Model konstrukce.....	37
<b>Celý model je staticky neučitý, složen z 2D prvků (stěny a desky) a 1D prvků (krokve zastřešení). .....</b>	<b>37</b>
<b>Vodorovné konstrukce:.....</b>	<b>37</b>
<b>Desky řešeny jako 2D element klasickou deskovou rovnicí (Mindlin. teorie), kloubově uloženy na svislé stěny. ....</b>	<b>37</b>
<b>Deska schodiště řešena jako 2D element klasickou deskovou rovnicí (Mindlin. teorie). kloubově uložena na vodorovnou desku podest a základovou desku. Desky podest pak kloubově do bočních stěn. ....</b>	<b>37</b>
<b>Základová deska na terénu (řešena stejně jako ostatní desky) je podepřena celoplošnou pružnou podporou simulující uložení na základovou zeminu pomocí Winklerova modelu. Uvažované konstanty odpovídají předpokládanému podloží v dané hloubce (cca. 8,5m pod terénem), tedy zvětralé břidlice, třídy R3: <math>C_{1,z}=100,000 \text{ MPa/m}</math> , <math>C_{1,x}= C_{1,x} =33,300 \text{ MPa/m}</math> , <math>C_{2x}= C_{2x} =16,670 \text{ MPa/m}</math>.....</b>	<b>37</b>
<b>Svislé konstrukce:.....</b>	<b>37</b>
<b>Stěny řešeny jako 2D element klasickou stěnovou rovnicí, ke vodorovným deskám stropu připojeny kloubově. ....</b>	<b>37</b>
<b>Ocel. sloup je řešen jako klasický nosník prutovou rovnicí (dle B.-N. hypotézy) pro prostý ohyb+tlak, staticky určitý. Uložení na základovou podporu a podepření střešní desky kloubové.....</b>	<b>37</b>
6.1.2. Protokol o výpočtu .....	38
6.1.3. Materiály .....	38
6.1.4. Průřezy a tl. ....	38
6.1.5. Zatěžovací stavy .....	38
6.1.6. Kombinace .....	38
6.1.7. Reakce podpor.....	41
<b>Lineární výpočet, Extrém : Globální .....</b>	<b>41</b>
<i><math>R_z</math> [kN]-reakce v uložení vnitřních průvlaků na žb. věnec 300x250 a 240x250 na vnitřní stěně .....</i>	<i>41</i>
6.1.8. Analýza vnitřních sil, průhyby. ....	42

<i>mx</i> D+ min. [kNm/m] .....	42
<i>mx</i> D- min. [kNm/m] .....	43
<i>mx</i> D- max. [kNm/m] .....	43
<i>my</i> D+ min. [kNm/m] .....	44
<i>my</i> D+ max. [kNm/m] .....	44
<i>my</i> D- min. [kNm/m] .....	45
<i>my</i> D- max. [kNm/m] .....	45
<i>mx</i> D+ min. [kNm/m] .....	46
<i>mx</i> D- min. [kNm/m] .....	47
<i>mx</i> D- max. [kNm/m] .....	47
<i>my</i> D+ min. [kNm/m] .....	48
<i>my</i> D- min. [kNm/m] .....	49
<i>my</i> D- max. [kNm/m] .....	49
<i>mx</i> D+ min. [kNm/m] .....	50
<i>mx</i> D- min. [kNm/m] .....	51
<i>mx</i> D- max. [kNm/m] .....	51
<i>my</i> D+ min. [kNm/m] .....	52
<i>my</i> D- min. [kNm/m] .....	53
<i>my</i> D- max. [kNm/m] .....	53
<i>mx</i> D+ min. [kNm/m] .....	54
<i>mx</i> D- min. [kNm/m] .....	55
<i>mx</i> D- max. [kNm/m] .....	55
<i>my</i> D+ min. [kNm/m] .....	56
<i>my</i> D- min. [kNm/m] .....	57
<i>my</i> D- max. [kNm/m] .....	57
<i>mx</i> D+ min. [kNm/m] .....	58
<i>mx</i> D- min. [kNm/m] .....	59
<i>mx</i> D- max. [kNm/m] .....	59
<i>my</i> D+ min. [kNm/m] .....	60
<i>my</i> D- min. [kNm/m] .....	61
<i>my</i> D- max. [kNm/m] .....	61
<i>N<sub>x</sub></i> [kN] .....	62
<i>mx</i> D+ min. [kNm/m] .....	63
<i>mx</i> D- min. [kNm/m] .....	64
<i>mx</i> D- max. [kNm/m] .....	64
<i>my</i> D+ min. [kNm/m] .....	65
<i>my</i> D- min. [kNm/m] .....	66
<i>my</i> D- max. [kNm/m] .....	66
6.1.9. Posouzení .....	67
<b>Materiálové charakteristiky: dřevěné konstrukce krovu, dle EN 338-pevnostní třída C22 .....</b>	<b>67</b>
<b>K<sub>mod</sub>=0,8 - pro kombinaci stálého , střednědobého (užitné) a krátkodobého zatížení (vítr, sníh) .....</b>	<b>67</b>
<b>K<sub>def</sub> =0,8 – v třídě provozu 2 .....</b>	<b>67</b>
<i>nutná plocha dolní výztuže A<sub>s,x</sub> [mm<sup>2</sup>] .....</i>	<i>68</i>
<i>nutná plocha dolní výztuže A<sub>s,y</sub> [mm<sup>2</sup>] .....</i>	<i>69</i>
<i>nutná plocha horní výztuže A<sub>s,x</sub> [mm<sup>2</sup>] .....</i>	<i>70</i>
<i>nutná plocha horní výztuže A<sub>s,y</sub> [mm<sup>2</sup>] .....</i>	<i>71</i>
<i>nutná plocha dolní výztuže A<sub>s,x</sub> [mm<sup>2</sup>] .....</i>	<i>72</i>
<i>nutná plocha dolní výztuže A<sub>s,y</sub> [mm<sup>2</sup>] .....</i>	<i>72</i>
<i>nutná plocha horní výztuže A<sub>s,x</sub> [mm<sup>2</sup>] .....</i>	<i>73</i>

<i>nutná plocha dolní výztuže <math>A_{s,y}</math> [mm<sup>2</sup>]</i> .....	73
<i>nutná plocha vnitřní výztuže <math>A_{s,y}</math> svislá [mm<sup>2</sup>]</i> .....	74
<i>nutná plocha vnější výztuže <math>A_{s,y}</math> svislá [mm<sup>2</sup>]</i> .....	75
<i>nutná plocha vnitřní výztuže <math>A_{s,x}</math> vodorovná [mm<sup>2</sup>]</i> .....	76
<i>nutná plocha vnitřní výztuže <math>A_{s,x}</math> vodorovná [mm<sup>2</sup>]</i> .....	77
<i>nutná plocha vnitřní výztuže <math>A_{s,y}</math> svislá [mm<sup>2</sup>]</i> .....	78
<i>nutná plocha vnější výztuže <math>A_{s,y}</math> svislá [mm<sup>2</sup>]</i> .....	79
<i>nutná plocha vnitřní výztuže <math>A_{s,x}</math> vodorovná [mm<sup>2</sup>]</i> .....	80
<i>nutná plocha vnitřní výztuže <math>A_{s,x}</math> vodorovná [mm<sup>2</sup>]</i> .....	81
<i>nutná plocha vnitřní výztuže <math>A_{s,y}</math> svislá [mm<sup>2</sup>]</i> .....	82
<i>nutná plocha vnější výztuže <math>A_{s,y}</math> svislá [mm<sup>2</sup>]</i> .....	83
<i>nutná plocha vnitřní výztuže <math>A_{s,x}</math> vodorovná [mm<sup>2</sup>]</i> .....	84
<i>nutná plocha vnitřní výztuže <math>A_{s,x}</math> vodorovná [mm<sup>2</sup>]</i> .....	85
<i>nutná plocha vnitřní výztuže <math>A_{s,y}</math> svislá [mm<sup>2</sup>]</i> .....	86
<i>nutná plocha vnější výztuže <math>A_{s,y}</math> svislá [mm<sup>2</sup>]</i> .....	87
<i>nutná plocha vnitřní výztuže <math>A_{s,x}</math> vodorovná [mm<sup>2</sup>]</i> .....	88
<i>nutná plocha vnitřní výztuže <math>A_{s,x}</math> vodorovná [mm<sup>2</sup>]</i> .....	89
<i>nutná plocha dolní výztuže <math>A_{s,x}</math> [mm<sup>2</sup>]</i> .....	90
<i>nutná plocha dolní výztuže <math>A_{s,y}</math> [mm<sup>2</sup>]</i> .....	90
<i>nutná plocha horní výztuže <math>A_{s,x}</math> [mm<sup>2</sup>]</i> .....	91
<i>nutná plocha horní výztuže <math>A_{s,y}</math> [mm<sup>2</sup>]</i> .....	91
<i>nutná plocha dolní výztuže hlavní <math>A_{s,x}</math> [mm<sup>2</sup>]</i> .....	92
<i>nutná plocha dolní výztuže rozdělovací <math>A_{s,y}</math> [mm<sup>2</sup>]</i> .....	93
<i>nutná plocha horní výztuže hlavní <math>A_{s,x}</math> [mm<sup>2</sup>]</i> .....	94
<i>nutná plocha horní výztuže rozdělovací <math>A_{s,y}</math> [mm<sup>2</sup>]</i> .....	95
<i>nutná plocha dolní výztuže <math>A_{s,x}</math> [mm<sup>2</sup>]</i> .....	96
<i>nutná plocha dolní výztuže <math>A_{s,y}</math> [mm<sup>2</sup>]</i> .....	97
<i>nutná plocha horní výztuže <math>A_{s,x}</math> [mm<sup>2</sup>]</i> .....	98
<i>nutná plocha horní výztuže <math>A_{s,y}</math> [mm<sup>2</sup>]</i> .....	99
<b>6.2. Posouzení nosné konstrukce_120_venkovní toalety</b> .....	<b>101</b>
6.2.1. Model konstrukce .....	101
6.2.2. Protokol o výpočtu .....	101
6.2.3. Materiály .....	102
6.2.4. Průřezy .....	102
6.2.6. Kombinace .....	106
6.2.7. Reakce podpor .....	107
<b>Lineární výpočet, Extrém : Globální</b> .....	<b>107</b>
<i><math>R_z</math> [kN]-reakce v uložení vnitřních průvlaků na žb. věnec 300x250 a 240x250 na vnitřní stěně</i> .....	107
<i><math>R_z</math> [kN]-reakce pod obvodovými sloupky</i> .....	109
<i><math>M_y</math> [kNm]</i> .....	110
<i><math>V_z</math> [kN]</i> .....	110
<i><math>N_x</math> [kN]</i> .....	111
<i>def [mm]</i> .....	111
<i><math>N_x</math> [kN]</i> .....	112
<i><math>M_y</math> [kNm]</i> .....	113
<i><math>V_z</math> [kN]</i> .....	113
<i>def [mm]</i> .....	114
<i><math>M_y</math> [kNm]</i> .....	115
<i><math>N_x</math> [kN]</i> .....	116
<i>def [mm]</i> .....	116

$N_x$ [kN] .....	117
$M_y$ [kNm] .....	118
$def$ [mm] .....	119
6.2.9. Posouzení .....	120
<b>Materiálové charakteristiky: dřevěné konstrukce, dle EN 338-pevnostní třída C22 120</b>	
<b>K<sub>mod</sub>=0,8 - pro kombinaci stálého , střednědobého (užitné) a krátkodobého zatížení (vítr, sníh) .....</b>	<b>120</b>
<b>K<sub>def</sub> =0,8 – v třídě provozu 2 .....</b>	<b>120</b>
<b>Materiálové charakteristiky: ocelové konstrukce .....</b>	<b>120</b>
6.2.10. Předběžný výkaz-výměr .....	131
6.3. Posouzení nosné konstrukce_130_venkovní učebna .....	132
6.3.1. Model konstrukce .....	132
6.3.2. Protokol o výpočtu .....	132
6.3.3. Materiály .....	133
6.3.4. Průřezy .....	133
6.3.5. Zatěžovací stavy .....	138
6.3.6. Kombinace .....	138
6.3.8. Reakce podpor .....	141
<b>Lineární výpočet, Extrém : Globální .....</b>	<b>141</b>
$R_z$ [kN]-reakce v uložení základových trámů .....	141
6.3.8. Analýza vnitřních sil, průhyby .....	144
$M_y$ [kNm] .....	144
$V_z$ [kN] .....	144
$N_x$ [kN] .....	145
$def$ [mm] .....	145
$M_z$ [kNm] .....	146
$N_x$ [kN] .....	146
$N_x$ [kN] .....	147
$M_y$ [kNm] .....	148
$M_z$ [kNm] .....	148
$V_z$ [kN] .....	149
$V_y$ [kN] .....	149
$N_x$ [kN] .....	150
$def,x$ [mm] .....	151
$def,y$ [mm] .....	151
$M_y$ [kNm] .....	152
$def$ [mm] .....	153
6.3.9. Posouzení .....	154
<b>Materiálové charakteristiky: dřevěné konstrukce, dle EN 338-pevnostní třída C22 154</b>	
<b>K<sub>mod</sub>=0,8 - pro kombinaci stálého , střednědobého (užitné) a krátkodobého zatížení (vítr, sníh) .....</b>	<b>154</b>
<b>K<sub>def</sub> =0,8 – v třídě provozu 2 .....</b>	<b>154</b>
6.3.10 Předběžný výkaz-výměr .....	166
6.4. Posouzení zastřešení atrie_110_hlavní objekt .....	167
6.4.1. Model konstrukce .....	167
6.4.2. Protokol o výpočtu .....	167
6.4.3. Materiály .....	167
6.4.4. Průřezy .....	168
6.4.5. Zatěžovací stavy .....	170

6.4.6. Kombinace .....	170
6.4.7. Reakce podpor .....	172
<b>Lineární výpočet, Extrém : Globální .....</b>	<b>172</b>
<i>R<sub>z</sub> [kN]-reakce v uložení sekundárních nosníků do bočních stěn .....</i>	<i>172</i>
<i>R<sub>z</sub> [kN]-reakce pod ocel. sloupky zastřešení atria .....</i>	<i>174</i>
<i>R<sub>z</sub> [kN]-reakce pod ocel. sloupky světliku .....</i>	<i>175</i>
<i>R<sub>z</sub> [kN]-reakce pod zděným. pilířem .....</i>	<i>176</i>
6.4.8. Analýza vnitřních sil, průhyby .....	177
<i>My [kNm] .....</i>	<i>177</i>
<i>Vz [kN] .....</i>	<i>177</i>
<i>def [mm] .....</i>	<i>178</i>
<i>My [kNm] .....</i>	<i>179</i>
<i>Vz [kN] .....</i>	<i>179</i>
<i>def [mm] .....</i>	<i>180</i>
<i>My [kNm] .....</i>	<i>181</i>
<i>Vz [kN] .....</i>	<i>181</i>
<i>Nx [kN] .....</i>	<i>182</i>
<i>My [kNm] .....</i>	<i>183</i>
<i>Vz [kN] .....</i>	<i>183</i>
<i>Nx [kN] .....</i>	<i>184</i>
<i>def [mm] .....</i>	<i>184</i>
<i>Nx [kN] .....</i>	<i>185</i>
6.4.9. Posouzení .....	186
6.4.10. Předběžný výkaz-výměr .....	191
6.5. Posouzení nosné konstrukce_110_hlavní budova_základy zastřešení atria .....	192
6.5.1. Model konstrukce .....	192
<b>Celý model je staticky neučitý, složen z 2D prvků (desky) a 1D prvků (obvodové žebro).....</b>	<b>192</b>
<b>Vodorovné konstrukce:.....</b>	<b>192</b>
<b>Základová deska na terénu (řešena stejně jako ostatní desky) je podepřena celoplošnou pružnou podporou simulující uložení na základovou zeminu pomocí Winklerova modelu. Uvažované konstanty odpovídají předpokládanému podloží v dané hloubce (cca. 8,5m pod terénem), tedy hutněnému štěrkovému násypu: C<sub>1,z</sub>=75,000 MPa/m , C<sub>1,x</sub>= C<sub>1,x</sub> =25,000 MPa/m , C<sub>2x</sub>= C<sub>2x</sub> =12,500 MPa/m. ....</b>	<b>192</b>
6.5.2. Protokol o výpočtu .....	192
6.5.3. Materiály .....	193
6.5.4. Průřezy a tl. ....	193
6.5.5. Zatěžovací stavy .....	193
6.5.6. Kombinace .....	193
6.5.7. Reakce podpor .....	195
<b>Lineární výpočet, Extrém : Globální .....</b>	<b>195</b>
6.5.8. Analýza vnitřních sil, průhyby .....	195
<i>mxD+ min. [kNm/m] .....</i>	<i>195</i>
<i>mxD- min. [kNm/m] .....</i>	<i>196</i>
<i>mxD- max. [kNm/m] .....</i>	<i>196</i>
<i>myD+ min. [kNm/m] .....</i>	<i>197</i>
<i>myD+ max. [kNm/m] .....</i>	<i>197</i>
<i>myD- min. [kNm/m] .....</i>	<i>198</i>
<i>myD- max. [kNm/m] .....</i>	<i>198</i>

<i>q<sub>max</sub></i> - max. [kN/m]	199
6.5.9. Posouzení	200
<i>nutná plocha dolní výztuže <math>A_{s,x}</math> [mm<sup>2</sup>]</i>	200
<i>nutná plocha dolní výztuže <math>A_{s,y}</math> [mm<sup>2</sup>]</i>	201
<i>nutná plocha horní výztuže <math>A_{s,x}</math> [mm<sup>2</sup>]</i>	202
<i>nutná plocha horní výztuže <math>A_{s,y}</math> [mm<sup>2</sup>]</i>	203
6.6. Posouzení nosné konstrukce_110_hlavní budova_přístavba jídelny	205
6.7. Posouzení nosné konstrukce nové ploché střechy (nad přístavbou pavilonu)	207
6.7.1. Model konstrukce	207
6.7.2. Protokol o výpočtu	207
6.7.3. Materiály	207
6.7.4. Průřezy	207
6.7.5. Zatěžovací stavy	207
6.7.6. Kombinace	207
6.7.7. Reakce podpor	208
<b>Lineární výpočet, Extrém : Globální</b>	<b>208</b>
Krajní levý trakt.	208
Krajní pravý trakt.	208
6.7.8. Analýza vnitřních sil, průhyby.	208
Krajní levý trakt.	208
Krajní pravý trakt.	208
6.7.9. Posouzení	208
Návrh: stropní panel: PPD 165 (5x9,3) tl. 160mm – všechny trakty	208
MSU: Krajní levý trakt. L=6200 mm	208
MSU: Střední trakt. L=6100 mm	208
MSP: Krajní levý trakt. L=6200 mm	208
MSP: Krajní pravý trakt. L=6100 mm	208
6.8. Posouzení nosné konstrukce stávající ploché střechy (nad pavilonem)	209
6.8.1. Model konstrukce	209
6.8.2. Protokol o výpočtu	209
6.8.3. Materiály	209
6.8.4. Průřezy	209
6.8.5. Zatěžovací stavy	209
6.8.6. Kombinace	210
6.8.7. Reakce podpor	210
<b>Lineární výpočet, Extrém : Globální</b>	<b>210</b>
<i>R<sub>z</sub> [kN]-reakce uložení na obvodové a vnitřní průvlak</i>	210
6.8.8. Posouzení/kontrola stávající žb. monolit desky	210
Tl. desky se nachází v intervalu 80/160 mm (nepotvrzeno STP), druh poloha a množství výztuže STP ve fázi DSP nezjišťováno. V další fázi STP-DPS bude podrobněji doplněno a na základě těchto informací pak bude provedeno opětovné hodnocení a přijata další opatření (ponechání v provozu se stávajícím průřezem a vyztužením, doplnění výztuže např. uhlík lamelami nebo uložení VZT jednotek na roznášecí ocel. rošt atd.)	
<i>My [kNm]</i>	210
dolní/horní výztuž:	211
6.9. Posouzení nosné konstrukce průvlaku a sloupů	212
6.9.1. Model konstrukce	212
6.9.2. Protokol o výpočtu	212
6.9.3. Materiály	212



6.9.4. Průřezy .....	213
6.9.5. Zatěžovací stavy .....	214
6.9.6. Kombinace .....	214
6.9.7. Reakce podpor .....	214
<b>Lineární výpočet, Extrém : Globální .....</b>	<b>214</b>
$R_z$ [kN] .....	214
6.9.8. Analýza vnitřních sil, průhyby. ....	215
$M_y$ [kNm] .....	215
$V_z$ [kN] .....	215
6.9.9. Posouzení .....	216
6.10. Posouzení a výsledky výpočtu .....	218
<b>7. Závěr .....</b>	<b>218</b>

## POZN.:

Projektová dokumentace je zpracována dle přílohy č. 6 k vyhlášce č. 499/2006 Sb.  
 Novelizace ze dne 28. 2. 2013.

## 1. Předmět statického výpočtu

Předmětem statického výpočtu je návrh a posouzení hlavních nosných konstrukcí u 110\_hlavní budovy (nová výtahová a schod. šachta, zastřešení atria ocel. konstrukcí a změna dispozice s přístavbou pavilonu jídelny). Dále pak celé nové objekty 120\_venkovních toalet a 130\_venkovní učebna (obě konstrukce těžké dřev. skelety).

## 2. Seznam použitých podkladů, ČSN, technických předpisů, odborné literatury, software

- [1] ČSN EN 1990 Eurokód: Zásady navrhování konstrukcí
- [2] ČSN EN 1991-1-1 Eurokód 1: Zatížení konstrukcí – Část 1-1: Obecná zatížení – Objemové tíhy, vlastní tíha a užitná zatížení pozemních staveb
- [3] ČSN EN 1991-1-2 Eurokód 1: Zatížení konstrukcí – Část 1-2: Obecná zatížení – Zatížení konstrukcí vystavených účinkům požáru
- [4] ČSN EN 1991-1-3 Eurokód 1: Zatížení konstrukcí – Část 1-3: Obecná zatížení – Zatížení sněhem
- [5] ČSN EN 1991-1-4 Eurokód 1: Zatížení konstrukcí – Část 1-4: Obecná zatížení – Zatížení větrem
- [6] ČSN EN 1991-1-5 Eurokód 1: Zatížení konstrukcí – Část 1-5: Obecná zatížení – Zatížení teplotou
- [7] ČSN EN 1992-1-1 Eurokód 2: Navrhování betonových konstrukcí – Část 1-1: Obecná pravidla a pravidla pro pozemní stavby
- [8] ČSN EN 1993-1-1 Eurokód 3: Navrhování ocelových konstrukcí – Část 1-1: Obecná pravidla a pravidla pro pozemní stavby
- [9] ČSN EN 1997-1-1 Eurokód 2: Navrhování geotechnických konstrukcí – Část 1-1: Obecná pravidla
- [10] Systém programů pro projektování prutových a stěnodeskových konstrukcí SCIA Engineer 2007.1.212, SCIA CZ s.r.o.
- [11] Microsoft Office 2007
- [12] Obecná technická specifikace pro prefa překlady RZP a předpjat. panely SPIROLL

### 3. Materiál

#### 110 hlavní budova

Žb. konstrukce:

- podzemní stěny a základová deska na terénu, schodiště, plochá střecha C25/30-XC2-S4-Dmax22
- stěny nad terénem z bednicích dílců BD20 vyplněné bet. C25/30-XC1-S4-Dmax22

Ocel. konstrukce zastřešení atria:

- ocel třídy S235JR dle ČSN EN 10025,

Prefa konstrukce přístavby pavilonu jídelny:

- předpjaté stropní panely SPIROLL tl. 160mm z C45/55
- žb. prefa průvlak a sloupy z C30/37-XC1-S4

Obvodové zdivo přístavby opavilonu jídelny:

- broušené cihelné bloky tl. 500mm (např. POROTHERM)

#### 120 venkovní toalety

Dřev. konstrukce:

- běžné konstrukční řezivo dle EN 338 třídy C22

#### 130 venkovní učebna

Dřev. konstrukce:

- běžné konstrukční řezivo dle EN 338 třídy C22

### 4. Popis konstrukce

#### 4.1. Stávající konstrukce.

Podrobněji v rozsahu dle části A00. 120 a 130 jsou novostavby bez zásahu do jakékoliv stávající konstrukce. Pro realizaci 110 dojde pouze k místním úpravám stávajících konstrukcí (např. dodatečné vybourání otvorů a překladů, vybourání kapsy do stávajícího zdiva pro uložení ocel. nosníku). Využity (k uložení ocel. nosníků atria) budou i stávající zděné pilíře z CP b x h , 600 x 500 mm. Jediným významnějším zásahem bude u přístavby pavilonu jídelny změna vnitřní dispozice spočívající ve vybourání střední stěny a nahrazení žb. prefa průvlakem a trojicí sloupků a vybourání stávající příčné nosné obvodové stěny (ve směru prodloužení budovy).

#### 4.2. Navržené konstrukce.

##### SO 110 hlavní budova

Základová konstrukce nové schod. a výtah. šachty žb. deska na terénu tl. 250mm z C25/30-XC2-S4-Dmax22. Podzemní stěny výtahové šachty a schodiště budou z žb. monolitických stěn tl. 400mm (stěny vystavené zemnímu tlaku) a 200mm (stěny přiléhající k jiné, bez vystavení zemnímu tlaku) z C25/30-XC2-S4-Dmax22. Stěny nad terénem budou z bednicích dílců BD 20, celkové tl. 200mm vyplněné betonem C25/30-XC1-S4-Dmax22. Zastřešení (pultová střecha) z žb. monolitické desky tl. 150mm z C25/30-XC1-S4-Dmax22.

Zastřešení atria soustavou ocel. válcovaných nosníků z S235, střecha plochá ve středu se „stanovým světlíkem“. Zastřešení je uloženo částečně na obvodové zdivo okolních objektů a částečně na vlastních sloupech, taktéž z ocel. válcovaných profilů a stávajících zděných pilířích uzavírajících prostor atria. Základová deska na terénu žb. monolitická tl. 130mm z C25/30-XC2-S4-Dmax22.

Základové pasy pod obvodovým zdívkem přístavby pavilonu jídelny (prodloužení) z C16/20-XC0, šířky 0,65 metru do hloubky 0,9 metru pod terén (stejně jako stávající základové konstrukce). Základový pas pod vnitřní řadou sloupů (pod středním průvlakem) je stejný. Základová deska na terénu tl. 130mm z C25/30-XC2-S4-Dmax22. Obvodové zdivo z broušených cihelných bloků tl. 500mm. Žb. prefa sloupy 240x240 a průvlak 240x240 z C30/37-XC1, strop/plochá střecha přístavby (plynule navazuje na stávající část) z předpjatých stropních panelů SPIROLL tl. 160mm z C45/55.

#### SO 120 venkovní toalety

Nosná konstrukce venkovních toalet je řešena jako těžký dřev. skelet na půdorysu 8-mi. úhelníku se stanovou střechou. Veškeré prvky jsou z plných dřev. průřezů (hranoly) z běžného řeziva třídy C22.

#### SO 130 venkovní učebna

Nosná konstrukce venkovní učebny je řešena jako těžký dřev. skelet na půdorysu obdélníka se sedlovou střechou. Veškeré prvky jsou z plných dřev. průřezů (hranoly) z běžného řeziva třídy C22.

## 5. Zatížení

### 5.1. Vlastní tíha

Uvažována dle objemové hmotnosti příslušného materiálu.

Součinitel zatížení  $\gamma_{Gj,\text{sup}} = 1,35$ ,  $\gamma_{Gj,\text{inf}} = 1,0$ .

5.1.1. 110\_hlavní budova:

5.1.1.1 střecha nad přístavbou schodiště:

-PVC-P folie, tl. 1,5 mm  $= 0,00 \text{ KNm}^{-2}$

-spádová vrstva střechy z EPS tl.40mm/100mm (střed. tl. 70mm)  $= 0,03 \text{ KNm}^{-2}$

-spodní pás z modifik. asf. pásu  $= 0,05 \text{ KNm}^{-2}$

---

$$g_k 5.1.1.1 = 0,08 \text{ KNm}^{-2}$$

nosná konstrukce střechy

-dřev. krokve 100/180 po cca. 780mm  $= 0,12 \text{ KNm}^{-2}$

---

$$g_k 5.1.1.1.0 = 0,12 \text{ KNm}^{-2}$$

5.1.1.2 podlaha podesty a mezipodesty schodiště:

-nášlap. vrstva  $= 0,30 \text{ KNm}^{-2}$

---

$$g_k 5.1.1.2 = 0,30 \text{ KNm}^{-2}$$

nosná konstrukce podesty, mezipodesty a výtah. šachty

-žb. monolit. deska tl. 150mm  $= 3,75 \text{ KNm}^{-2}$

---

$$g_k 5.1.1.2.0 = 3,75 \text{ KNm}^{-2}$$

5.1.1.3 schodišťové rameno:

-nášlap. vrstva ;  $= 0,30 \text{ KNm}^{-2}$

-nabet. stupně  $= 1,87 \text{ KNm}^{-2}$

---

$$g_k 5.1.1.3 = 2,17 \text{ KNm}^{-2}$$

nosná konstrukce podesty a mezipodesty

-žb. monolit. deska tl. 150mm  $= 3,75 \text{ KNm}^{-2}$

---

$$g_k 5.1.1.3.0 = 3,75 \text{ KNm}^{-2}$$

5.1.1.4 nosná konstrukce podlahy výtah šachty:

-žb. monolit. deska tl. 250mm  $= 6,25 \text{ KNm}^{-2}$

---

$$g_k 5.1.1.4.0 = 6,25 \text{ KNm}^{-2}$$

5.1.1.5 nosná konstrukce podzem. stěny tl. 400mm:	
-žb. monolit. deska tl. 400mm	= 12,5 KNm <sup>-2</sup>
<hr/>	
	$g_k 5.1.1.5.0 = 12,50 \text{ KNm}^{-2}$
5.1.1.6 nosná konstrukce podzem. stěny tl. 200mm:	
-žb. monolit. deska tl. 150mm	= 5,00 KNm <sup>-2</sup>
<hr/>	
	$g_k 5.1.1.6.0 = 5,00 \text{ KNm}^{-2}$
5.1.1.7 nosná konstrukce nadzem. stěny tl. 400mm:	
-žb. monolit. deska tl. 225mm	= 5,62 KNm <sup>-2</sup>
-bednicí dílec BD40	= 2,60 KNm <sup>-2</sup>
<hr/>	
	$g_k 5.1.1.7.0 = 8,22 \text{ KNm}^{-2}$
5.1.1.8 nosná konstrukce nadzem. stěny tl. 200mm:	
-žb. monolit. deska tl. 125mm	= 3,13 KNm <sup>-2</sup>
-bednicí dílec BD20	= 1,88 KNm <sup>-2</sup>
<hr/>	
	$g_k 5.1.1.8.0 = 5,01 \text{ KNm}^{-2}$
5.1.1.9 plochá střecha stávajících přístaveb a nové části:	
-vrchní pás z modifik. asf. pásu	= 0,05 KNm <sup>-2</sup>
-spodní pás z modifik. asf. pásu	= 0,05 KNm <sup>-2</sup>
-spádová vrstva střechy z EPS 150, tl. 20mm/120mm (střed. tl. 70mm)	= 0,02 KNm <sup>-2</sup>
-tep. izolace střechy z EPS 150, tl. 200mm	= 0,06 KNm <sup>-2</sup>
-parotěsná folie	= 0,00 KNm <sup>-2</sup>
<hr/>	
	$g_k 5.1.1.9 = 0,18 \text{ KNm}^{-2}$
stávající nosná konstrukce ploché střechy nad přístavbami (pavilony)	
-žb. monolit. deska tl. 80/160 mm	= 3,75 KNm <sup>-2</sup>
<hr/>	
	$g_k 5.1.1.9.0 = 3,75 \text{ KNm}^{-2}$
stávající nosná konstrukce ploché střechy nad přístavbami (pavilony)	
-žb. monolit. trámy, b x h , 250/260 x 390/420 mm po cca 1660mm-osově	= 1,70 KNm <sup>-2</sup>
<hr/>	
	$g_k 5.1.1.9.0 = 1,70 \text{ KNm}^{-2}$
nová nosná konstrukce ploché střechy nad přístavbami (pavilony)	
- prefa předpjatý panel SPIROL tl. 160mm	= 2,27 KNm <sup>-2</sup>
<hr/>	
	$g_k 5.1.1.9.0 = 2,27 \text{ KNm}^{-2}$

5.1.1.10 podlaha na terénu, stávající i nové části přístaveb:	
-keramická dlažba	= 0,20 kNm <sup>-2</sup>
-lepící tmel tl. 6mm	= 0,11 kNm <sup>-2</sup>
-bet. mazanina C20/25 tl. 50mm	= 1,15 kNm <sup>-2</sup>
-systémová deska podlahového vytápění	= 0,01 kNm <sup>-2</sup>
-tep. izolace z EPS, tl. 80mm	= 0,02 kNm <sup>-2</sup>
-ochranná bet. mazanina C20/25 tl. 60mm	= 1,38 kNm <sup>-2</sup>
-hydroizolace z modifik. asf. pásu	= 0,05 kNm <sup>-2</sup>
-hydroizolace z modifik. asf. pásu	= 0,05 kNm <sup>-2</sup>
<hr/>	
$g_k 5.1.1.10 = 2,97 \text{ kNm}^{-2}$	

základové konstrukce: žb. základová deska na terénu  
-žb. deska tl. 150 mm

---


$$g_k 5.1.1.10.0 = 3,75 \text{ kNm}^{-2}$$

5.1.1.11 obvodová stěna, nová část přístaveb:	
-vnitřní omítka	= 0,30 kNm <sup>-2</sup>
-nosné zdivo POROTHERM P+D profi, tl. 500mm	= 3,61 kNm <sup>-2</sup>
-kontaktní zateplovací systém tl. 160mm	= 0,05 kNm <sup>-2</sup>
-vnější omítka	= 0,30 kNm <sup>-2</sup>
<hr/>	
$g_k 5.1.1.11 = 4,26 \text{ kNm}^{-2}$	

#### 5.1.2. 120\_venkovní toalety:

##### 5.1.2.1 střecha nad pavilonem, skladba R1:

-skládaná vlákno-cement. krytina	= 0,08 KNm <sup>-2</sup>
-latě a kontralatě	= 0,05 KNm <sup>-2</sup>
-pojistná hydroizolace	= 0,01 KNm <sup>-2</sup>
-dřev. bednění tl. 22mm	= 0,12 KNm <sup>-2</sup>

---

$$g_k 5.1.1.1 = 0,26 \text{ KNm}^{-2}$$

##### 5.1.2.2 střecha nad pavilonem, skladba P1:

-dřev. trámy 100/200mm	= 0,10 KNm <sup>-2</sup>
-SDK podhled 12,5mm	= 0,15 KNm <sup>-2</sup>

---

$$g_k 5.1.1.2 = 0,25 \text{ KNm}^{-2}$$

##### 5.1.2.3 podlaha na terénu, skladba P2:

-keramická dlažba	= 0,20 KNm <sup>-2</sup>
-cement. lepicí malta tl. 5mm	= 0,11 KNm <sup>-2</sup>
-bet. mazanina C20/25 tl. 80mm	= 1,84 KNm <sup>-2</sup>
-separační PE folie	= 0,00 KNm <sup>-2</sup>
-tep. izolace z EPS 100 STABIL v tl. 150mm	= 0,06 KNm <sup>-2</sup>
-hydroizolace z modifik. asf. pásu	= 0,05 KNm <sup>-2</sup>

---

$$g_k 5.1.1.3 = 2,26 \text{ KNm}^{-2}$$

základové konstrukce: žb. základová deska na terénu

-žb. deska tl. 120 mm

---

$$g_k 5.1.1.3.0 = 3,00 \text{ KNm}^{-2}$$

##### 5.1.2.4 obvodová stěna, skladba W1:

-vnitřní omítka	= 0,30 KNm <sup>-2</sup>
-nosné zdivo POROTHERM P+D, tl. 300mm	= 3,18 KNm <sup>-2</sup>
-kontaktní zateplovací systém tl. 100mm	= 0,03 KNm <sup>-2</sup>
-vnější omítka	= 0,30 KNm <sup>-2</sup>

---

$$g_k 5.1.2.4 = 3,81 \text{ KNm}^{-2}$$



### 5.1.3. 130\_venkovní učebna:

#### 5.1.3.1 střecha nad pavilonem, skladba R1:

-skládaná vlákno-cement. krytina	= 0,08 KNm <sup>-2</sup>
-latě a kontralatě	= 0,05 KNm <sup>-2</sup>
-pojistná hydroizolace	= 0,01 KNm <sup>-2</sup>
-dřev. bednění tl. 22mm	= 0,12 KNm <sup>-2</sup>

---

$$g_k 5.1.3.1 = 0,26 \text{ KNm}^{-2}$$

#### 5.1.3.2 podlaha, skladba P1:

-OSB desky v tl. 30mm	= 0,20 KNm <sup>-2</sup>
-dřev. rošt 50x30mm	= 0,01 KNm <sup>-2</sup>
-OSB desky v tl. 30mm	= 0,20 KNm <sup>-2</sup>

---

$$g_k 5.1.3.2 = 0,41 \text{ KNm}^{-2}$$

#### 5.1.3.3 obvodová stěna:

-vnitřní omítka	= 0,30 KNm <sup>-2</sup>
-nosné zdivo POROTHERM P+D, tl. 300mm	= 3,18 KNm <sup>-2</sup>
-dřev. rošt 50x30mm	= 0,01 KNm <sup>-2</sup>
-vnější dřev. obklad tl. 12,5mm	= 0,05 KNm <sup>-2</sup>

---

$$g_k 5.1.3.3 = 3,54 \text{ KNm}^{-2}$$

#### 5.1.3.4 obvodová stěna:

-nosné sloupky fasády, dřev. trámy 160x60	= 0,15 KNm <sup>-2</sup>
-vnější dřev. obklad tl. 12,5mm	= 0,05 KNm <sup>-2</sup>

---

$$g_k 5.1.3.4 = 0,20 \text{ KNm}^{-2}$$

#### 5.1.4. 110\_zastřešení atria:

##### 5.1.4.1 plochá střecha nad atriem, skladba S1:

-vrchní pás z modifik. asf. pásu	= 0,05 KNm <sup>-2</sup>
-spodní pás z modifik. asf. pásu	= 0,05 KNm <sup>-2</sup>
-spádová vrstva střechy z EPS 150, tl. 20mm/120mm (střed. tl. 70mm)	= 0,02 KNm <sup>-2</sup>
-tep. izolace střechy z EPS 150, tl. 200mm	= 0,06 KNm <sup>-2</sup>
-parotěsná folie	= 0,00 KNm <sup>-2</sup>
-OSB desky v tl. 30mm	= 0,20 KNm <sup>-2</sup>

---

$$g_k 5.1.4.1 = 0,38 \text{ KNm}^{-2}$$

##### 5.1.4.2 plochá střecha nad atriem, světlík:

-zasklení izolačním trojsklem	= 0,30 KNm <sup>-2</sup>
-ostatní	

---

$$g_k 5.1.4.2 = 0,55 \text{ KNm}^{-2}$$

##### 5.1.4.3 podlaha na terénu, skladba P2:

-keramická dlažba	= 0,20 KNm <sup>-2</sup>
-lepící tmel tl. 6mm	= 0,11 KNm <sup>-2</sup>
-bet. mazanina C20/25 tl. 50mm	= 1,15 KNm <sup>-2</sup>
-systémová deska podlahového vytápění	= 0,01 KNm <sup>-2</sup>
-tep. izolace z EPS, tl. 80mm	= 0,02 KNm <sup>-2</sup>
-ochranná bet. mazanina C20/25 tl. 60mm	= 1,38 KNm <sup>-2</sup>
-hydroizolace z modifik. asf. pásu	= 0,05 KNm <sup>-2</sup>
-hydroizolace z modifik. asf. pásu	= 0,05 KNm <sup>-2</sup>

---

$$g_k 5.1.4.3 = 2,97 \text{ KNm}^{-2}$$

základové konstrukce: žb. základová deska na terénu

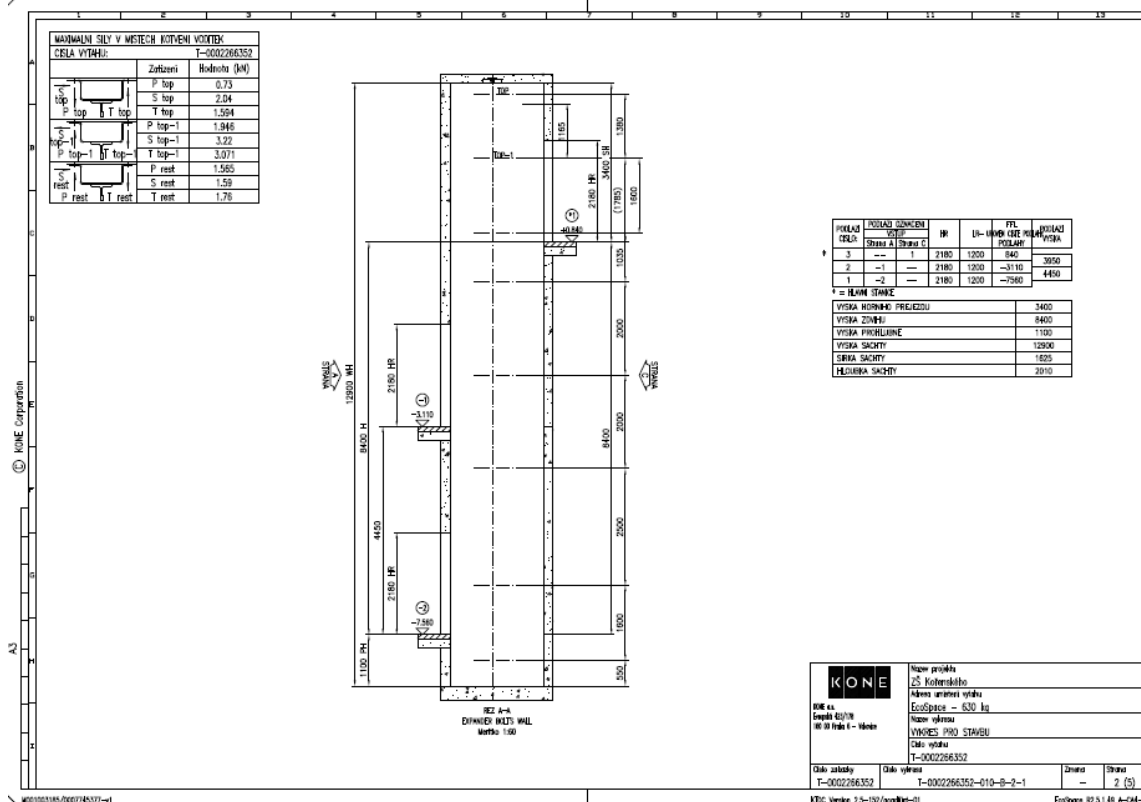
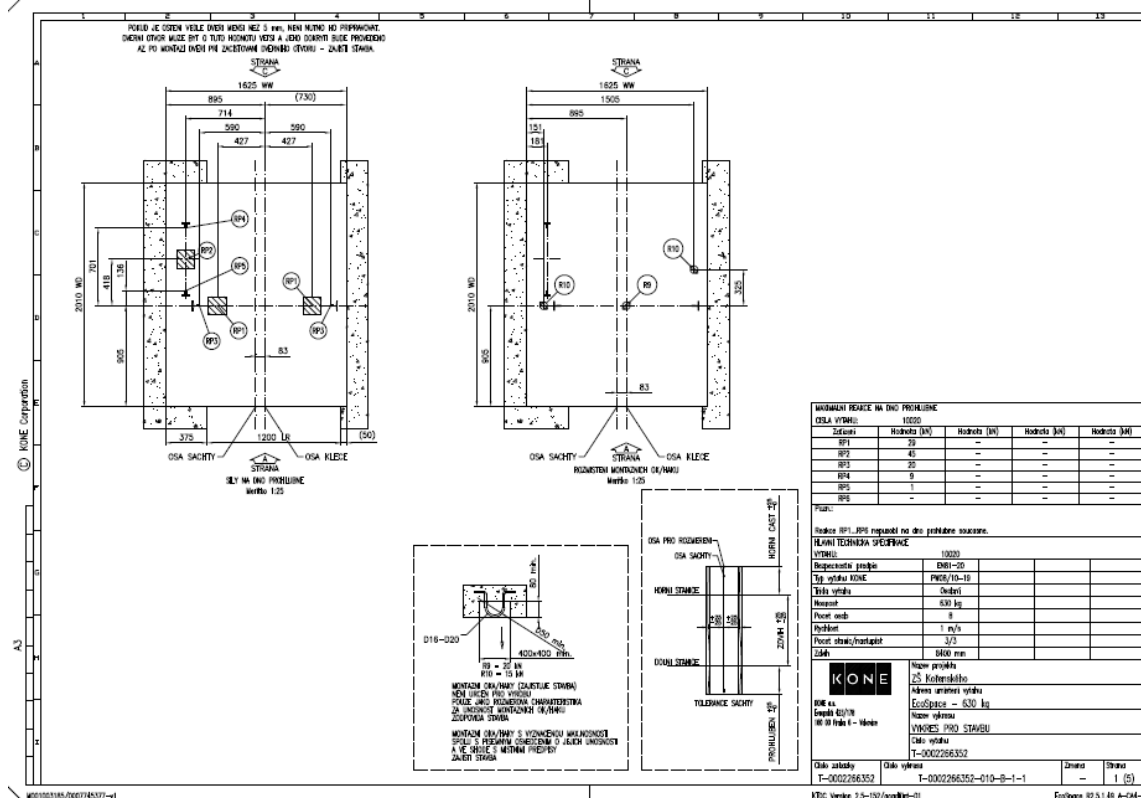
-žb. deska tl. 150 mm

---

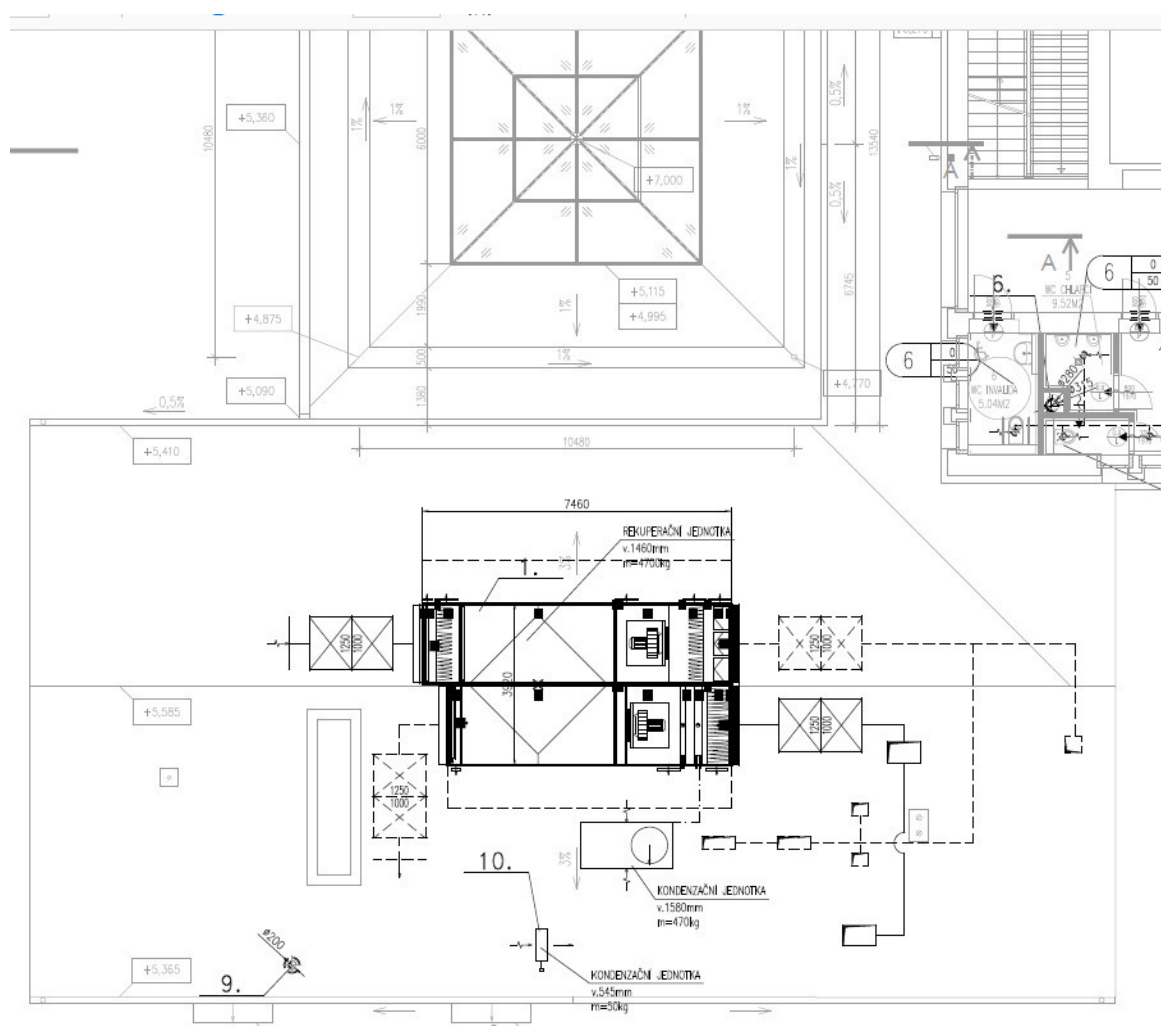
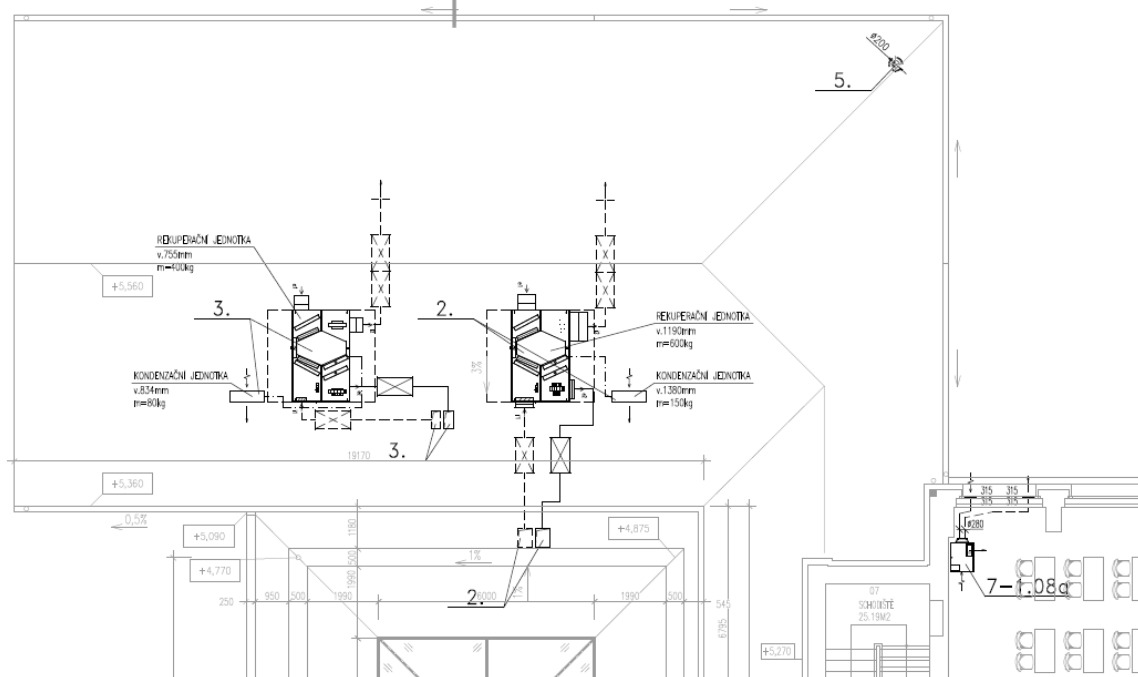
$$g_k 5.1.4.3.0 = 3,75 \text{ KNm}^{-2}$$

## 5.2. Tíha technologie

### 5.2.1 Výtah: 110\_hlavní budova



### 5.2.2 VZT jednotky: 110\_hlavní budova přístavby (pavilony kolem atria)



### 5.3. Užitná zatížení

Dle ČSN EN 1991-1-1 budou stropy a základová deska na terénu patřit do užitné kategorie C-C1, (tedy plochy ve školách, školních jídelnách)

$$q_k = 3,00 \text{ KNm}^{-2}$$

Dle ČSN EN 1991-1-1 bude plochá střecha přístaveb zařazena do kategorie H (tedy nepřístupná s výjimkou údržby):

$$q_k = 0,75 \text{ KNm}^{-2}$$

Dle ČSN EN 1991-1-1 bude vnitřní schodiště zařazeno do kategorie A schodiště:

$$q_k = 3,00 \text{ KNm}^{-2}$$

Dle ČSN EN 1991-1-1 budou vnitřní přemístitelné příčky zahrnuty do kategorie:

$$q_k = 1,20 \text{ KNm}^{-2}$$

Dle ČSN EN 1991-1-1 bude parkoviště zahrnuto do kategorie F (dopravní a parkovací plochy pro lehká vozidla do 30 KN) :

$$q_k = 2,50 \text{ KNm}^{-2}$$

Součinitel zatížení  $\gamma_{Qj} = 1,5$  pro nepříznivé,  $\gamma_{Qj} = 0$  pro příznivé.

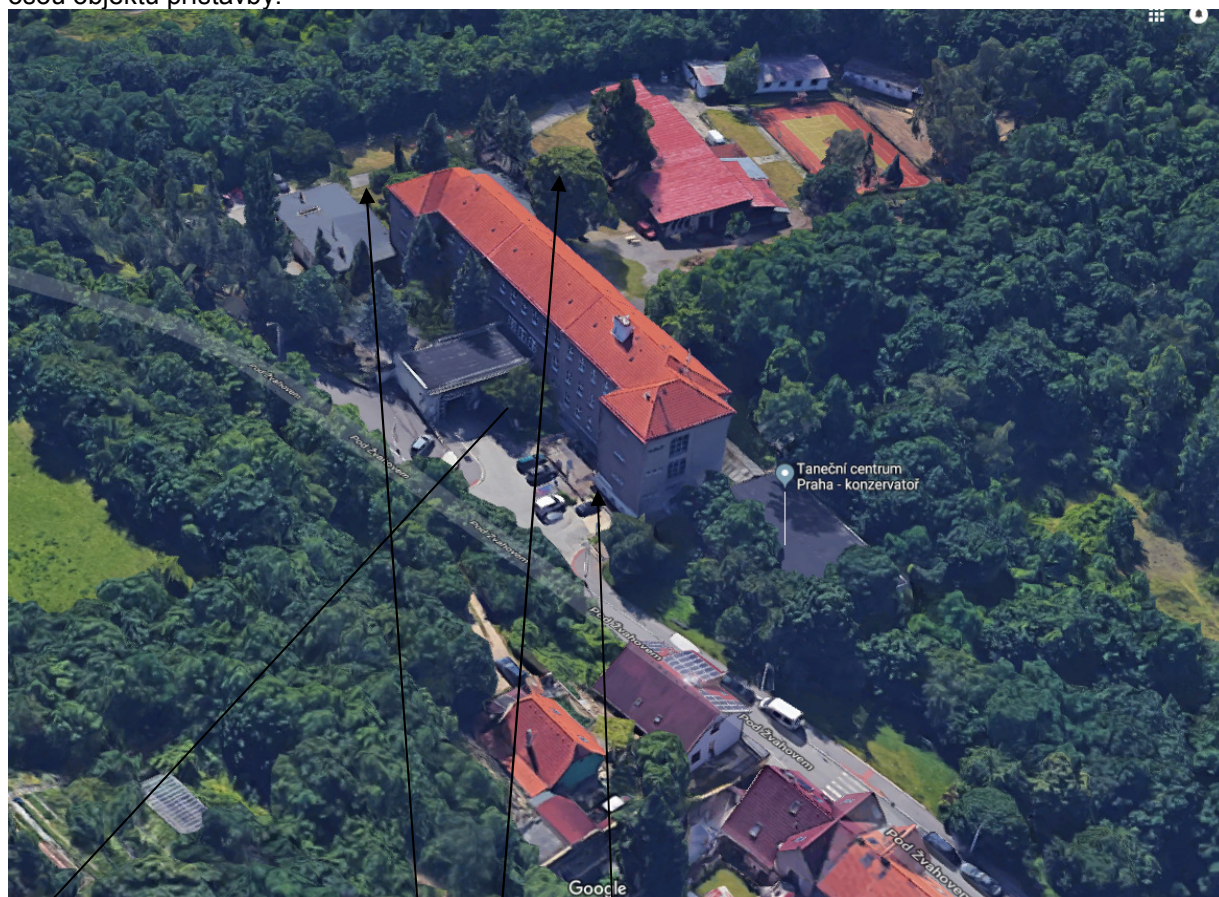
## 5.4. Zatížení klimatická

### 5.4.1 Zatížení větrem

Dle ČSN EN 1991-1-4 je pro tuto charakteristiku budov, tedy nižší než 200 metrů, doporučen jednoduchý postup bez dynamické odezvy konstrukce. Lze taktéž předpokládat značnou tuhost konstrukce a s vlastní frekvencí  $\omega > 5$  Hz a tedy opět se zanedbatelnou dynamickou odezvou konstrukce.

Zvolená metoda výpočtu je tedy jednoduchý postup jako soubor kvazistatických tlaků nebo sil, jejichž účinky jsou rovné největším účinkům větru, roční pravděpodobnost překročení je 0,02 (odpovídající střední době návratu 50 let).

Model zatížení bude uvažován ve dvou směrech a to kolmo  $Q=0^\circ$  a rovnoběžně  $Q=90^\circ$  s podélnou osou objektu přístavby.



→ zájmové území:

obec Praha 5, k.u. Praha, kraj Hlav. město Praha

GPS: 50,042176°N, 14,3401038°E

110\_hlavní budova: nová výtah. a schod. šachty

140\_zastřešení atria a přístavby

120 ; 130\_venkovní učebny a toalety

Údaje o objektu:

lokace: obec Praha, uprostřed městské zástavby objektů nižších nebo stejně vysokých (přístavba bude nižší výšky než stávající budova školy, přístavba i zastřešení atria o stejné výšce) se souvislými překážkami (městská vegetace). Volnému proudění větru je bráněno okolními stavbami a vegetací.

### Rychlost větru a dynamický tlak:

-základní rychlost větru:  $vb = c_{dir} \times c_{season} \times vb,0 = 1 \times 1 \times 25,0 = 25,0 \text{ ms}^{-1}$

výchozí základní rychlost větru: odpovídající obci Praha, kraj Hlav. město Praha:

$$vb,0 = 25,0 \text{ ms}^{-1}$$

součinitel směru větru:  $c_{dir} = 1,0$

součinitel ročního období:  $c_{season} = 1,0$

kategorie terénu:

IV. kategorie terénu – oblasti ve kterých je nejméně 15% povrchu pokryto budovami jejichž průměrná výška je větší než 15m

$$\rightarrow z_0 = 1,00 \text{ m}, \quad z_{\min} = 10,0 \text{ m}, \quad z_{\max} = 200 \text{ m}$$

$z = 3,000 \text{ m}$  (převládající max. výška nad terénem)

-střední rychlost větru v min. výšce  $\rightarrow z = 3,000 \text{ m} \neq z_{\min} = 10,0 \text{ m} \Rightarrow z = 10,00 \text{ m}$

$$v_m(z = 10,000) = c_r(z = 10,000) \times c_o(z) \times vb = 0,538 \times 1 \times 25,0 = 13,45 \text{ ms}^{-1}$$

součinitel drsnosti:

$$c_r(z = 10,000) = k_r \times \ln\left(\frac{z}{z_0}\right) = 0,234 \times \ln\left(\frac{10,000}{1,00}\right) = 0,538 \quad \text{pro } z_{\min} \leq z \leq z_{\max}$$

$$10,0 \text{ m} \leq z = 3,00 \text{ m} \leq 200 \text{ m} \Rightarrow z = 10,00 \text{ m}$$

$$\text{parametr drsnosti: } k_r = 0,19 \times \left(\frac{z_0}{z_{o,II}}\right)^{0,07} = 0,19 \times \left(\frac{1,00}{0,05}\right)^{0,07} = 0,234$$

součinitel orografie: pro rovinný terén  $c_o(z) = 1,0$

-maximální dynamický tlak:

$$q_p = [1 + 7I_v(z)] \times 0,5 \times \zeta \times v_m^2 = [1 + 7 \times 0,434] \times 0,5 \times 1,25 \times 13,45^2 = 456,52 \text{ Nm}^{-2} \approx 0,46 \text{ KNm}^{-2}$$

intenzita turbulence:

$$I_v(z = 10,000) = \frac{k_1}{c_o(z) \times \ln\left(\frac{z}{z_0}\right)} = \frac{1}{1 \times \ln\left(\frac{10,000}{1,00}\right)} = 0,434$$

pro  $z_{\min} \leq z \leq z_{\max}$

$$10,0 \text{ m} \leq z = 3,00 \text{ m} \leq 200 \text{ m} \Rightarrow z = 10,00 \text{ m}$$

součinitel turbulence:  $k_1 = 1,0$

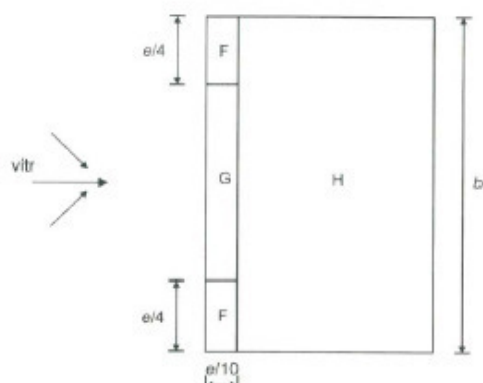
součinitel orografie: pro rovinný terén  $c_o(z) = 1,0$

Tlak větru na vnější povrchy:

$$w_e = q_p \times c_{pe} = 0,46 c_{pe} \text{ KNm}^{-2}$$

#### 5.4.1.1 Zatížení větrem pro střešní konstrukce: přístavba výtahu u 110 hlav. budova střecha pultová, $\alpha = \pm 5^\circ$

Vítr příčný:  $\perp$  na podélnou osu objektu ( $Q=0^\circ$ )



-protože návětrné plochy budou větší než 10m<sup>2</sup>, bude součinitel vnějšího tlaku  $c_{pe}=c_{pe,10}$

Střecha objektu:

$$-e = \min(b, 2h) = (7,025 ; 2 \times 3,4 = 6,80) = \underline{7,02 \text{ m}}$$

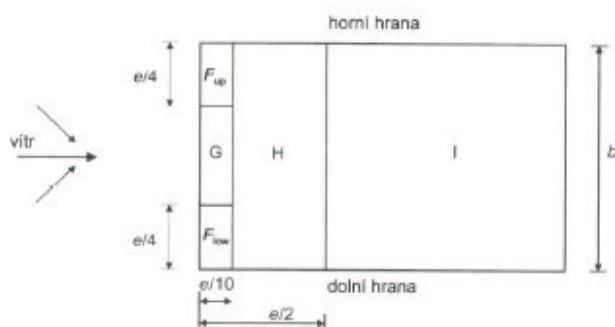
1.)  $\alpha = 5,0^\circ$ , střecha pultová

součinitele vnějšího tlaku pro ploché střechy: oblast sání

sektory: ...F... $c_{pe,10} = -2,3$	plošné zatížení: $F(5^\circ) = 0,46c_{pe,10} = 0,46 \times -2,3 = -1,06 \text{ KNm}^{-2}$
...G... $c_{pe,10} = -1,3$	$G(5^\circ) = 0,46c_{pe,10} = 0,46 \times -1,3 = -0,60 \text{ KNm}^{-2}$
...H... $c_{pe,10} = -0,8$	$H(5^\circ) = 0,46c_{pe,10} = 0,46 \times -0,8 = -0,37 \text{ KNm}^{-2}$

sání větru na vnější povrchy (střední hodnota):  $w_e = \frac{w_e \times A_i}{A_{celkem}} = -0,55 \text{ KNm}^{-2}$

Vítr příčný:  $\parallel$  na podélnou osu objektu ( $Q=90^\circ$ )



-protože návětrné plochy budou větší než 10m<sup>2</sup>, bude součinitel vnějšího tlaku  $c_{pe}=c_{pe,10}$

Střecha objektu:

$$-e = \min(b, 2h) = (4,8 ; 2 \times 3,4 = 6,80) = \underline{4,80 \text{ m}}$$

2.)  $\alpha = 5,0^\circ$ , střecha pultová

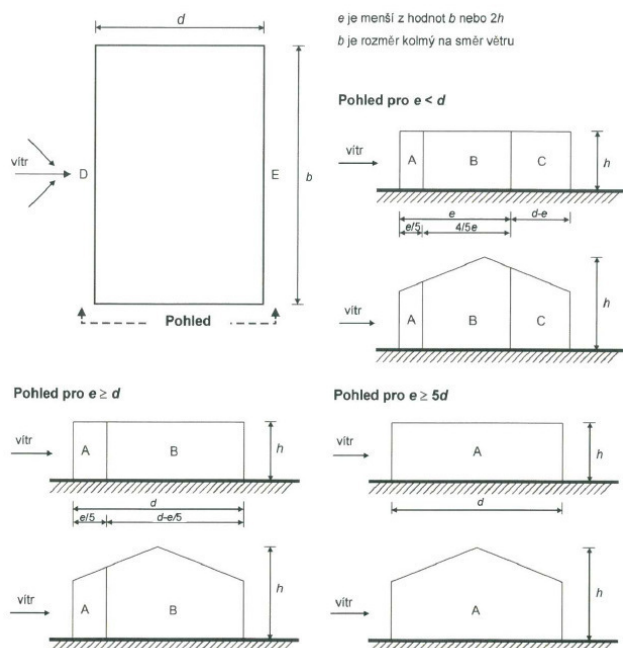
součinitele vnějšího tlaku pro ploché střechy: oblast sání

sektory: ...F... $c_{pe,10} = -2,1$	plošné zatížení: $F(5^\circ) = 0,46c_{pe,10} = 0,46 \times -2,1 = -0,97 \text{ KNm}^{-2}$
...G... $c_{pe,10} = -1,8$	$G(5^\circ) = 0,46c_{pe,10} = 0,46 \times -1,8 = -0,83 \text{ KNm}^{-2}$
...H... $c_{pe,10} = -0,6$	$H(5^\circ) = 0,46c_{pe,10} = 0,46 \times -0,6 = -0,28 \text{ KNm}^{-2}$
...I... $c_{pe,10} = -0,5$	$I(5^\circ) = 0,46c_{pe,10} = 0,46 \times -0,5 = -0,23 \text{ KNm}^{-2}$

sání větru na vnější povrchy (střední hodnota):  $w_e = \frac{w_e \times A_i}{A_{celkem}} = -0,32 \text{ KNm}^{-2}$



#### 5.4.1.2 Zatížení větrem pro svislé konstrukce (obvod. stěny): přístavba výťahu u 110 hlav. budova



Vítr příčný:  $\perp$  na podélnou osu objektu ( $Q=0^\circ$ )

-protože návětrné plochy budou větší než  $10\text{m}^2$ , bude součinitel vnějšího tlaku  $c_{pe}=c_{pe,10}$

Stěny objektu:

$$-e = \min(b, 2h) = (7,025 ; 2 \times 3,4 = 6,80) = \underline{7,02 \text{ m}}$$

součinitele vnějšího tlaku pro svislé stěny: oblast tlaku i sání

$$h/d = 3,400/4,8 = 0,708$$

sektory: ...A... $c_{pe,10} = -1,2$	plošné zatížení: A $= 0,46c_{pe,10} = 0,46 \times -1,2 = -0,55 \text{ KNm}^{-2}$	- sání
...B... $c_{pe,10} = -1,4$	plošné zatížení: B $= 0,46c_{pe,10} = 0,46 \times -1,4 = -0,64 \text{ KNm}^{-2}$	- sání
...C... $c_{pe,10} = -0,5$	plošné zatížení: C $= 0,46c_{pe,10} = 0,46 \times -0,5 = -0,23 \text{ KNm}^{-2}$	- sání

$$\text{sání větru A - C (střední hodnota): } w_e(A - C) = \frac{w_e \times A_i}{A_{\text{celkem}}} = -0,61 \text{ KNm}^{-2}$$

...D... $c_{pe,10} = +0,8$	plošné zatížení: D $= 0,46c_{pe,10} = 0,46 \times +0,8 = +0,37 \text{ KNm}^{-2}$	- tlak
...E... $c_{pe,10} = -0,5$	plošné zatížení: E $= 0,46c_{pe,10} = 0,46 \times -0,5 = -0,23 \text{ KNm}^{-2}$	- sání

Vítr podélný:  $\parallel$  s podélnou osu objektu ( $Q=90^\circ$ )

Stěny objektu:

$$-e = \min(b, 2h) = (4,8 ; 2 \times 3,4 = 6,80) = \underline{4,80 \text{ m}}$$

součinitele vnějšího tlaku pro svislé stěny: oblast tlaku i sání

$$h/d = 3,400/7,025 = 0,606$$

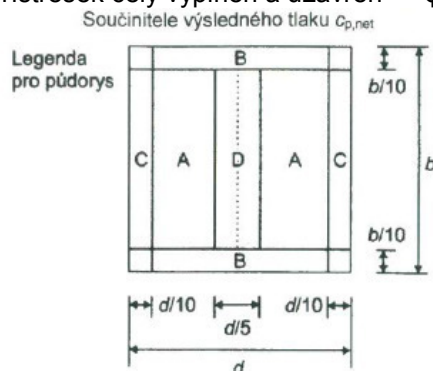
sektory: ...A... $c_{pe,10} = -1,2$	plošné zatížení: A $= 0,46c_{pe,10} = 0,46 \times -1,2 = -0,55 \text{ KNm}^{-2}$	- sání
...B... $c_{pe,10} = -1,4$	plošné zatížení: B $= 0,46c_{pe,10} = 0,46 \times -1,4 = -0,64 \text{ KNm}^{-2}$	- sání
...C... $c_{pe,10} = -0,5$	plošné zatížení: C $= 0,46c_{pe,10} = 0,46 \times -0,5 = -0,23 \text{ KNm}^{-2}$	- sání

$$\text{sání větru A - C (střední hodnota): } w_e(A - C) = \frac{w_e \times A_i}{A_{\text{celkem}}} = -0,61 \text{ KNm}^{-2}$$

...D... $c_{pe,10} = +0,8$	plošné zatížení: D $= 0,46c_{pe,10} = 0,46 \times +0,8 = +0,37 \text{ KNm}^{-2}$	- tlak
...E... $c_{pe,10} = -0,5$	plošné zatížení: E $= 0,46c_{pe,10} = 0,46 \times -0,5 = -0,23 \text{ KNm}^{-2}$	- sání

### 5.4.1.3 Zatížení větrem pro střešní konstrukce: 120 venkov. toalety

-přístřešek celý vyplněn a uzavřen  $\rightarrow \varphi=1$



Vítr příčný:  $\perp$  na podélnou osu objektu ( $Q=0^\circ$ )

Vítr podélný:  $\parallel$  s podélnou osu objektu ( $Q=90^\circ$ )

sedlový přístřešek  $\alpha=+10^\circ$

Střecha objektu:  $b=d=8,3$

součinitele vnějšího tlaku pro pultové střechy: oblast sání

-součinitel celkové síly  $\rightarrow c_f=-1,3$

sektory:

...A... $c_{pe,10}=-1,3$  plošné zatížení:  $A=0,46c_{p,net10}c_f=0,46 \times -1,3 \times -1,3= -0,78 \text{ KNm}^{-2}$  - sání

...B... $c_{pe,10}=-2,0$  plošné zatížení:  $B=0,46c_{p,net10}c_f=0,46 \times -2,0 \times -1,3= -1,19 \text{ KNm}^{-2}$  - sání

...C... $c_{pe,10}=-1,8$  plošné zatížení:  $C=0,46c_{p,net10}c_f=0,46 \times -1,8 \times -1,3= -1,07 \text{ KNm}^{-2}$  - sání

...D... $c_{pe,10}=-1,8$  plošné zatížení:  $D=0,46c_{p,net10}c_f=0,46 \times -1,8 \times -1,3= -1,07 \text{ KNm}^{-2}$  - sání

sání větru A – D (střední hodnota) :  $w_e(A-C) = \frac{w_e \times Ai}{A_{celkem}} = -0,87 \text{ KNm}^{-2}$



sání větru A – D (převis. konec hodnota) :

$w_e(A-C) = \frac{w_e \times Ai}{A_{celkem}} = -0,87 + -0,37 = -1,24 \text{ KNm}^{-2}$

součinitele vnějšího tlaku pro pultové střechy: oblast tlaku

-součinitel celkové síly  $\rightarrow c_f=+0,4$

sektory:

...A... $c_{pe,10}=+0,7$  plošné zatížení:  $A=0,46c_{p,net10}c_f=0,46 \times +0,7 \times +0,4= +0,13 \text{ KNm}^{-2}$  - tlak

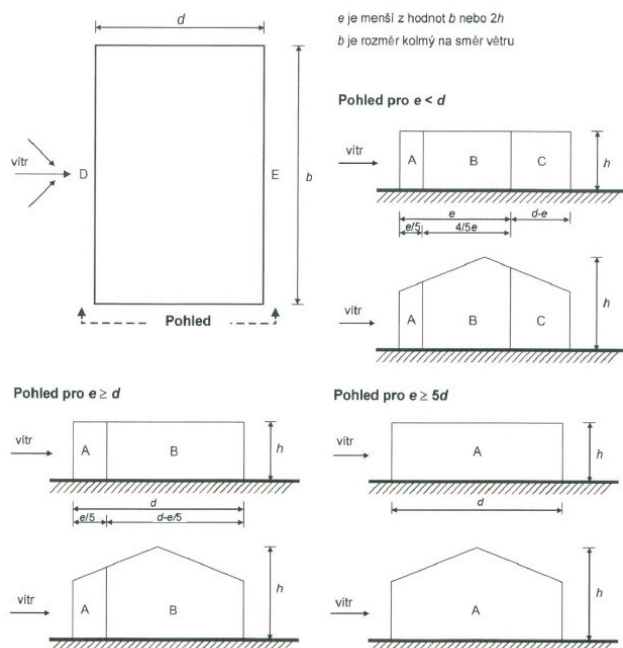
...B... $c_{pe,10}=+1,8$  plošné zatížení:  $B=0,46c_{p,net10}c_f=0,46 \times +1,8 \times +0,4= +0,33 \text{ KNm}^{-2}$  - tlak

...C... $c_{pe,10}=+1,4$  plošné zatížení:  $C=0,46c_{p,net10}c_f=0,46 \times +1,4 \times +0,4= +0,26 \text{ KNm}^{-2}$  - tlak

...D... $c_{pe,10}=+0,4$  plošné zatížení:  $D=0,46c_{p,net10}c_f=0,46 \times +0,4 \times +0,4= +0,07 \text{ KNm}^{-2}$  - tlak

tlak větru A – D (střední hodnota) :  $w_e(A-C) = \frac{w_e \times Ai}{A_{celkem}} = +0,17 \text{ KNm}^{-2}$

#### 5.4.1.4 Zatížení větrem pro svislé konstrukce (obvod. stěny): 120 venkov. toalety



Vítr příčný:  $\perp$  na podélnou osu objektu ( $Q=0^\circ$ )

-protože návětrné plochy budou větší než  $10\text{m}^2$ , bude součinitel vnějšího tlaku  $c_{pe}=c_{pe,10}$

Stěny objektu:

$$-e = \min(b, 2h) = (8,3 ; 2 \times 4,5 = 9,00) = 8,30 \text{ m}$$

součinitele vnějšího tlaku pro svislé stěny: oblast tlaku i sání

$$h/d = 4,500/8,3 = 0,542$$

sektory: ...A... $c_{pe,10} = -1,2$	plošné zatížení: A $= 0,46c_{pe,10} = 0,46 \times -1,2 = -0,55 \text{ KNm}^{-2}$	- sání
...B... $c_{pe,10} = -1,4$	plošné zatížení: B $= 0,46c_{pe,10} = 0,46 \times -1,4 = -0,64 \text{ KNm}^{-2}$	- sání
...C... $c_{pe,10} = -0,5$	plošné zatížení: C $= 0,46c_{pe,10} = 0,46 \times -0,5 = -0,23 \text{ KNm}^{-2}$	- sání

$$\text{sání větru A - C (střední hodnota): } w_e(A - C) = \frac{w_e \times A_i}{A_{\text{celkem}}} = -0,61 \text{ KNm}^{-2}$$

...D... $c_{pe,10} = +0,8$	plošné zatížení: D $= 0,46c_{pe,10} = 0,46 \times +0,8 = +0,37 \text{ KNm}^{-2}$	- tlak
...E... $c_{pe,10} = -0,5$	plošné zatížení: E $= 0,46c_{pe,10} = 0,46 \times -0,5 = -0,23 \text{ KNm}^{-2}$	- sání

Vítr podélný:  $\parallel$  s podélnou osu objektu ( $Q=90^\circ$ )

Stěny objektu:

$$-e = \min(b, 2h) = (8,3 ; 2 \times 4,5 = 9,00) = 8,30 \text{ m}$$

součinitele vnějšího tlaku pro svislé stěny: oblast tlaku i sání

$$h/d = 4,500/8,3 = 0,542$$

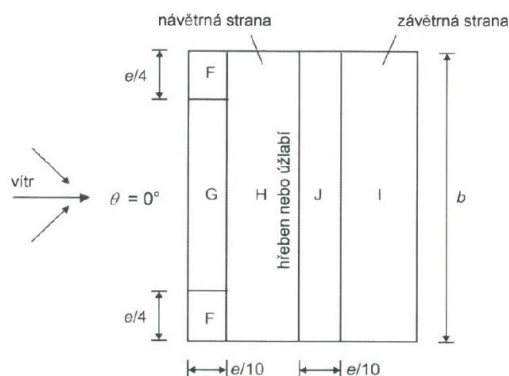
sektory: ...A... $c_{pe,10} = -1,2$	plošné zatížení: A $= 0,46c_{pe,10} = 0,46 \times -1,2 = -0,55 \text{ KNm}^{-2}$	- sání
...B... $c_{pe,10} = -1,4$	plošné zatížení: B $= 0,46c_{pe,10} = 0,46 \times -1,4 = -0,64 \text{ KNm}^{-2}$	- sání
...C... $c_{pe,10} = -0,5$	plošné zatížení: C $= 0,46c_{pe,10} = 0,46 \times -0,5 = -0,23 \text{ KNm}^{-2}$	- sání

$$\text{sání větru A - C (střední hodnota): } w_e(A - C) = \frac{w_e \times A_i}{A_{\text{celkem}}} = -0,61 \text{ KNm}^{-2}$$

...D... $c_{pe,10} = +0,8$	plošné zatížení: D $= 0,46c_{pe,10} = 0,46 \times +0,8 = +0,37 \text{ KNm}^{-2}$	- tlak
...E... $c_{pe,10} = -0,5$	plošné zatížení: E $= 0,46c_{pe,10} = 0,46 \times -0,5 = -0,23 \text{ KNm}^{-2}$	- sání

#### 5.4.1.5 Zatížení větrem pro střešní konstrukce: 130 venkovní učebna

Vítr příčný:  $\perp$  na podélnou osu objektu ( $Q=0^\circ$ )



-protože návětrné plochy budou větší než 10m<sup>2</sup>, bude součinitel vnějšího tlaku  $c_{pe}=c_{pe,10}$

Střecha objektu:

$$-e = \min(b, 2h) = (9,16 ; 2 \times 4,7 = 9,40) = \underline{9,16 \text{ m}}$$

1.)  $\alpha=23,0^\circ$ , střecha sedlová

součinitele vnějšího tlaku pro sedlové střechy: oblast tlaku

sektory: ...F... $c_{pe,10} = +0,7$	plošné zatížení: $F(40^\circ) = 0,84c_{pe,10} = 0,84 \times +0,7 = +0,59 \text{ KNm}^{-2}$
...G... $c_{pe,10} = +0,7$	$G(40^\circ) = 0,84c_{pe,10} = 0,84 \times +0,7 = +0,59 \text{ KNm}^{-2}$
...H... $c_{pe,10} = +0,6$	$H(40^\circ) = 0,84c_{pe,10} = 0,84 \times +0,6 = +0,50 \text{ KNm}^{-2}$
...I... $c_{pe,10} = +0,0$	$I(40^\circ) = 0,84c_{pe,10} = 0,84 \times +0,0 = +0,00 \text{ KNm}^{-2}$
...J... $c_{pe,10} = +0,0$	$J(40^\circ) = 0,84c_{pe,10} = 0,84 \times +0,0 = +0,00 \text{ KNm}^{-2}$

tlak větru na vnější povrchy (střední hodnota):  $w_e = \frac{w_e \times A_i}{A_{celkem}} = +0,55 \text{ KNm}^{-2}$

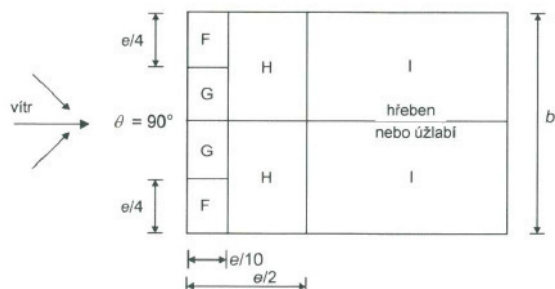
2.)  $\alpha=23,0^\circ$ , střecha sedlová

součinitele vnějšího tlaku pro sedlové střechy: oblast sání

sektory: ...F... $c_{pe,10} = +0,0$	plošné zatížení: $F(40^\circ) = 0,84c_{pe,10} = 0,84 \times +0,0 = +0,00 \text{ KNm}^{-2}$
...G... $c_{pe,10} = +0,0$	$G(40^\circ) = 0,84c_{pe,10} = 0,84 \times +0,0 = +0,00 \text{ KNm}^{-2}$
...H... $c_{pe,10} = +0,0$	$H(40^\circ) = 0,84c_{pe,10} = 0,84 \times +0,0 = +0,00 \text{ KNm}^{-2}$
...I... $c_{pe,10} = -0,2$	$I(40^\circ) = 0,84c_{pe,10} = 0,84 \times -0,2 = -0,17 \text{ KNm}^{-2}$
...J... $c_{pe,10} = -0,3$	$J(40^\circ) = 0,84c_{pe,10} = 0,84 \times -0,3 = -0,25 \text{ KNm}^{-2}$

tlak větru na vnější povrchy (střední hodnota):  $w_e = \frac{w_e \times A_i}{A_{celkem}} = -0,23 \text{ KNm}^{-2}$

Vítr podélný:  $\parallel$  s podélnou osu objektu ( $Q=90^\circ$ )



-protože návětrné plochy budou větší než  $10\text{m}^2$ , bude součinitel vnějšího tlaku  $c_{pe}=c_{pe,10}$

Střecha objektu:

-e =  $\min(b, 2h) = (6,40 ; 2 \times 4,7 = 9,40) = \underline{6,40\text{ m}}$

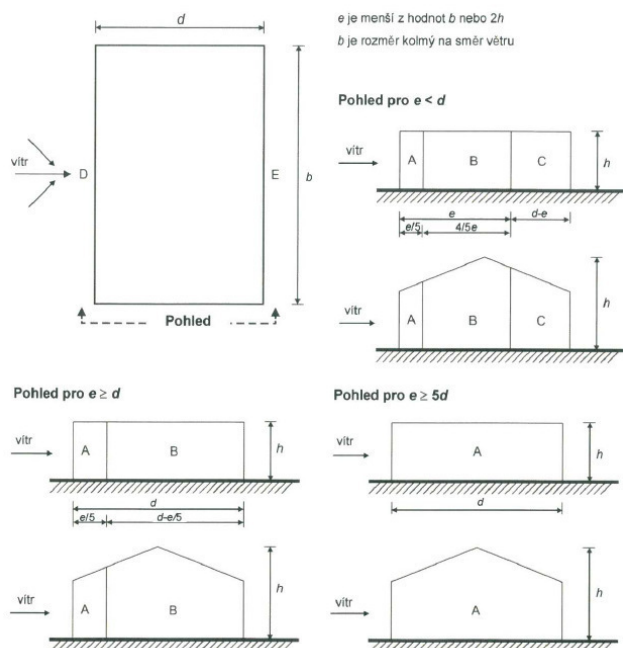
3.)  $\alpha=23,0^\circ$ , střecha sedlová

součinitele vnějšího tlaku pro pultové střechy: oblast sání

sektory: ...F... $c_{pe,10} = -1,1$	plošné zatížení: $F(40^\circ) = 0,84c_{pe,10} = 0,84 \times -1,1 = -0,92\text{ KNm}^{-2}$
...G... $c_{pe,10} = -1,4$	$G(40^\circ) = 0,84c_{pe,10} = 0,84 \times -1,4 = -1,18\text{ KNm}^{-2}$
...H... $c_{pe,10} = -0,9$	$H(40^\circ) = 0,84c_{pe,10} = 0,84 \times -0,9 = -0,75\text{ KNm}^{-2}$
...I... $c_{pe,10} = -0,5$	$I(40^\circ) = 0,84c_{pe,10} = 0,84 \times -0,5 = -0,42\text{ KNm}^{-2}$

tlak větru na vnější povrchy (střední hodnota):  $w_e = \frac{w_e \times A_i}{A_{celkem}} = -\underline{0,84\text{ KNm}^{-2}}$

#### 5.4.1.6 Zatížení větrem pro svislé konstrukce (obvod. stěny): 130 venkovní učebna



Vítr příčný:  $\perp$  na podélnou osu objektu ( $Q=0^\circ$ )

-protože návětrné plochy budou větší než  $10\text{m}^2$ , bude součinitel vnějšího tlaku  $c_{pe}=c_{pe,10}$

Stěny objektu:

$$-e = \min(b, 2h) = (9,16 ; 2 \times 4,7 = 9,40) = \underline{9,16 \text{ m}}$$

součinitele vnějšího tlaku pro svislé stěny: oblast tlaku i sání

$$h/d = 4,700/9,16 = 0,513$$

sektory: ...A... $c_{pe,10} = -1,2$	plošné zatížení: A $= 0,46c_{pe,10} = 0,46 \times -1,2 = -0,55 \text{ KNm}^{-2}$	- sání
...B... $c_{pe,10} = -1,4$	plošné zatížení: B $= 0,46c_{pe,10} = 0,46 \times -1,4 = -0,64 \text{ KNm}^{-2}$	- sání
...C... $c_{pe,10} = -0,5$	plošné zatížení: C $= 0,46c_{pe,10} = 0,46 \times -0,5 = -0,23 \text{ KNm}^{-2}$	- sání

$$\text{sání větru A - C (střední hodnota): } w_e(A - C) = \frac{w_e \times A_i}{A_{\text{celkem}}} = -0,61 \text{ KNm}^{-2}$$

...D... $c_{pe,10} = +0,8$	plošné zatížení: D $= 0,46c_{pe,10} = 0,46 \times +0,8 = +0,37 \text{ KNm}^{-2}$	- tlak
...E... $c_{pe,10} = -0,5$	plošné zatížení: E $= 0,46c_{pe,10} = 0,46 \times -0,5 = -0,23 \text{ KNm}^{-2}$	- sání

Vítr podélný:  $\parallel$  s podélnou osu objektu ( $Q=90^\circ$ )

Stěny objektu:

$$-e = \min(b, 2h) = (6,4 ; 2 \times 4,7 = 9,40) = \underline{6,40 \text{ m}}$$

součinitele vnějšího tlaku pro svislé stěny: oblast tlaku i sání

$$h/d = 4,700/6,4 = 0,734$$

sektory: ...A... $c_{pe,10} = -1,2$	plošné zatížení: A $= 0,46c_{pe,10} = 0,46 \times -1,2 = -0,55 \text{ KNm}^{-2}$	- sání
...B... $c_{pe,10} = -1,0$	plošné zatížení: B $= 0,46c_{pe,10} = 0,46 \times -1,0 = -0,46 \text{ KNm}^{-2}$	- sání
...C... $c_{pe,10} = -0,5$	plošné zatížení: C $= 0,46c_{pe,10} = 0,46 \times -0,5 = -0,23 \text{ KNm}^{-2}$	- sání

$$\text{sání větru A - C (střední hodnota): } w_e(A - C) = \frac{w_e \times A_i}{A_{\text{celkem}}} = -0,61 \text{ KNm}^{-2}$$

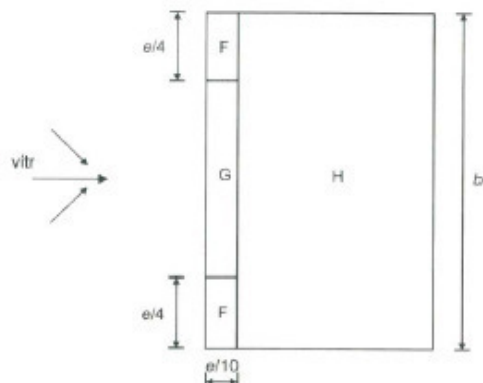
...D... $c_{pe,10} = +0,8$	plošné zatížení: D $= 0,46c_{pe,10} = 0,46 \times +0,8 = +0,37 \text{ KNm}^{-2}$	- tlak
...E... $c_{pe,10} = -0,5$	plošné zatížení: E $= 0,46c_{pe,10} = 0,46 \times -0,5 = -0,23 \text{ KNm}^{-2}$	- sání

#### 5.4.1.7 Zatížení větrem pro střešní konstrukce: 140 zastřešení atria

převládající střecha plochá

Vítr příčný:  $\perp$  na podélnou osu objektu ( $Q=0^\circ$ )

Vítr příčný:  $\parallel$  na podélnou osu objektu ( $Q=90^\circ$ )



-protože návětrné plochy budou větší než 10m<sup>2</sup>, bude součinitel vnějšího tlaku  $c_{pe}=c_{pe,10}$

Střecha objektu:

-e = min(b,2h)=(14,07 ; 2x4,08=8,16)=8,16 m

1.)  $\alpha=0,0^\circ$ , střecha plochá

součinitele vnějšího tlaku pro ploché střechy: oblast sání

sektory: ...F... $c_{pe,10}= -1,6$

...G... $c_{pe,10}= -1,1$

...H... $c_{pe,10}= -0,7$

...I... $c_{pe,10}= -0,2$

plošné zatížení:  $F(0^\circ) = 0,46c_{pe,10}=0,46 \times -1,6= -0,74 \text{ KNm}^{-2}$

$G(0^\circ) = 0,46c_{pe,10}=0,46 \times -1,1= -0,50 \text{ KNm}^{-2}$

$H(0^\circ) = 0,46c_{pe,10}=0,46 \times -0,7= -0,32 \text{ KNm}^{-2}$

$I(0^\circ) = 0,46c_{pe,10}=0,46 \times -0,2= -0,09 \text{ KNm}^{-2}$

sání větru na vnější povrchy (střední hodnota):  $w_e = \frac{w_e \times A_i}{A_{celkem}} = -0,35 \text{ KNm}^{-2}$

středový světlík

2.)  $\alpha=32,0^\circ$ , střecha sedlová

Vítr příčný:  $\perp$  na podélnou osu objektu ( $Q=0^\circ$ )

Vítr příčný:  $\parallel$  na podélnou osu objektu ( $Q=90^\circ$ )

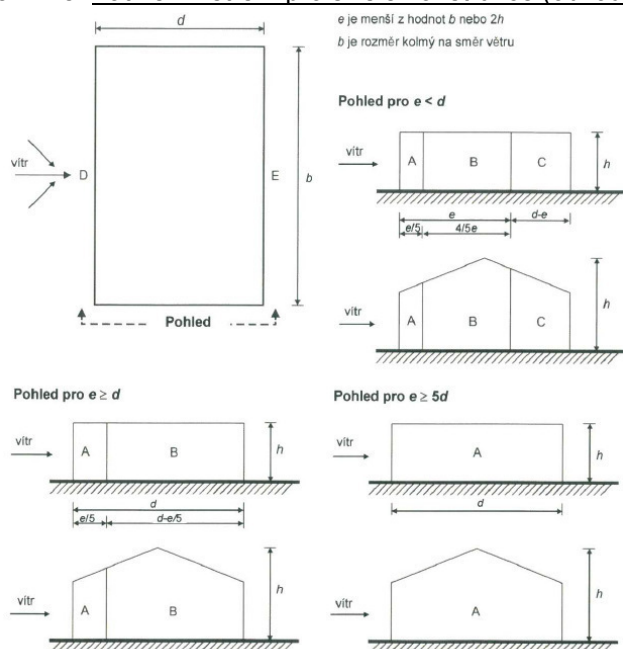
návětrná  $c_{pe,10}= +0,7$

boční  $c_{pe,10}= -0,5$

plošné zatížení:  $W(32^\circ) = 0,46c_{pe,10}=0,46 \times +0,7= +0,32 \text{ KNm}^{-2}$

plošné zatížení:  $W(32^\circ) = 0,46c_{pe,10}=0,46 \times -0,5= -0,23 \text{ KNm}^{-2}$

#### 5.4.1.8 Zatížení větrem pro svislé konstrukce (obvod. stěny): 140 zastřešení atria



Vítr příčný:  $\perp$  na podélnou osu objektu ( $Q=0^\circ$ )

Vítr podélný:  $\parallel$  s podélnou osu objektu ( $Q=90^\circ$ )

-protože návětrné plochy budou větší než  $10\text{m}^2$ , bude součinitel vnějšího tlaku  $c_{pe}=c_{pe,10}$

Stěny objektu:

$$-e = \min(b, 2h) = (14,07 ; 2 \times 4,08 = 8,16) = 8,16 \text{ m}$$

součinitele vnějšího tlaku pro svislé stěny: oblast tlaku i sání

$$h/d = 4,08/12,72 = 0,320$$

sektory: ...A... $c_{pe,10} = -1,2$	plošné zatížení: A $= 0,46c_{pe,10} = 0,46 \times -1,2 = -0,55 \text{ KNm}^{-2}$	- sání
...B... $c_{pe,10} = -0,8$	plošné zatížení: B $= 0,46c_{pe,10} = 0,46 \times -0,8 = -0,37 \text{ KNm}^{-2}$	- sání
...C... $c_{pe,10} = -0,5$	plošné zatížení: C $= 0,46c_{pe,10} = 0,46 \times -0,5 = -0,23 \text{ KNm}^{-2}$	- sání

$$\text{sání větru A - C (střední hodnota): } w_e(A - C) = \frac{w_e \times A_i}{A_{\text{celkem}}} = -0,36 \text{ KNm}^{-2}$$

...D... $c_{pe,10} = +0,7$	plošné zatížení: D $= 0,46c_{pe,10} = 0,46 \times +0,7 = +0,32 \text{ KNm}^{-2}$	- tlak
...E... $c_{pe,10} = -0,3$	plošné zatížení: E $= 0,46c_{pe,10} = 0,46 \times -0,3 = -0,14 \text{ KNm}^{-2}$	- sání

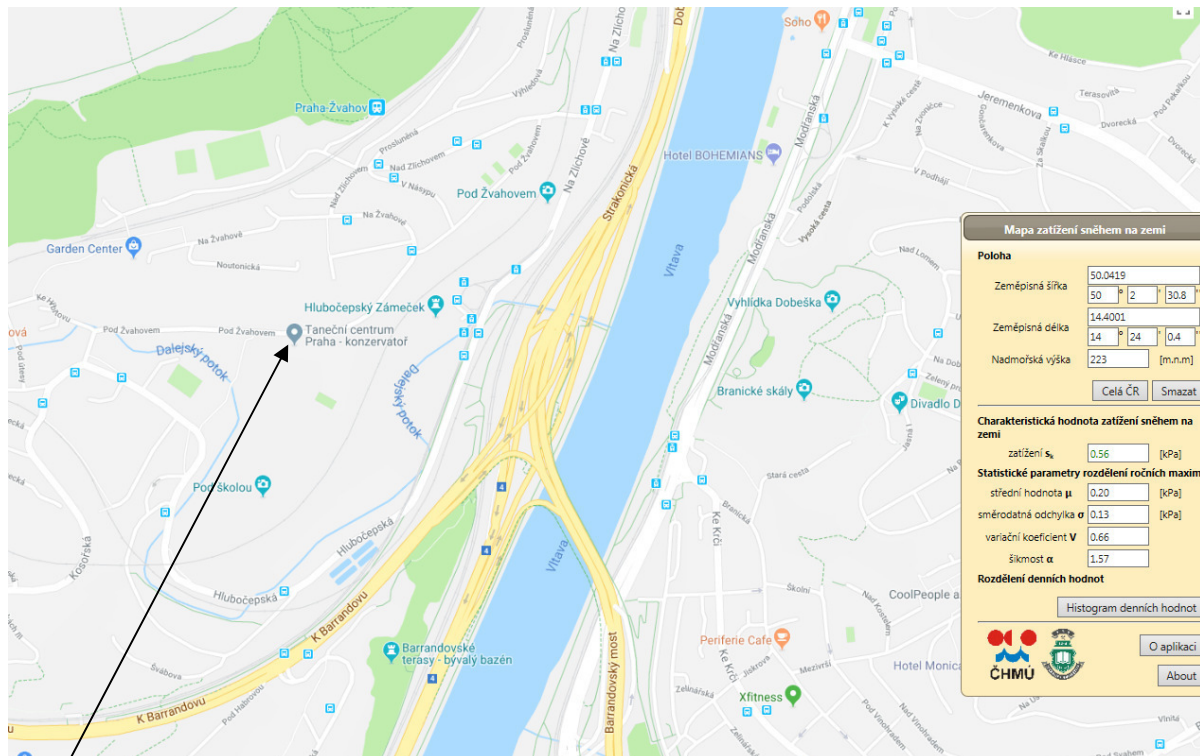


## 5.4.2. Zatížení sněhem

Dle ČSN EN 1991-1-3

Údaje o objektu:

lokace: obec Praha, přístavby o nižší výšce než hlavní stávající budova (předpokládá se dodatečné přemístění sněhu navátím z vyšších budov).



Charakteristická hodnota zatížení sněhem na zemi: GPS: 48°59'06.97"N, 14°26'57.03"E

dle lokality Praha  $s_k=0,56 \text{ KNm}^{-2} \geq \text{I. sněh. oblast (dle mapy sněh. oblastí)}$   
(0,70  $\text{KNm}^{-2}$ )

Součinitel expozice:

-nepředpokládá se výrazné přemístění sněhu větrem vlivem okolního terénu  $\Rightarrow C_e=1,0$

Tepelný součinitel:

-nepředpokládá se zvýšený prostup tepla střešním pláštěm (viz. výše)  $\Rightarrow C_t=1,0$

Tvarový součinitel:

110\_ hlavní budova: přístavba výtahu

-pro sedlovou střechu stávajícího sousedního objektu  $\alpha=45,0^\circ \Rightarrow \mu=0,40$

-pro pultovou střechu přístavby  $\alpha=0,0^\circ \Rightarrow \mu=0,8$

-pro pultovou střechu s navátím  $\Rightarrow \mu_1=0,80$

$\Rightarrow \mu_s$  (pro  $\alpha \geq 15^\circ$  - 50% na vyšší střeše)  $=0,40/2=0,20$

$\Rightarrow \mu_w$

délka návěje:  $l_s = 2xh = 21,42 \text{ m} \neq 15 \text{ m} \Rightarrow$  na celou délku

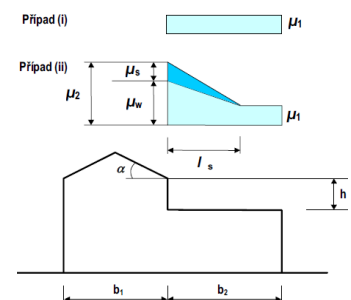
$$\mu_w = \min \left[ \left( \frac{13,67 + 2,25}{2 \times 10,71} = 0,743 \right) = 0,743 \leq \left( \frac{2,00 \times 10,71}{0,56} = 30,6 \right) \right]$$

Zatížení sněhem na pultové střeše pro trvalé nebo dočasné situace:

$$s_{k,1} = \mu_i \times C_e \times C_t \times s_k = 0,80 \times 1,0 \times 1,0 \times 0,56 = 0,45 \text{ KNm}^{-2}$$

$$s_{k,2.1} = \mu_i \times C_e \times C_t \times s_k = (0,20 + 0,743) \times 1,0 \times 1,0 \times 0,56 = 0,53 \text{ KNm}^{-2}$$

s navátím (trojúhelníkové) pro trvalé nebo dočasné situace:



120\_venkovní toalety: samostatně stojící

-pro sedlovou střechu  $\alpha=10,0^\circ \Rightarrow \mu=0,8$

Zatížení sněhem na sedlové střeše pro trvalé nebo dočasné situace:

$$s, k, 1 = \mu_i \times C_e \times C_t \times s_k = 0,80 \times 1,0 \times 1,0 \times 0,56 = 0,45 \text{KNm}^{-2}$$

130\_venkovní učebna: v blízkosti hlavní budovy

-pro sedlovou střechu stávajícího sousedního objektu  $\alpha=30,0^\circ \Rightarrow \mu=0,80$

-pro sedlovou střechu učebny  $\alpha=23,0^\circ \Rightarrow \mu=0,8$

$\Rightarrow \mu_s$  (pro  $\alpha \geq 15^\circ$  - 50% na vyšší střeše)  $= 0,80/2 = 0,40$

$\Rightarrow \mu_w$

délka návěje:  $l_s = 2xh = 36,72 \text{m} \neq 15 \text{m} \Rightarrow$  na celou délku

$$\mu_w = \min \left[ \left( \frac{18,87 + 6,48}{2 \times 18,36} = 0,690 \right) = 0,690 \leq \left( \frac{2,00 \times 18,36}{0,56} = 65,67 \right) \right]$$

Zatížení sněhem na sedlové střeše pro trvalé nebo dočasné situace:

$$s, k, 1 = \mu_i \times C_e \times C_t \times s_k = 0,80 \times 1,0 \times 1,0 \times 0,56 = 0,45 \text{KNm}^{-2}$$

$$s, k, 2.1 = \mu_i \times C_e \times C_t \times s_k = (0,20 + 0,69) \times 1,0 \times 1,0 \times 0,56 = 0,50 \text{KNm}^{-2}$$

s navátím (trojúhelníkové) pro trvalé nebo dočasné situace:

140\_zastřešení atria:

-pro plochou střechu  $\alpha=0,0^\circ \Rightarrow \mu=0,8$

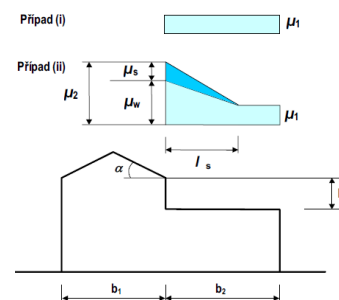
-pro středový světlík  $\alpha=32,0^\circ \Rightarrow \mu=0,75$

Zatížení sněhem na ploché střeše pro trvalé nebo dočasné situace:

$$s, k, 1 = \mu_i \times C_e \times C_t \times s_k = 0,80 \times 1,0 \times 1,0 \times 0,56 = 0,45 \text{KNm}^{-2}$$

Zatížení sněhem na střed. světlíku pro trvalé nebo dočasné situace:

$$s, k, 1 = \mu_i \times C_e \times C_t \times s_k = 0,75 \times 1,0 \times 1,0 \times 0,56 = 0,42 \text{KNm}^{-2}$$



### 5.4.3. Zatížení teplotou

Dle ČSN EN 1991-1-5

Žádné účinnější, vzhledem ke konstrukci zanedbatelné.

### 5.5. Zatížení geotechnická

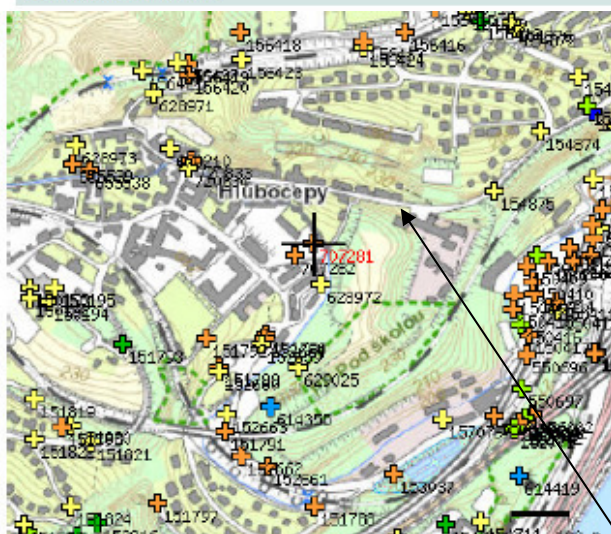
Nejbližší informace o základových poměrech poskytl výpis z „nejbližšího“ vrtu ve zprávě z archivu GEOFONDU. Použitý vrt: 707281

VRT - ZÁKLADNÍ INFORMACE			
Stát	Česká republika	Nadmořská výška - souřadnice Z	205
Jazyk	česky	Inklinometrie (Y/N)	N
Název databáze	GDO	Účel	inženýrskogeologický
ID	707281	Hydrogeologické údaje (Y/N)	N
Původní název	V-1	Hloubka hladiny podzemní vody [m]	4.60
Zkrácený název	V-1	Druh hladiny podzemní vody	ustálená
Rok vzniku objektu	2010	Karotáž (Y/N)	N
Poskytovatel dat	Česká geologická služba - Geofond	Provedené zkoušky	zkoušky zmitosti - geotechnické rozbory - zkoušky vlastností hornin
Hloubka vrtu (m)	9	Hmotná dokumentace (Y/N)	N
Primární dokumentace	GF P127959	Druh objektu	vrt svislý
Souřadnice X - JTSK [m]	1047865.70	Geologický profil (Y/N)	Y
Souřadnice Y - JTSK [m]	745146.60	Organizace provádějící	BOROS, s.r.o., Praha 6
Způsob zaměření X,Y	digitalizováno z mapy 1:500	Organizace blokující	
Výškový systém	odečteno z mapy	Blokováno do	

#### ZÁKLADNÍ LITOLOGICKÁ DATA

Hloubka[m]	Stratigrafie	Popis
0 - 0.50	Kvartér	<b>navážka</b> kamenitý hlinitý šedá hnědá
0.50 - 2.30	Kvartér	<b>navážka</b> kamenitý jílovitý hlinitý silně ulehlý hnědá
2.30 - 4.90	Kvartér	<b>hlína</b> prachovitý jílovitý šedá hnědá
4.90 - 5.30	Kvartér	<b>hlína</b> prachovitý hnědá <b>šterk</b> hojně
5.30 - 6.90	Kvartér	<b>šterk</b> drobnozrný
6.90 - 7.50	Givet	<b>břidlice</b> slabě vápnitý zvětralý rozpukavý v ostrohranných úlomcích šedá
7.50 - 9	Givet	<b>břidlice</b> slabě vápnitý silně rozpukavý rozpukavý v ostrohranných úlomcích šedá

#### LOKALIZACE V MAPĚ

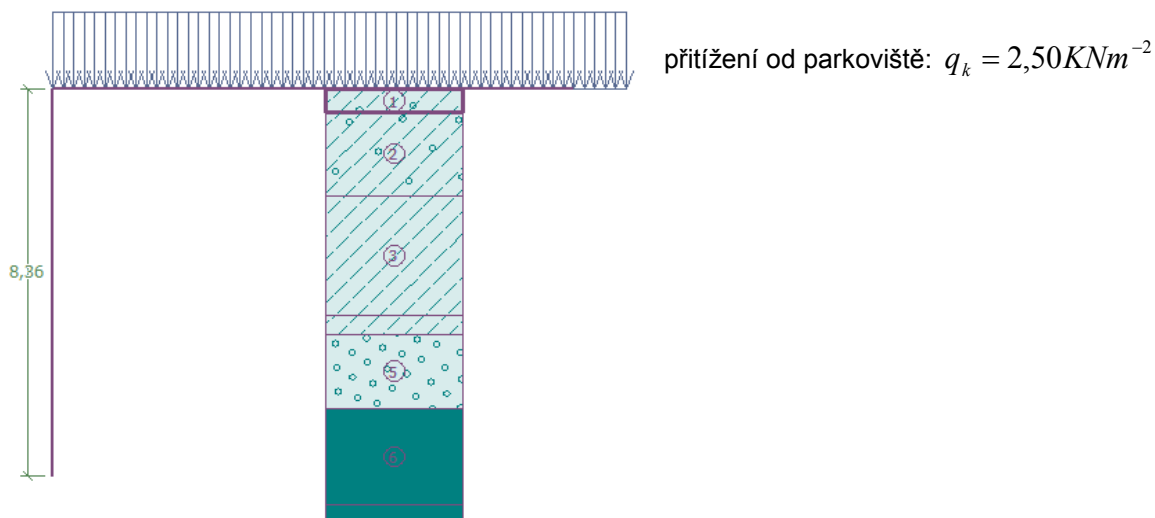


Budovy ZŠ Kořenského: 110 \_hlav. budova

Na základě *předběžného* zatřídění (dle ČSN 731001) stanoveno:

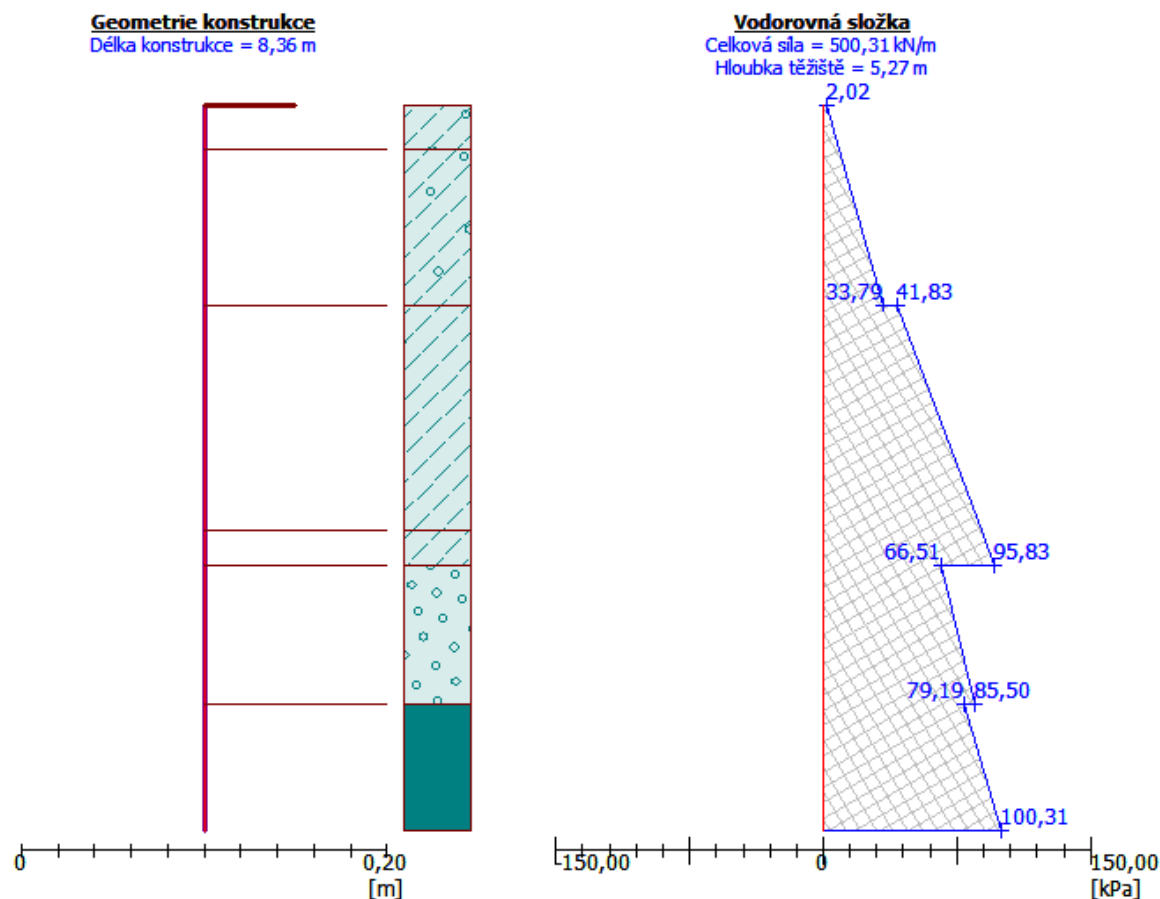
rozsah	ČSN 731001	$\nu$	$\varphi_{ef}$	$c_{ef}$	$\gamma$	$E_{def}/\nu$	$R_{dt}$	
0,0-0,5	F1-MG	0,35	29	8	19			soudržná
0,5-2,3	F1-MG	0,35	29	8	19			soudržná
2,3-4,9	F5-ML	0,4	19	12	20			soudržná
4,9-5,3	F5-ML	0,4	19	12	20			soudržná
5,3-6,9	G3-G-F	0,25	37	0	19			nesoudržná
6,9-9,0	R3					3000/0,30	5000-20000	skalní

Zemní tlak: zemní tlak v klidu (na obvodové stěny výtah. a schod. šachty)



#### Základní parametry zemin

Číslo	Název	Vzorek	$\varphi_{ef}$ [°]	$c_{ef}$ [kPa]	$\gamma$ [kN/m <sup>3</sup> ]	$\gamma_{su}$ [kN/m <sup>3</sup> ]	$\delta$ [°]
1	Třída F1, konzistence měkká		29,00	8,00	19,00	9,00	0,00
2	Třída F5, konzistence měkká		21,00	12,00	20,00	10,00	0,00
3	Třída G3, středně ulehlá		32,50	0,00	19,00	9,00	0,00
4	R3 (břidlice)		38,00	300,00	25,00	15,00	0,00



Dalším zdrojem informací jsou 3. kopané sondy ze stavebně-tech. průkumu (pro DSP) do hloubky max. 0,8-1,3 metru k zjištění základových poměrů a hloubky založení stávajících konstrukcí.

#### GEOLOGICKÉ A HYDROGEOLOGICKÉ POMĚRY

Skalní podloží zájmového území tvoří horniny spodního až středního devonu Barrandienského paleozoika. Jedná se o vápence a vápnité břidlice zlíčovského a chotečského souvrství. Povrch skalního podloží je nepravidelně zvětralý. Hloubka zvětralinové zóny je nepravidelná a dosahuje až 4 m.

Původní kvartérní pokryv, který dosahoval mocnosti okolo 2 až 4 m, tvořily zvětraliny vápenců a břidlic charakteru hlín s úlomky až zahliněných sutí. Nepravidelný průběh skalního podloží a sklonitost terénu byl pravděpodobně důvodem, proč byl při výstavbě školy terén upraven násypem z hutněné vápencové drtě. Mocnost násypu se bude pohybovat okolo 2 m.

Podzemní voda je vázaná na rozpukané partie skalního podloží, kde vytváří puklinovou zvedeň s hladinou v hloubce okolo 10 m.

Základové poměry zájmového území je možné charakterizovat jako složité. Základovou půdu tvoří hutněná vápencová drť, která je silně ulehlá a dle provedeného laboratorního rozboru se jedná dle ČSN 73 6133 o zemní sypaninu charakteru štěrku s příměsí jemnozrnné zeminy (G3-G-F).

Na základě *předběžného* zatřídění (dle ČSN 731001) stanoveno:

rozsah	ČSN 731001	v	$\varphi_{ef}$	cef	$\gamma$	Edef	Rdt	
0,0-0,8	G3-G-F	0,25	37	0	19		360	nesoudržná

Objekt pavilonu je založený plošně na pasech a sloupy atria na patkách širokých cca 1,0 m. Hloubka založení je 0,6 – 0,7 m. Základové pasy i patky jsou betonové.

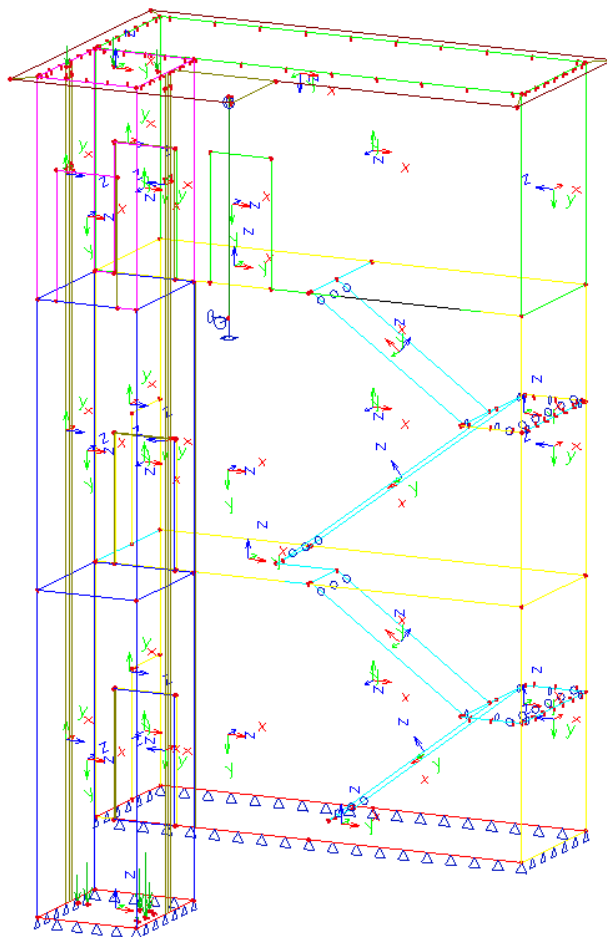
Orientační únosnost základové půdy je při dané hloubce založení možné uvažovat 360 kPa.



## 6. Výsledky výpočtu

### 6.1. Posouzení nosné konstrukce\_110\_hlavní budova

#### 6.1.1. Model konstrukce.



Z konstrukčního hlediska podzemní stěny výtahové šachty a schodiště budou z žb. monolitických stěn tl. 400mm (stěny vystavené zemnímu tlaku) a 200mm (stěny přiléhající k jiné, bez vystavení zemnímu tlaku) z C25/30-XC2-S4-Dmax22. Stěny nad terénem budou z bednicích dílců BD 20, celkové tl. 200mm vyplněné betonem C25/30-XC1-S4-Dmax22. Podesty schodišť s rameny a plochá střecha taktéž žb. monolit tl. 150mm z C25/30-XC1-S4-Dmax22. Z venkovní strany je část plochy střechy podepřena ocel. sloupkem.

Celý model je staticky neučtý, složen z 2D prvků (stěny a desky) a 1D prvků (krokve zastřešení).

Vodorovné konstrukce:

Desky řešeny jako 2D element klasickou deskovou rovnicí (Mindlin. teorie), kloubově uloženy na svislé stěny.

Deska schodiště řešena jako 2D element klasickou deskovou rovnicí (Mindlin. teorie). kloubově uložena na vodorovnou desku podest a základovou desku. Desky podest pak kloubově do bočních stěn.

Základová deska na terénu (řešena stejně jako ostatní desky) je podepřena celoplošnou pružnou podporou simulující uložení na základovou zeminu pomocí Winklerova modelu. Uvažované konstanty odpovídají předpokládanému podloží v dané hloubce (cca. 8,5m pod terénem), tedy zvětralé břidlici, třídy R3:  $C_{1,z}=100,000 \text{ MPa/m}$ ,  $C_{1,x}=C_{1,y}=33,300 \text{ MPa/m}$ ,  $C_{2x}=C_{2y}=16,670 \text{ MPa/m}$ .

Svislé konstrukce:

Stěny řešeny jako 2D element klasickou stěnovou rovnicí, ke vodorovným deskám stropu připojeny kloubově.

Ocel. sloup je řešen jako klasický nosník prutovou rovnicí (dle B.-N. hypotézy) pro prostý ohyb+tlak, staticky určitý. Uložení na základovou podporu a podepření střešní desky kloubově.

### 6.1.2. Protokol o výpočtu

Počet 2D prvků	486
Počet 1D prvků	87
Počet uzlů sítě	512
Počet rovnic	3072
Zatěžovací stavy	ZS 1 LC1
	ZS 4 4.1_gk
	ZS 5 4.2_gv
	ZS 6 4.3_sso
	ZS 7 3.0_qk
	ZS 8 2.1_sk
	ZS 9 1.1_wk0
	ZS 10 1.1_wk90
Ohybová teorie	Mindlin
Spuštění výpočtu	6.4.2018 12:13
Konec výpočtu	6.4.2018 12:13

### 6.1.3. Materiály

Žb. stěny a desky z C25/30-XC1/XC2-S4-Dmax22. Ocel. sloupek z S235.

### 6.1.4. Průřezy a tl.

Žb. základová deska pod výtah. a schod. šachtou tl. 250mm

Žb. podzemní stěna vystavená zemnímu tlaku tl. 400mm, žb. podzemní stěna ostatní tl. 200mm.

Nadzemní stěny z bednicích dílců BD200 vyplněných bet. a proloženými výztuží (tl. desky cca. 125 mm).

Žb. deska schodiště, podest a ploché střechy tl. 150mm.

Vnější sloupek: ocel. válcovaný profil uzavřený („jekl“)

### 6.1.5. Zatěžovací stavy

Jméno	Popis	Typ působení	Skupina zatížení	Typ zatížení	Spec	Působení	Rídící zat. stav
4.0_gk	vl. tíha	Stálé	stale	Standard			
4.1_gk	ostn. stale	Stálé	stale	Standard			
4.2_gv	vytah	Stálé	stale	Standard			
4.3_sso	zemní tlak v klidu	Stálé	stale	Standard			
3.0_qk	uzitne	Nahodilé	uzitne	Statické	Standard	Krátkodobé	Žádný
2.1_sk	snih	Nahodilé	snih	Statické	Standard	Střednědobé	Žádný
1.1_wk0	vitř_0°	Nahodilé	vitř	Statické	Standard	Krátkodobé	Žádný
1.1_wk90	vitř_90°	Nahodilé	vitř	Statické	Standard	Krátkodobé	Žádný

### 6.1.6. Kombinace

uvažované kombinace KZS: pro mezní stavy únosnosti typu STR/GEO: (s vl. tíhou)

obecná kombinace: varianta B

$$6.10a \quad \sum \gamma_G G_k + \psi_0 \gamma_{Q,1} Q_{k,1,hlavní} + \sum_{i \geq 1} \psi_0 \gamma_{Q,i} Q_{k,i}$$

$$6.10b \quad \sum \xi_j \times \gamma_G G_k + \gamma_{Q,1} Q_{k,1,hlavní} + \sum_{i \geq 1} \psi_0 \gamma_{Q,i} Q_{k,i}$$

$$\xi_j = 0,85$$

kombinační součinitele:

-pro proměnné zatížení: užité pro střechy kategorie H →  $\psi_0 = 0$  ,  $\psi_1 = 0$  ,  $\psi_2 = 0$

-pro proměnné zatížení: klimatickými vlivy sněh do  $h \leq 1000$  m.n. →  $\psi_0 = 0,5$  ,  $\psi_1 = 0,2$  ,  $\psi_2 = 0$

-pro proměnné zatížení: klimatickými vlivy vítr. →  $\psi_0 = 0,6$  ,  $\psi_1 = 0,2$  ,  $\psi_2 = 0$

Kombinace

Jméno	Typ	Zatěžovací stavy	Souč. [1]
6.10a01	EN - MSÚ (STR)	3.0_qk - užitné	1,05
		4.0_gk - vl. tíha	1,35
		4.1_gk - ostn. stale	1,35
		4.2_gv - vytah	1,35
		4.3_sso - zemní tlak v klidu	1,35
6.10a02	EN - MSÚ (STR)	2.1_sk - sníh	0,75
		4.0_gk - vl. tíha	1,35
		4.1_gk - ostn. stale	1,35
		4.2_gv - vytah	1,35
		4.3_sso - zemní tlak v klidu	1,35
6.10a03	EN - MSÚ (STR)	1.1_wk0 - vitr_0°	0,9
		4.0_gk - vl. tíha	1,35
		4.1_gk - ostn. stale	1,35
		4.2_gv - vytah	1,35
		4.3_sso - zemní tlak v klidu	1,35
6.10a04	EN - MSÚ (STR)	1.1_wk90 - vitr_90°	0,9
		4.0_gk - vl. tíha	1,35
		4.1_gk - ostn. stale	1,35
		4.2_gv - vytah	1,35
		4.3_sso - zemní tlak v klidu	1,35
6.10b01	EN - MSÚ (STR)	3.0_qk - užitné	1,5
		4.0_gk - vl. tíha	1,15
		4.1_gk - ostn. stale	1,15
		4.2_gv - vytah	1,15
		4.3_sso - zemní tlak v klidu	1,15
6.10b02	EN - MSÚ (STR)	2.1_sk - sníh	1,5
		4.0_gk - vl. tíha	1,15
		4.1_gk - ostn. stale	1,15
		4.2_gv - vytah	1,15
		4.3_sso - zemní tlak v klidu	1,15
6.10b03	EN - MSÚ (STR)	1.1_wk0 - vitr_0°	1,5
		4.0_gk - vl. tíha	1,15
		4.1_gk - ostn. stale	1,15
		4.2_gv - vytah	1,15
		4.3_sso - zemní tlak v klidu	1,15
6.10b04	EN - MSÚ (STR)	1.1_wk90 - vitr_90°	1,5
		4.0_gk - vl. tíha	1,15
		4.1_gk - ostn. stale	1,15
		4.2_gv - vytah	1,15
		4.3_sso - zemní tlak v klidu	1,15
6.10-01	EN - MSÚ (STR)	1.1_wk0 - vitr_0°	1,5
		4.0_gk - vl. tíha	1



6.10-02	EN - MSÚ (STR)	4.1_gk - ostn. stale	1
		4.2_gv - vytah	1
		4.3_sso - zemni tlak v klidu	1
		1.1_wk90 - vitr_90°	1,5
		4.0_gk - vl. tiha	1
		4.1_gk - ostn. stale	1
		4.2_gv - vytah	1
		4.3_sso - zemni tlak v klidu	1

uvažované kombinace KZS: pro mezní stavy použitelnosti:

charakteristická kombinace:  $\sum G_k + Q_{k,1,hlavní} + \sum_{i \geq 1} \psi_{0,i} Q_{k,i}$

třída trvání zatížení: sněh-střednědobé, vítr – krátkodobé

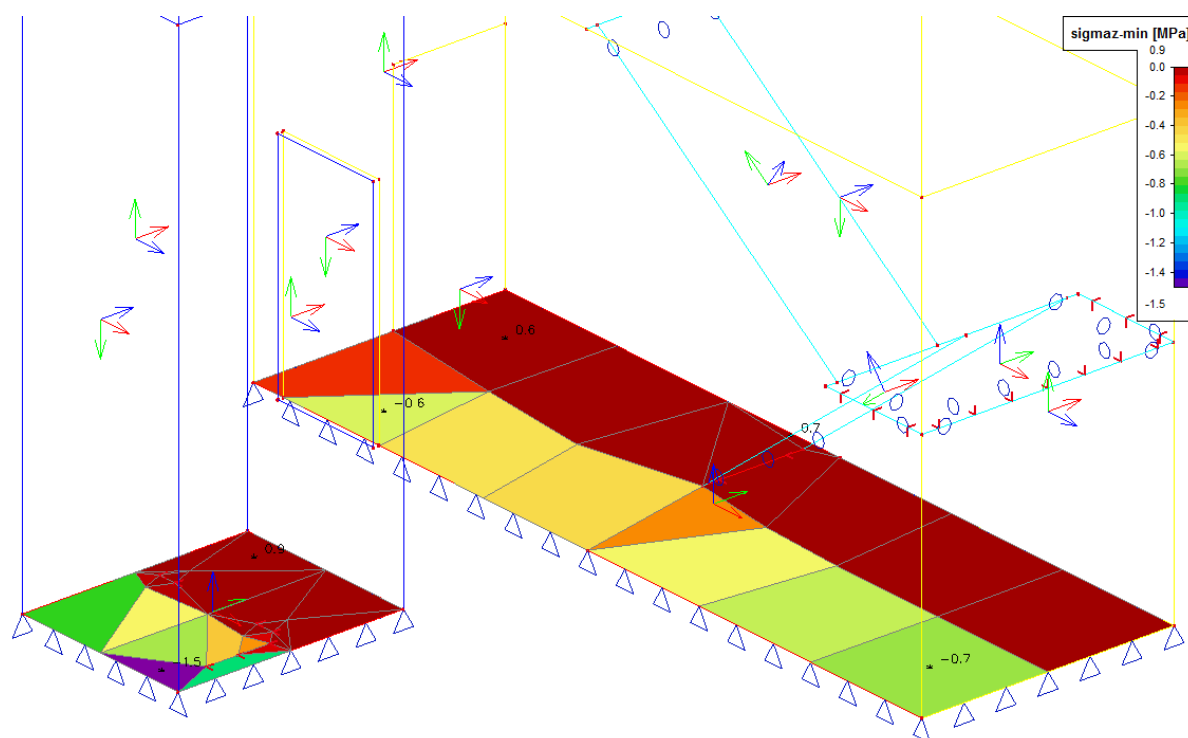
Kombinace

Jméno	Typ	Zatěžovací stavy	Souč. [1]
001	EN-MSP char.	1.1_wk90 - vitr_90°	1
		4.0_gk - vl. tiha	1
		4.1_gk - ostn. stale	1
		4.2_gv - vytah	1
		4.3_sso - zemni tlak v klidu	1
002	EN-MSP char.	1.1_wk0 - vitr_0°	1
		4.0_gk - vl. tiha	1
		4.1_gk - ostn. stale	1
		4.2_gv - vytah	1
		4.3_sso - zemni tlak v klidu	1
003	EN-MSP char.	2.1_sk - snih	1
		4.0_gk - vl. tiha	1
		4.1_gk - ostn. stale	1
		4.2_gv - vytah	1
		4.3_sso - zemni tlak v klidu	1

### 6.1.7. Reakce podpor

Lineární výpočet, Extrém : Globální

$R_z$  [kN]-reakce v uložení vnitřních průvlaků na žb. věnec 300x250 a 240x250 na vnitřní stěně



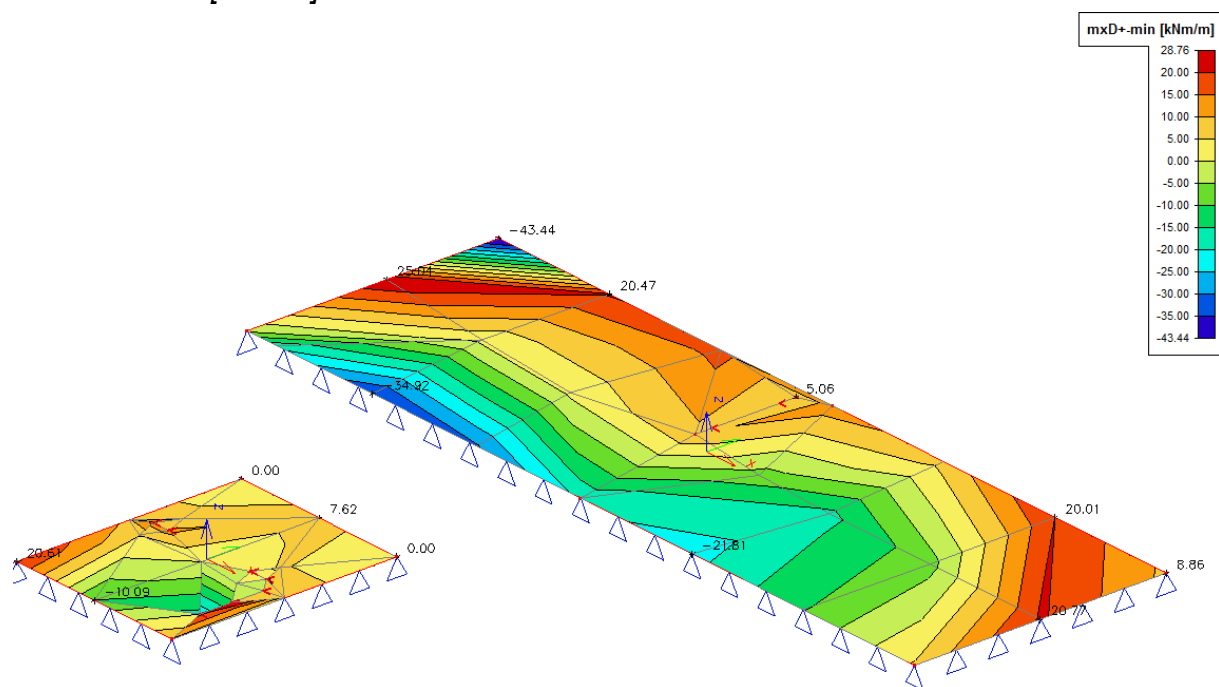
### 6.1.8. Analýza vnitřních sil, průhyby.

Vnitřní síly na prutu

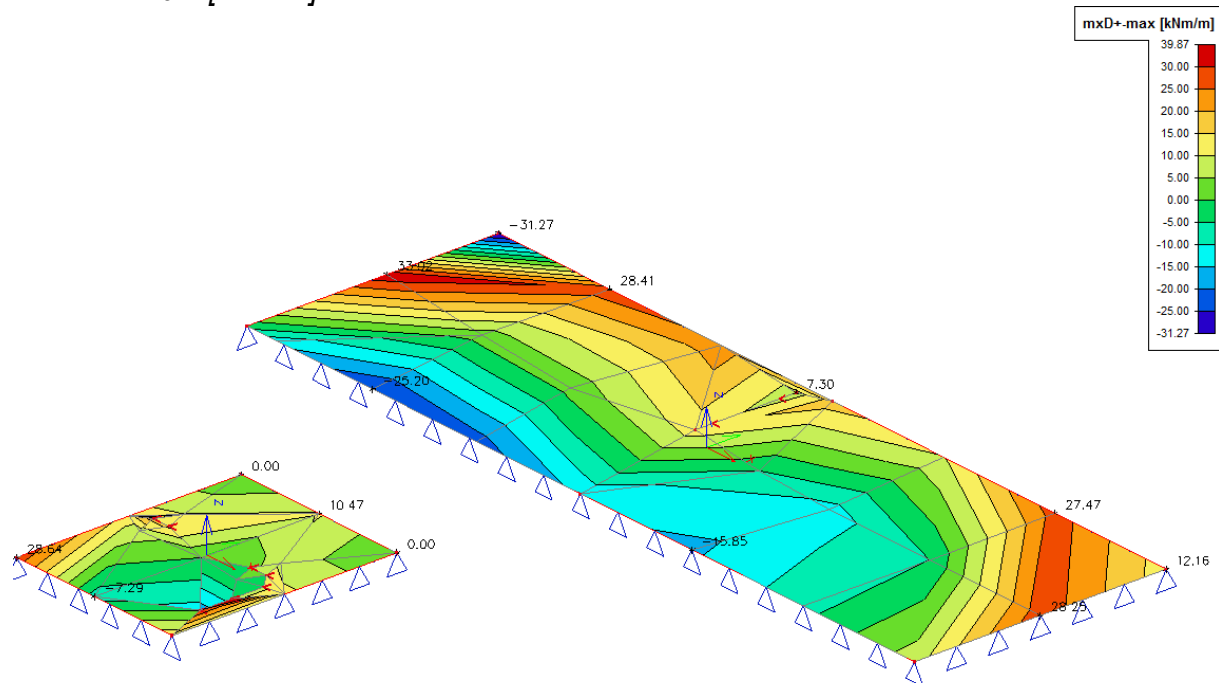
Lineární výpočet, Extrém : Globální, Systém : Hlavní

#### Základové desky

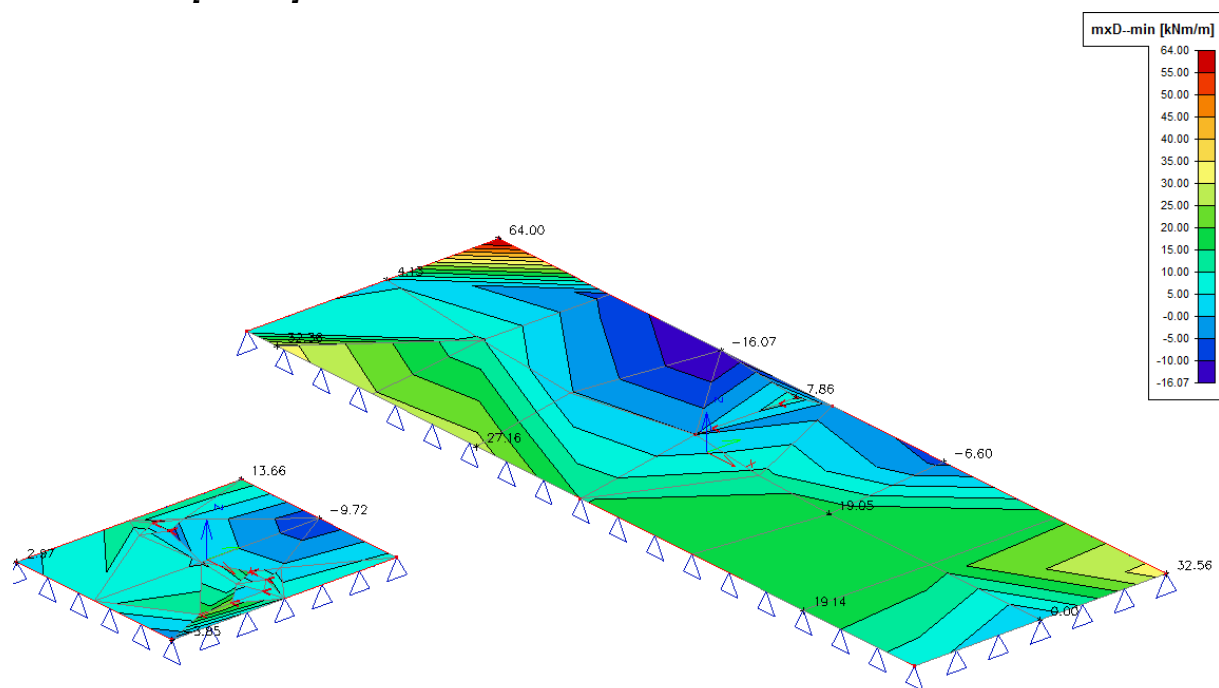
$mxD+ \text{ min. [kNm/m]}$



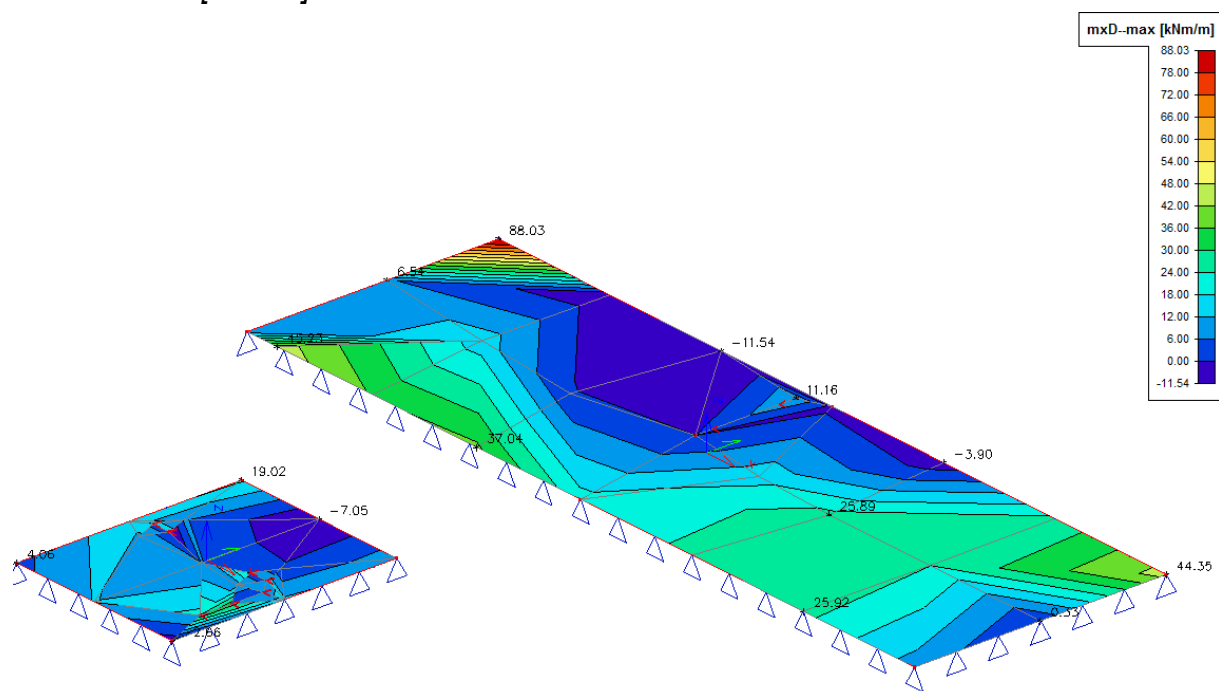
$mxD+ \text{ max. [kNm/m]}$



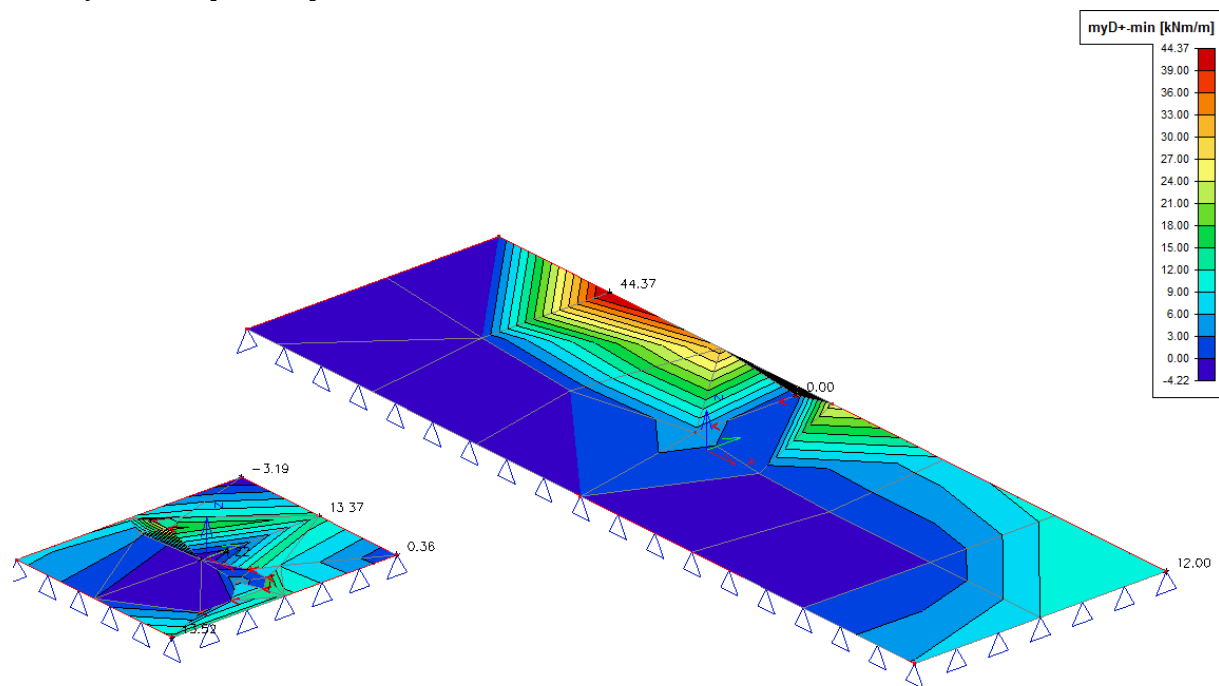
*mxD- min. [kNm/m]*



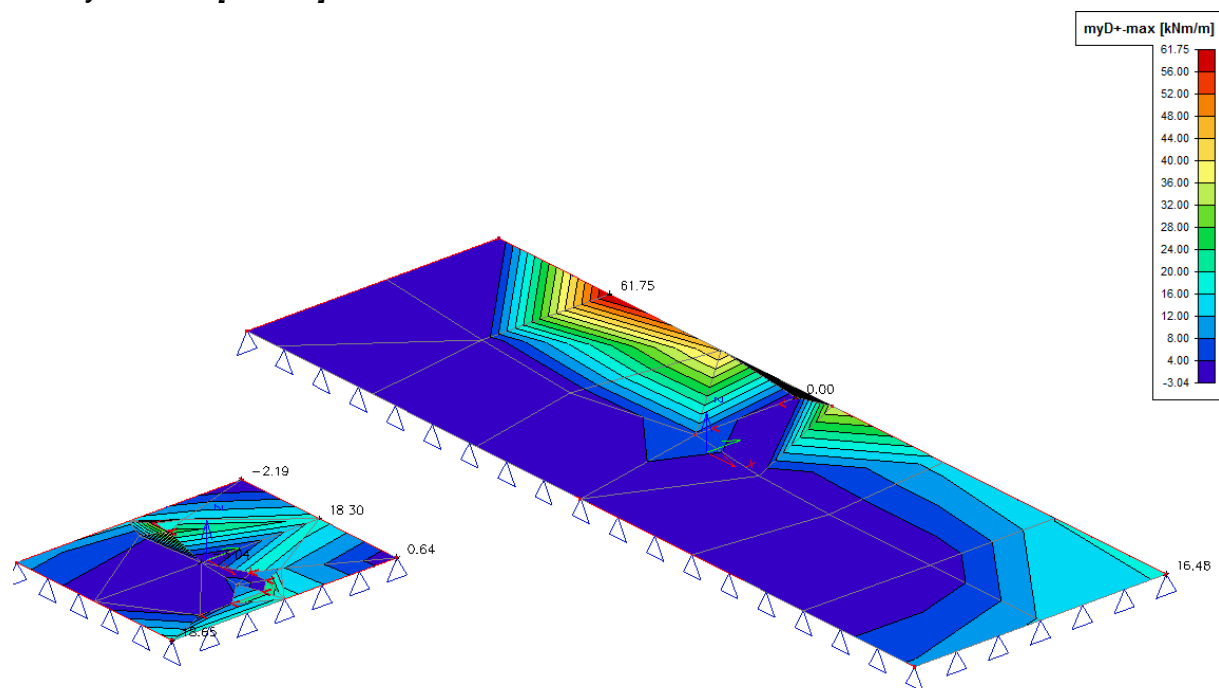
*mxD- max. [kNm/m]*



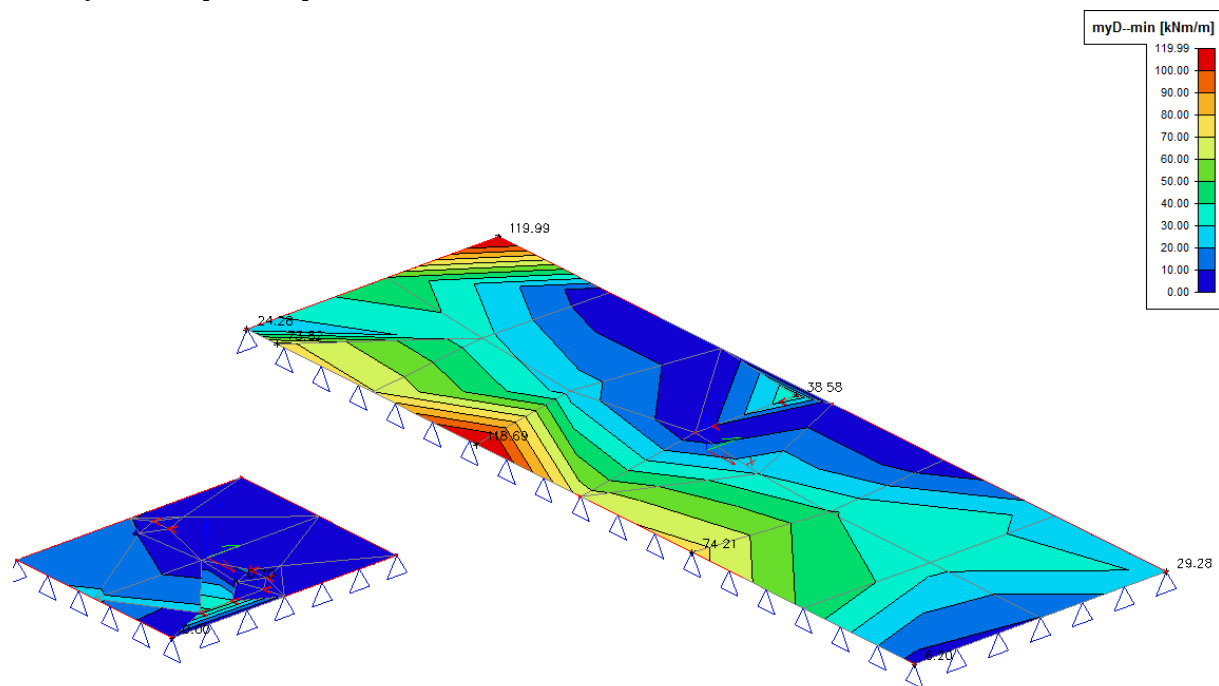
*myD+ min. [kNm/m]*



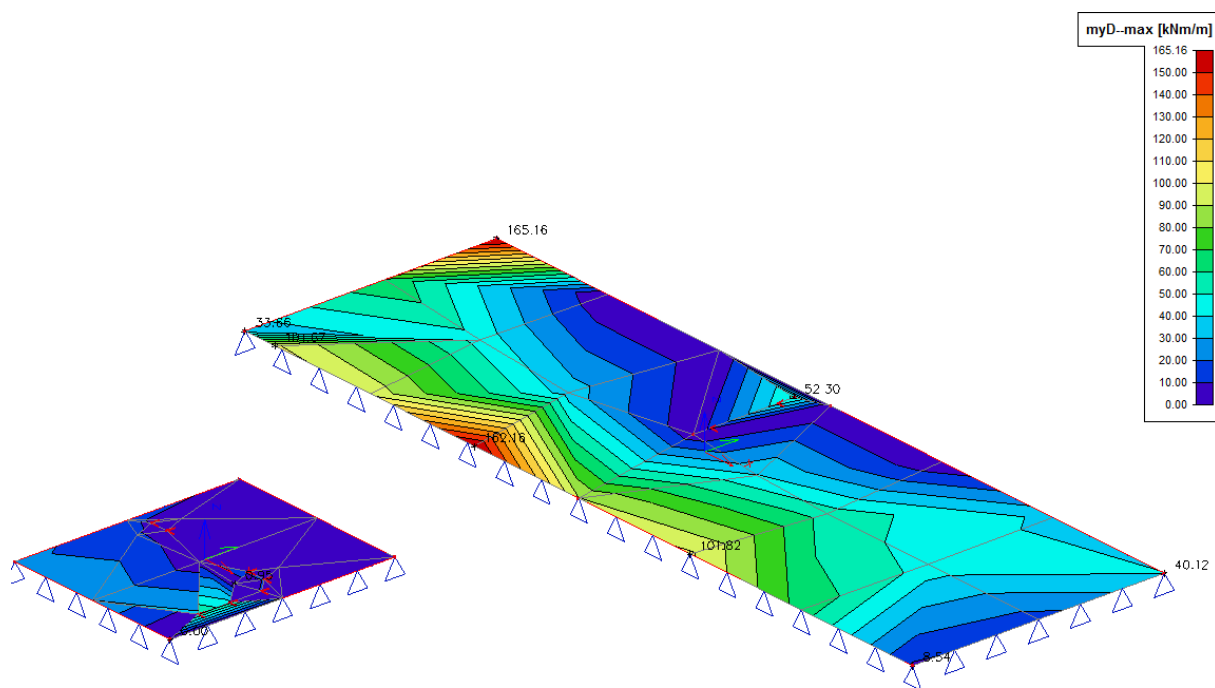
*myD+ max. [kNm/m]*



*myD- min. [kNm/m]*

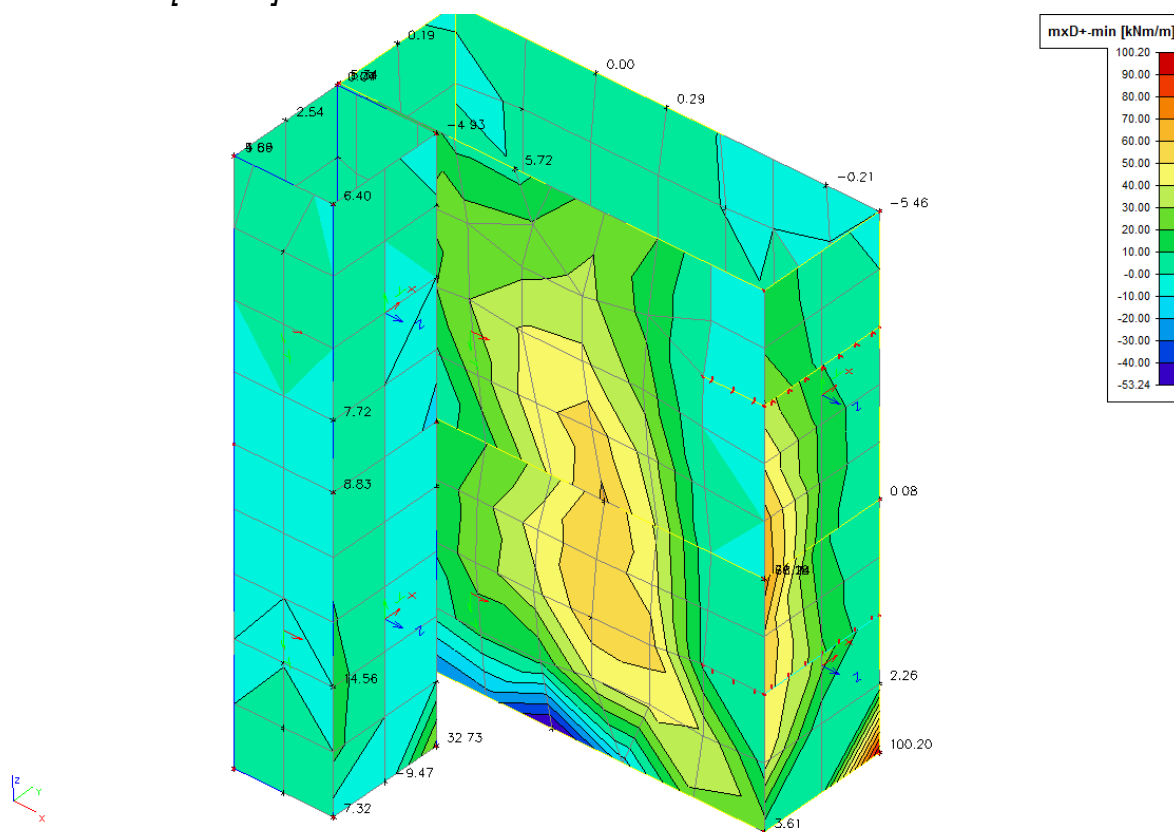


*myD- max. [kNm/m]*

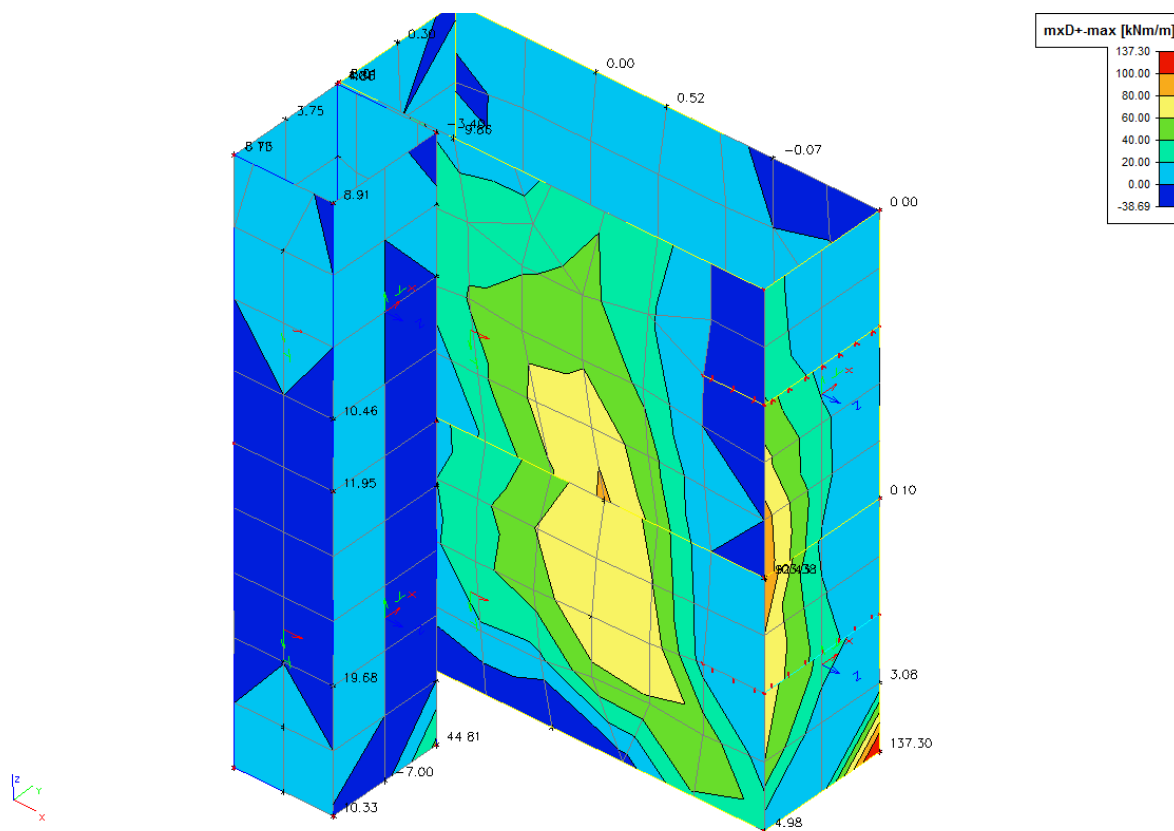


Podzemní stěny tl. 200 a 400 mm

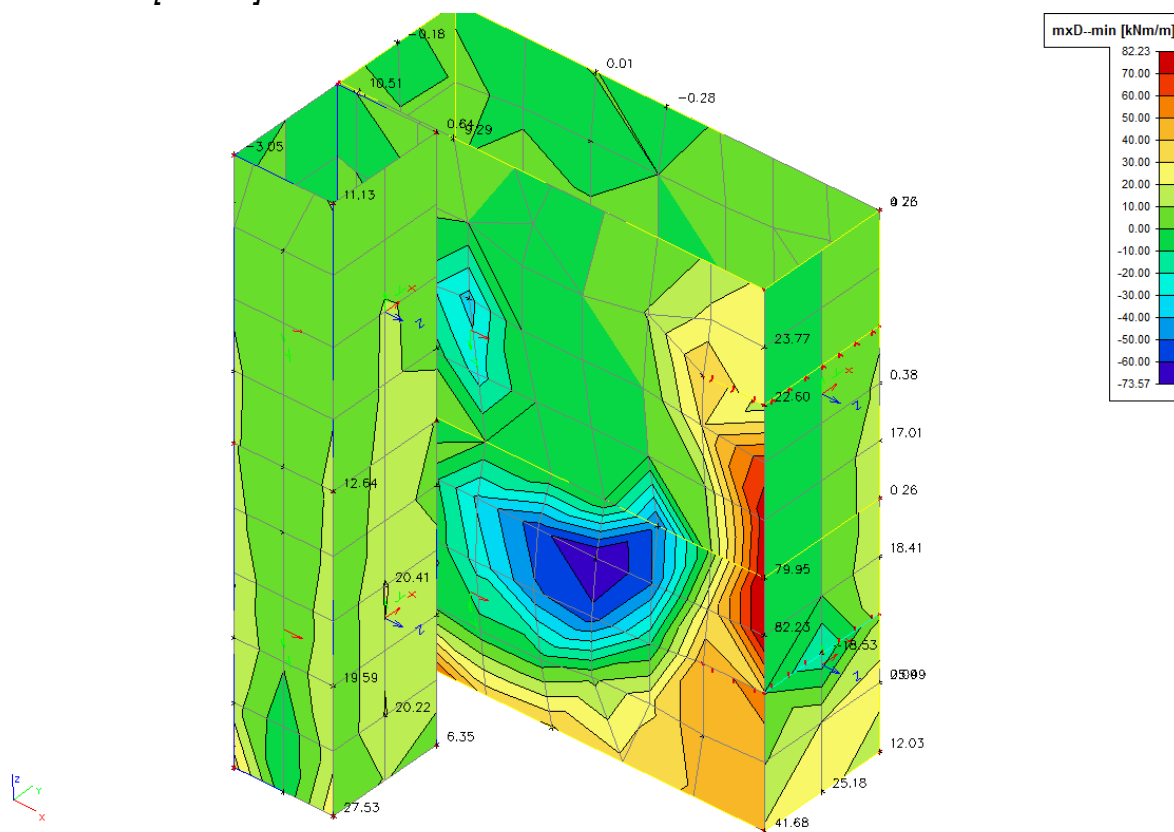
$mxD+ \min. [kNm/m]$



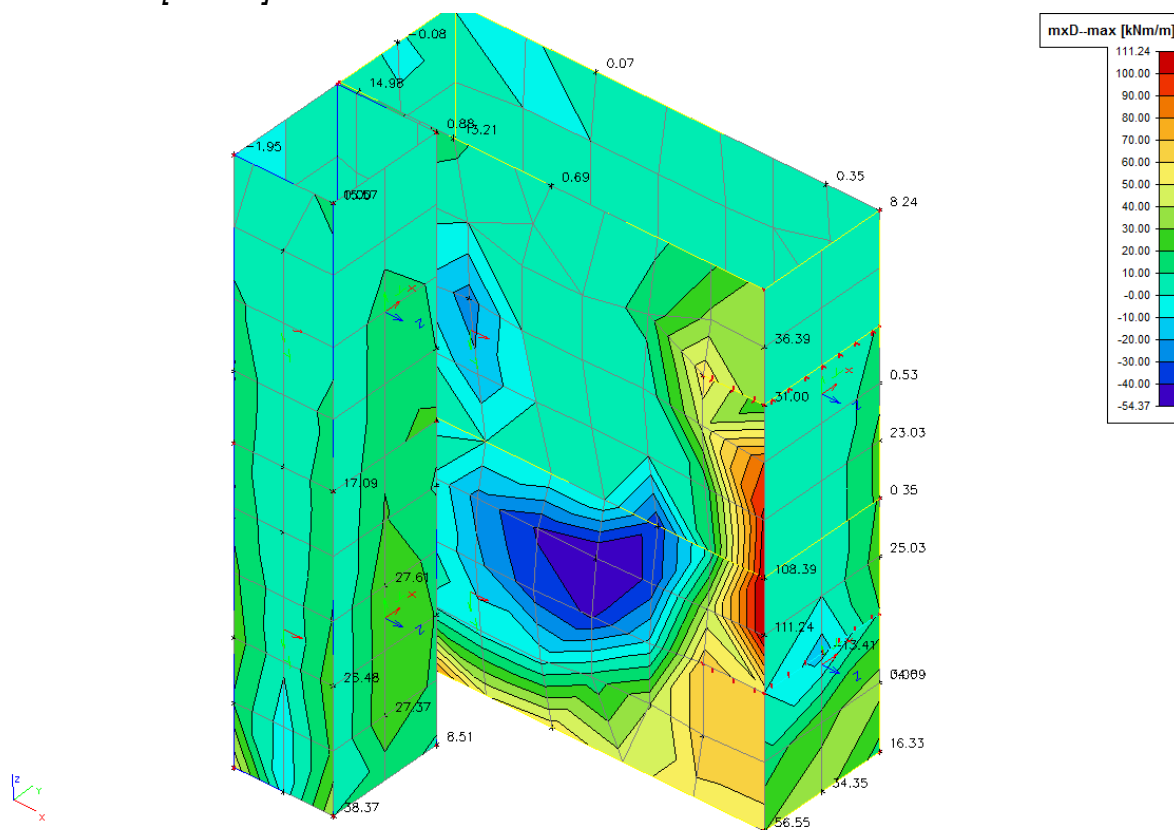
$mxD+ \max. [kNm/m]$



*mxD- min. [kNm/m]*

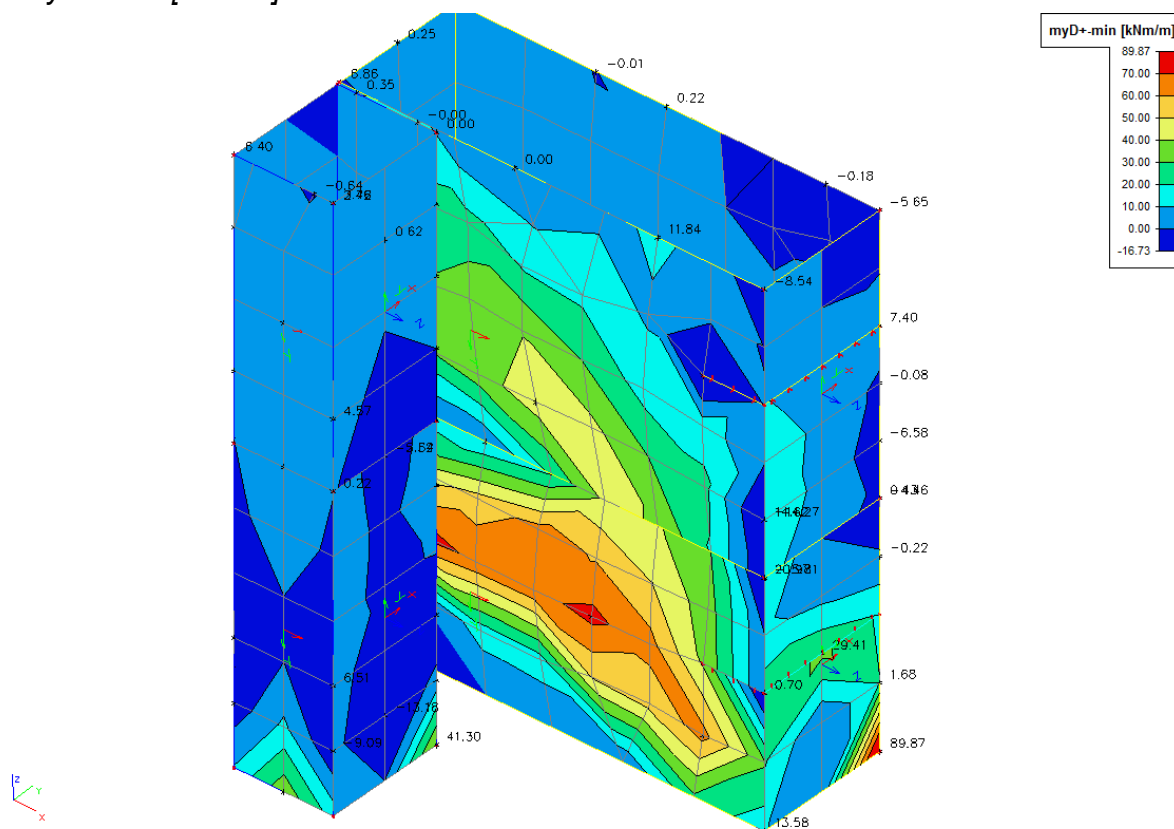


*mxD- max. [kNm/m]*

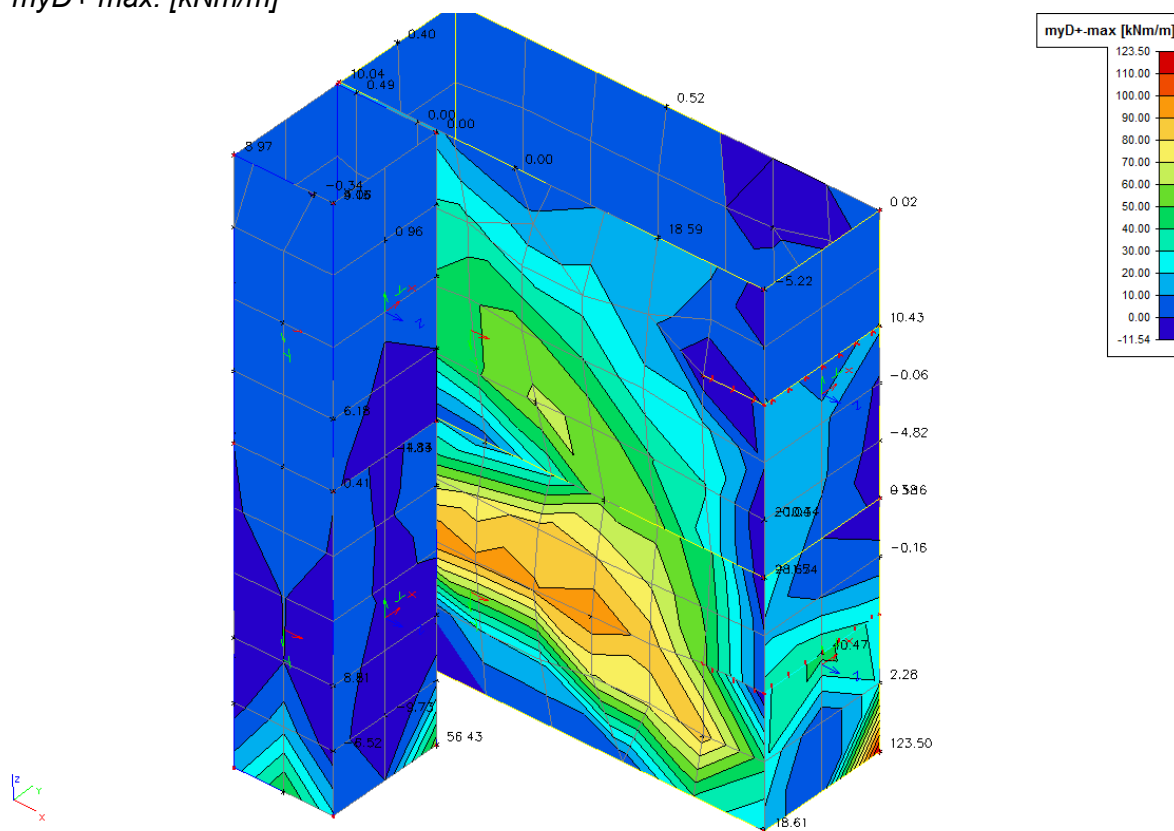




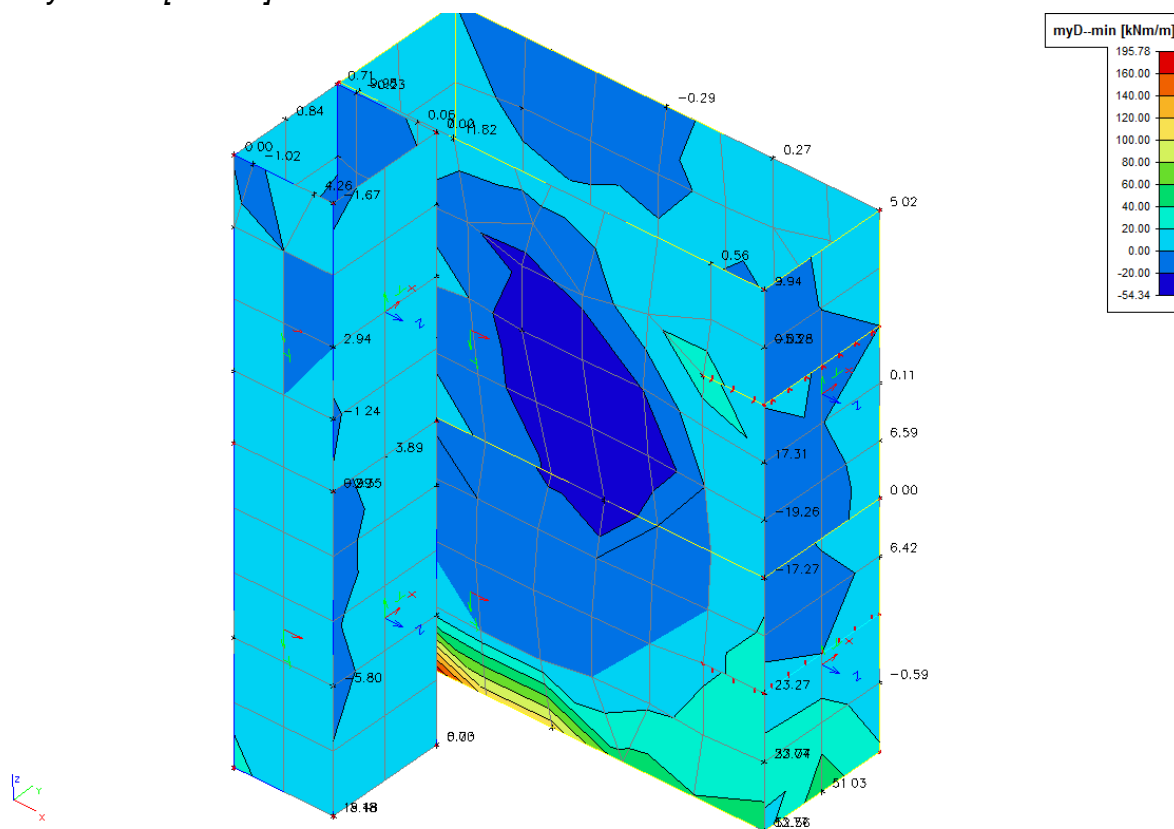
myD+ min. [kNm/m]



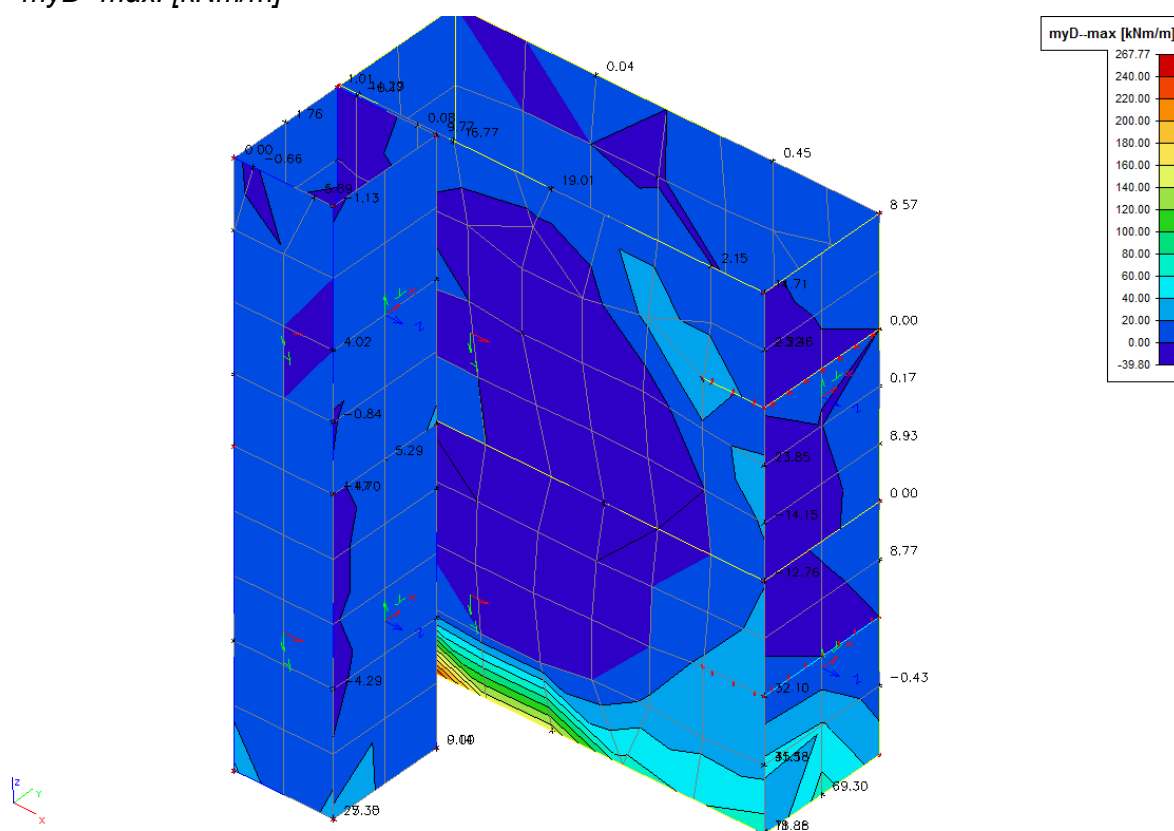
myD+ max. [kNm/m]



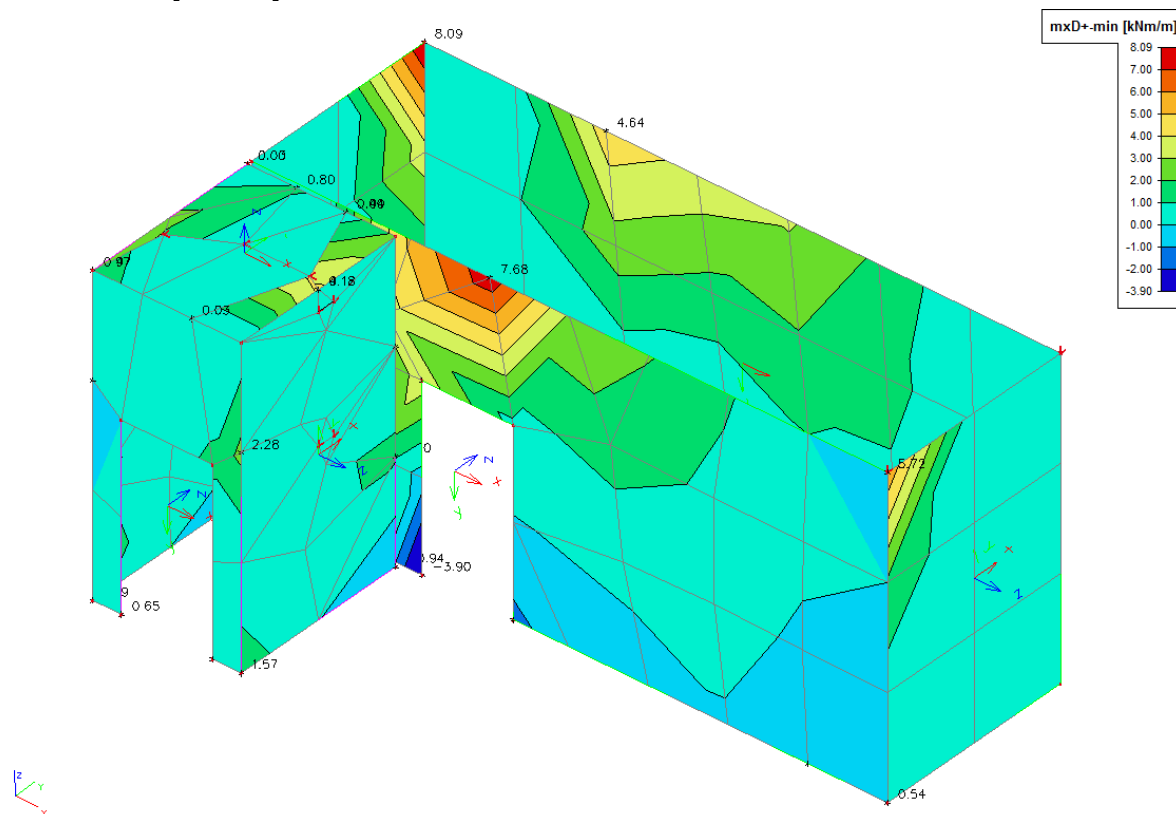
myD- min. [kNm/m]



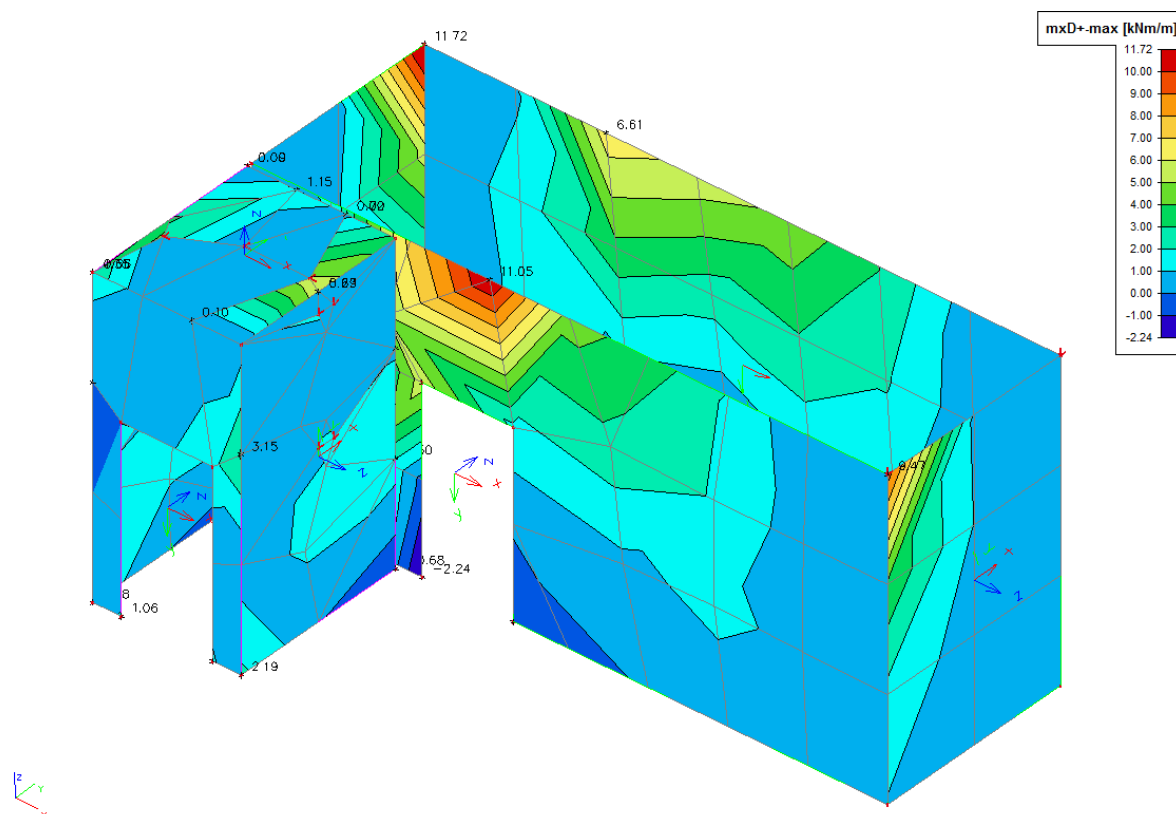
myD- max. [kNm/m]



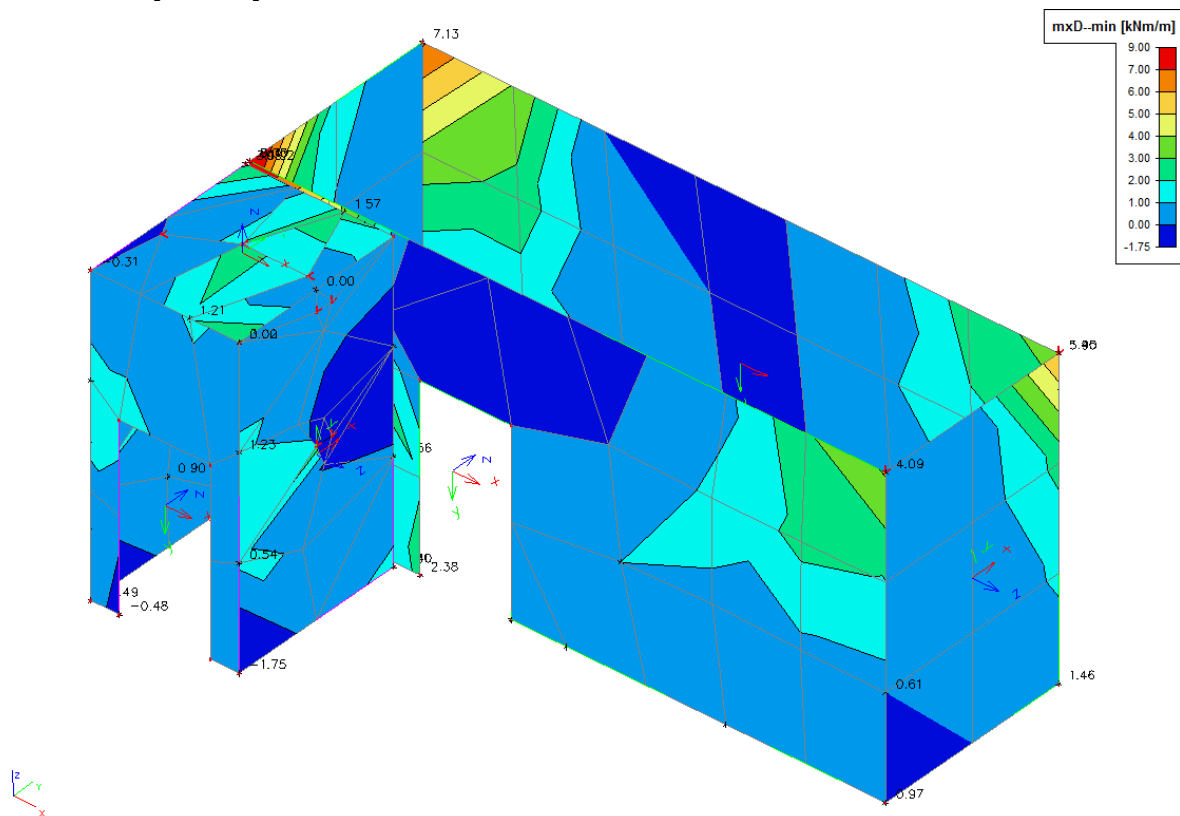
$mxD+ \text{ min. [kNm/m]}$



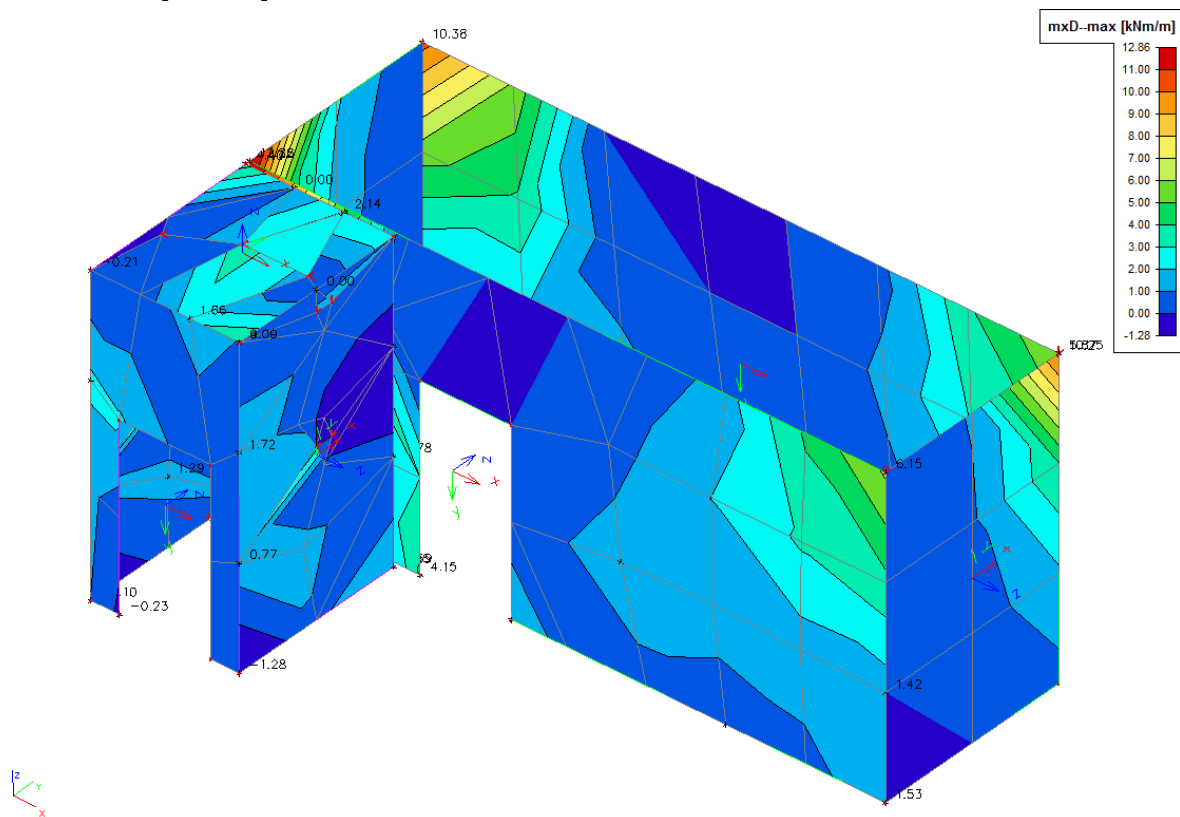
$mxD+ \text{ max. [kNm/m]}$



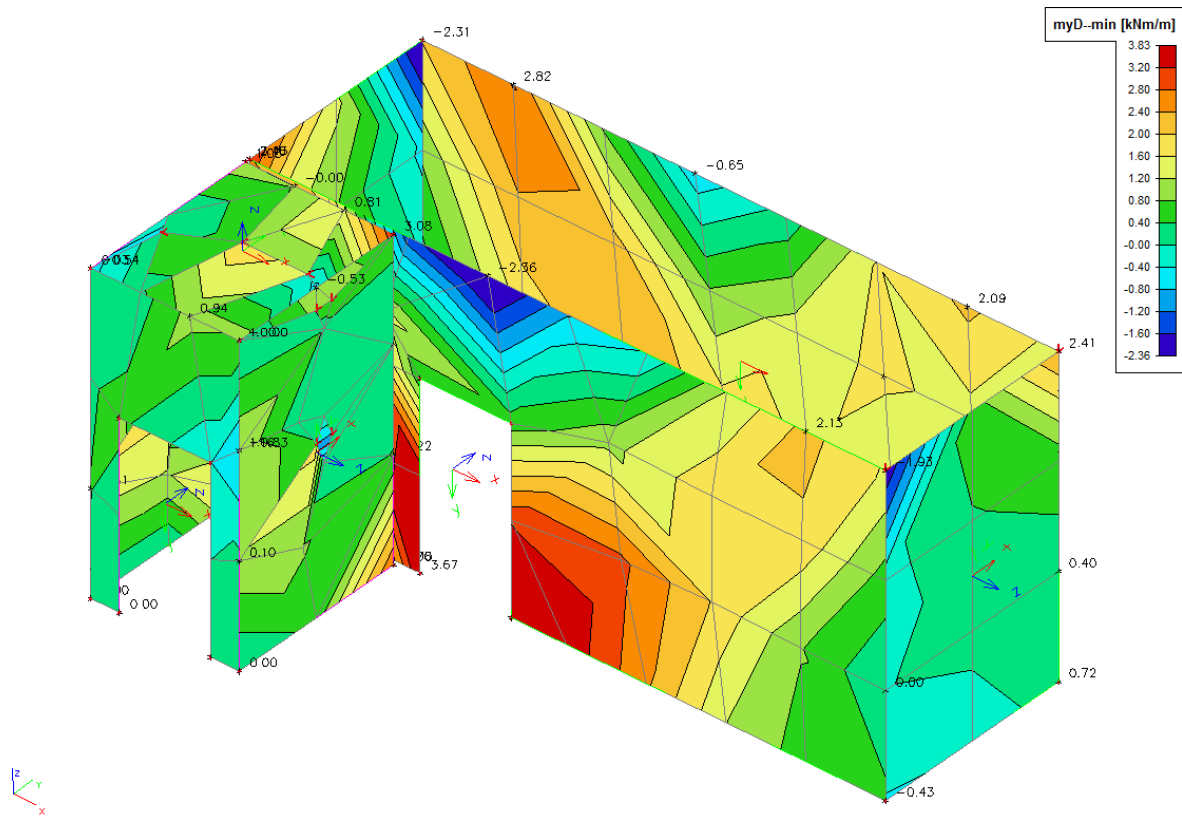
*mxD- min. [kNm/m]*



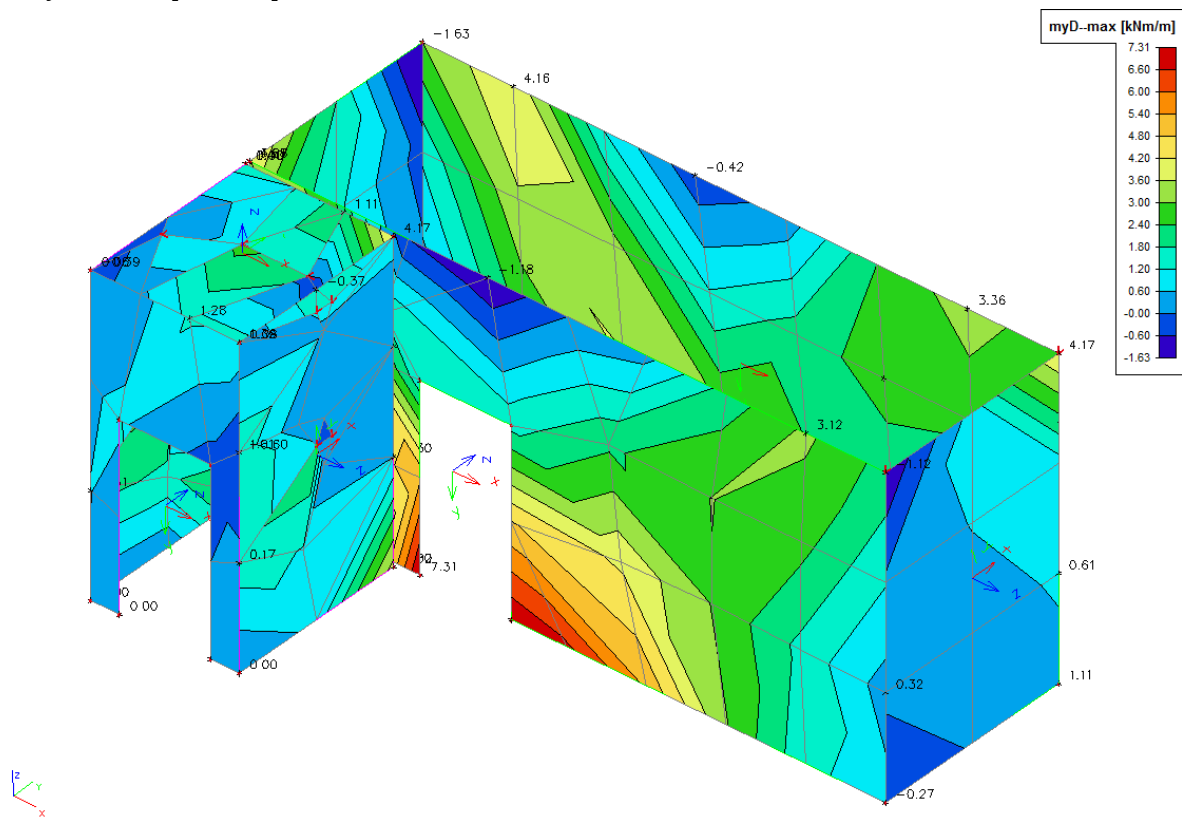
*mxD- max. [kNm/m]*





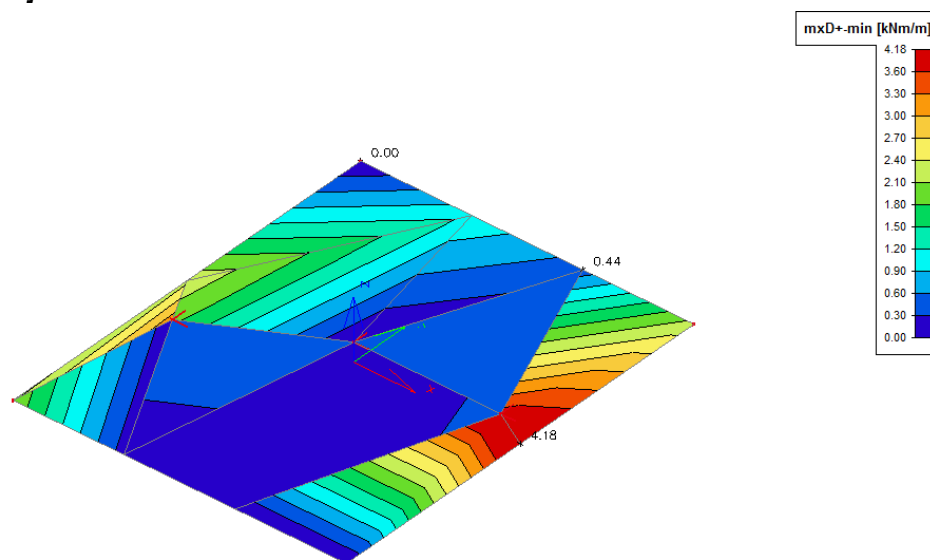
$myD- \text{ min. [kNm/m]}$ 

*myD- max. [kNm/m]*

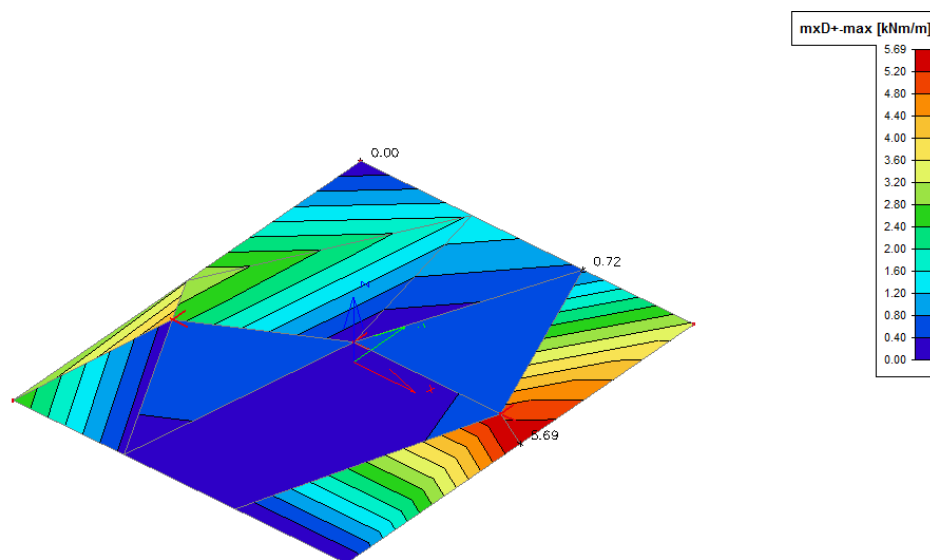


Deska stropu výtah. šachty tl. 150mm

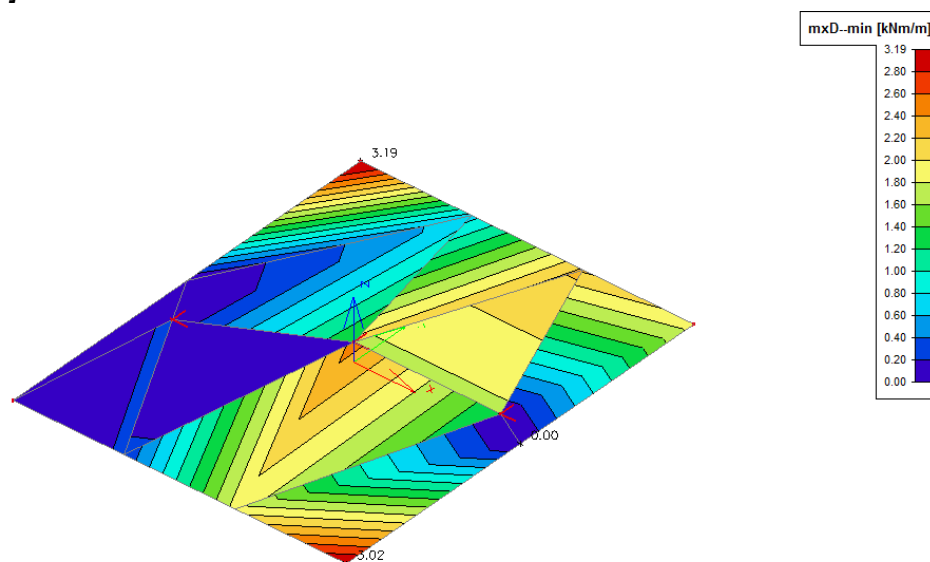
$mxD+ \text{ min. [kNm/m]}$



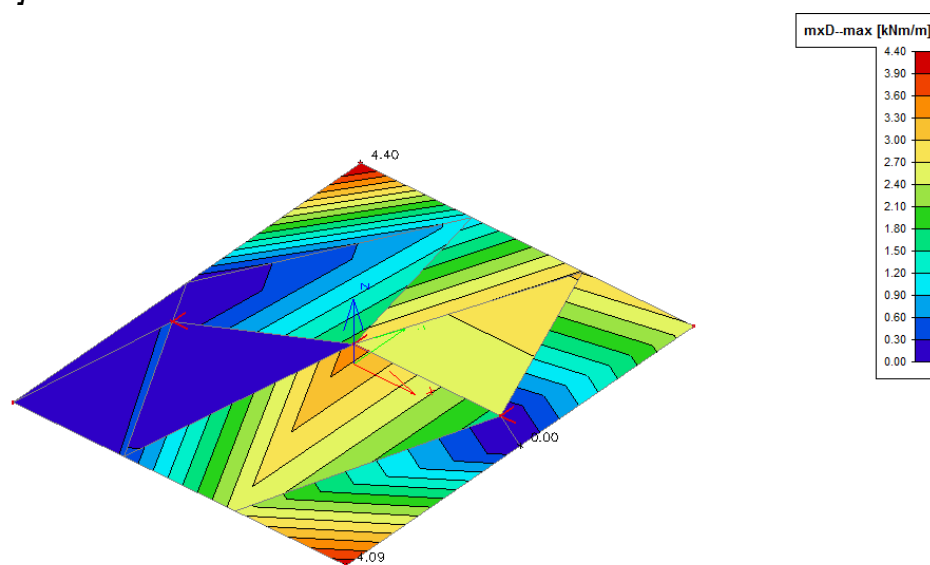
$mxD+ \text{ max. [kNm/m]}$



$mxD$ - min. [kNm/m]

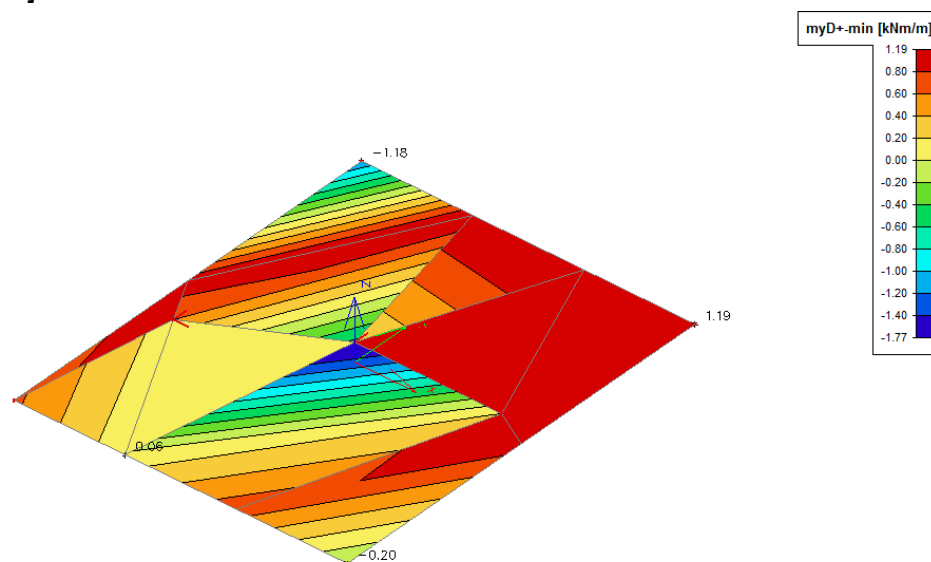


$mxD$ - max. [kNm/m]

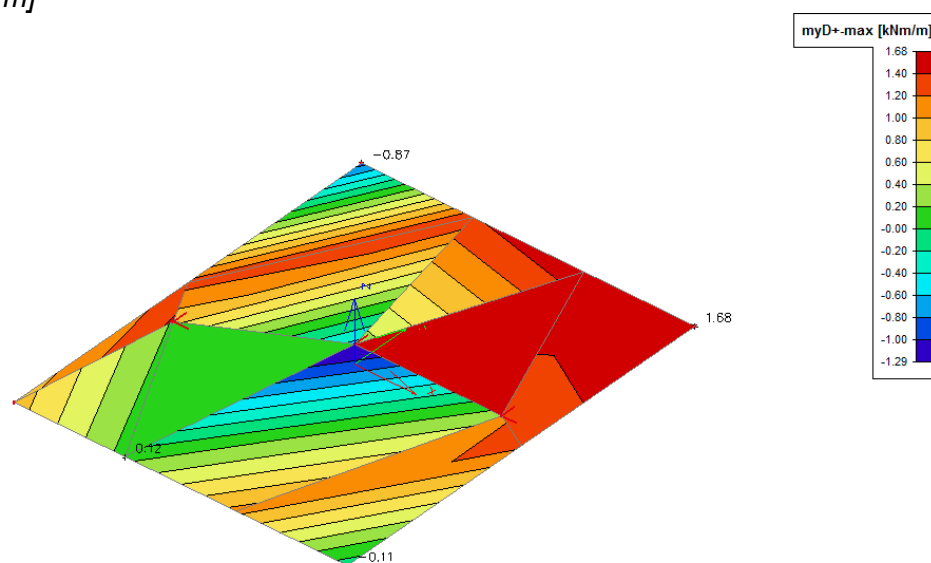




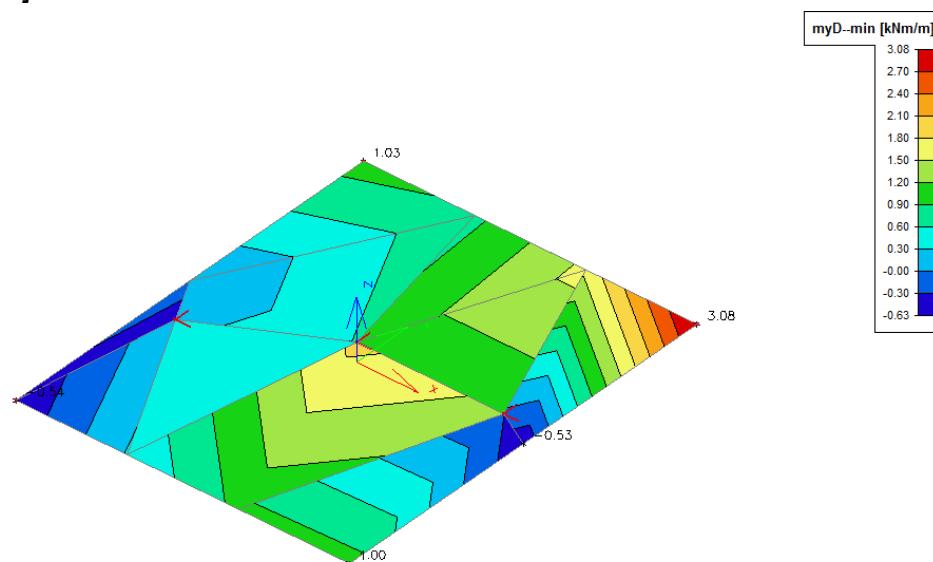
$myD+ \text{ min. [kNm/m]}$



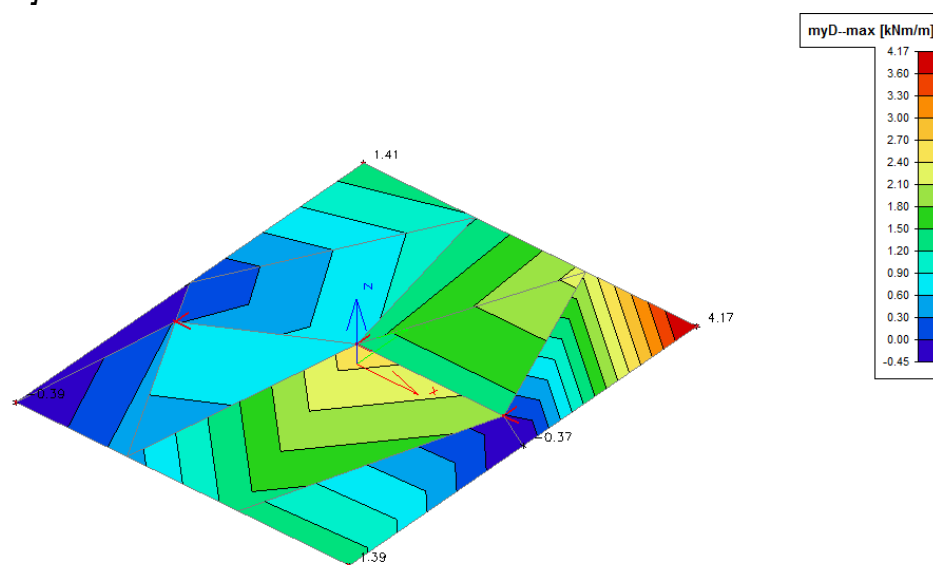
$myD+ \text{ max. [kNm/m]}$



$myD$ - min. [kNm/m]

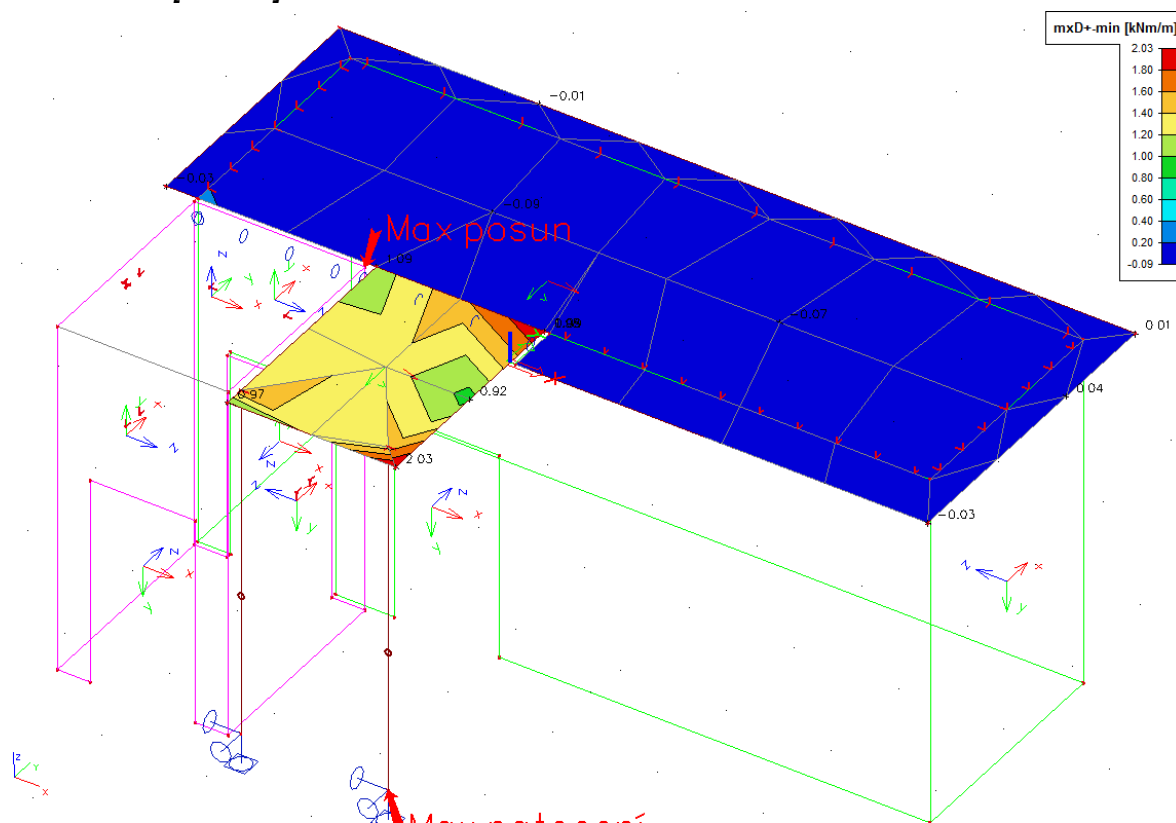


$myD$ - max. [kNm/m]

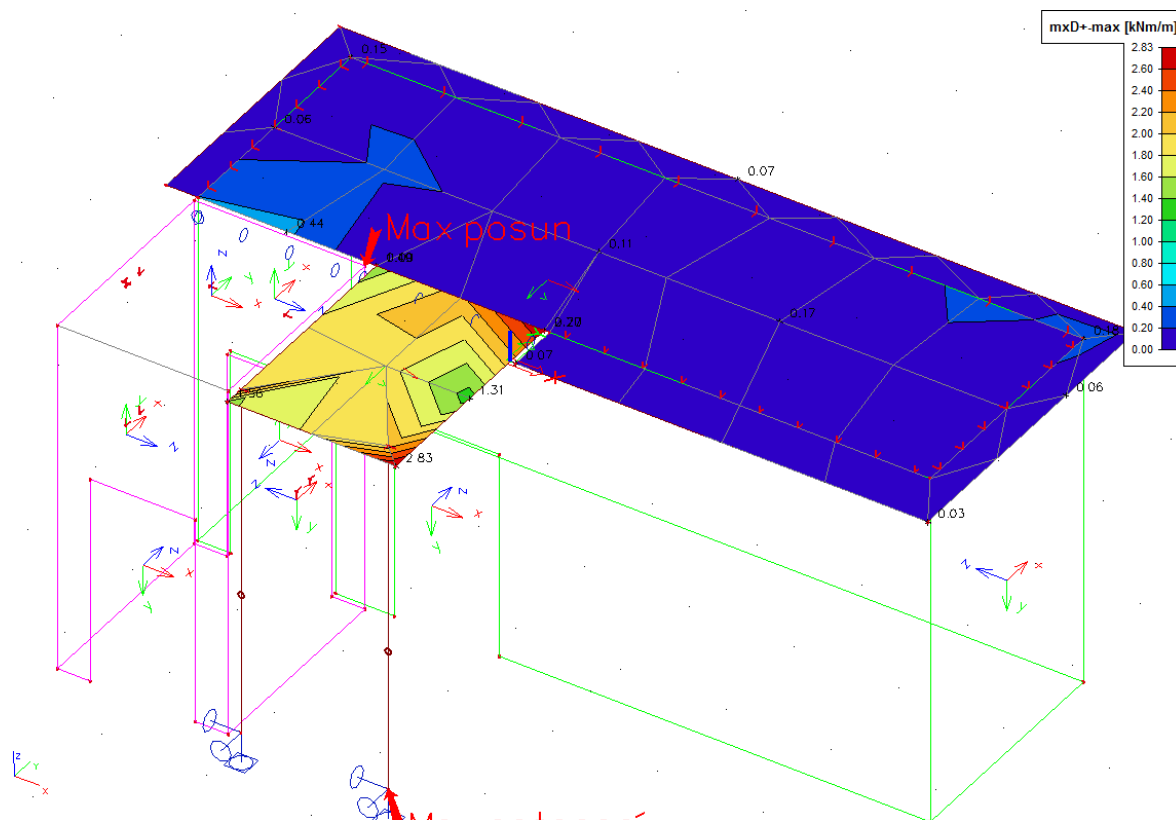


Deska ploché střechy tl. 150mm

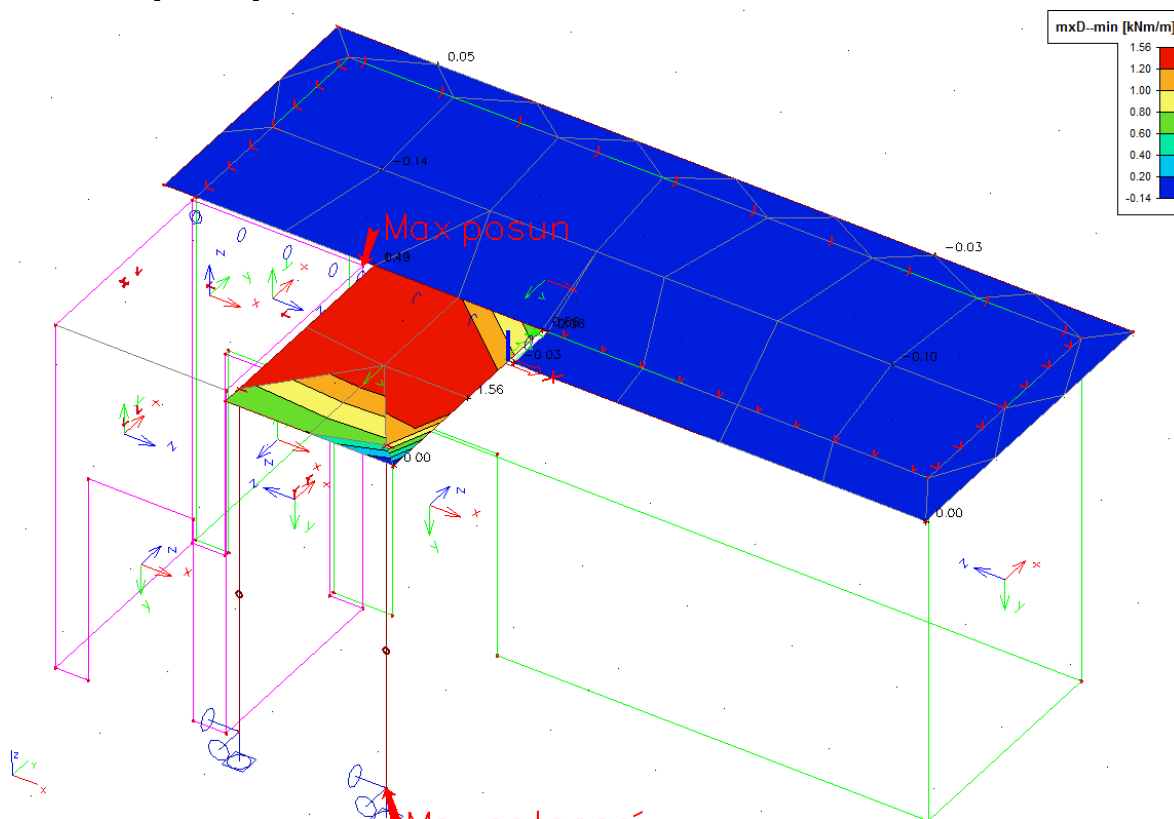
$mxD+ \text{ min. [kNm/m]}$



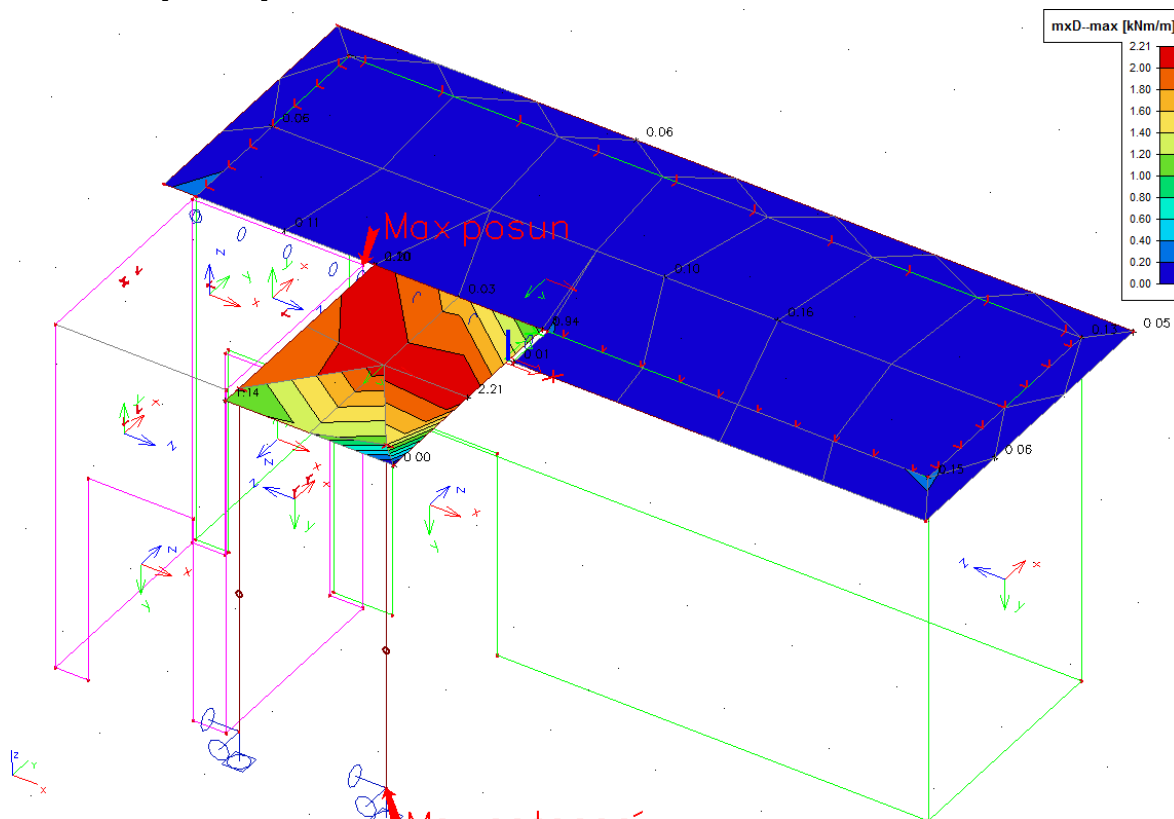
$mxD+ \text{ max. [kNm/m]}$



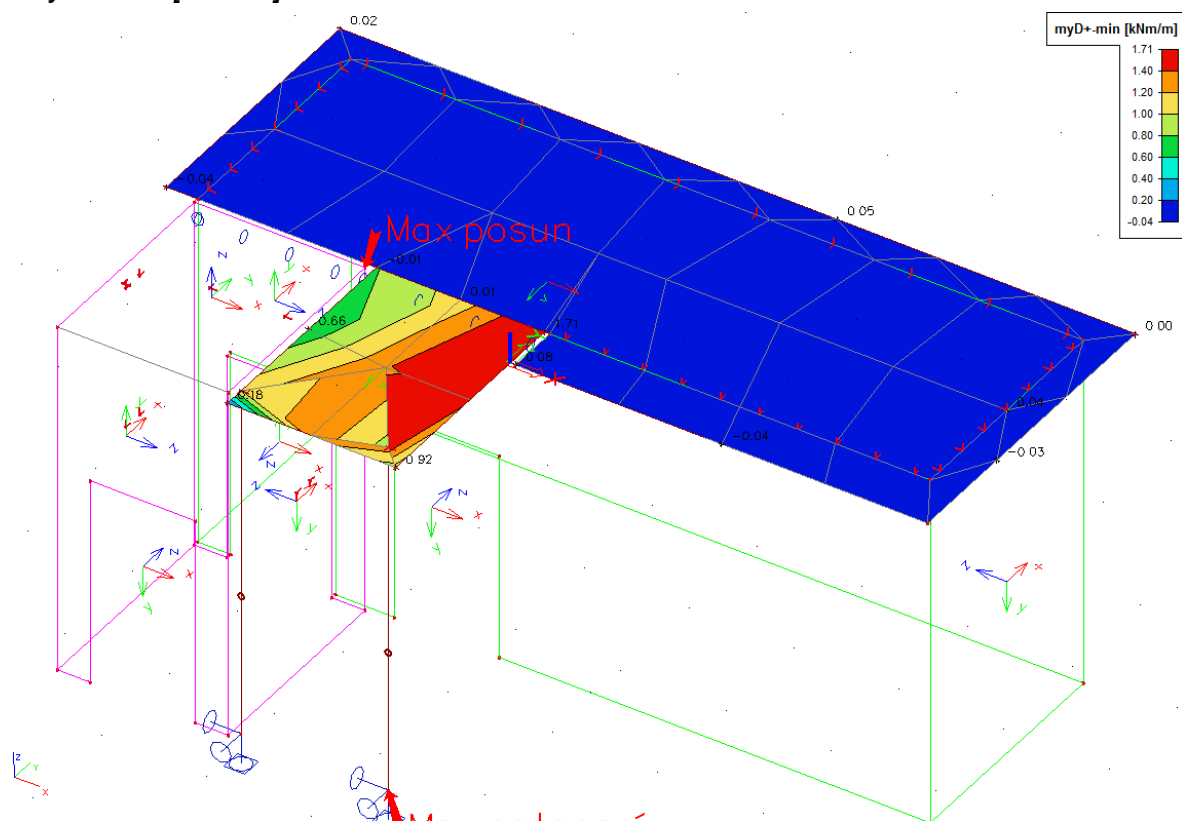
$mxD$ - min. [kNm/m]



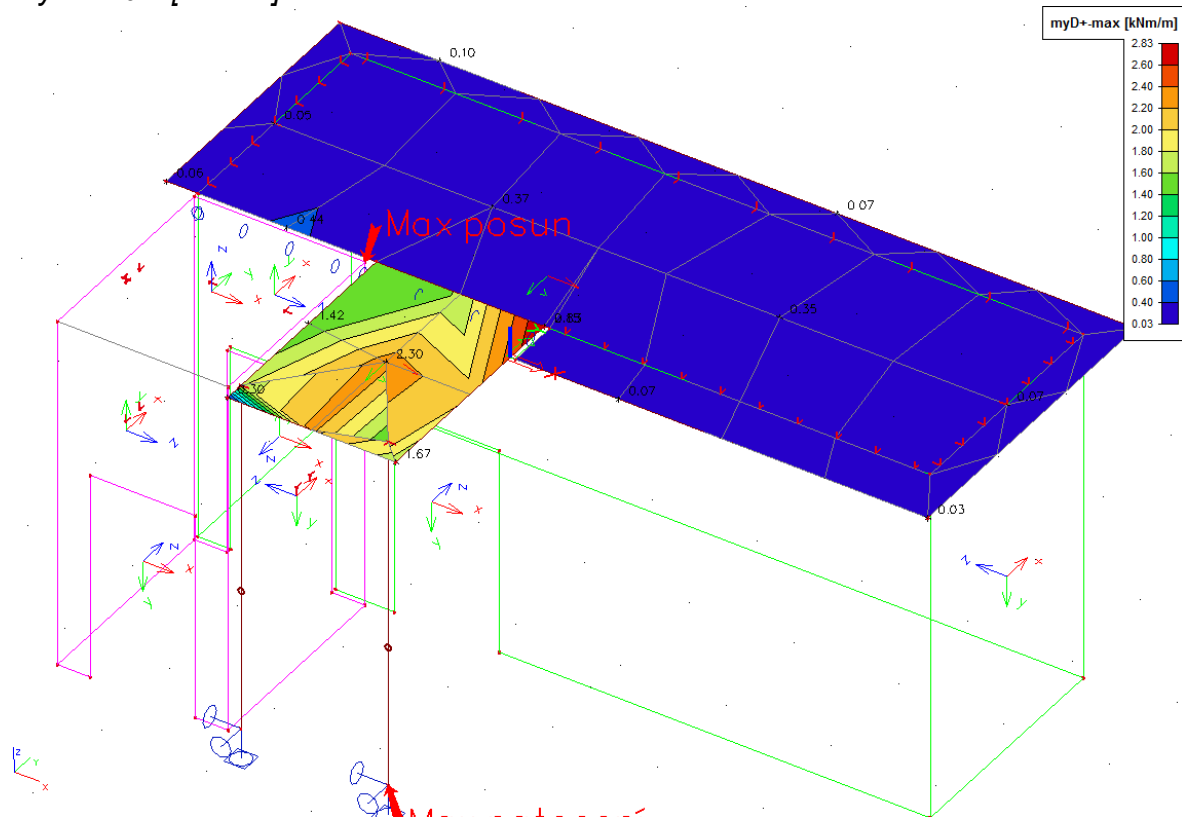
$mxD$ - max. [kNm/m]



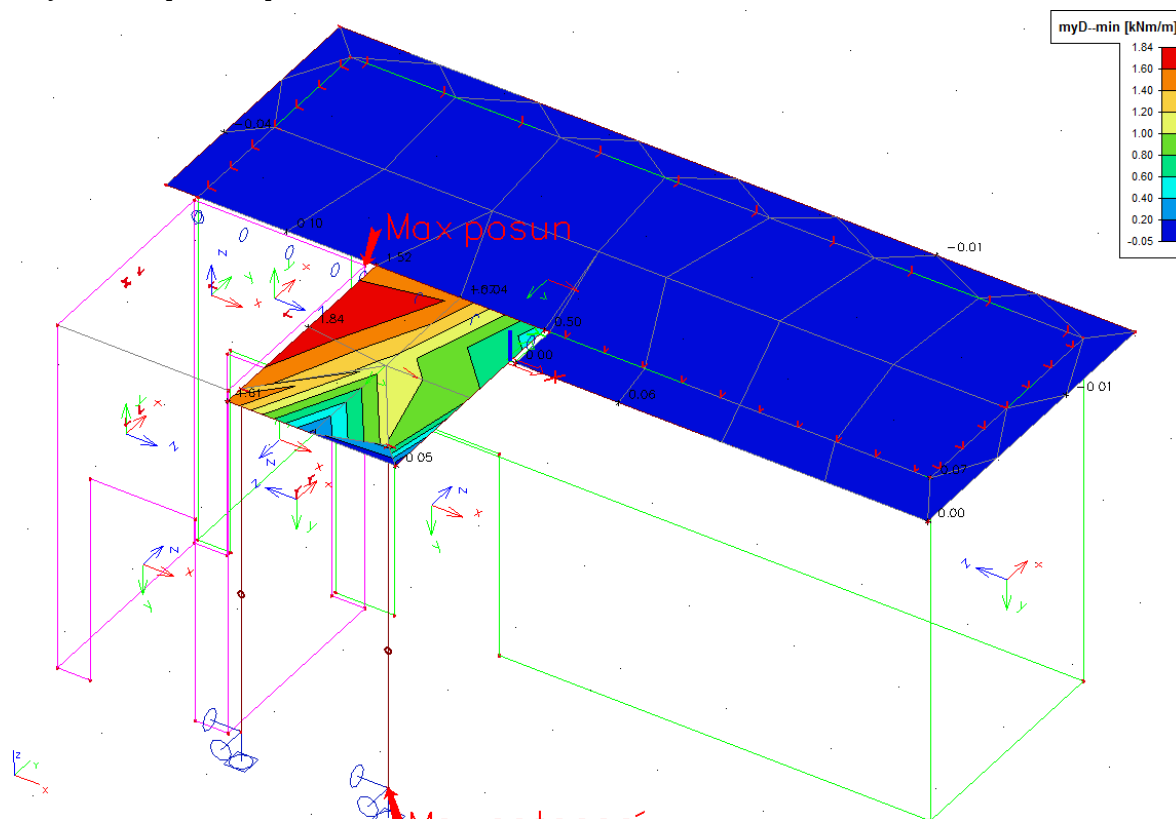
myD+ min. [kNm/m]



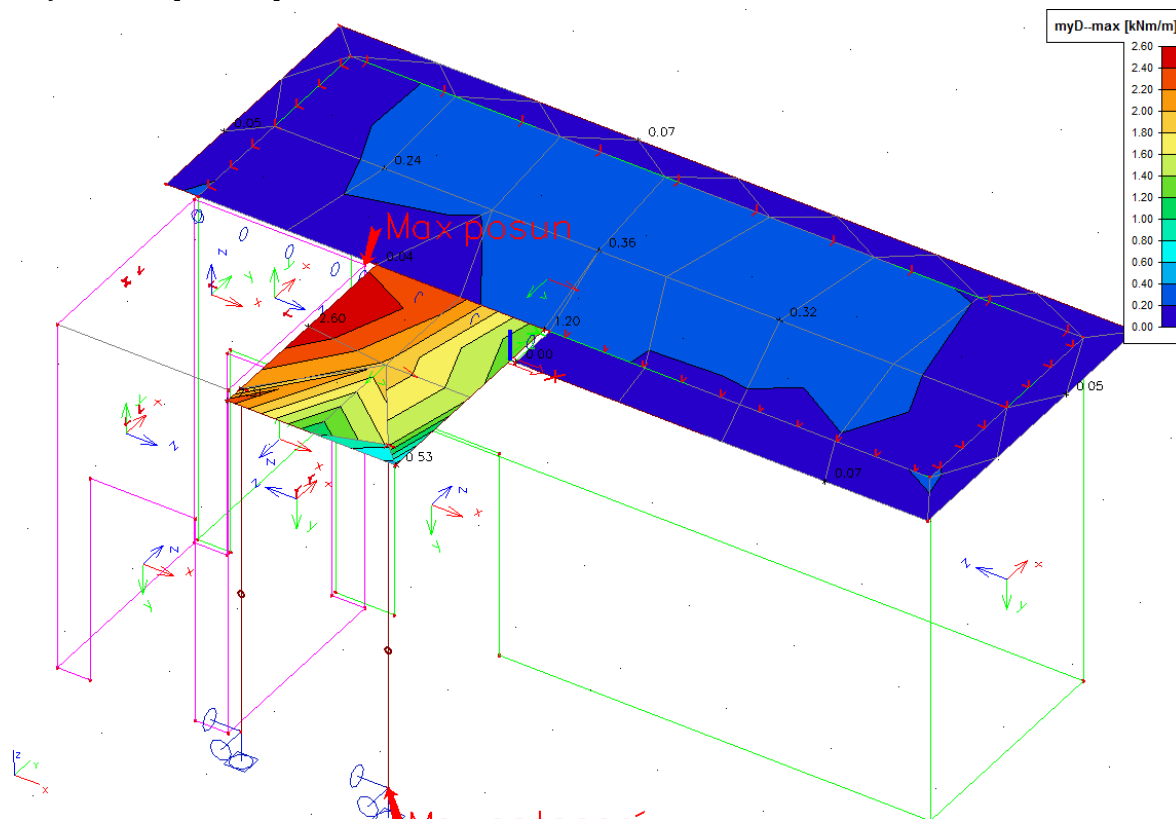
myD+ max. [kNm/m]



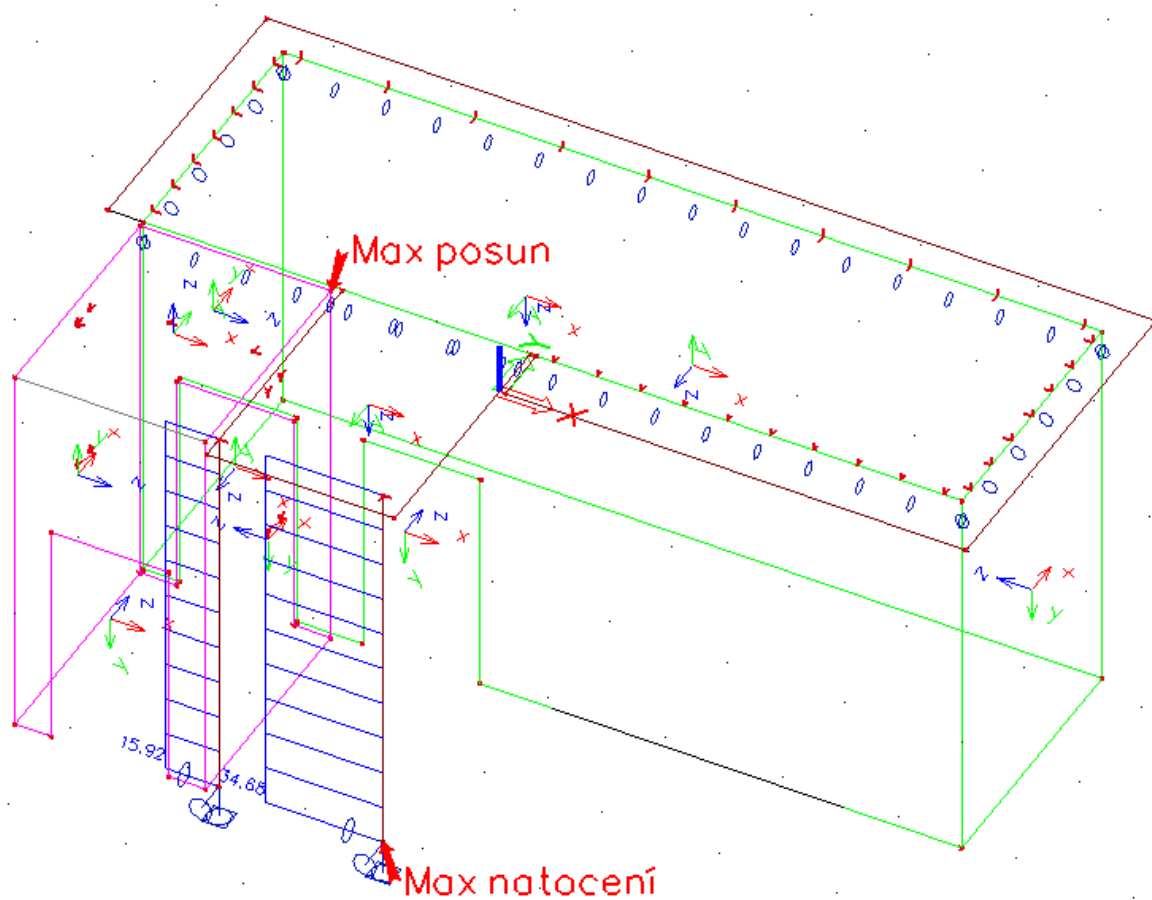
myD- min. [kNm/m]



myD- max. [kNm/m]

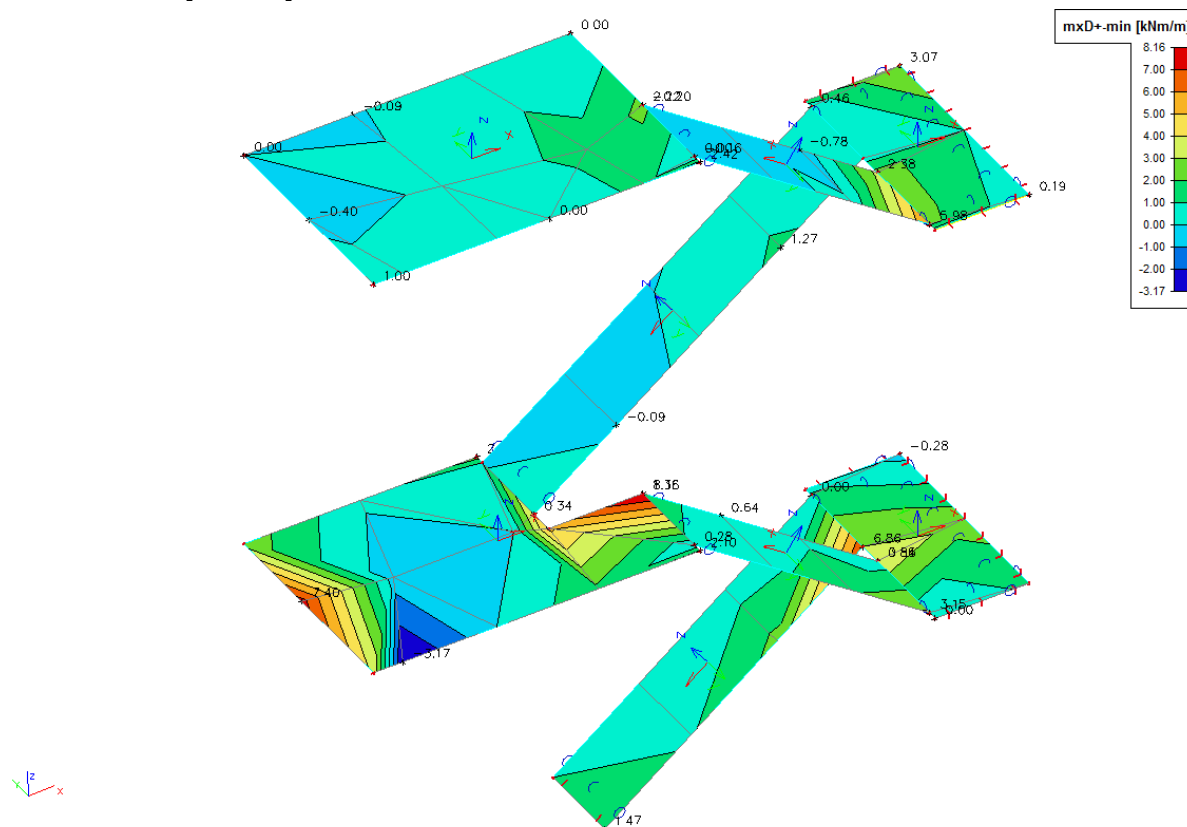


Vnější sloupek: ocel. válcovaný průřez uzavřený („jakl“)

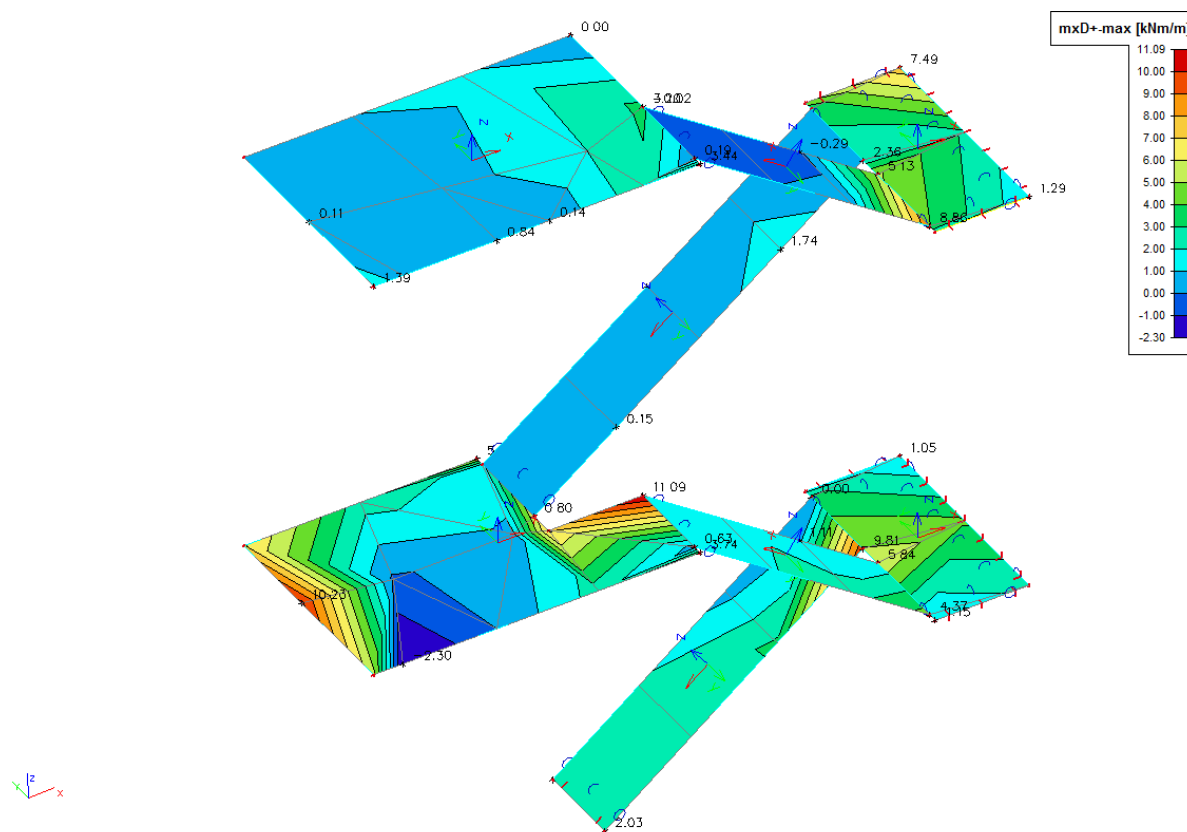
 $N_x [kN]$ 

Deska schodiště a podest tl. 150mm

$mxD+ \text{ min. [kNm/m]}$

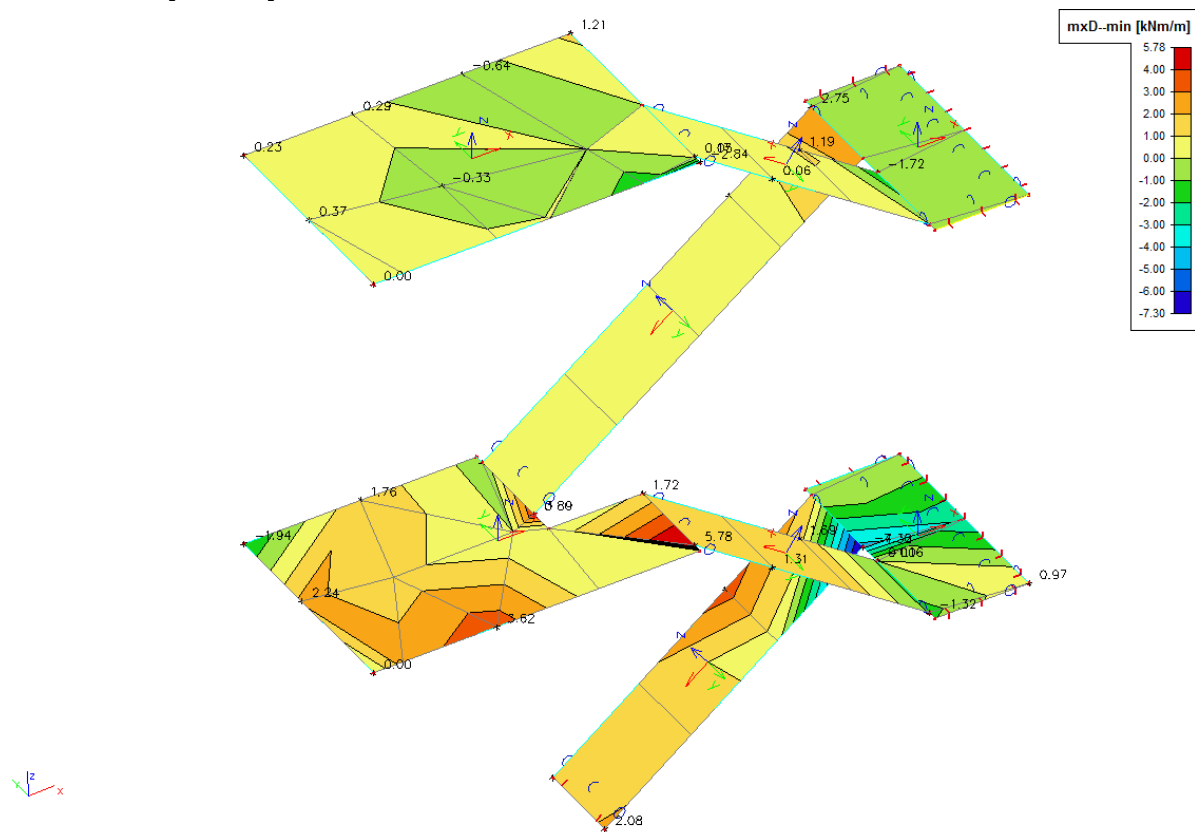


$mxD+ \text{ max. [kNm/m]}$

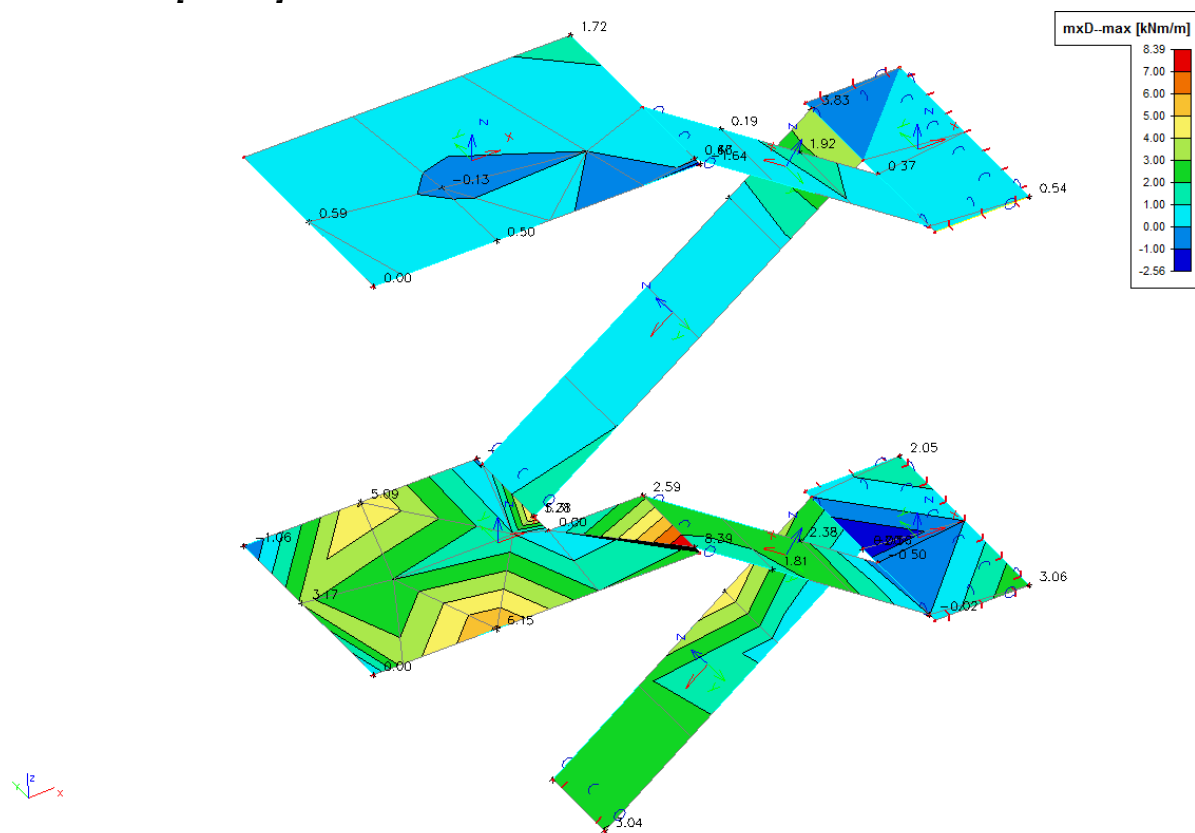




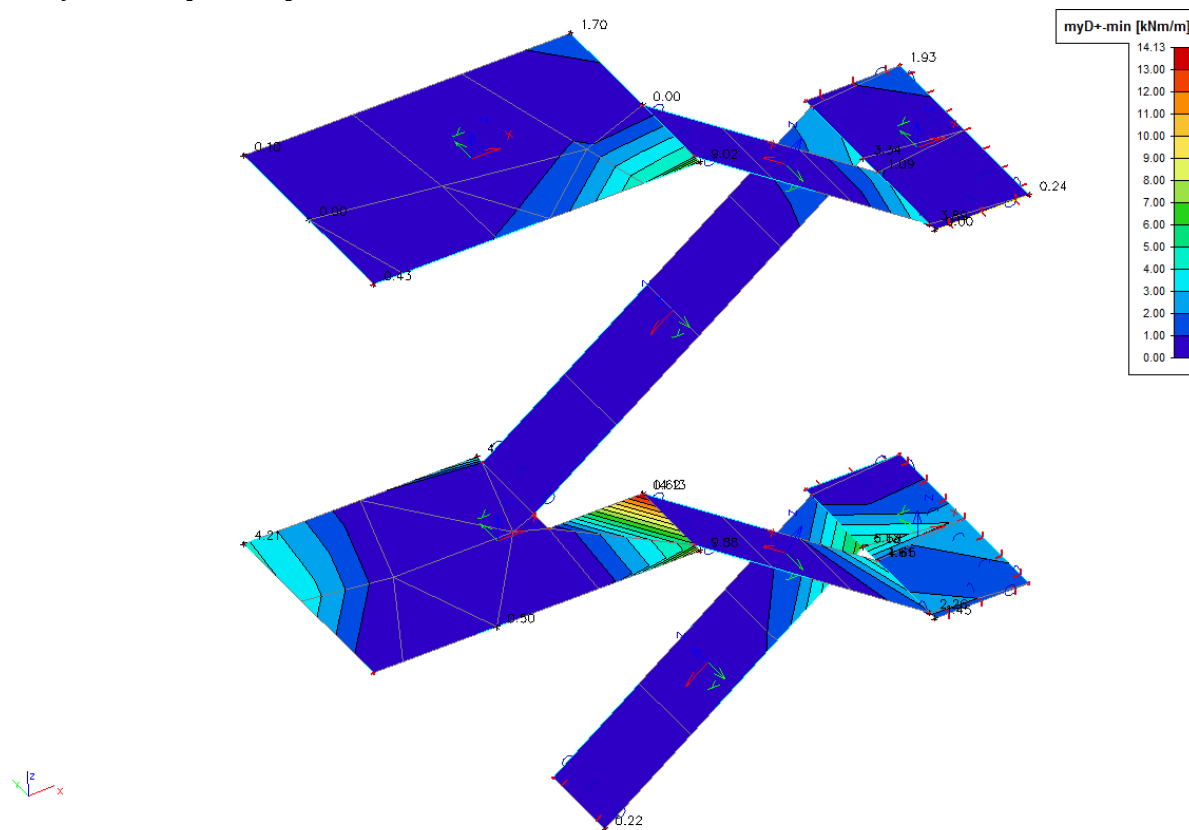
$mxD$ - min. [kNm/m]



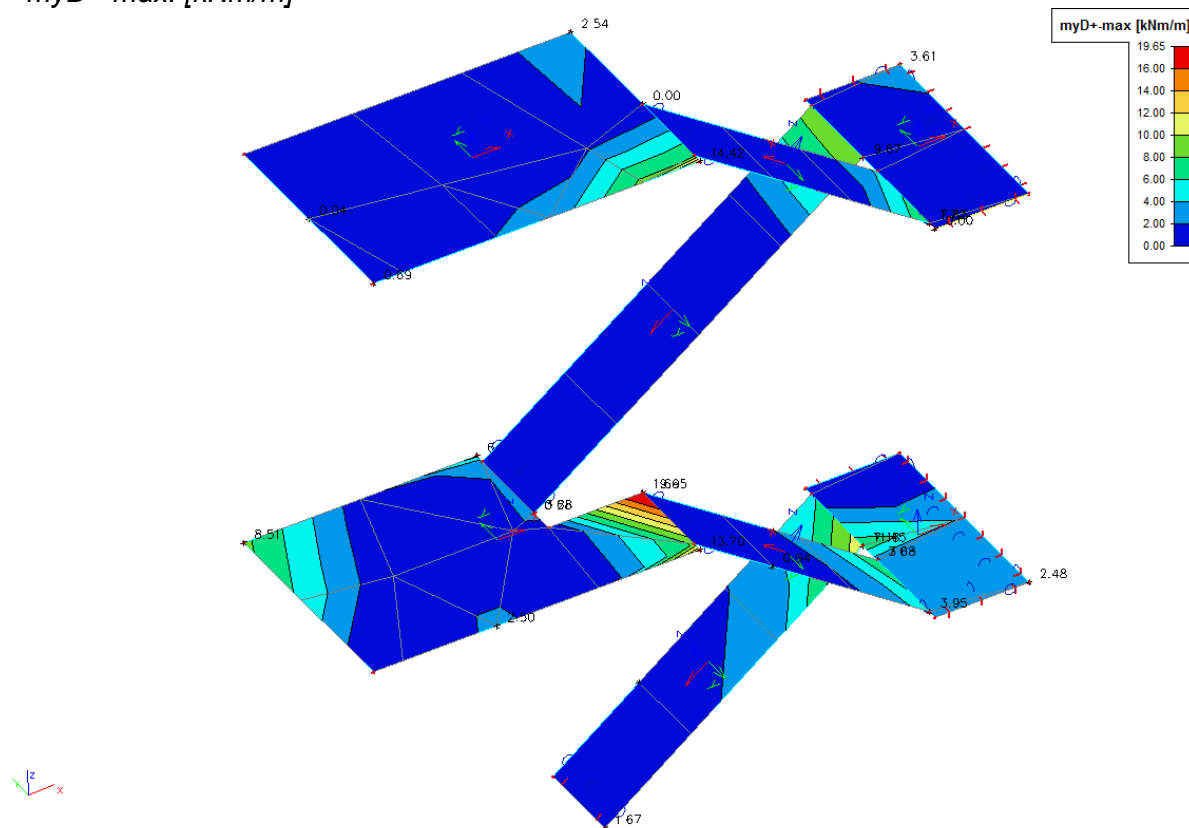
$mxD$ - max. [kNm/m]



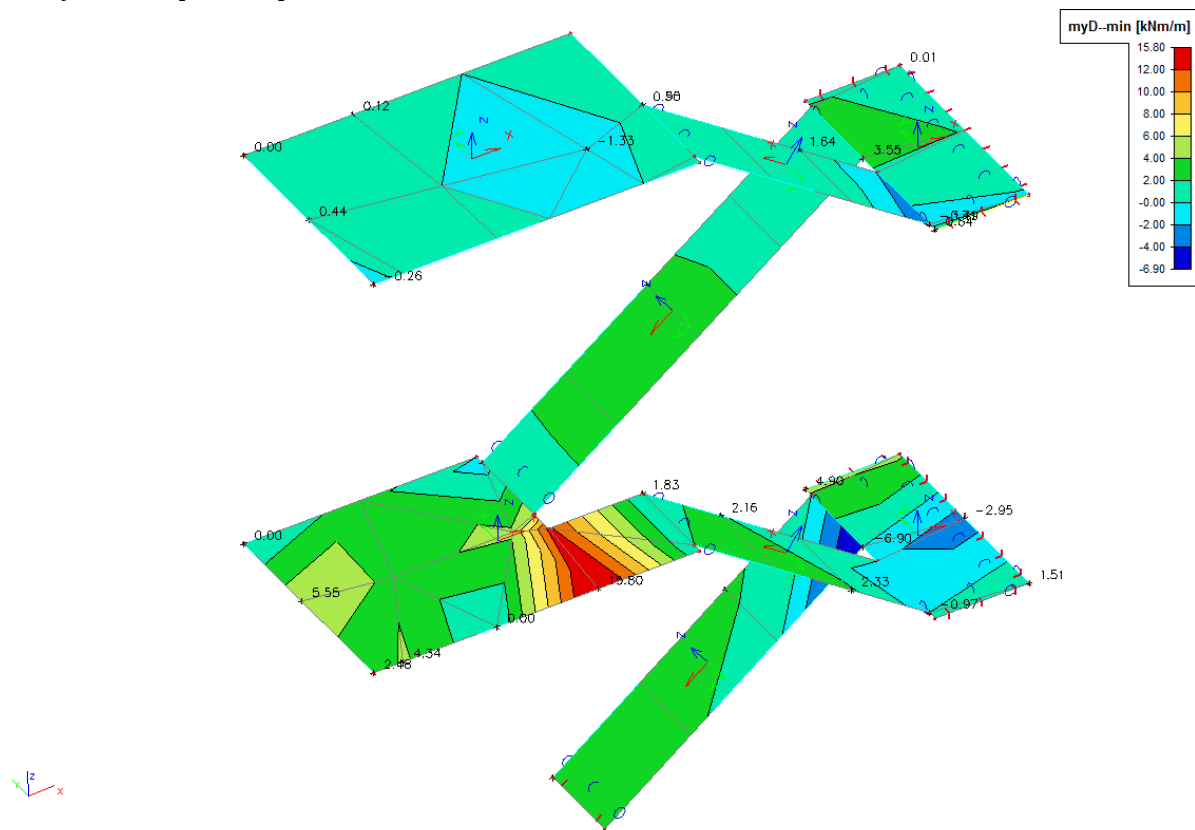
*myD+ min. [kNm/m]*



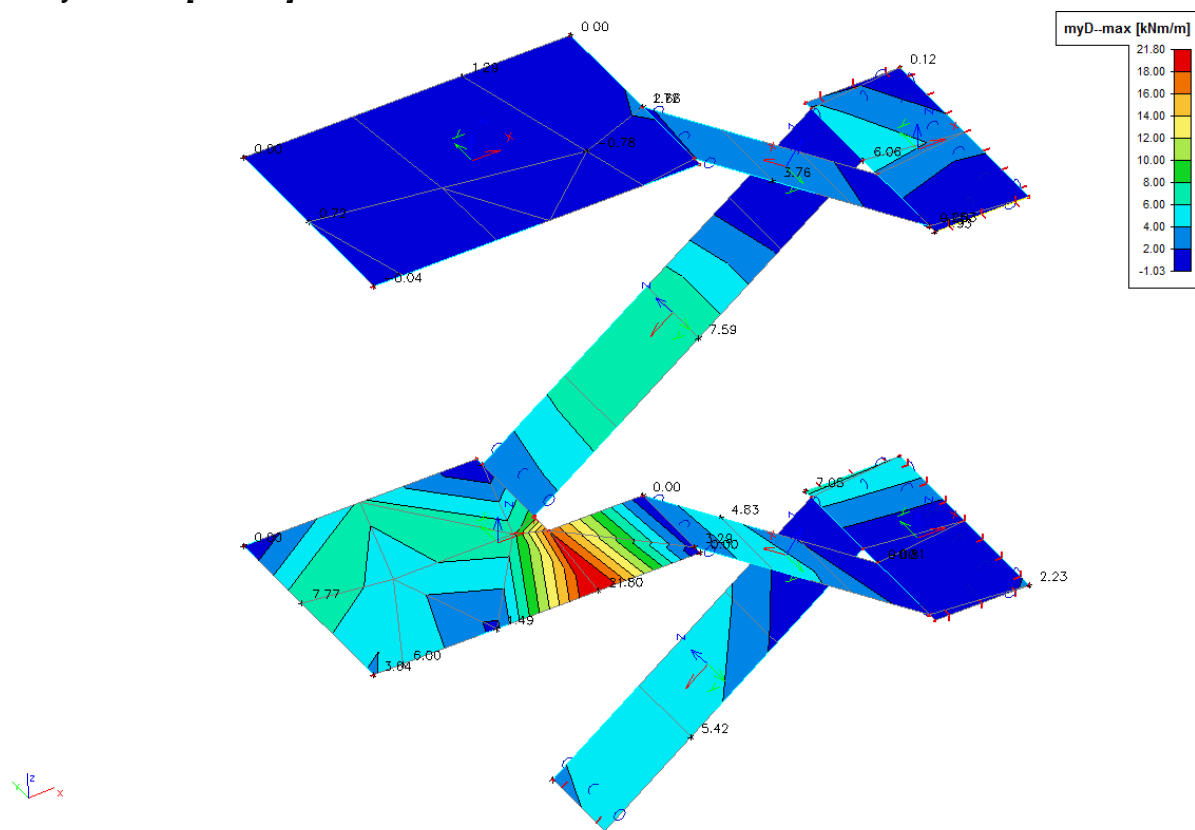
*myD+ max. [kNm/m]*



*myD- min. [kNm/m]*



*myD- max. [kNm/m]*



### 6.1.9. Posouzení

Materiálové charakteristiky: žb. konstrukce  
veškerá výztuž ocel R 10505 =>  $f_{yd}=434,78\text{MPa}$

bet. třídy C25/30 =>  $f_{cd}=16,67\text{MPa}$

$f_{ctm}=2,60\text{MPa}$

$f_{ctk}=1,80\text{MPa}$

dle ČSN EN 206-1 ve stupni vlivu prostředí XC1 (min.třída C25/30-splněno pro C25/30)  
konstrukční třída S4

-použitá norma pro návrh a posouzení konstrukce: ČSN EN 1992

Materiálové charakteristiky: dřevěné konstrukce krovu, dle EN 338-pevnostní třída C22

-rostlé dřevo, zabudované v třídě provozu 2 (půdní prostory rodinného domu)

$K_{mod}=0,8$  - pro kombinaci stálého, střednědobého (užitné) a krátkodobého zatížení (vítr, sníh)

$K_{def}=0,8$  – v třídě provozu 2

$\gamma_M=1,3$

#### -pevnosti:charakteristické

pevnost v ohybu:  $f_{mk}=22\text{MPa}$

pevnost v tlaku(  $\parallel$  s vlákny):  $f_{cok}=20\text{MPa}$

pevnost v tahu (  $\parallel$  s vlákny):  $f_{tok}=13\text{MPa}$

pevnost v smyku:  $f_{vk}=2,4\text{MPa}$

#### -pevnosti:návrhové

pevnost v ohybu:  $f_{md} = K_{mod} x \frac{f_{mk}}{\gamma_M} = 0,8 x \frac{22}{1,3} = 13,54\text{MPa}$

pevnost v tlaku(  $\parallel$  s vlákny):  $f_{cod} = K_{mod} x \frac{f_{cok}}{\gamma_M} = 0,8 x \frac{20}{1,3} = 12,31\text{MPa}$

pevnost v tahu(  $\parallel$  s vlákny):  $f_{tod} = K_{mod} x \frac{f_{tok}}{\gamma_M} = 0,8 x \frac{13}{1,3} = 08,00\text{MPa}$

pevnost v smyku:  $f_{vd} = K_{mod} x \frac{f_{vk}}{\gamma_M} = 0,8 x \frac{2,4}{1,3} = 01,47\text{MPa}$

-modul pružnosti:  $E_{0,05} = 6700\text{MPa}$

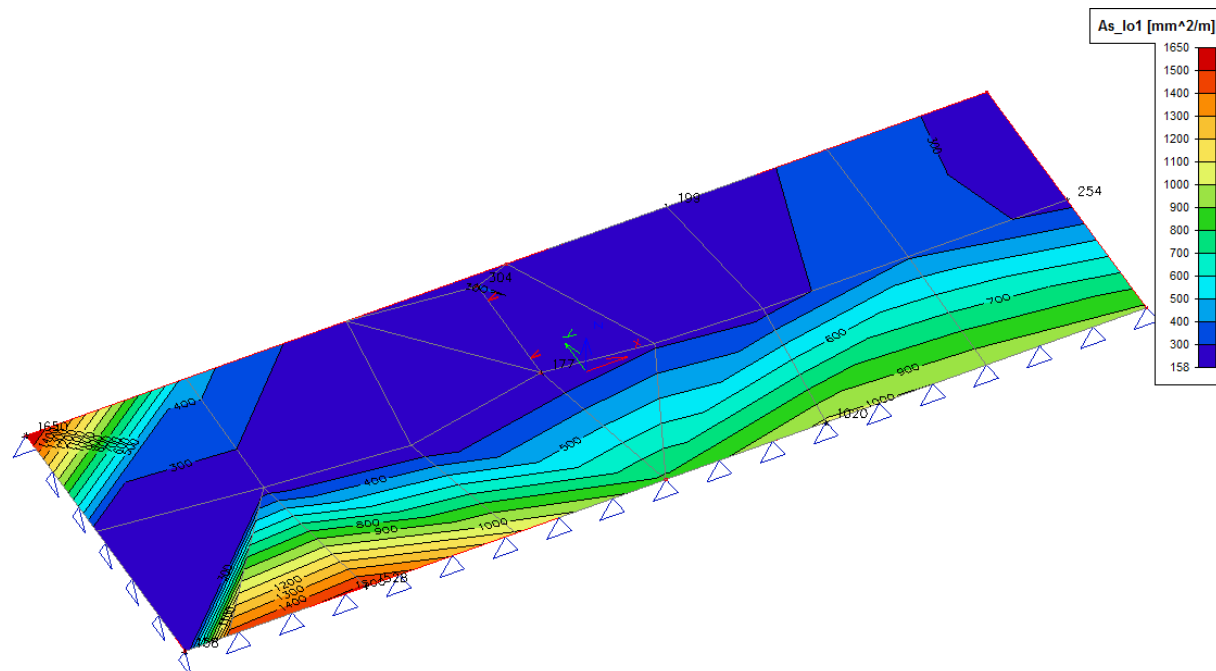
-použitá norma pro návrh a posouzení konstrukce: EN 1995-1-1

### 6.1.9.1 Základová deska pod schod. šachtou

dolní výztuž:

hd 250 mm  
krytí 62 mm  
min.krytí 50 mm

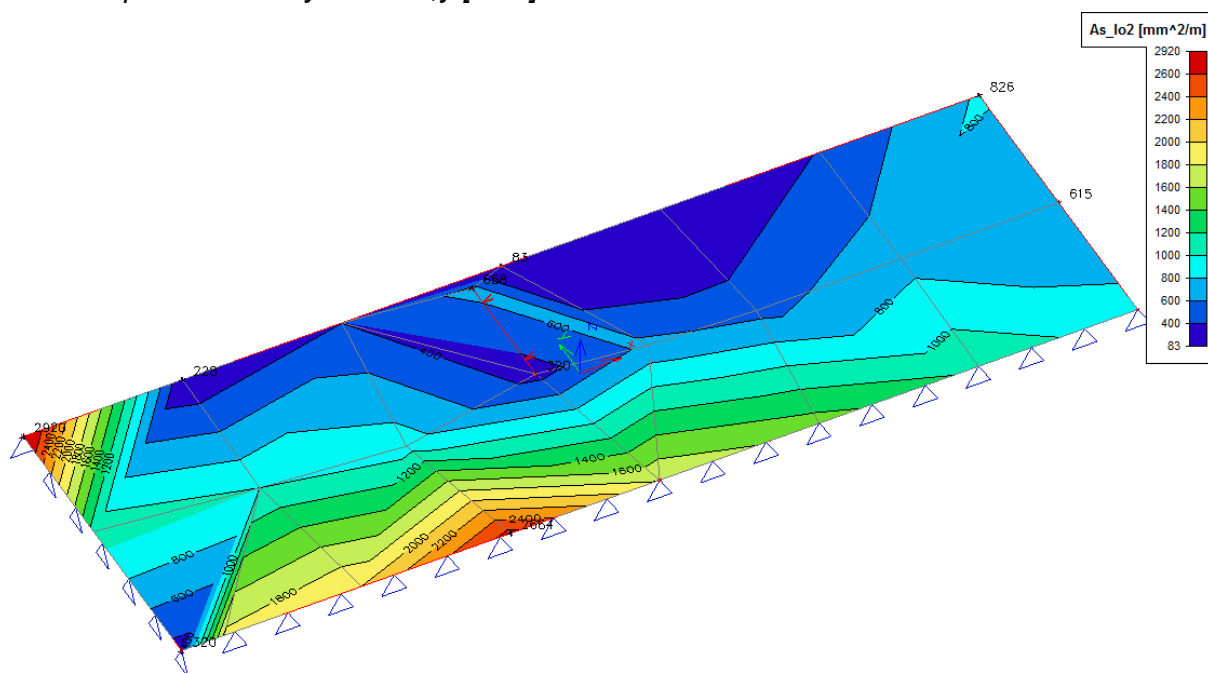
*nutná plocha dolní výztuže  $A_{s,x}$  [mm<sup>2</sup>]*



MSU: návrh. ohyb. výztuž: ØR12 po 100mm  $A_s = 1131 \text{ mm}^2 \geq A_{s,\text{min}} = 246 \text{ mm}^2$

ε	ε <sub>bal</sub>		ρ <sub>min</sub>		ρ		ρ <sub>max</sub>	
0,203	<0,45	ano	0,0013	<	0,0062			
					0,0045	<	0,04	ano

nutná plocha dolní výztuže  $A_{s,y}$  [mm<sup>2</sup>]



MSU: návrh. ohyb. výztuž: ØR12 po 100mm  $A_s = 1131 \text{ mm}^2 \geq A_{s,\min} = 246 \text{ mm}^2$

ε	ε <sub>bal</sub>		ρ <sub>min</sub>		ρ		ρ <sub>max</sub>	
0,203	<0,45	ano	0,0013	<	0,0062			
					0,0045	<	0,04	ano

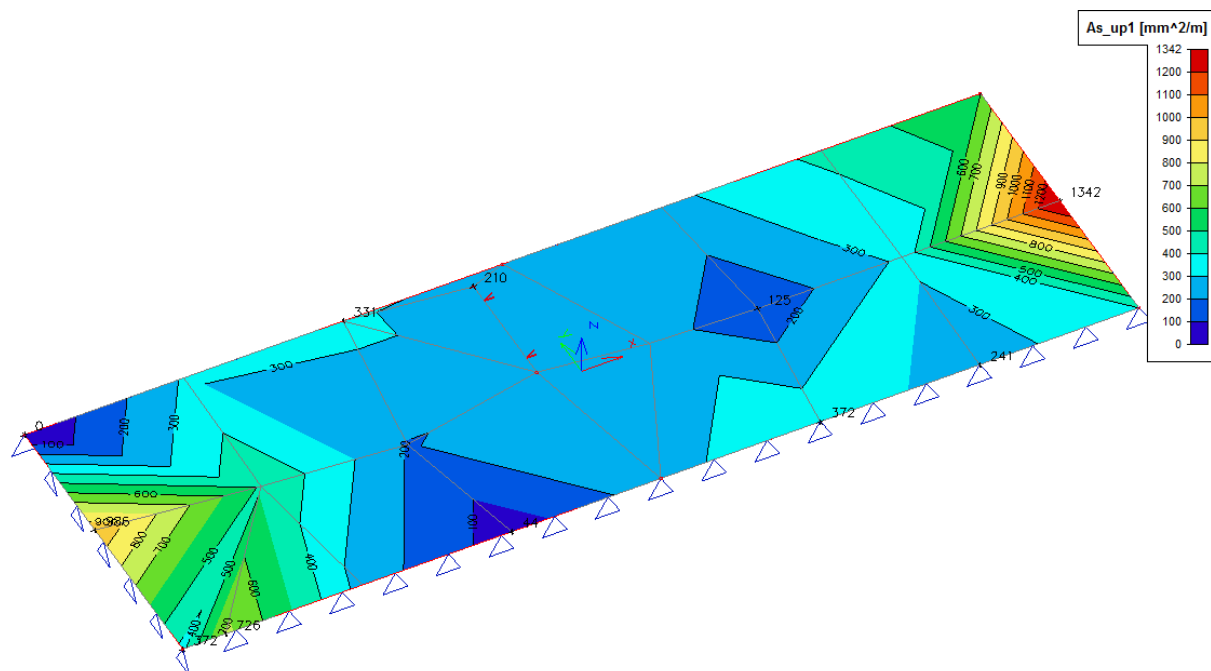
horní výztuž:

hd 250 mm

krytí 32 mm

min. krytí 20 mm

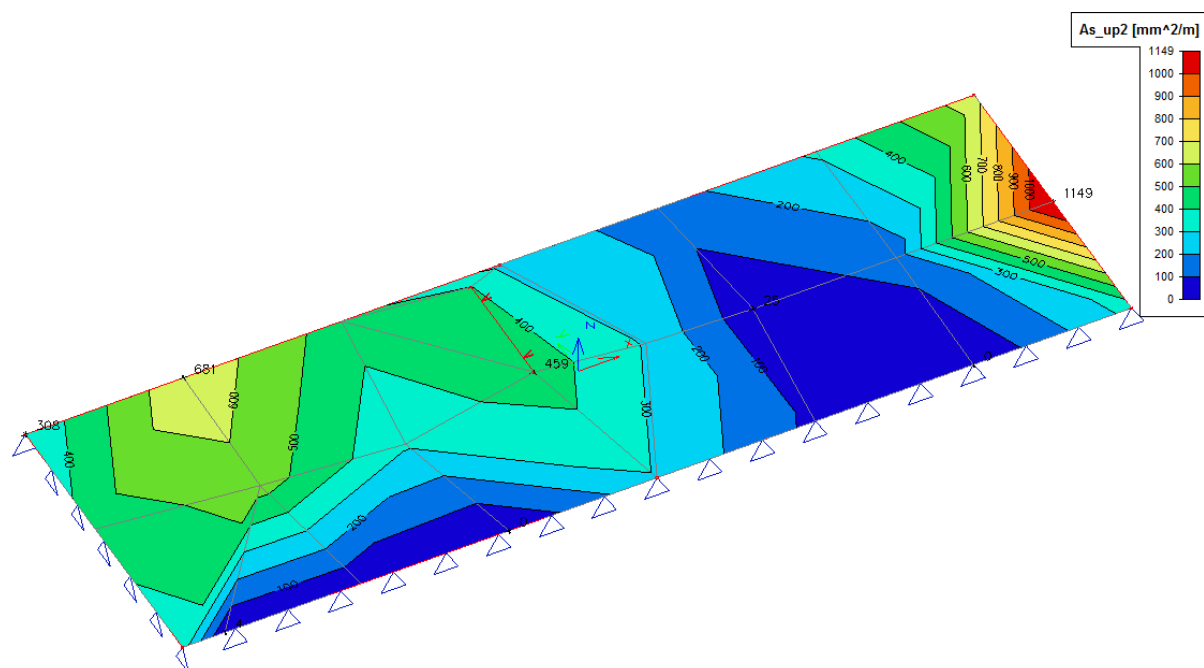
*nutná plocha horní výztuže  $A_{s,x}$  [mm<sup>2</sup>]*



MSU: návrh. ohyb. výztuž: síť Ø8/100/100  $A_s = 503 \text{ mm}^2 \geq A_{s,\text{min}} = 290 \text{ mm}^2$

ε	ε <sub>bal</sub>		ρ <sub>min</sub>		ρ		ρ <sub>max</sub>	
0,077	<0,45	ano	0,0013	<	<b>0,0024</b>			
					<b>0,002</b>	<	0,04	ano

nutná plocha horní výztuže  $A_{s,y}$  [mm<sup>2</sup>]



MSU: návrh. ohyb. výztuž: síť Ø8/100/100  $A_s = 503 \text{ mm}^2 \geq A_{s,\min} = 290 \text{ mm}^2$

ε	ε <sub>bal</sub>		ρ <sub>min</sub>		ρ		ρ <sub>max</sub>	
0,077	<0,45	ano	0,0013	<	<b>0,0024</b>			
					<b>0,002</b>	<	0,04	ano

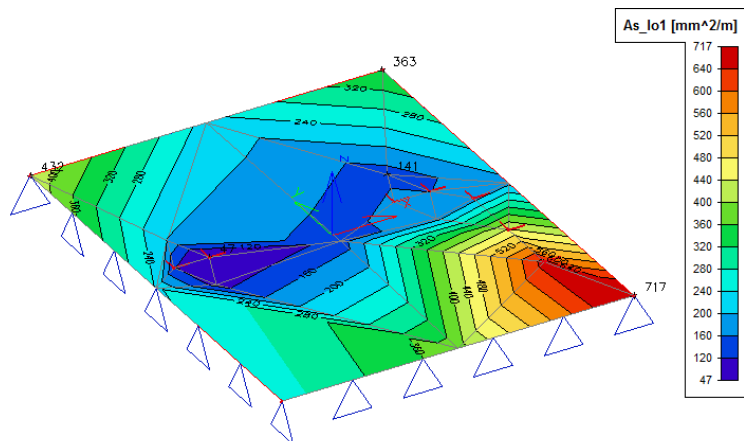


### 6.1.9.2 Základová deska pod výtah. šachtou

dolní výztuž:

hd	250	mm
krytí	58	mm
min.krytí	50	mm

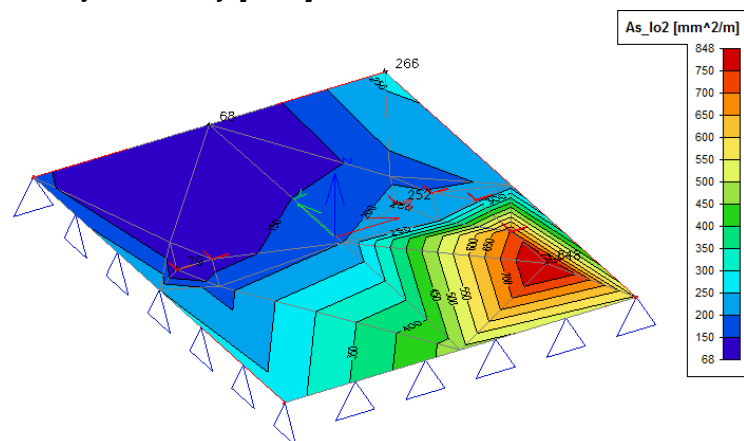
*nutná plocha dolní výztuže  $A_{s,x}$  [mm<sup>2</sup>]*



MSU: návrh. ohyb. výztuž: ØR12 po 100mm  $A_s = 503\text{mm}^2 \geq A_{s,\min} = 255\text{mm}^2$

€	€,bal		ρ,min		ρ		ρ,max	
0,087	<0,45	ano	0,0013	<	0,0027			
					0,002	<	0,04	ano

*nutná plocha dolní výztuže  $A_{s,y}$  [mm<sup>2</sup>]*



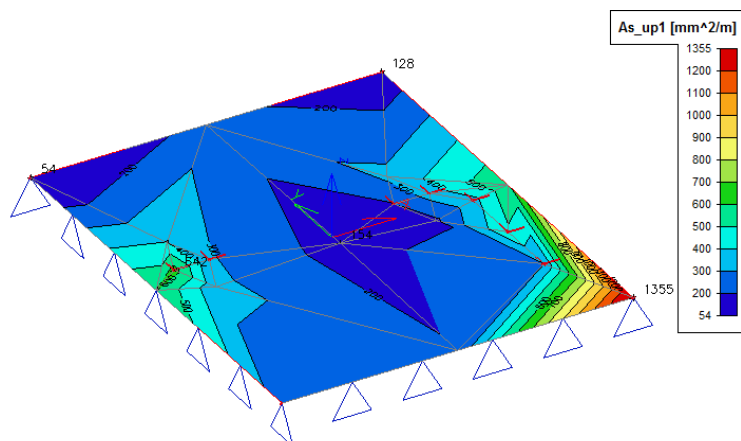
MSU: návrh. ohyb. výztuž: ØR12 po 100mm  $A_s = 503\text{mm}^2 \geq A_{s,\min} = 255\text{mm}^2$

€	€,bal		ρ,min		ρ		ρ,max	
0,087	<0,45	ano	0,0013	<	0,0027			
					0,002	<	0,04	ano

horní výztuž:

hd 250 mm  
krytí 28 mm  
min. krytí 20 mm

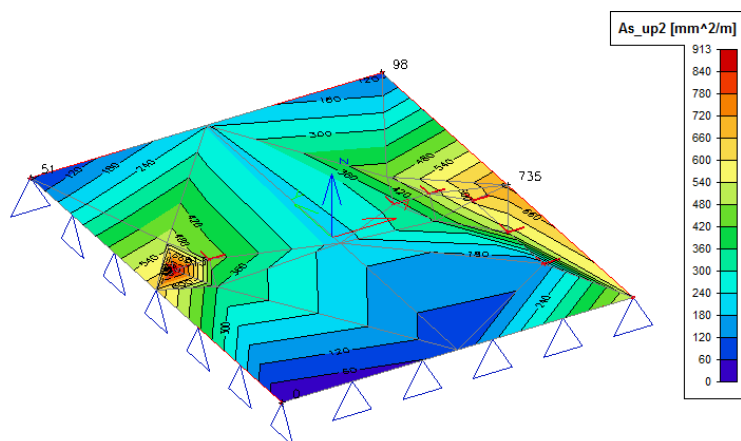
nutná plocha horní výztuže  $A_{s,x}$  [mm<sup>2</sup>]



MSU: návrh. ohyb. výztuž: síť Ø8/100/100  $A_s = 503 \text{ mm}^2 \geq A_{s, \min} = 295 \text{ mm}^2$

€	€,bal		p,min		p		p,max	
0,075	<0,45	ano	0,0013	<	0,0023			
					0,002	<	0,04	ano

nutná plocha dolní výztuže  $A_{s,y}$  [mm<sup>2</sup>]



MSU: návrh. ohyb. výztuž: síť Ø8/100/100  $A_s = 503 \text{ mm}^2 \geq A_{s, \min} = 295 \text{ mm}^2$

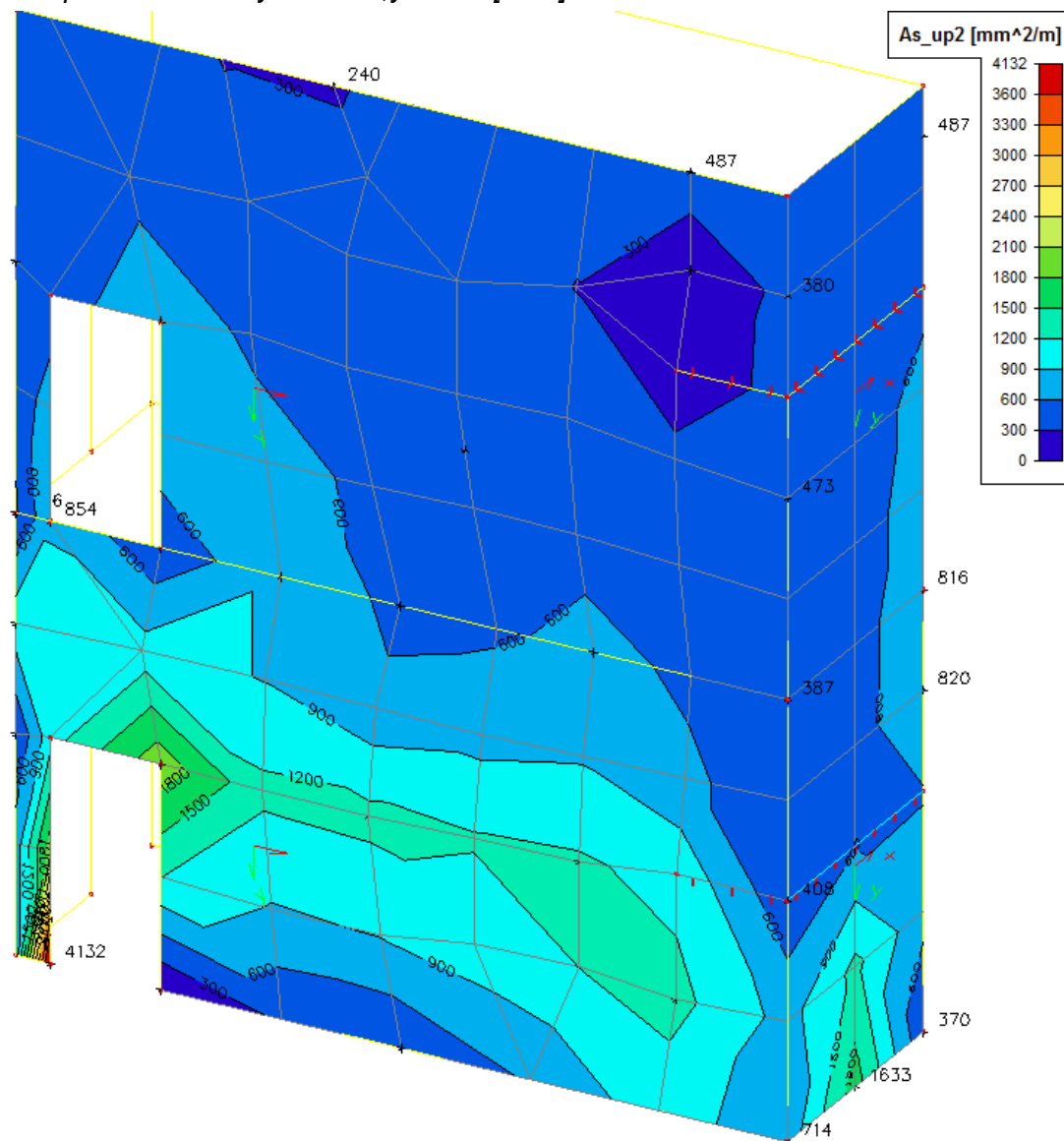
€	€,bal		p,min		p		p,max	
0,075	<0,45	ano	0,0013	<	0,0023			
					0,002	<	0,04	ano

### 6.1.9.3 Žb. podzemní stěna tl. 400mm, schod. šachta (vystavená zemnímu tlaku)

vnitřní povrch stěny výztuž:

hd	400	mm
krytí	34	mm
min.krytí	20	mm

*nutná plocha vnitřní výztuže  $A_{s,y}$  svislá [ $mm^2$ ]*



MSU: návrh. ohyb. svislé výztuže:  $\varnothing R14$  po 100mm  $A_s = 1539mm^2 \geq A_{s,min}$   
 $\geq 0,001A_c = 400mm^2$

MSU: návrh. ohyb. svislé výztuže:  $\varnothing R10$  po 100mm  $A_s = 785mm^2 \geq A_{s,min}$   
 $\geq 0,001A_c = 400mm^2$

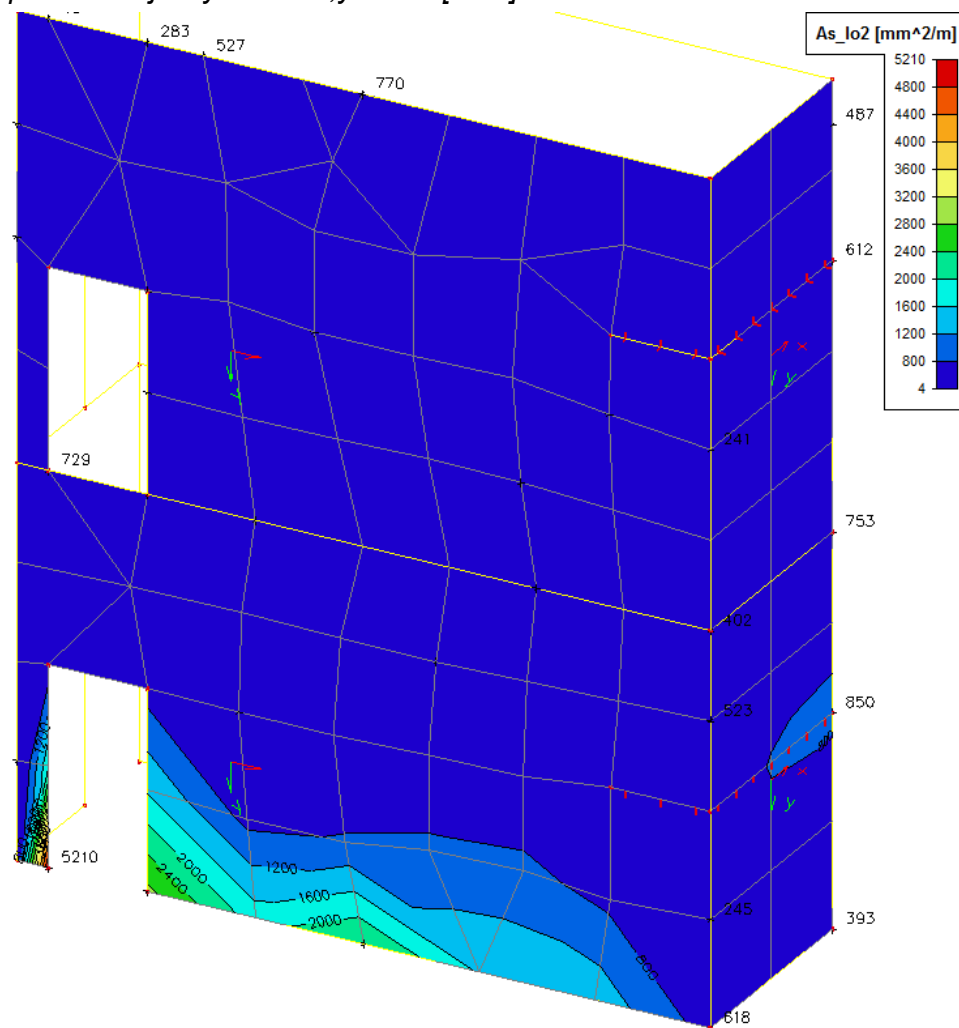
vnější povrch stěny výztuž:

hd 400 mm

krytí 34 mm

min.krytí 20 mm

*nutná plocha vnější výztuže  $A_{s,y}$  svislá [ $\text{mm}^2$ ]*



MSU: návrh. ohyb. svislé výztuže: ØR14 po 100mm  $A_s = 1539\text{mm}^2 \geq A_{s,\text{min}}$   
 $\geq 0,001A_c = 400\text{mm}^2$

MSU: návrh. ohyb. svislé výztuže: ØR10 po 100mm  $A_s = 785\text{mm}^2 \geq A_{s,\text{min}}$   
 $\geq 0,001A_c = 400\text{mm}^2$

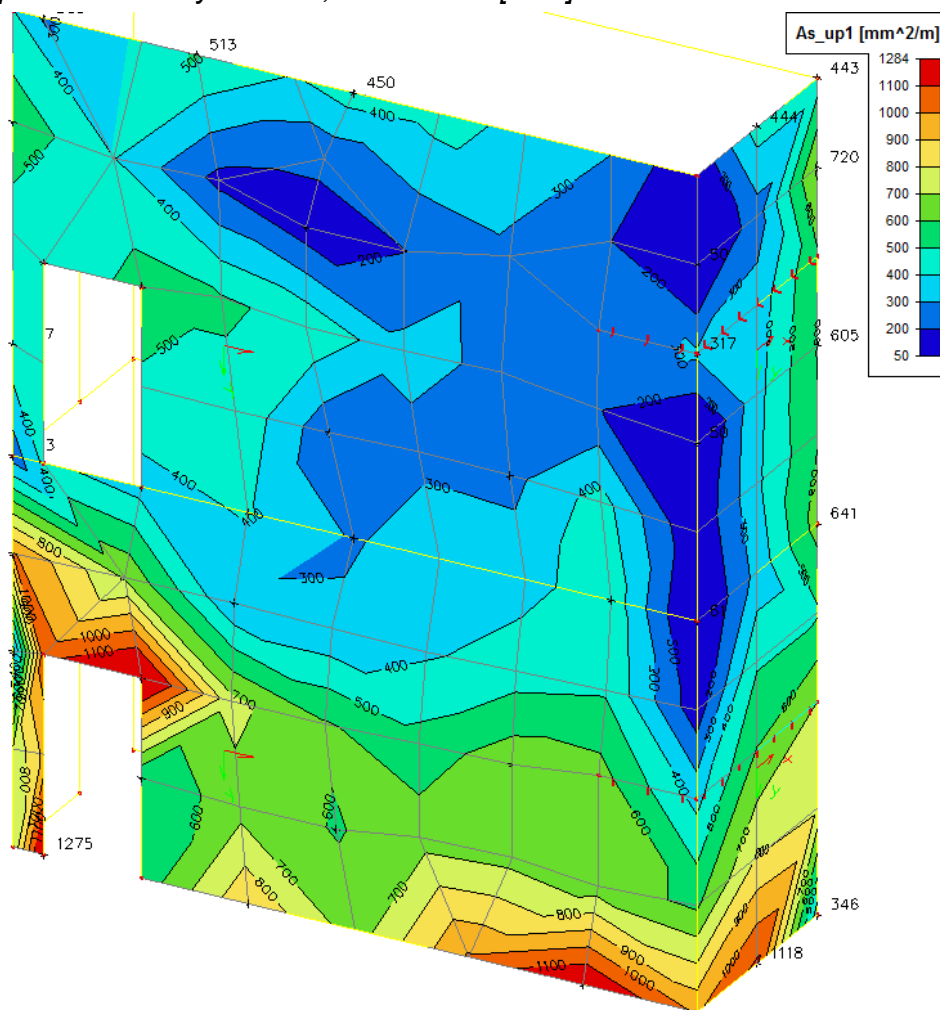
vnitřní povrch stěny výztuž:

hd 400 mm

krytí 30 mm

min.krytí 20 mm

*nutná plocha vnitřní výztuže  $A_{s,x}$  vodorovná [mm<sup>2</sup>]*



MSU: návrh. ohyb. vodorov. (rozděl.) výztuže: ØR10 po 100mm

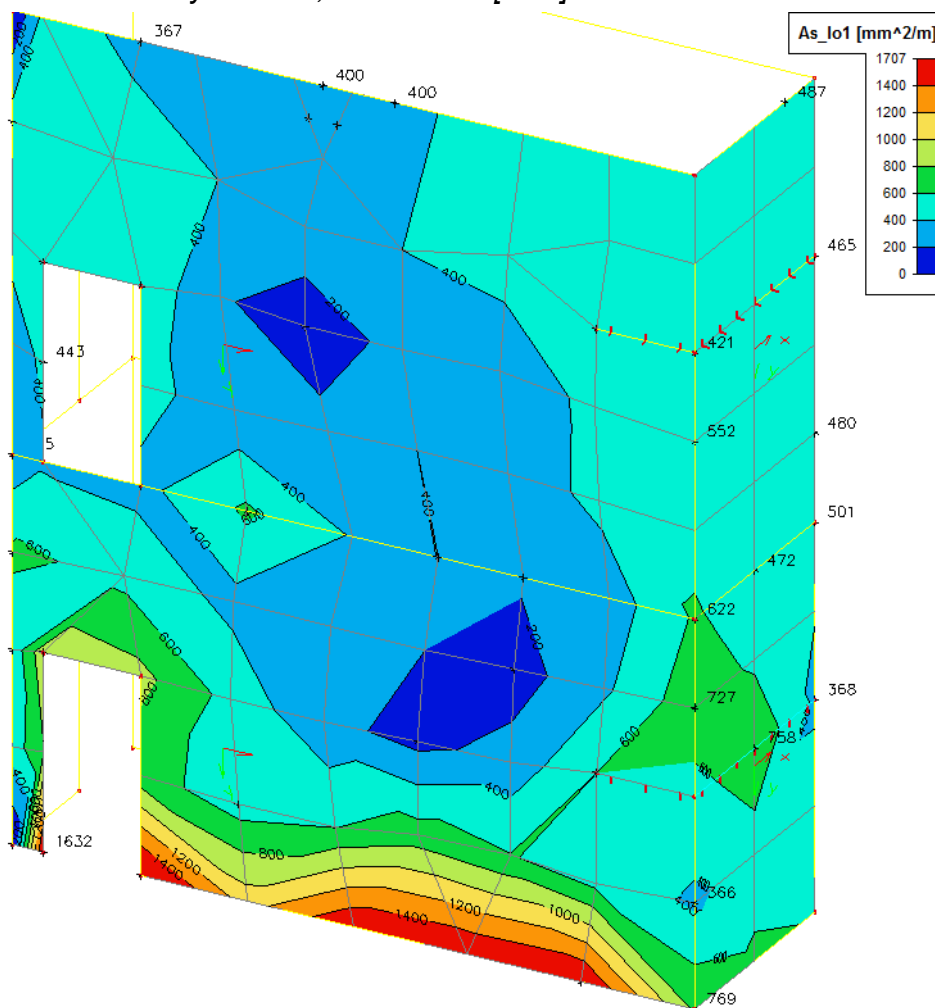
$$A_s = 785 \text{ mm}^2 \geq A_{s, \min}$$

$$\geq 0,001 A_c = 400 \text{ mm}^2$$

$$\geq 0,25 A_s = 384 \text{ mm}^2$$

hd	400	mm
krytí	30	mm
min.krytí	20	mm

*nutná plocha vnitřní výztuže  $A_{s,x}$  vodorovná [mm<sup>2</sup>]*



MSU: návrh. ohyb. vodorov. (rozděl.) výztuže: ØR10 po 100mm

$$\begin{aligned} As &= 785 \text{ mm}^2 \geq As, \min \\ &\geq 0,001 Ac = 400 \text{ mm}^2 \\ &\geq 0,25 As = 384 \text{ mm}^2 \end{aligned}$$

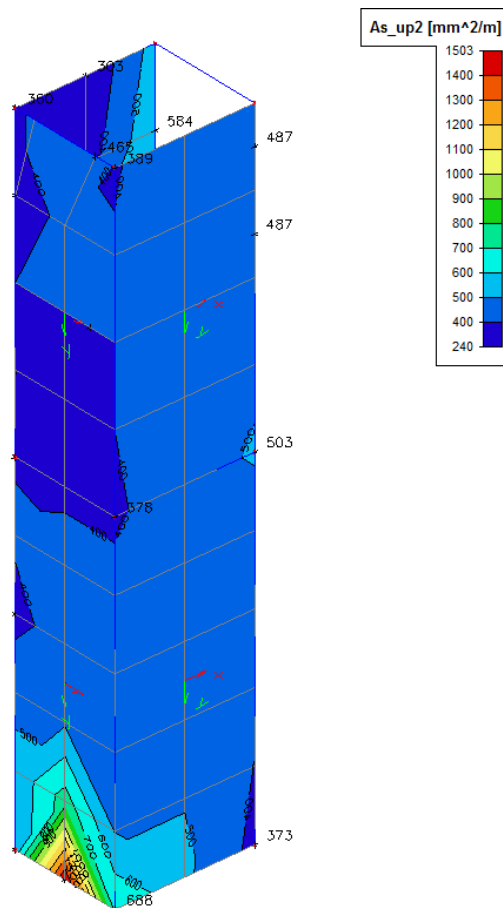
MSU: návrh. příčné. (spony) výztuže:  $4\varnothing R6/m^2 A_s = 113mm^2$

#### 6.1.9.4 Žb. podzemní stěna tl. 400mm, výtah. šachta (vystavená zemnímu tlaku)

vnitřní povrch stěny výztuž:

hd	400	mm
krytí	30	mm
min.krytí	20	mm

*nutná plocha vnitřní výztuže  $A_{s,y}$  svislá [ $mm^2$ ]*



MSU: návrh. ohyb. svislé výztuže: ØR10 po 100mm  $A_s = 785mm^2 \geq A_{s,min}$   
 $\geq 0,001A_c = 400mm^2$

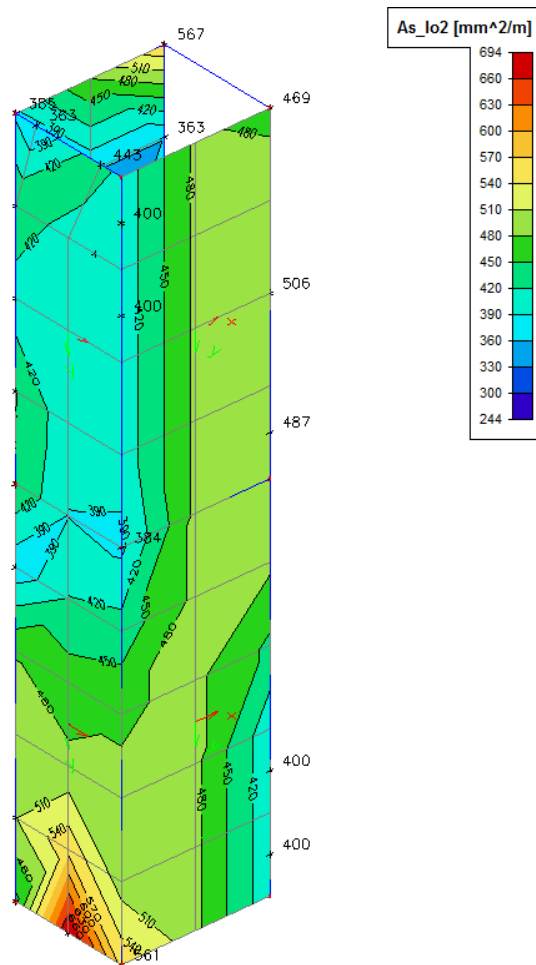
vnější povrch stěny výztuž:

hd 400 mm

krytí 34 mm

min.krytí 20 mm

*nutná plocha vnější výztuže  $A_{s,y}$  svislá [ $mm^2$ ]*



MSU: návrh. ohyb. svislé výztuže: ØR10 po 100mm  $A_s = 785mm^2 \geq A_{s,min}$   
 $\geq 0,001Ac = 400mm^2$



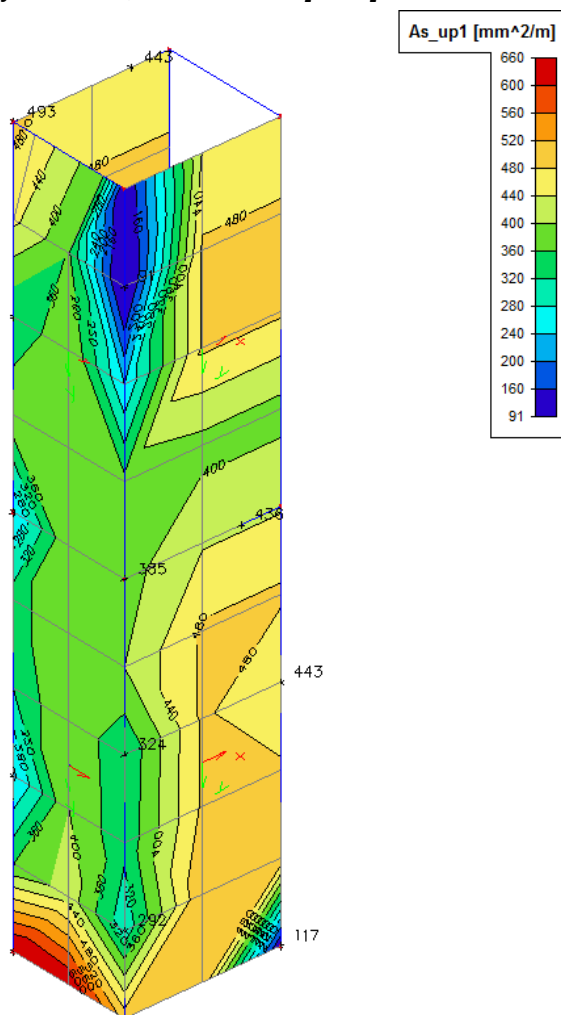
vnitřní povrch stěny výztuž:

hd 400 mm

krytí 30 mm

min.krytí 20 mm

*nutná plocha vnitřní výztuže  $A_{s,x}$  vodorovná [mm<sup>2</sup>]*



MSU: návrh. ohyb. vodorov. (rozděl.) výztuže: ØR10 po 100mm

$$A_s = 785 \text{ mm}^2 \geq A_{s, \min}$$

$$\geq 0,001 A_c = 400 \text{ mm}^2$$

$$\geq 0,25 A_s = 196 \text{ mm}^2$$

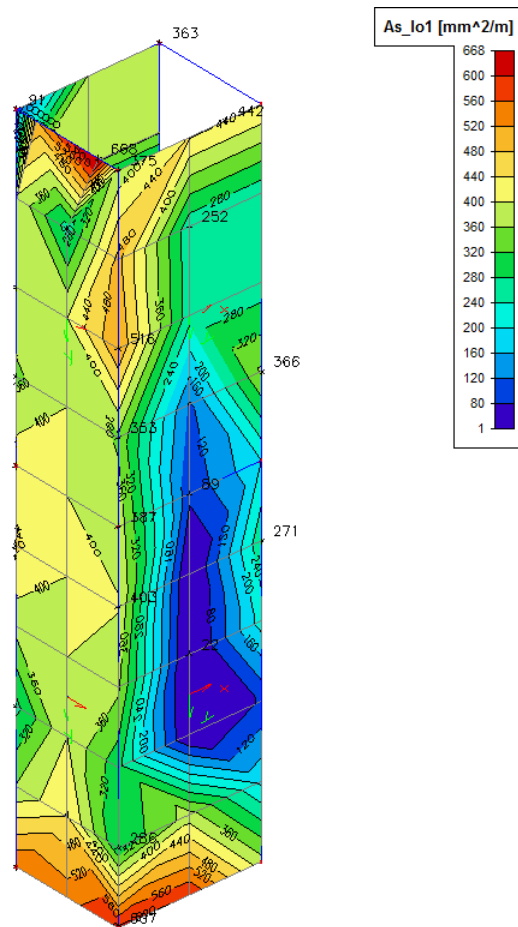
vnější povrch stěny výztuž:

hd 400 mm

krytí 30 mm

min.krytí 20 mm

*nutná plocha vnitřní výztuže  $A_{s,x}$  vodorovná [mm<sup>2</sup>]*



MSU: návrh. ohyb. vodorov. (rozděl.) výztuže: ØR10 po 100mm

$$\begin{aligned} A_s &= 785 \text{ mm}^2 \geq A_{s, \min} = 493 \text{ mm}^2 \\ &\geq 0,001 A_c = 400 \text{ mm}^2 \\ &\geq 0,25 A_s = 196 \text{ mm}^2 \end{aligned}$$

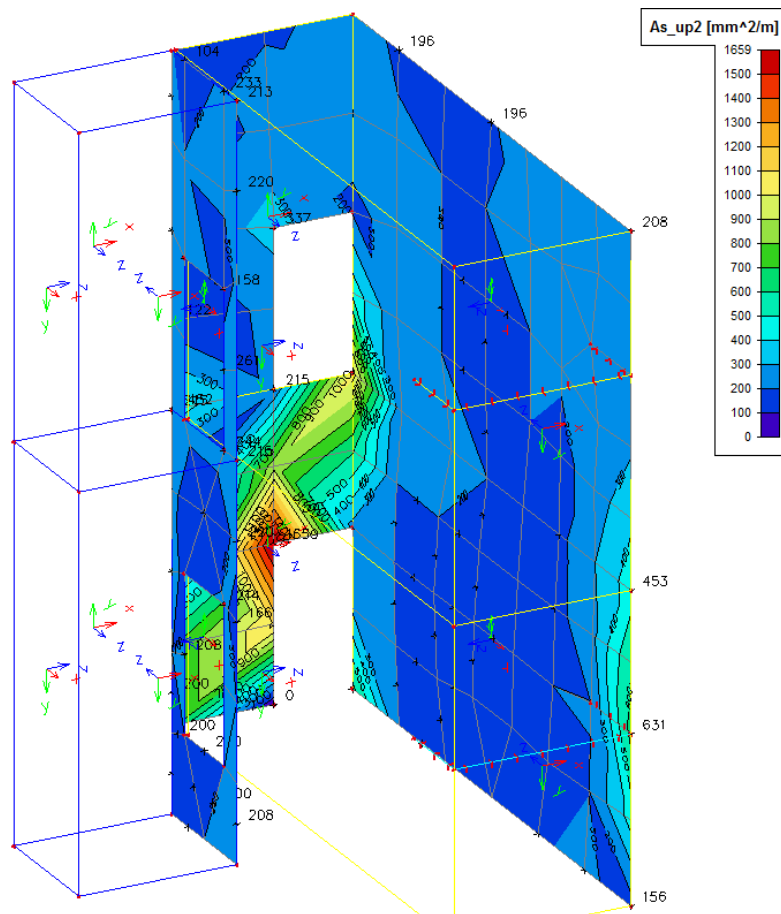
MSU: návrh. příčné. (spony) výztuže: 4ØR6/m<sup>2</sup>  $A_s = 113 \text{ mm}^2$

### 6.1.9.5 Žb. podzemní stěna tl. 200mm, schod.+výtah. šachta (bez zemního tlaku)

vnitřní povrch stěny výztuž:

hd	200	mm
krytí	30	mm
min.krytí	20	mm

*nutná plocha vnitřní výztuže  $A_{s,y}$  svislá [mm<sup>2</sup>]*



MSU: návrh. ohyb. svislé výztuže: ØR10 po 100mm  $A_s = 785\text{mm}^2 \geq A_{s,\min}$   
 $\geq 0,001A_c = 200\text{mm}^2$

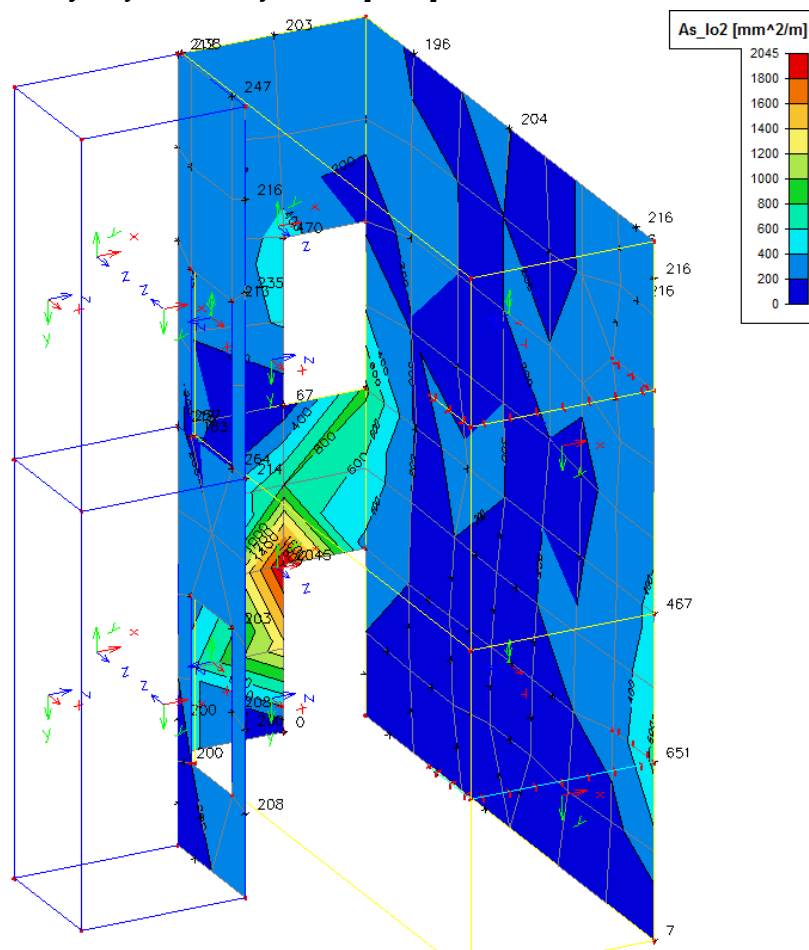
vnější povrch stěny výztuž:

hd 200 mm

krytí 30 mm

min.krytí 20 mm

*nutná plocha vnější výztuže  $A_{s,y}$  svislá [ $mm^2$ ]*



MSU: návrh. ohyb. svislé výztuže: ØR10 po 100mm  $A_s = 785mm^2 \geq A_{s,min}$   
 $\geq 0,001A_c = 200mm^2$

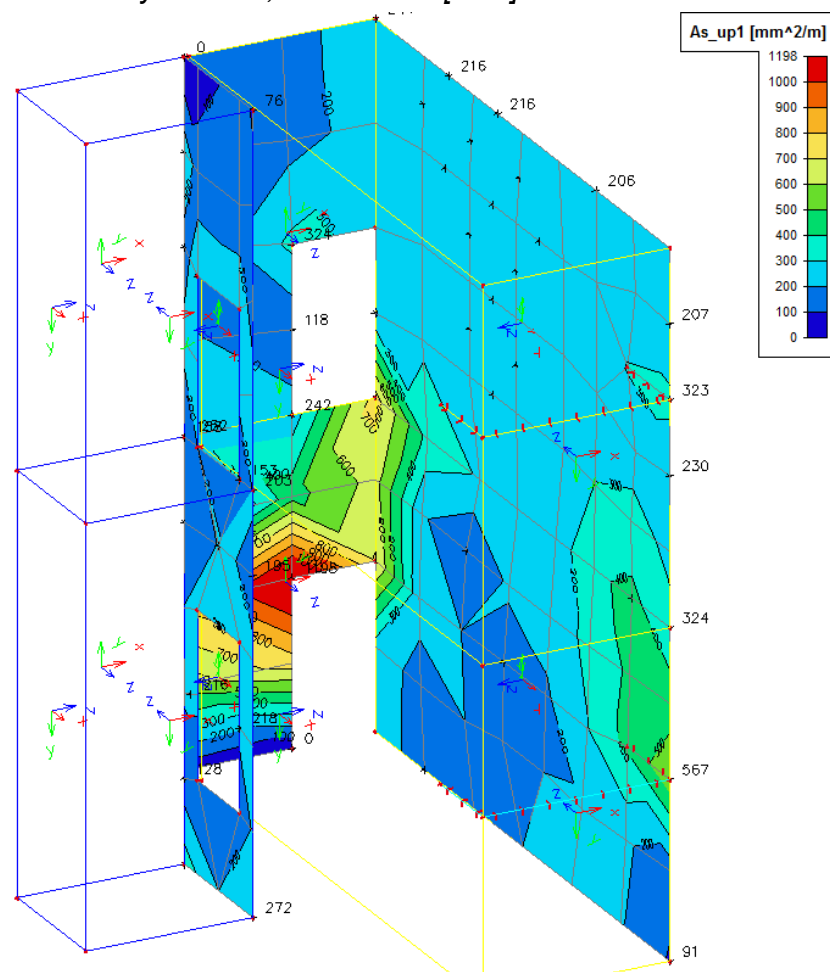
vnitřní povrch stěny výztuž:

hd 200 mm

krytí 30 mm

min.krytí 20 mm

*nutná plocha vnitřní výztuže  $A_{s,x}$  vodorovná [mm<sup>2</sup>]*



MSU: návrh. ohyb. vodorov. (rozděl.) výztuže: ØR10 po 100mm

$$A_s = 785 \text{ mm}^2 \geq A_{s, \min}$$

$$\geq 0,001 A_c = 200 \text{ mm}^2$$

$$\geq 0,25 A_s = 196 \text{ mm}^2$$

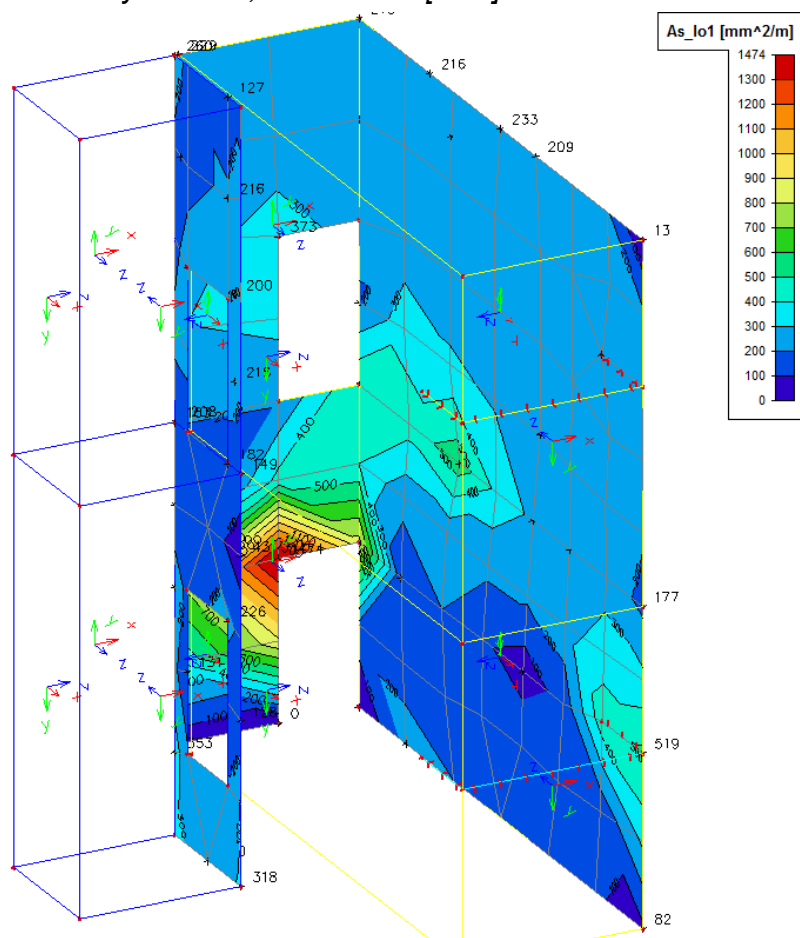
vnější povrch stěny výztuž:

hd 400 mm

krytí 30 mm

min.krytí 20 mm

*nutná plocha vnitřní výztuže  $A_{s,x}$  vodorovná [mm<sup>2</sup>]*



MSU: návrh. ohyb. vodorov. (rozděl.) výztuže: ØR10 po 100mm

$$\begin{aligned} A_s &= 785 \text{ mm}^2 \geq A_{s, \min} = 493 \text{ mm}^2 \\ &\geq 0,001 A_c = 200 \text{ mm}^2 \\ &\geq 0,25 A_s = 196 \text{ mm}^2 \end{aligned}$$

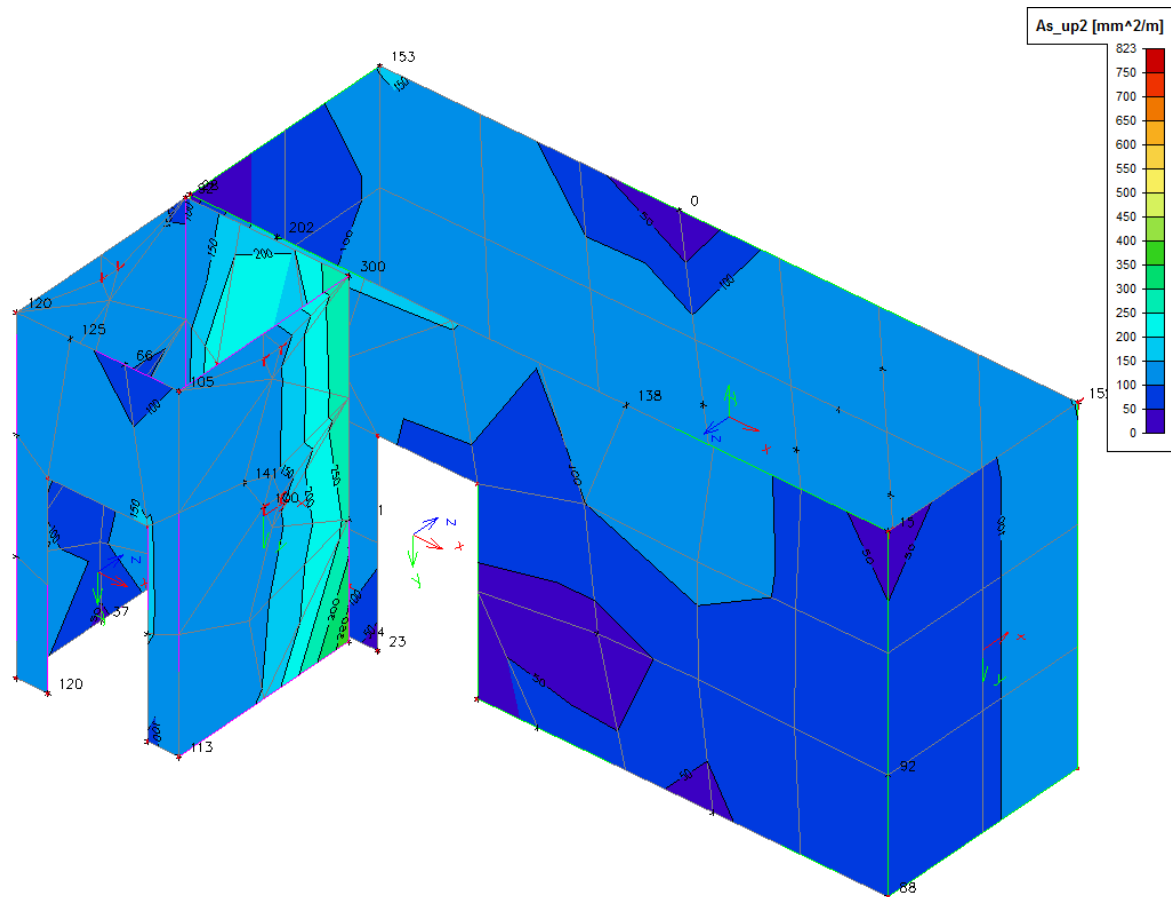
MSU: návrh. příčné. (spony) výztuže: 4ØR6/m<sup>2</sup>  $A_s = 113 \text{ mm}^2$

6.1.9.6 Žb. nadzemní stěna z BD 200 tl. 200mm (tvárnice s vnitr. tl. 125mm),  
schod.+výtah. šachta

vnitřní povrch stěny výztuž:

hd	125	mm
krytí	15	mm
min.krytí	10	mm

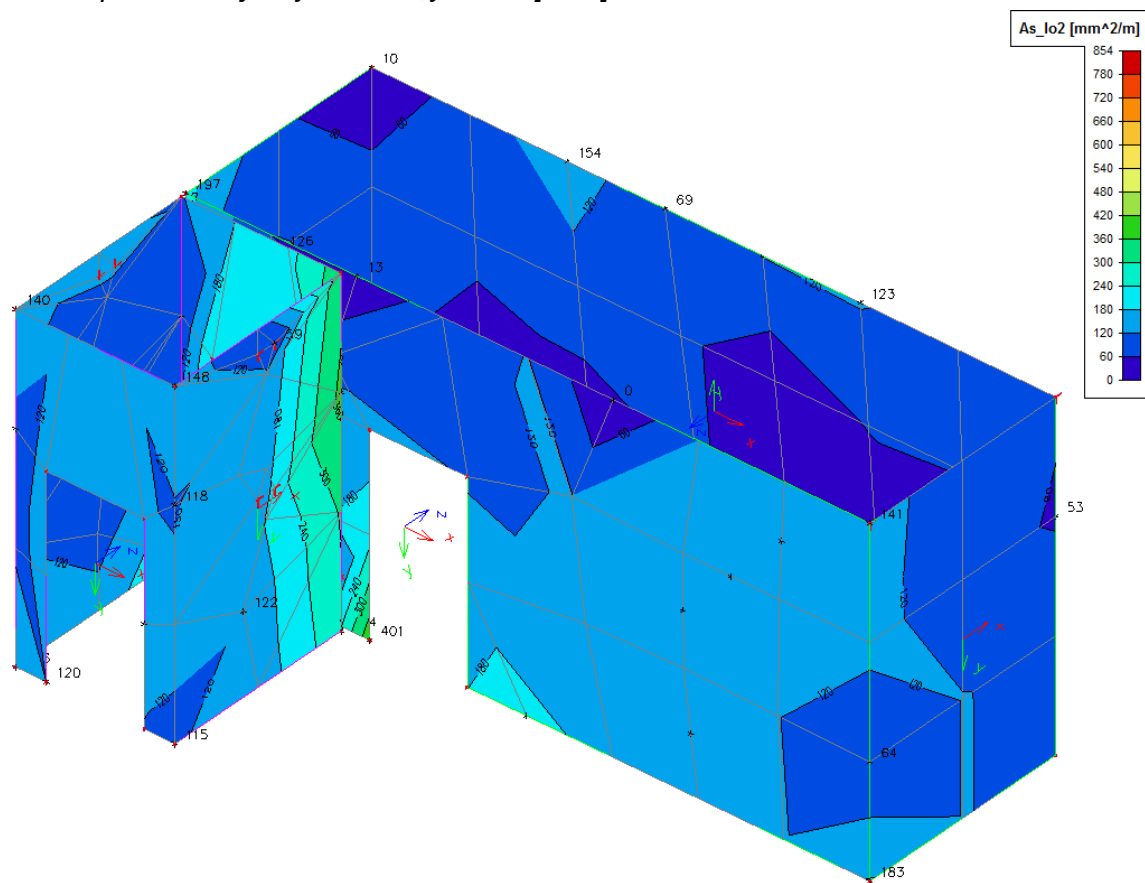
*nutná plocha vnitřní výztuže  $A_{s,y}$  svislá [mm<sup>2</sup>]*



MSU: návrh. ohyb. svislé výztuže: ØR10 po 165mm (cca 2x3 ks./tvár.)  $A_s = 476 \text{ mm}^2 \geq A_{s, \min}$   
 $\geq 0,001 A_c = 125 \text{ mm}^2$

hd	125	mm
krytí	15	mm
min.krytí	10	mm

*nutná plocha vnější výztuže  $A_{s,y}$  svislá [mm<sup>2</sup>]*



MSU: návrh. ohyb. svislé výztuže: ØR10 po 165mm (cca 2x3 ks./tvár.)  $A_s = 476\text{mm}^2 \geq A_{s, \min}$   
 $\geq 0,001Ac = 125\text{mm}^2$



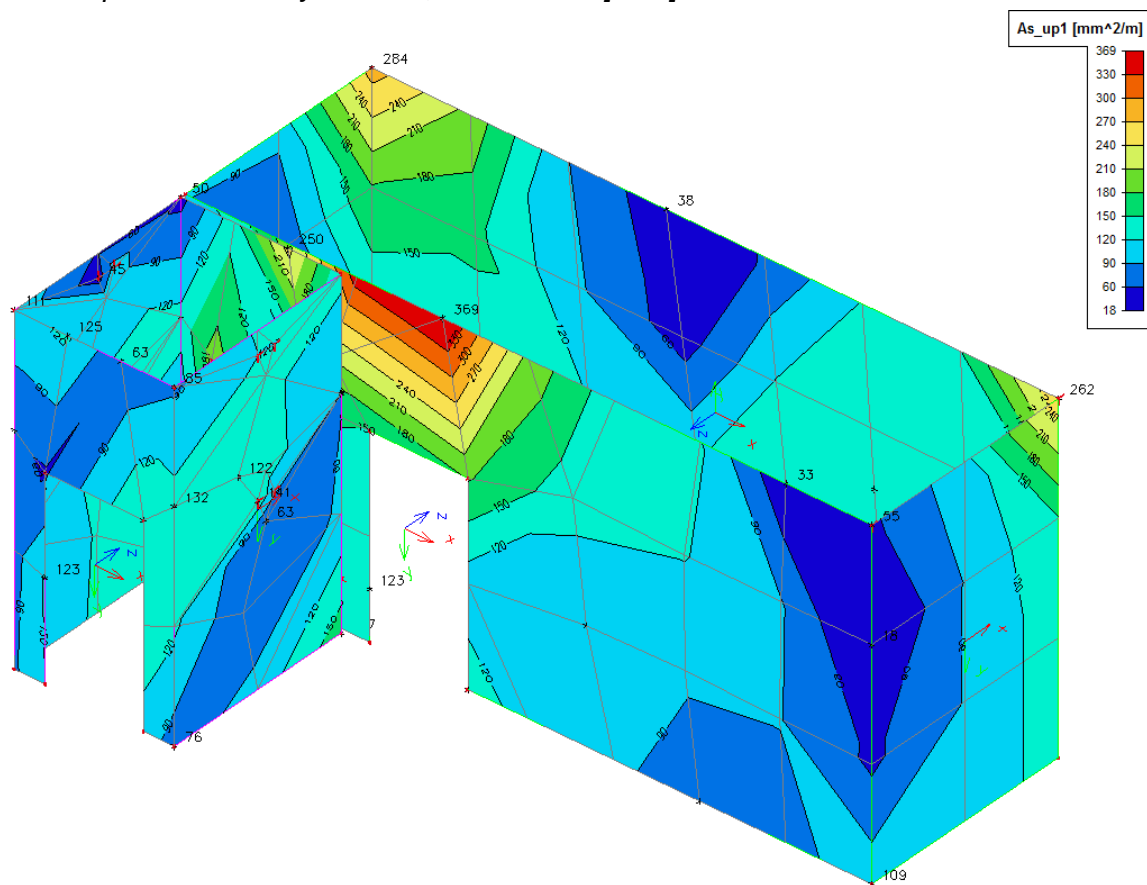
vnitřní povrch stěny výztuž:

hd 125 mm

krytí 25 mm

min.krytí 10 mm

*nutná plocha vnitřní výztuže  $A_{s,x}$  vodorovná [ $\text{mm}^2$ ]*



MSU: návrh. ohyb. vodorov. (rozděl.) výztuže: ØR8 po 250mm (cca 2 ks./výška tvár.)

$$A_s = 201 \text{ mm}^2 \geq A_{s, \min}$$

$$\geq 0,001 A_c = 125 \text{ mm}^2$$

$$\geq 0,25 A_s = 119 \text{ mm}^2$$

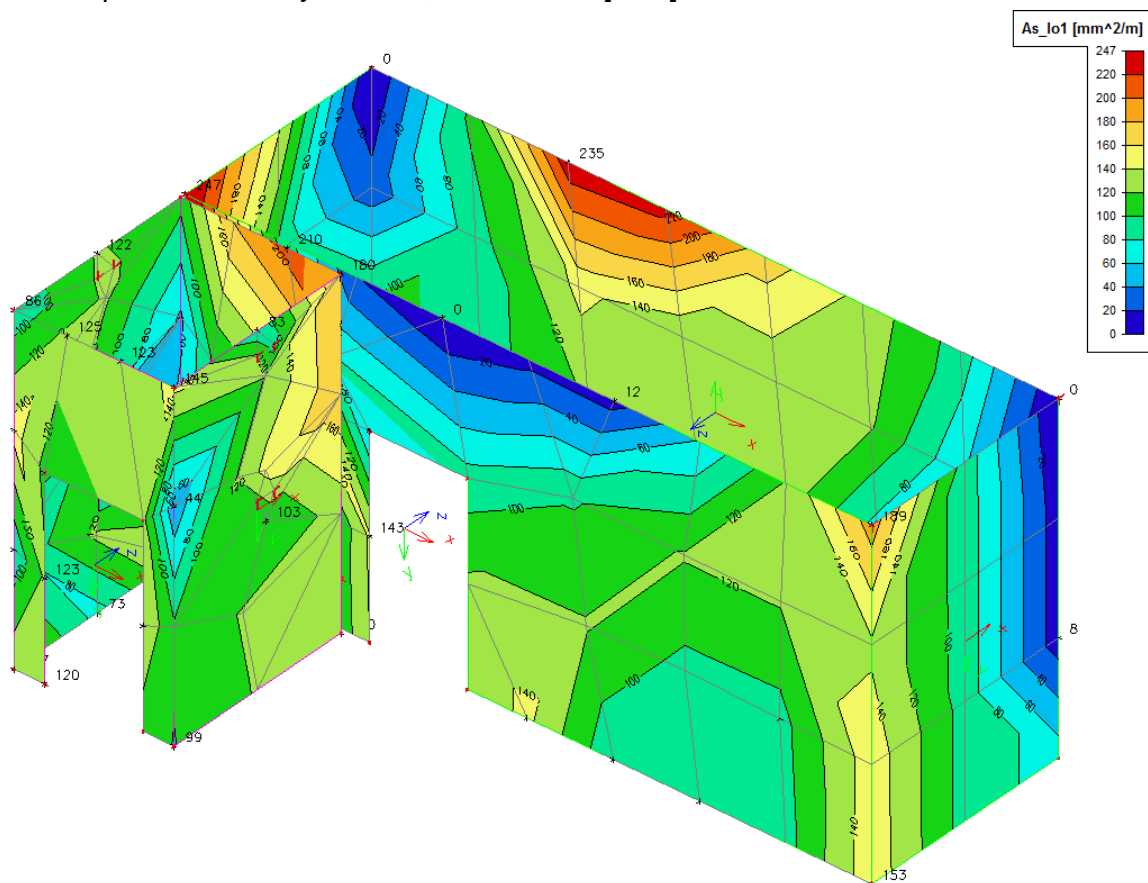
vnější povrch stěny výztuž:

hd 125 mm

krytí 25 mm

min.krytí 10 mm

*nutná plocha vnitřní výztuže  $A_{s,x}$  vodorovná [ $\text{mm}^2$ ]*



MSU: návrh. ohyb. vodorov. (rozděl.) výztuže: ØR8 po 250mm (cca 2 ks./výška tvár.)

$$A_s = 201 \text{ mm}^2 \geq A_{s, \min}$$

$$\geq 0,001 A_c = 125 \text{ mm}^2$$

$$\geq 0,25 A_s = 119 \text{ mm}^2$$

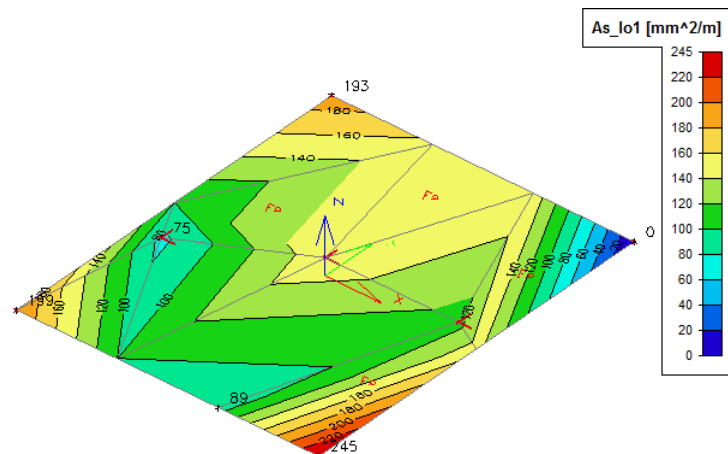
MSU: návrh. příčné. (spony) výztuže: 4ØR6/m2  $A_s = 113 \text{ mm}^2$

### 6.1.9.7 Deska nad výtah. šachtou

dolní výztuž:

hd	150	mm
krytí	28	mm
min.krytí	20	mm

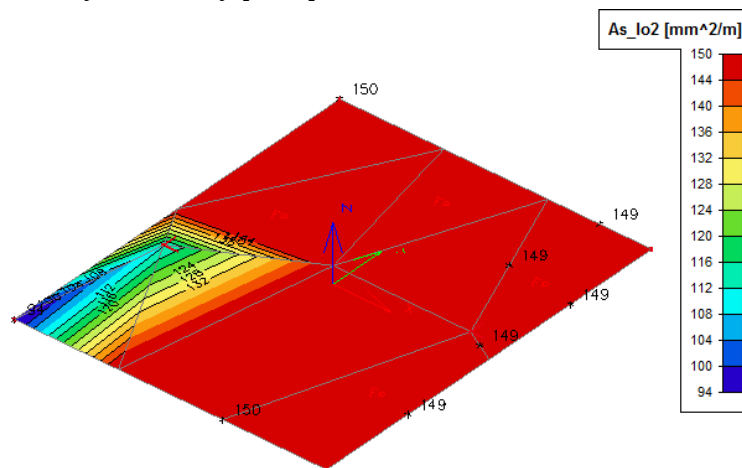
nutná plocha dolní výztuže  $A_{s,x}$  [mm<sup>2</sup>]



MSU: návrh. ohyb. výztuž: síť Ø8/100/100  $A_s = 503 \text{ mm}^2 \geq A_{s,\min} = 170 \text{ mm}^2$

ε	ε <sub>bal</sub>		ρ <sub>min</sub>		ρ		ρ <sub>max</sub>	
0,13	<0,45	ano	0,0013	<	0,004			
					0,0034	<	0,04	ano

nutná plocha dolní výztuže  $A_{s,y}$  [mm<sup>2</sup>]



MSU: návrh. ohyb. výztuž: síť Ø8/100/100  $A_s = 503 \text{ mm}^2 \geq A_{s,\min} = 170 \text{ mm}^2$

ε	ε <sub>bal</sub>		ρ <sub>min</sub>		ρ		ρ <sub>max</sub>	
0,13	<0,45	ano	0,0013	<	0,004			
					0,0034	<	0,04	ano

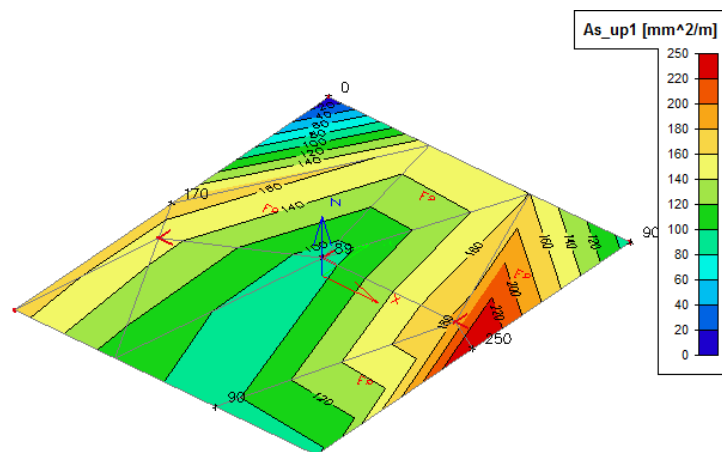
horní výztuž:

hd 150 mm

krytí 28 mm

min. krytí 20 mm

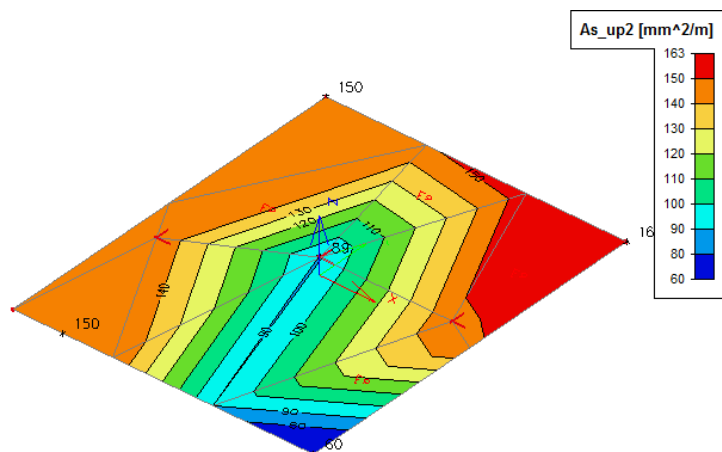
nutná plocha horní výztuže  $A_{s,x}$  [mm<sup>2</sup>]



MSU: návrh. ohyb. výztuž: síť Ø8/100/100  $A_s = 503 \text{ mm}^2 \geq A_{s,\min} = 170 \text{ mm}^2$

€	€,bal		p,min		p		p,max	
0,13	<0,45	ano	0,0013	<	0,004			
					0,0034	<	0,04	ano

nutná plocha horní výztuže  $A_{s,y}$  [mm<sup>2</sup>]



MSU: návrh. ohyb. výztuž: síť Ø8/100/100  $A_s = 503 \text{ mm}^2 \geq A_{s,\min} = 170 \text{ mm}^2$

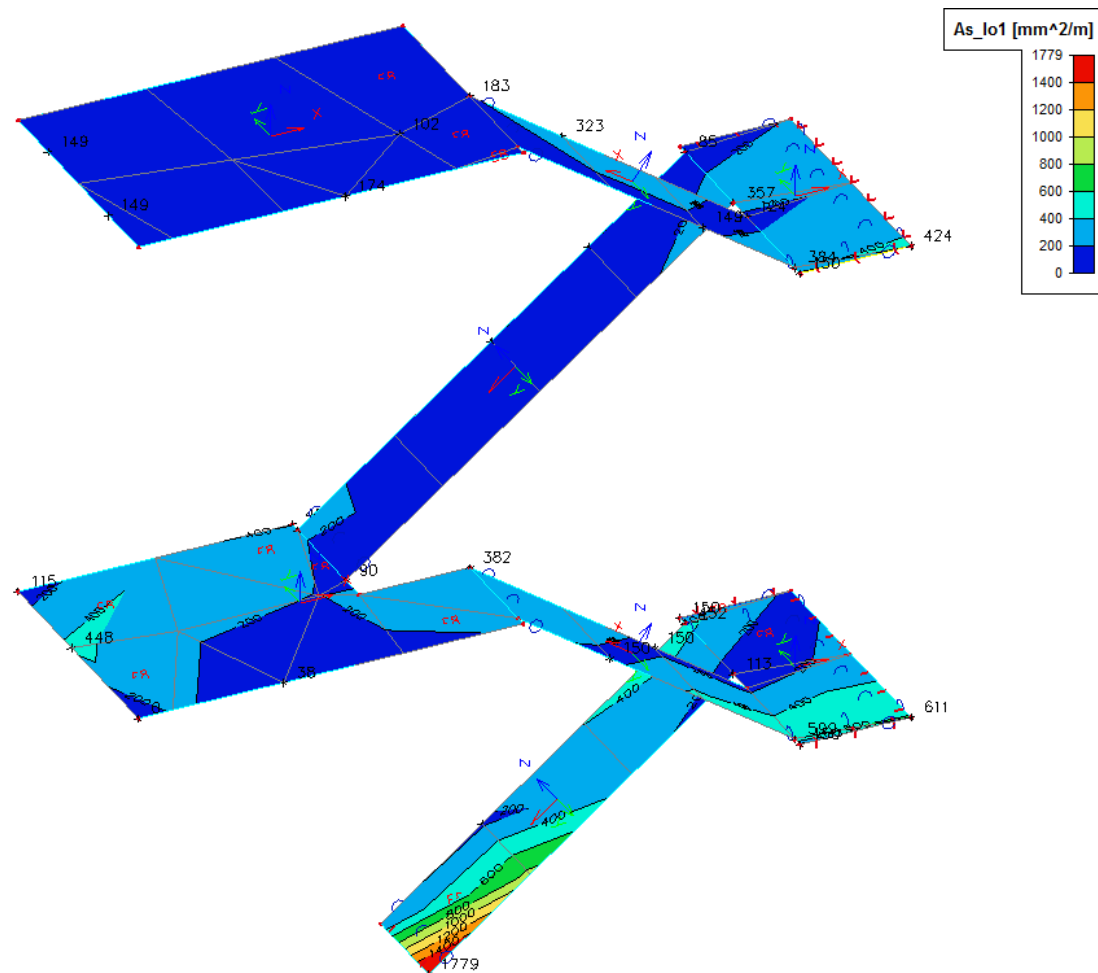
€	€,bal		p,min		p		p,max	
0,13	<0,45	ano	0,0013	<	0,004			
					0,0034	<	0,04	ano

### 6.1.9.8 Schodiště (desky ramen+podest)

dolní výztuž:

hd	150	mm
krytí	28	mm
min.krytí	20	mm

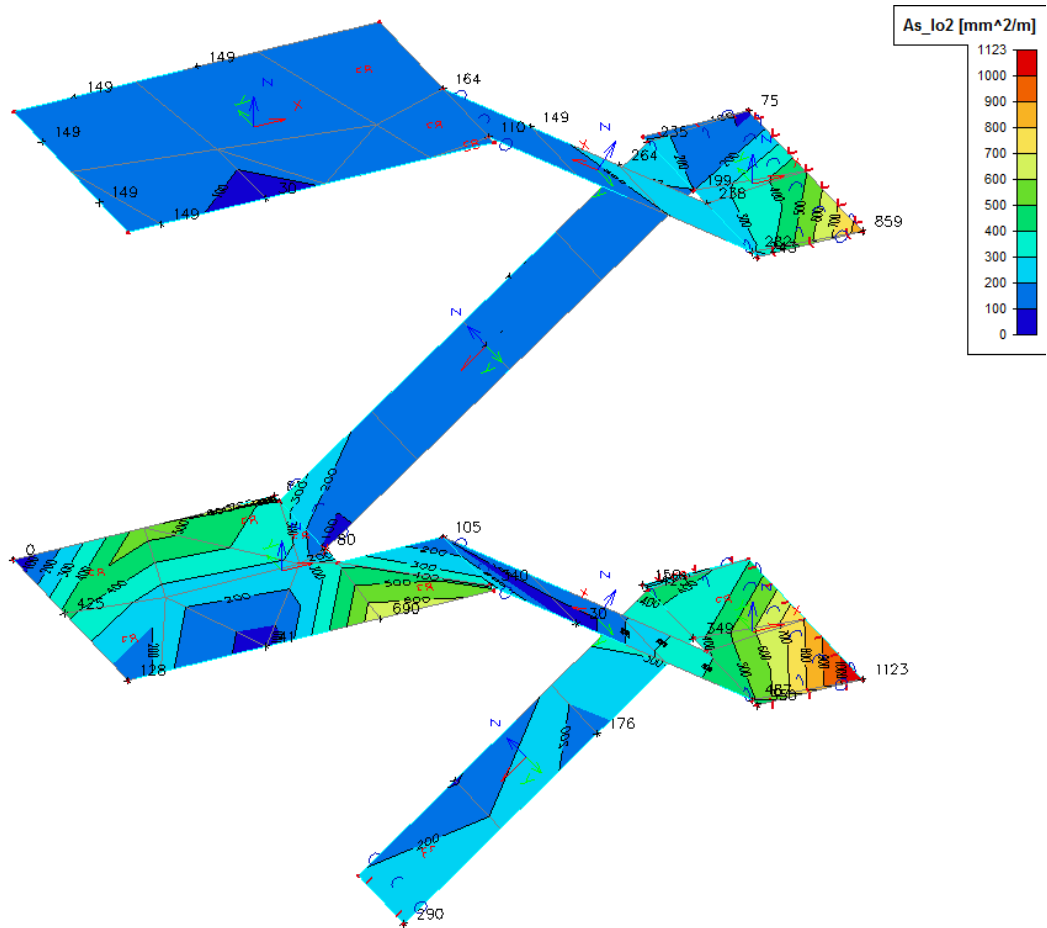
*nutná plocha dolní výztuže hlavní  $A_{s,x}$  [mm<sup>2</sup>]*



MSU: návrh. ohyb. výztuž: ØR8 po 125mm  $A_s = 402\text{mm}^2 \geq A_{s,\text{min}} = 169\text{mm}^2$

ε	ε <sub>bal</sub>		ρ <sub>min</sub>		ρ		ρ <sub>max</sub>	
0,163	<0,45	ano	0,0013	<	0,005			
					0,0042	<	0,04	ano

*nutná plocha dolní výztuže rozdělovací  $A_{s,y}$  [mm<sup>2</sup>]*



MSU: návrh. rozděl. výztuže schod. ramen:  $\varnothing R8$  po 125mm  $A_s = 402\text{mm}^2 \geq A_{s,\text{min}} = 106\text{mm}^2$

MSU: návrh. rozděl. výztuže podesty:  $\emptyset R10$  po 100mm  $A_s = 785\text{mm}^2 \geq A_{s,\text{min}} = 155\text{mm}^2$

€	€,bal		p,min		p		p,max	
0,223	<0,45	ano	0,0013	<	0,0068			
					0,0052	<	0,04	ano

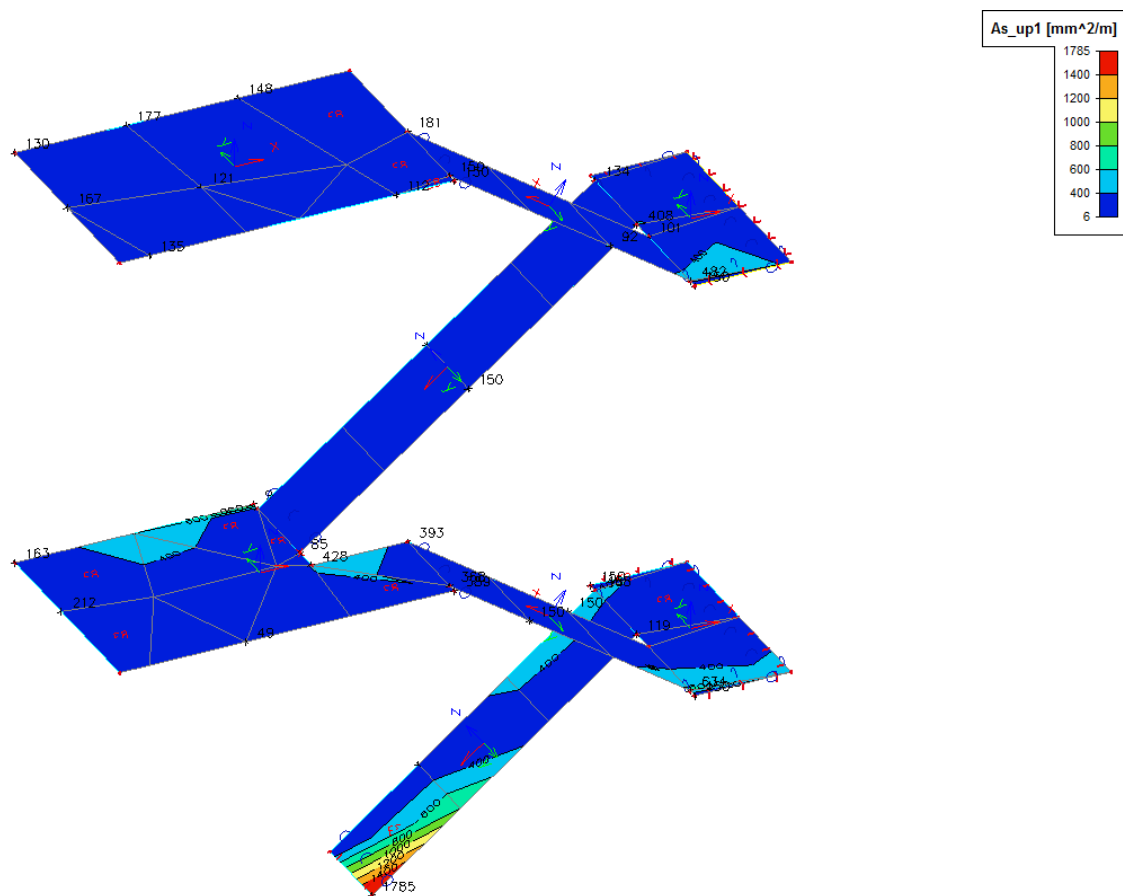
horní výztuž:

hd 150 mm

krytí 28 mm

min. krytí 20 mm

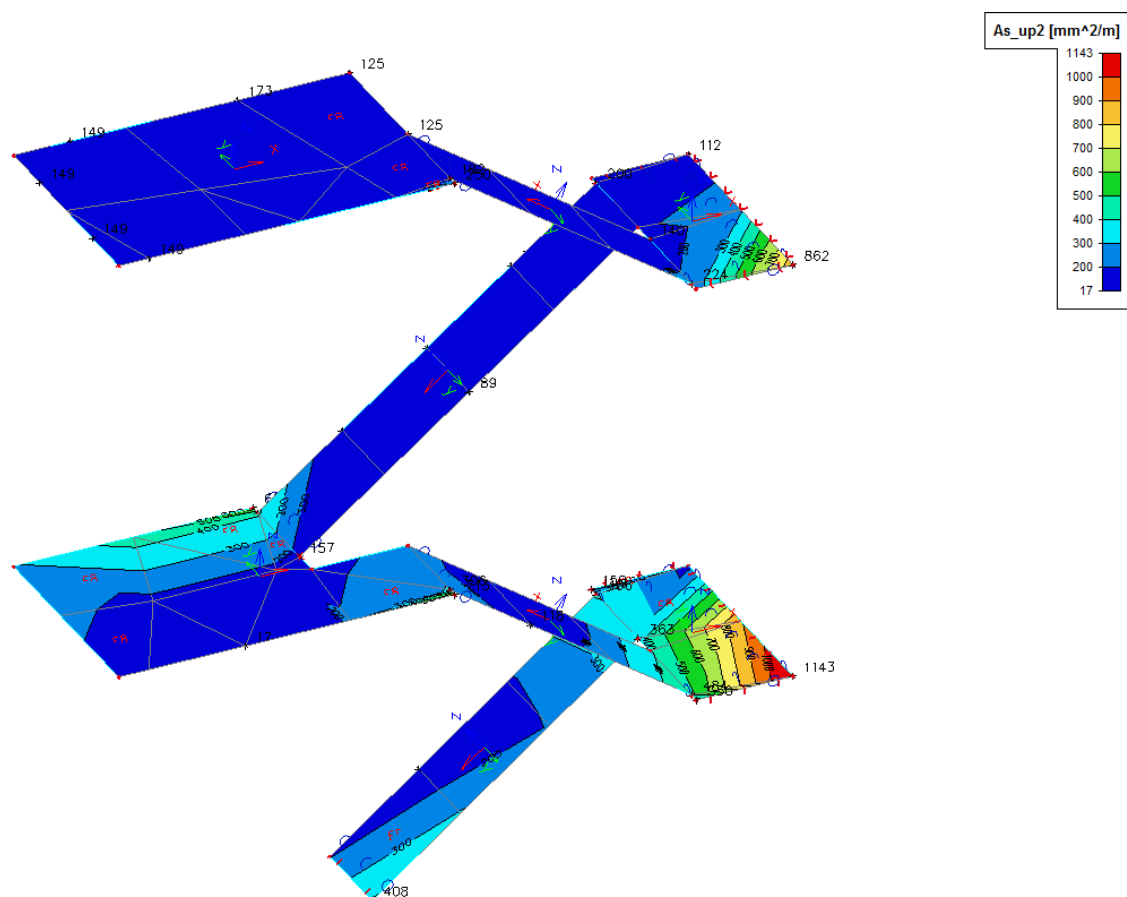
*nutná plocha horní výztuže hlavní  $A_{s,x}$  [mm<sup>2</sup>]*



MSU: návrh. ohyb. výztuž: ØR10 po 125mm  $A_s = 628\text{mm}^2 \geq A_{s,\min} = 169\text{mm}^2$

ε	ε <sub>bal</sub>		ρ <sub>min</sub>		ρ		ρ <sub>max</sub>	
0,163	<0,45	ano	0,0013	<	0,005			
					0,0042	<	0,04	ano

nutná plocha horní výztuže rozdělovací  $A_{s,y}$  [mm<sup>2</sup>]



MSU: návrh. rozděl. výztuže schod. ramen: ØR8 po 125mm  $A_s = 402\text{mm}^2 \geq A_{s,\min} = 106\text{mm}^2$

MSU: návrh. rozděl. výztuže hlav.podesty: ØR8 po 125mm  $A_s = 402\text{mm}^2 \geq A_{s,\min} = 155\text{mm}^2$

MSU: návrh. rozděl. výztuže mezipodesty: ØR10 po 100mm  $A_s = 785\text{mm}^2 \geq A_{s,\min} = 155\text{mm}^2$

€	€,bal		p,min		p		p,max	
0,223	<0,45	ano	0,0013	<	<b>0,0068</b>			
					<b>0,0052</b>	<	0,04	ano

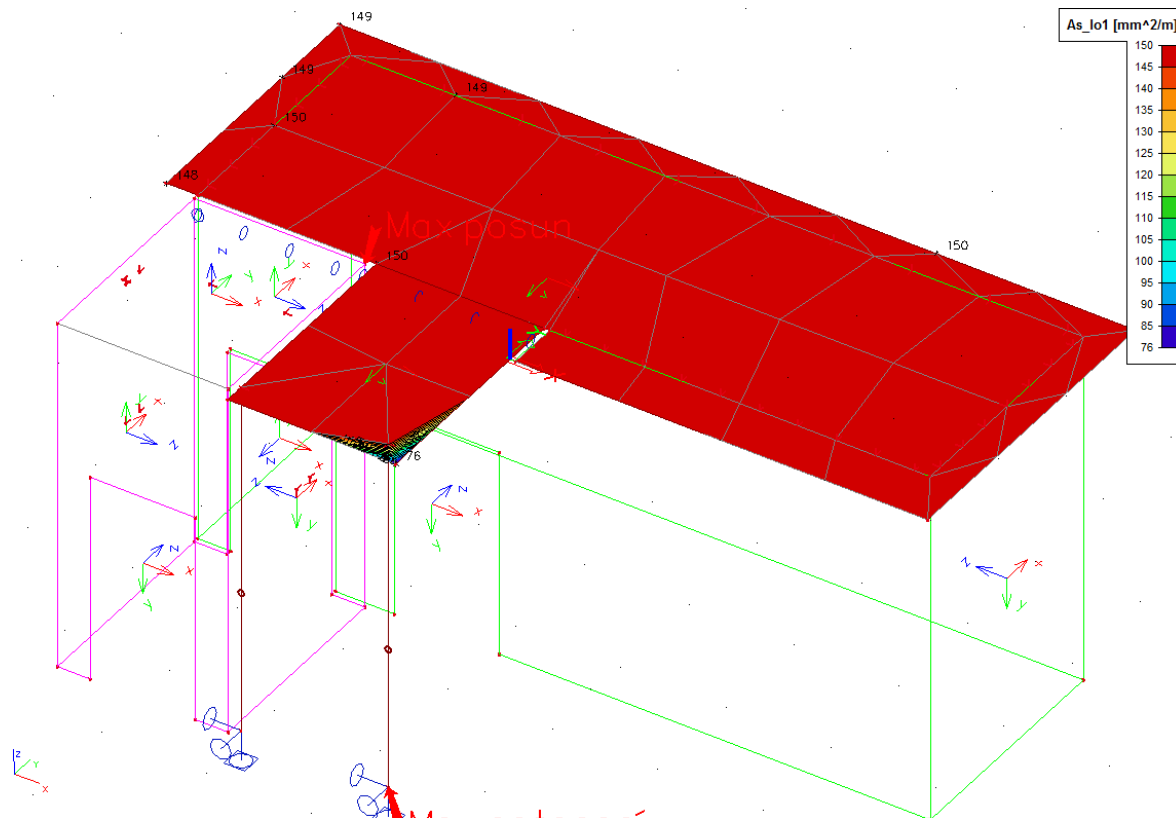


### 6.1.9.9 Střecha (desky ploché střechy)

dolní výztuž:

hd	150	mm
krytí	30	mm
min.krytí	20	mm

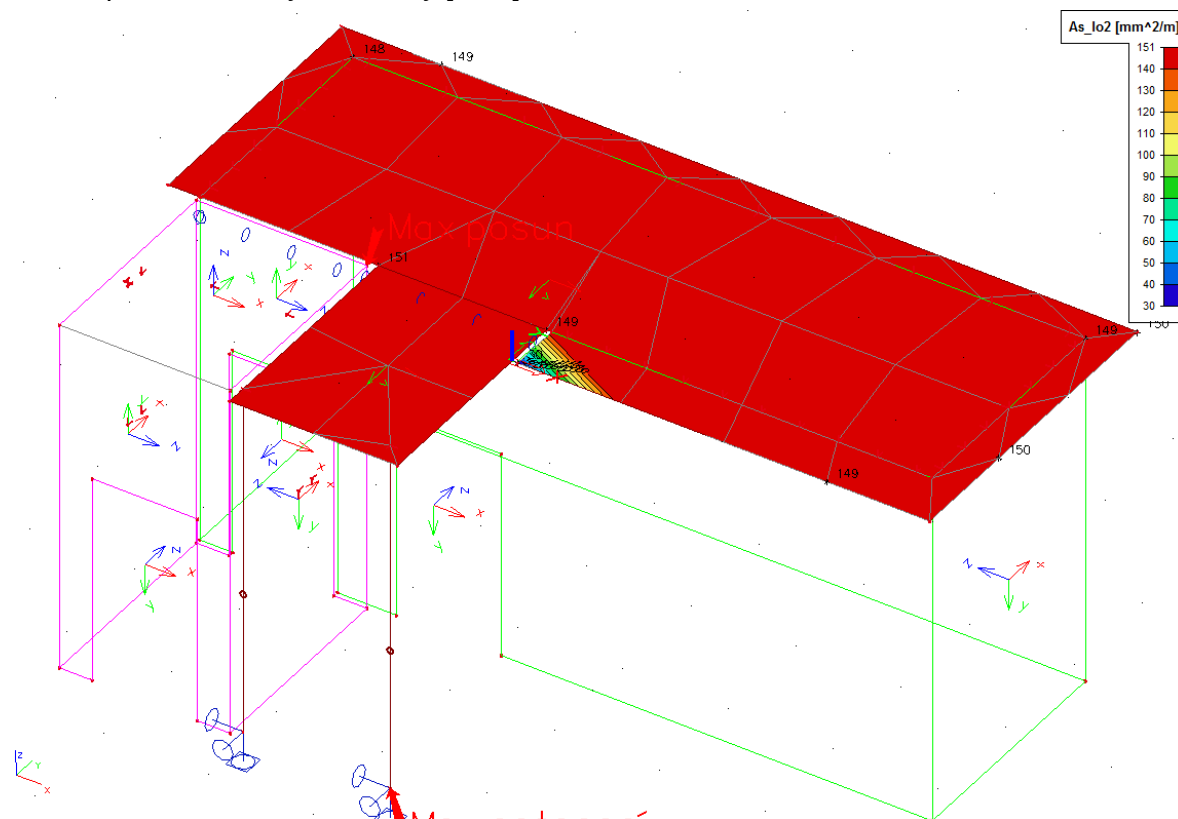
*nutná plocha dolní výztuže  $A_{s,x}$  [mm<sup>2</sup>]*



MSU: návrh. ohyb. výztuž: ØR8 po 100mm  $A_s = 503\text{mm}^2 \geq A_{s, \min} = 150\text{mm}^2$

ε	ε <sub>bal</sub>		ρ <sub>min</sub>		ρ		ρ <sub>max</sub>	
0,141	<0,45	ano	0,0013	<	<b>0,0043</b>			
					<b>0,0034</b>	<	0,04	ano

nutná plocha dolní výztuže  $A_{s,y}$  [mm<sup>2</sup>]



MSU: návrh. ohyb. výztuž: ØR8 po 100mm  $A_s = 503\text{mm}^2 \geq A_{s,\min} = 151\text{mm}^2$

ε	ε <sub>bal</sub>		ρ <sub>min</sub>		ρ		ρ <sub>max</sub>	
0,141	<0,45	ano	0,0013	<	0,0043			
					0,0034	<	0,04	ano

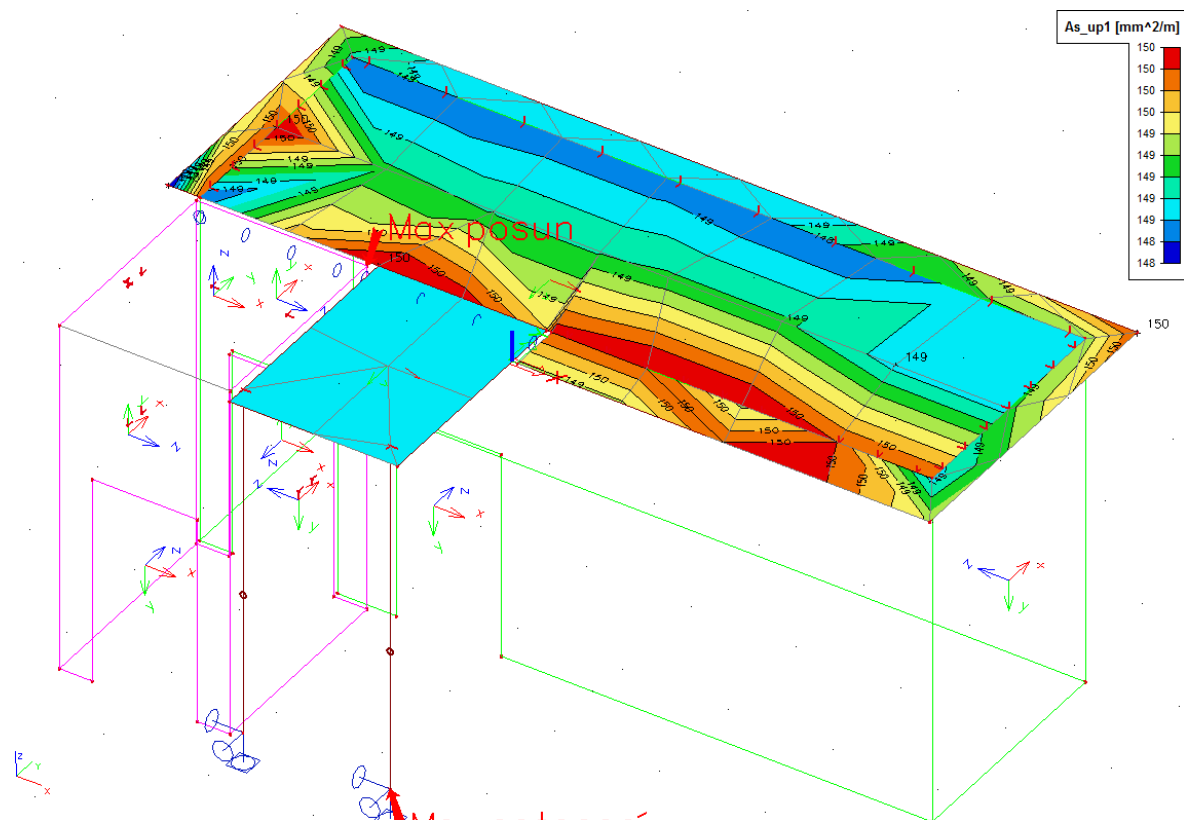
horní výztuž:

hd 150 mm

krytí 30 mm

min. krytí 20 mm

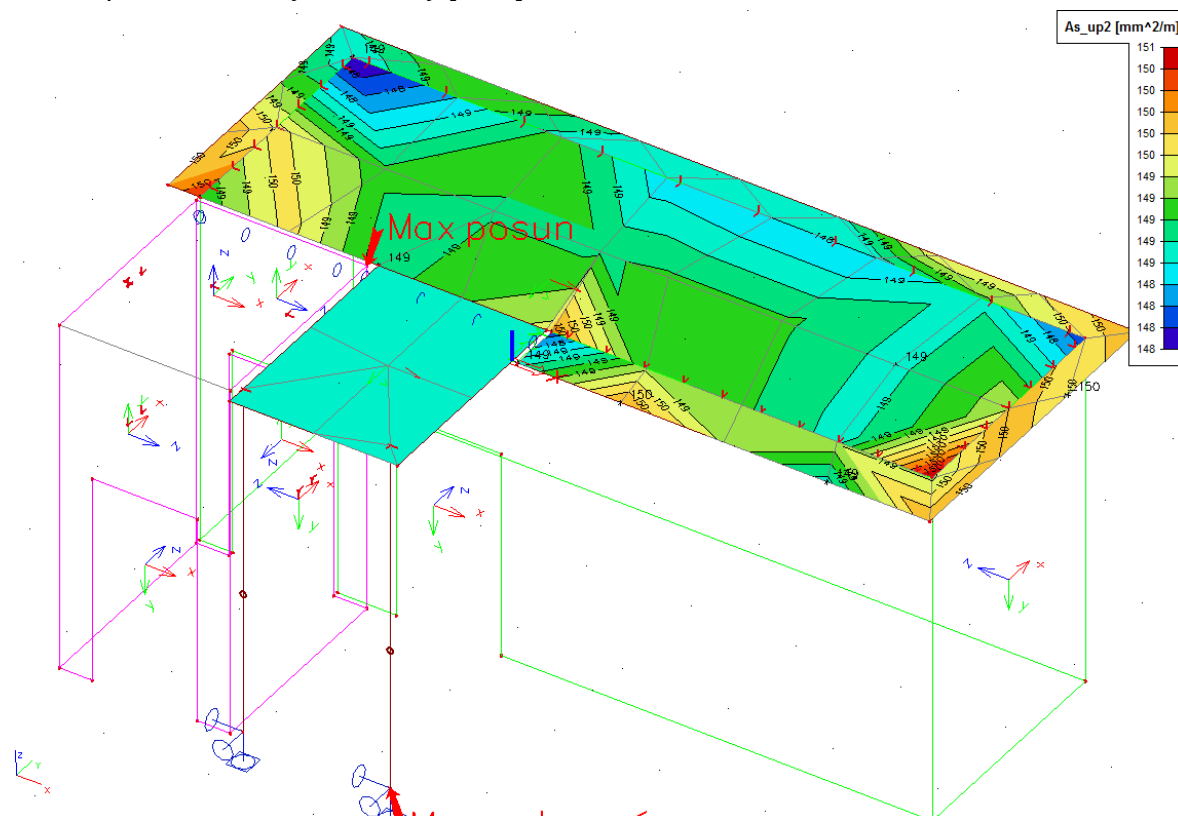
nutná plocha horní výztuže  $A_{s,x}$  [mm<sup>2</sup>]



MSU: návrh. ohyb. výztuž: ØR8 po 100mm  $A_s = 503\text{mm}^2 \geq A_{s, \min} = 150\text{mm}^2$

ε	ε <sub>bal</sub>		ρ <sub>min</sub>		ρ		ρ <sub>max</sub>	
0,141	<0,45	ano	0,0013	<	0,0043			
					0,0034	<	0,04	ano

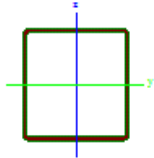
nutná plocha horní výztuže  $A_{s,y}$  [mm<sup>2</sup>]



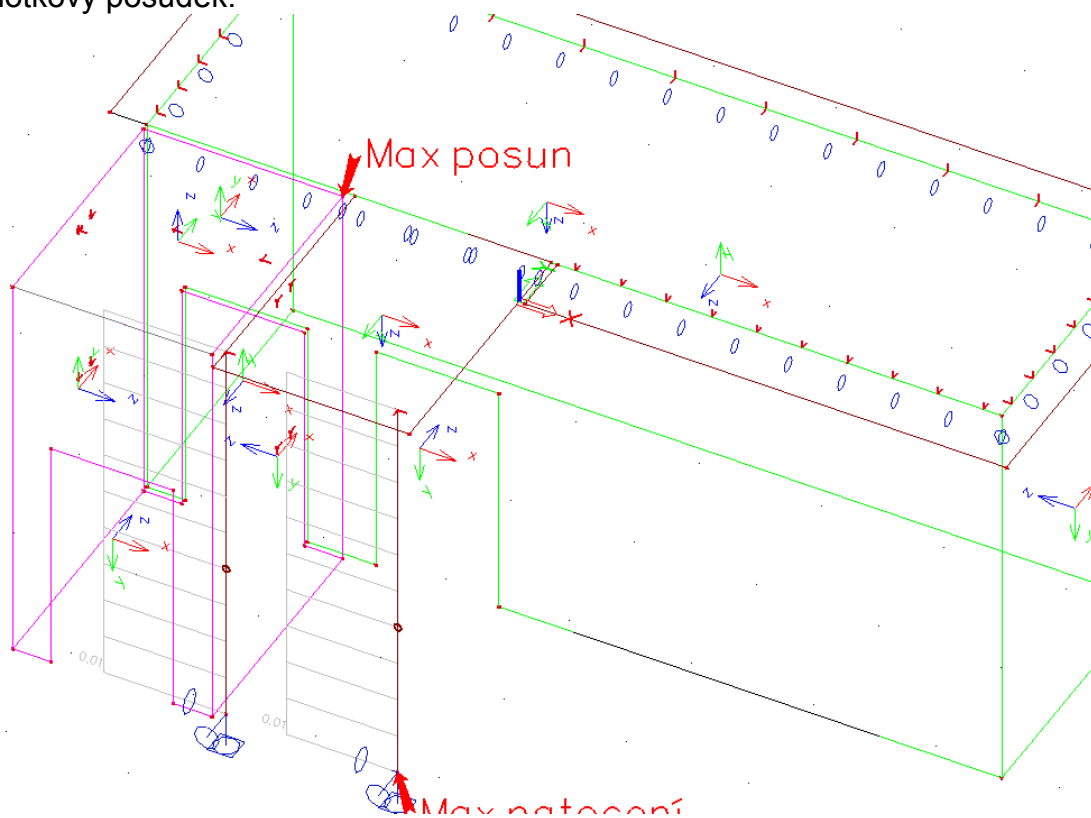
MSU: návrh. ohyb. výztuž: ØR8 po 100mm  $A_s = 503\text{mm}^2 \geq A_{s,min} = 151\text{mm}^2$

$\epsilon$	$\epsilon_{bal}$		$\rho_{min}$		$\rho$		$\rho_{max}$	
0,141	<0,45	ano	0,0013	<	0,0043			
					0,0034	<	0,04	ano

### 6.1.9.10 Vnější sloupek

	Jméno	SLP_140/140		
	Typ	SHS140/140/5.0		
	Zdroj hodnot	British Standard / BS 5950 part 1 : 1990 & EN 10210-2		
	Popis typu	obdélníková trubka		
	Material	S 235		
	Výroba	válcovaný		
	Vzpěr y-y, z-z	a	a	
	Obrázek			
	Material	S 235		
	A [mm 2]	2,67E+03		
	A y, z [mm 2]	1,34E+03		1,34E+03
	I y, z [mm 4]	8,07E+06		8,07E+06
	I t [mm 4], w [mm 6]	1,25E+07		2,24E+10
	alfa [deg]	0		
	Wel y, z [mm 3]	1,15E+05		1,15E+05
	Wpl y, z [mm 3]	1,34E+05		1,34E+05
	c YLSS, ZLSS [mm]	70		70
	d y, z [mm]	0		0
	AL [m 2/m]	5,52E-01		

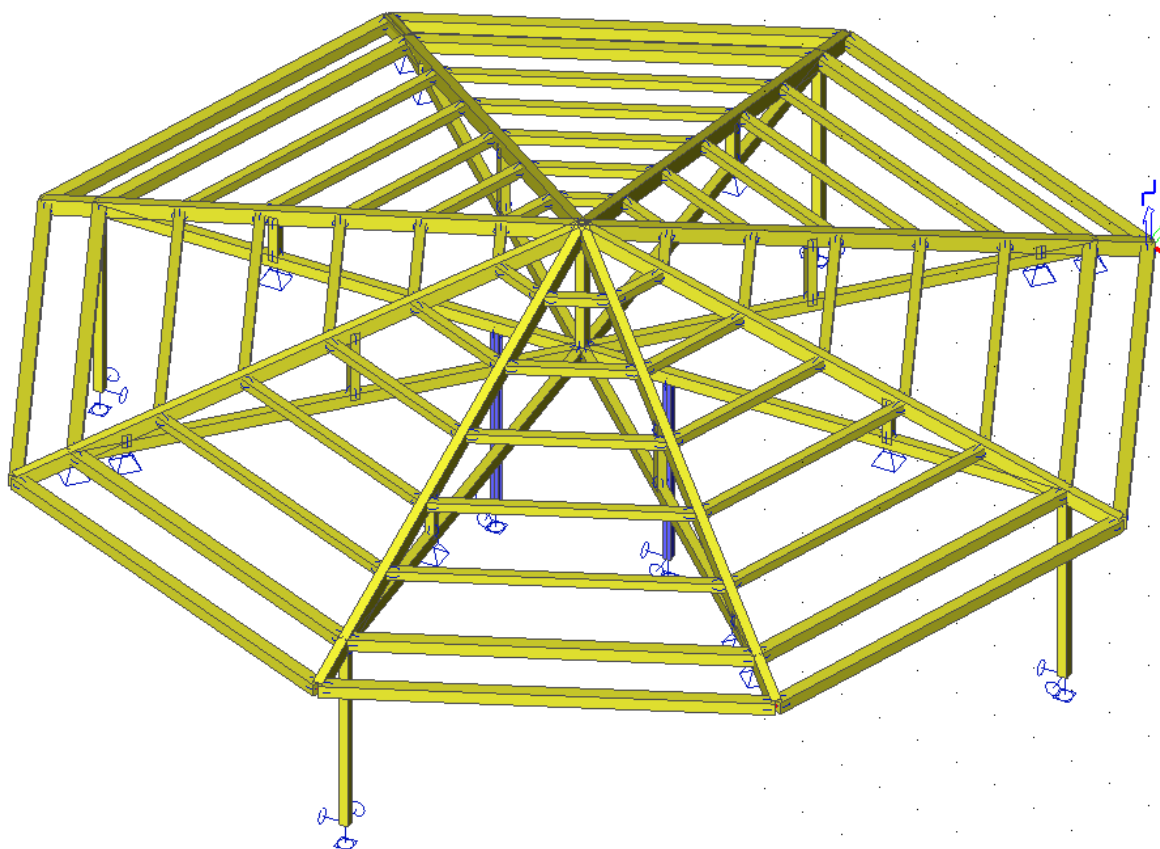
jednotkový posudek:



Stav	Prut	css	mat	dx [mm]	jed.posudek [-]	pevnost [-]	stab. posudek [-]
6.10a02/1	B57	SLP_150/150 - SHS150/150/5.0	S 235	0	0,01	0,01	0,01
6.10a03/2	B56	SLP_150/150 - SHS150/150/5.0	S 235	0	0,01	0,01	0

## 6.2. Posouzení nosné konstrukce\_120\_venkovní toalety

### 6.2.1. Model konstrukce.



Nosná konstrukce venkovních toalet je řešena jako těžký dřev. skelet na půdorysu 8-mi. úhelníku se stanovou střechou.

Veškeré prvky jsou z plných dřev. průřezů (hranoly) z běžného řeziva třídy C22.

Konstrukce je řešena jako staticky neurčitá prutová 3D sestava, koncové podpory pod sloupky kloubové-neposuvné, sloupky řešeny jako stojky. Uložení vnitřních průvlaků na obvodové zdivo kloubové-neposuvné.

### 6.2.2. Protokol o výpočtu

Počet 2D prvků	0
Počet 1D prvků	109
Počet uzlů sítě	58
Počet rovnic	348
Zatěžovací stavy	ZS 1 4.0_go
	ZS 2 4.1_gk
	ZS 3 2.0_sk
	ZS 5 1.1_wk-
	ZS 6 1.2_wk+
Ohybová teorie	Mindlin
Spuštění výpočtu	3.4.2018 12:20
Konec výpočtu	3.4.2018 12:20

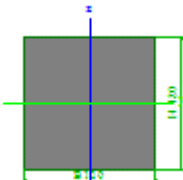
### 6.2.3. Materiály

Dřev. hranoly z řeziva třídy C22 (bývalé ozn. S I nebo S10). Sloupky ocel. válcovaný průřez uzavřená z S235.

### 6.2.4. Průřezy

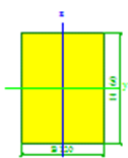
Obvodové sloupky:

Obvodové sloupky:

	Jméno	SLP 120/120		
	Detailní	120; 120		
	Typ	RECT		
	Material	C22		
	Výroba	Dřevo		
	Vzpěr y-y, z-z	b	b	
	Výpočet FEM	x		
	Obrázek			
	Material	C22		
	A [m 2]	1,44E-02		
	A y, z [m 2]	1,44E-02		1,44E-02
	I y, z [m 4]	1,73E-05		1,73E-05
	I t [m 4], w [m 6]	4,40E-05		0,00E+00
	alfa [deg]	0		
	Wel y, z [m 3]	2,88E-04		2,88E-04
	Wpl y, z [m 3]	4,32E-04		4,32E-04
	c YLSS, ZLSS [mm]	60		60
	d y, z [mm]	0		0
	AL [m 2/m]	4,80E-01		

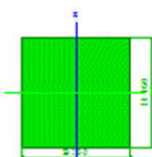
Vnitřní průvlak:

Vnitřní prvek:

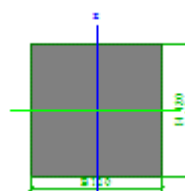
	Jméno	VNITR_PRV 120/160		
	Detailní	120; 160		
	Typ	RECT		
	Material	C22		
	Výroba	Dřevo		
	Vzpěr y-y, z-z	b	b	
	Výpočet FEM	x		
	Obrázek			
	Material	C22		
	A [m 2]	1,92E-02		
	A y, z [m 2]	1,92E-02		1,92E-02
	I y, z [m 4]	4,10E-05		2,30E-05
	I t [m 4], w [m 6]	7,23E-05		0,00E+00
	alfa [deg]	0		
	Wel y, z [m 3]	5,12E-04		3,84E-04
	Wpl y, z [m 3]	7,68E-04		5,76E-04
	c YLSS, ZLSS [mm]	60		80
	d y, z [mm]	0		0
	AL [m 2/m]	5,60E-01		

## Obvodové průvlaky:

Obvodové prvky:

	Jméno	OBVOD_PRVLK 160/160		
	Detailní	160; 160		
	Typ	RECT		
	Material	C22		
	Výroba	Dřevo		
	Vzpěr y-y, z-z	b	b	
	Výpočet FEM	x		
	Obrázek			
	Material	C22		
	A [m 2]	2,56E-02		
	A y, z [m 2]	2,56E-02	2,56E-02	
	I y, z [m 4]	5,46E-05	5,46E-05	
	I t [m 4], w [m 6]	1,39E-04	0,00E+00	
	alfa [deg]	0		
	Wel y, z [m 3]	6,83E-04	6,83E-04	
	Wpl y, z [m 3]	1,02E-03	1,02E-03	
	c YLSS, ZLSS [mm]	80	80	
	d y, z [mm]	0	0	
	AL [m 2/m]	6,40E-01		

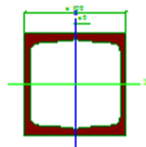
## Vzpěry:

	Jméno	VZPR 120/120		
	Detailní	120; 120		
	Typ	RECT		
	Material	C22		
	Výroba	Dřevo		
	Vzpěr y-y, z-z	b		b
	Výpočet FEM	x		
	Obrázek			
	Material	C22		
	A [m 2]	1,44E-02		
		1,44E-02	1,44E-02	
	A y, z [m 2]			
	I y, z [m 4]	1,73E-05	1,73E-05	
	I t [m 4], w [m 6]	4,40E-05	0,00E+00	
	alfa [deg]	0		
	Wel y, z [m 3]	2,88E-04	2,88E-04	
	Wpl y, z [m 3]	4,32E-04	4,32E-04	
	c YLSS, ZLSS [mm]	60	60	
	d y, z [mm]	0	0	
AL [m 2/m]	4,80E-01			





Vnitřní sloupek:

	Jméno	2xU100	
	Detailní	U100; 0; 100	
	Typ	2Uc	
	Material	S 235	
	Výroba	válcovaný	
	Vzpěr y-y, z-z	b	
	Obrázek		
	Material	S 235	
	A [m 2]	2,73E-03	
	A y, z [m 2]	9,65E-04	9,55E-04
	I y, z [m 4]	4,18E-06	3,82E-06
	I t [m 4], w [m 6]	5,49E-08	9,68E-10
	alfa [deg]	0	
	Wel y, z [m 3]	8,36E-05	7,64E-05
	Wpl y, z [m 3]	9,97E-05	9,39E-05
	c YLSS, ZLSS [mm]	50	50
	d y, z [mm]	0	0
	AL [m 2/m]	7,44E-01	

### 6.2.5. Zatěžovací stavy

Jméno	Popis	Typ působení	Skupina zatížení	Typ zatížení	Spec	Směr	Působení	Řídící zat. stav
4.0_go	vl tíha	Stálé	stale	Vlastní tíha		-Z		
4.1_gk	stes_plast+podhled	Stálé	stale	Standard				
2.0_sk	snih	Nahodilé	snih	Statické	Standard		Střednědobé	Žádný
3.0_qk	uzitne	Nahodilé	uzit-str	Statické	Standard		Krátkodobé	Žádný
1.1_wk-	vitr-sani	Nahodilé	vitr	Statické	Standard		Krátkodobé	Žádný
1.2_wk+	vitr-tlak	Nahodilé	vitr	Statické	Standard		Krátkodobé	Žádný

### 6.2.6. Kombinace

uvažované kombinace KZS: pro mezní stavy únosnosti typu STR/GEO: (s vl. tíhou)

obecná kombinace: varianta B

$$6.10a \sum \gamma_G G_k + \psi_0 \gamma_{Q,1} Q_{k,1,hlavní} + \sum_{i \geq 1} \psi_0 \gamma_{Q,i} Q_{k,i}$$

$$6.10b \sum \xi_j \times \gamma_G G_k + \gamma_{Q,1} Q_{k,1,hlavní} + \sum_{i \geq 1} \psi_0 \gamma_{Q,i} Q_{k,i}$$

$$\xi_j = 0,85$$

kombinační součinitele:

-pro proměnné zatížení: užité pro střechy kategorie H →  $\psi_0 = 0$  ,  $\psi_1 = 0$  ,  $\psi_2 = 0$

-pro proměnné zatížení: klimatickými vlivy sních do  $h \leq 1000$  m.n. →  $\psi_0 = 0,5$  ,  $\psi_1 = 0,2$  ,  $\psi_2 = 0$

-pro proměnné zatížení: klimatickými vlivy vítr. →  $\psi_0 = 0,6$  ,  $\psi_1 = 0,2$  ,  $\psi_2 = 0$

Kombinace

Jméno	Typ	Zatěžovací stavy	Souč. [1]
6.10_a01	EN - MSÚ (STR)	2.0_sk - snih	0,75
		4.0_go - vl tíha	1,35
		4.1_gk - stes_plast+podhled	1,35
6.10_a02	EN - MSÚ (STR)	1.2_wk+ - vitr-tlak	0,9
		4.0_go - vl tíha	1,35
		4.1_gk - stes_plast+podhled	1,35
6.10_b01	EN - MSÚ (STR)	2.0_sk - snih	1,5
		4.0_go - vl tíha	1,15
		4.1_gk - stes_plast+podhled	1,15
6.10_b02	EN - MSÚ (STR)	1.2_wk+ - vitr-tlak	1,5
		4.0_go - vl tíha	1,15
		4.1_gk - stes_plast+podhled	1,15
6.10_01	EN - MSÚ (STR)	1.1_wk- - vitr-sani	1,5
		4.0_go - vl tíha	1
		4.1_gk - stes_plast+podhled	1

uvažované kombinace KZS: pro mezní stavy použitelnosti:

charakteristická kombinace:  $\sum G_k + Q_{k,1,hlavní} + \sum_{i \geq 1} \psi_{0,i} Q_{k,i}$

třída trvání zatížení: sních-střednědobé, vítr – krátkodobé

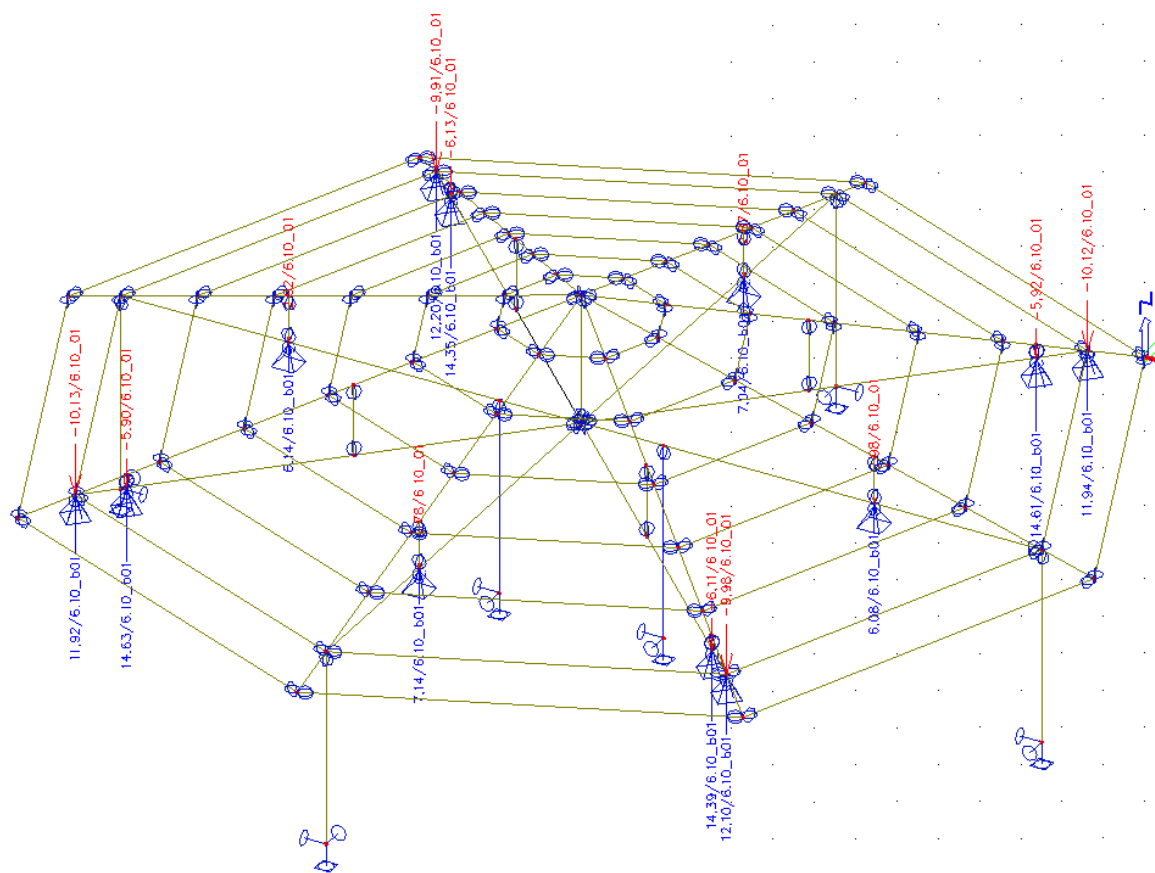
Kombinace

Jméno	Typ	Zatěžovací stavy	Souč. [1]
001	EN-MSP char.	2.0_sk - snih	1
		4.0_go - vl tíha	1
		4.1_gk - stes_plast+podhled	1

## 6.2.7. Reakce podpor

Lineární výpočet, Extrém : Globální

$R_z$  [kN]-reakce v uložení vnitřních průvlaků na žb. věnec 300x250 a 240x250 na vnitřní stěně

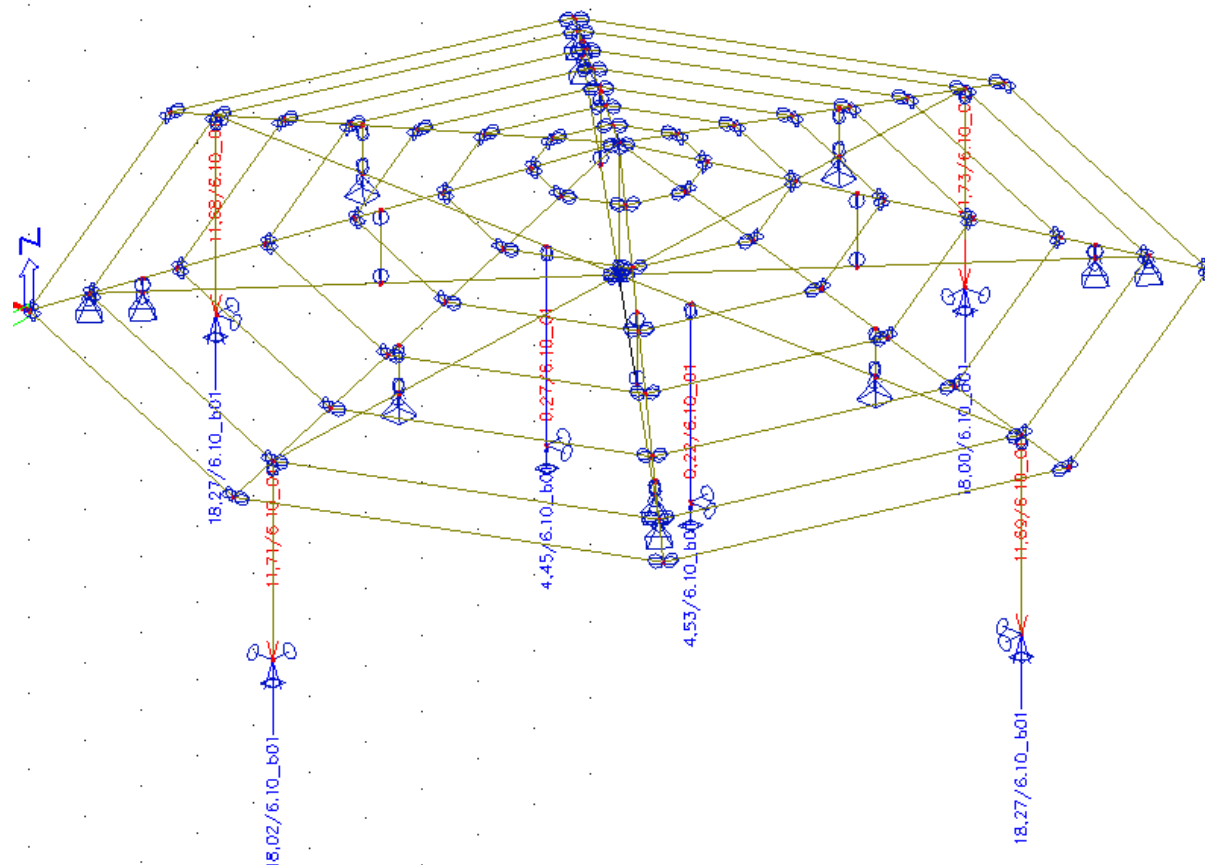


Lineární výpočet, Extrém : Uzel							
Výběr : Sn1, Sn3, Sn6, Sn8, Sn11, Sn12, Sn13, Sn14, Sn15, Sn16, Sn17, Sn18, Sn19, Sn20, Sn21, Sn22, Sn23, Sn24							
Třída : MSU							
Podpora	Stav	Rx [kN]	Ry [kN]	Rz [kN]	Mx [kNm]	My [kNm]	Mz [kNm]
Sn1/N5	6.10_b01/1	0	0	18,02	0	0	0
Sn1/N5	6.10_01/2	0	0	-11,71	0	0	0
Sn1/N5	6.10_a01/3	0	0	9,69	0	0	0
Sn1/N5	6.10_b02/4	0	0	11,71	0	0	0
Sn3/N7	6.10_01/2	0	0	-11,68	0	0	0
Sn3/N7	6.10_b01/1	0	0	18,27	0	0	0
Sn3/N7	6.10_b02/4	0	0	11,91	0	0	0
Sn3/N7	6.10_a01/3	0	0	9,9	0	0	0
Sn3/N7	6.10_a01/5	0	0	14,82	0	0	0
Sn6/N1	6.10_01/2	0	0	-11,69	0	0	0
Sn6/N1	6.10_b01/1	0	0	18,27	0	0	0
Sn6/N1	6.10_a01/3	0	0	9,89	0	0	0
Sn6/N1	6.10_b02/4	0	0	11,93	0	0	0
Sn8/N13	6.10_b01/1	0	0	18	0	0	0

Sn8/N13	6.10_01/2	0	0	-11,73	0	0	0
Sn8/N13	6.10_a01/3	0	0	9,66	0	0	0
Sn11/N20	6.10_01/2	-11,17	0	-2,92	0	0	0
Sn11/N20	6.10_b01/1	17,88	0	6,14	0	0	0
Sn11/N20	6.10_a01/3	9,8	0	3,75	0	0	0
Sn12/N25	6.10_b01/1	-0,01	0	14,63	0	0	0
Sn12/N25	6.10_01/2	0	-0,01	-5,9	0	0	0
Sn12/N25	6.10_b02/4	0	0	10,24	0	0	0
Sn12/N25	6.10_a01/3	-0,01	0	9,39	0	0	0
Sn13/N23	6.10_b01/1	0	0	14,39	0	0	0
Sn13/N23	6.10_01/2	0	0	-6,11	0	0	0
Sn13/N23	6.10_a01/3	0	0	9,11	0	0	0
Sn14/N24	6.10_b01/1	-0,01	-0,01	14,35	0	0	0
Sn14/N24	6.10_01/2	0	0	-6,13	0	0	0
Sn14/N24	6.10_a01/3	0	-0,01	9,07	0	0	0
Sn15/N26	6.10_b01/1	0	0	14,61	0	0	0
Sn15/N26	6.10_01/2	0	-0,01	-5,92	0	0	0
Sn15/N26	6.10_b02/4	0	0	10,22	0	0	0
Sn15/N26	6.10_a01/3	0	0	9,37	0	0	0
Sn16/N19	6.10_b01/1	-17,94	0	6,08	0	0	0
Sn16/N19	6.10_01/2	11,2	0	-2,98	0	0	0
Sn16/N19	6.10_a01/5	-14,61	0	5,16	0	0	0
Sn16/N19	6.10_b02/4	-11,45	0	4,25	0	0	0
Sn16/N19	6.10_a01/3	-9,84	0	3,68	0	0	0
Sn17/N22	6.10_a01/3	0	-9,85	4,51	0	0	0
Sn17/N22	6.10_b02/4	0	-11,46	5,02	0	0	0
Sn17/N22	6.10_b01/1	0	-17,95	7,04	0	0	0
Sn17/N22	6.10_01/2	0	11,19	-2,87	0	0	0
Sn18/N21	6.10_b01/1	0	17,94	7,14	0	0	0
Sn18/N21	6.10_01/2	0	-11,19	-2,78	0	0	0
Sn18/N21	6.10_a01/3	0	9,85	4,63	0	0	0
Sn19/N4	6.10_01/2	-12,64	12,58	-9,91	0	0	0
Sn19/N4	6.10_b01/1	20,18	-20,06	12,2	0	0	0
Sn19/N4	6.10_a01/3	11,05	-10,98	5,72	0	0	0
Sn20/N12	6.10_01/2	-12,64	-12,58	-10,13	0	0	0
Sn20/N12	6.10_b01/1	20,17	20,07	11,92	0	0	0
Sn20/N12	6.10_a01/3	11,04	10,99	5,4	0	0	0
Sn21/N16	6.10_b01/1	-20,12	20,18	12,1	0	0	0
Sn21/N16	6.10_01/2	12,62	-12,63	-9,98	0	0	0
Sn21/N16	6.10_a01/3	-11,01	11,06	5,6	0	0	0
Sn22/N10	6.10_b01/1	-20,14	-20,18	11,94	0	0	0
Sn22/N10	6.10_01/2	12,62	12,63	-10,12	0	0	0
Sn22/N10	6.10_a01/3	-11,02	-11,05	5,42	0	0	0
Sn23/N64	6.10_b01/1	0	0	4,45	0	0	0
Sn23/N64	6.10_01/2	0	0	-0,27	0	0	0
Sn23/N64	6.10_a01/3	0	0	3,49	0	0	0
Sn23/N64	6.10_a01/5	0	0	4,23	0	0	0

Sn24/N62	6.10_01/2	0	0	-0,22	0	0	0
Sn24/N62	6.10_b01/1	0	0	4,53	0	0	0
Sn24/N62	6.10_a01/3	0	0	3,58	0	0	0
Sn24/N62	6.10_a01/5	0	0	4,32	0	0	0

$R_z$  [kN]-reakce pod obvodovými sloupky



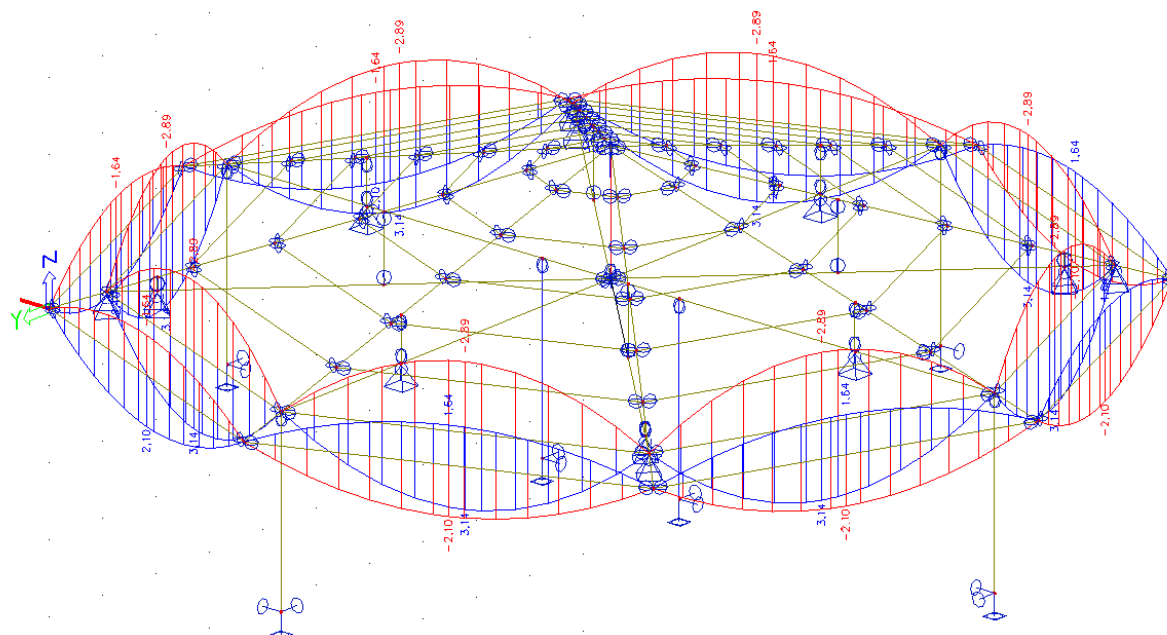
## 6.2.8. Analýza vnitřních sil, průhyby.

Vnitřní síly na prutu

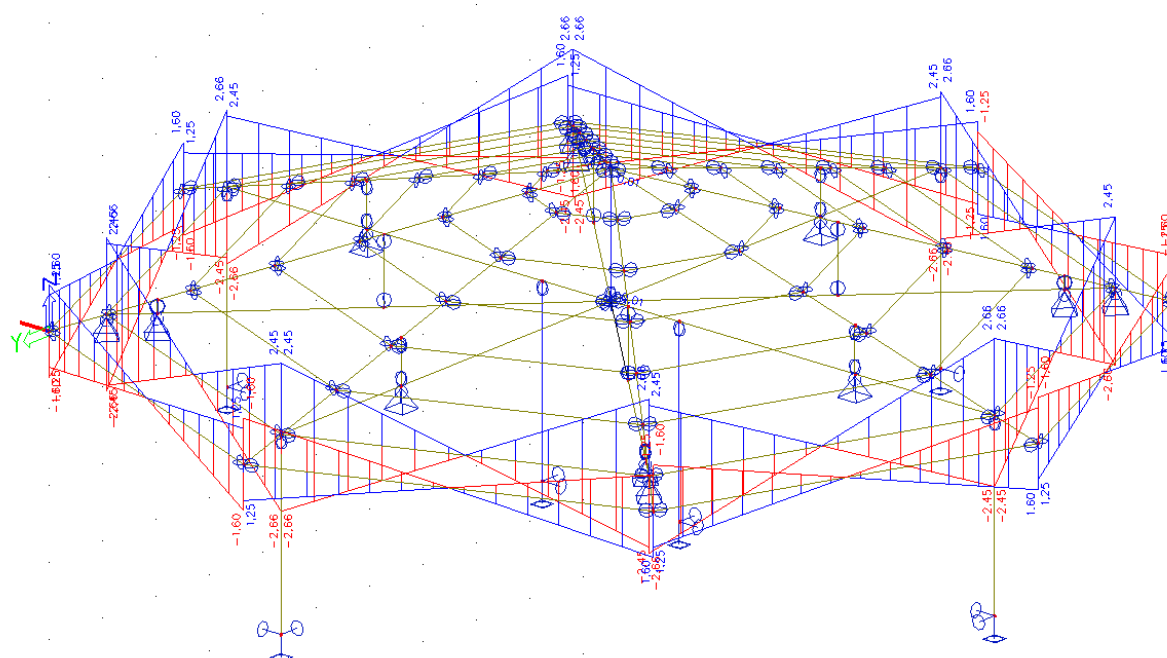
Lineární výpočet, Extrém : Globální, Systém : Hlavní

Obvodové sloupky a průvlaky

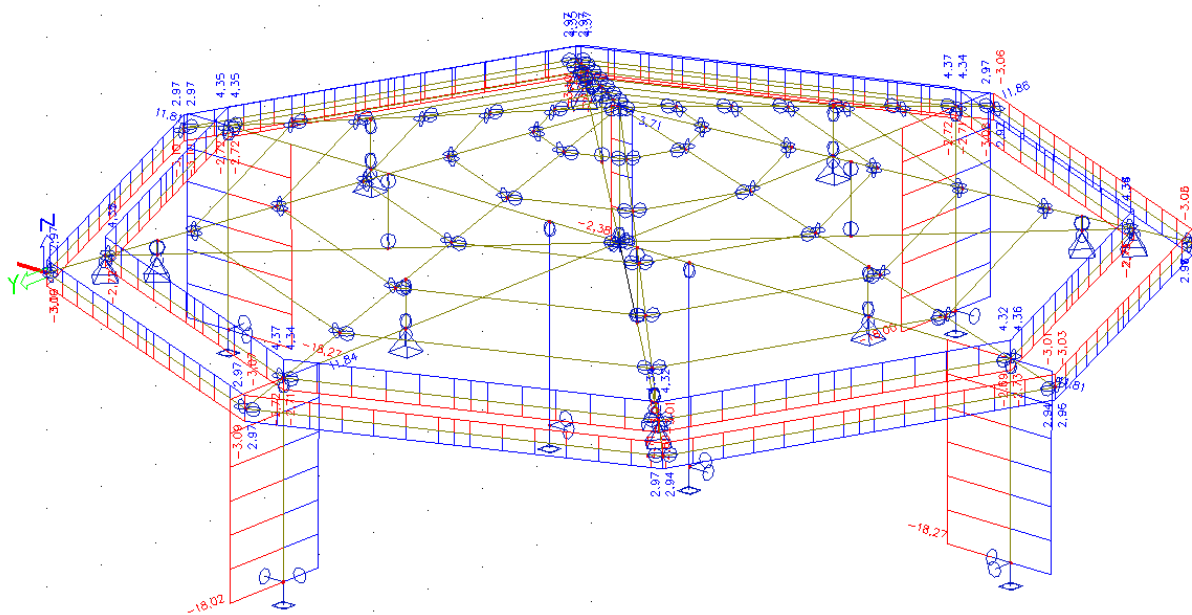
$M_y$  [kNm]



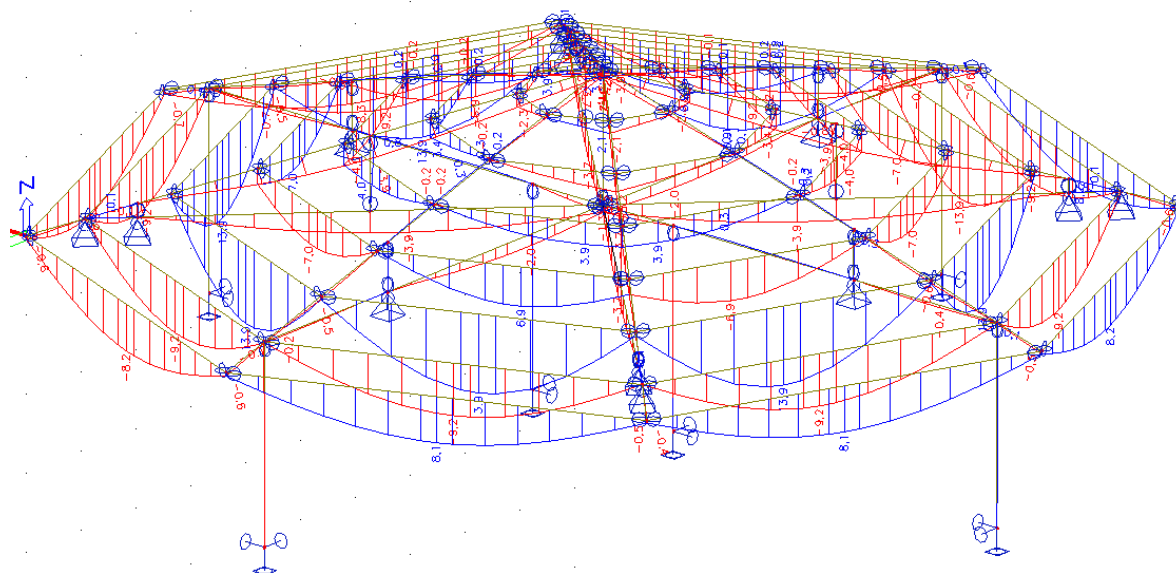
$V_z$  [kN]



$N_x$  [kN]



def [mm]

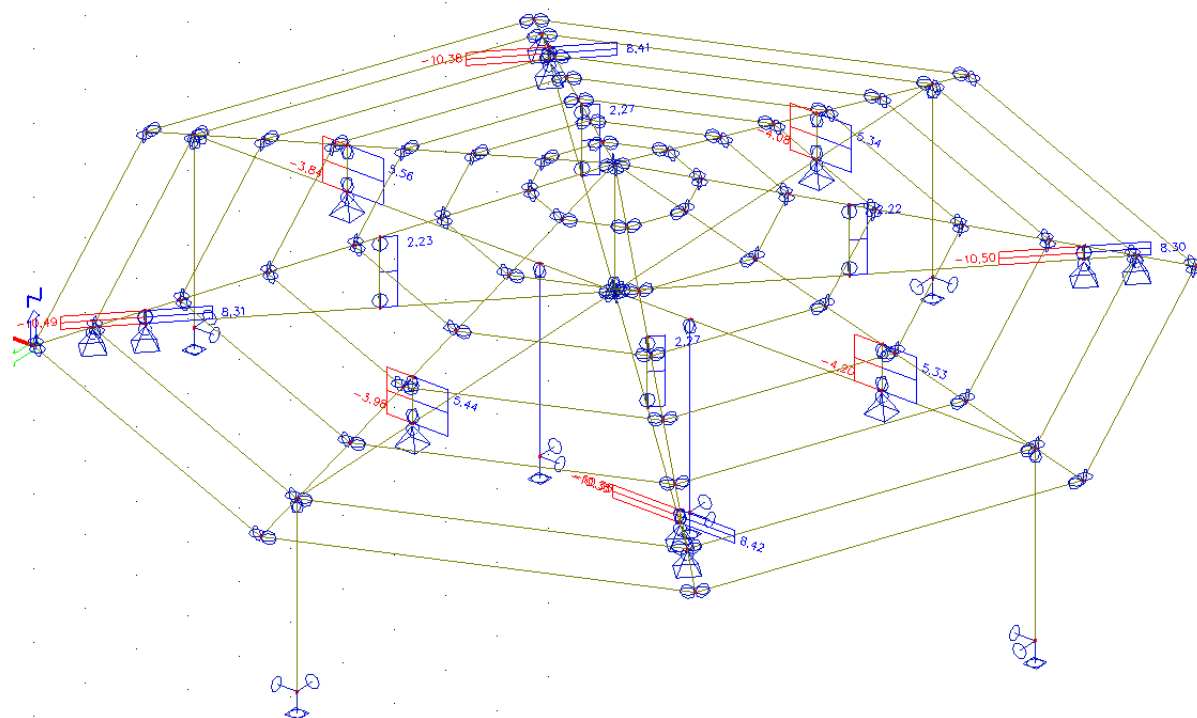


Výsledný průhyb-svislý 1/640 rozpětí – VYHOVÍ



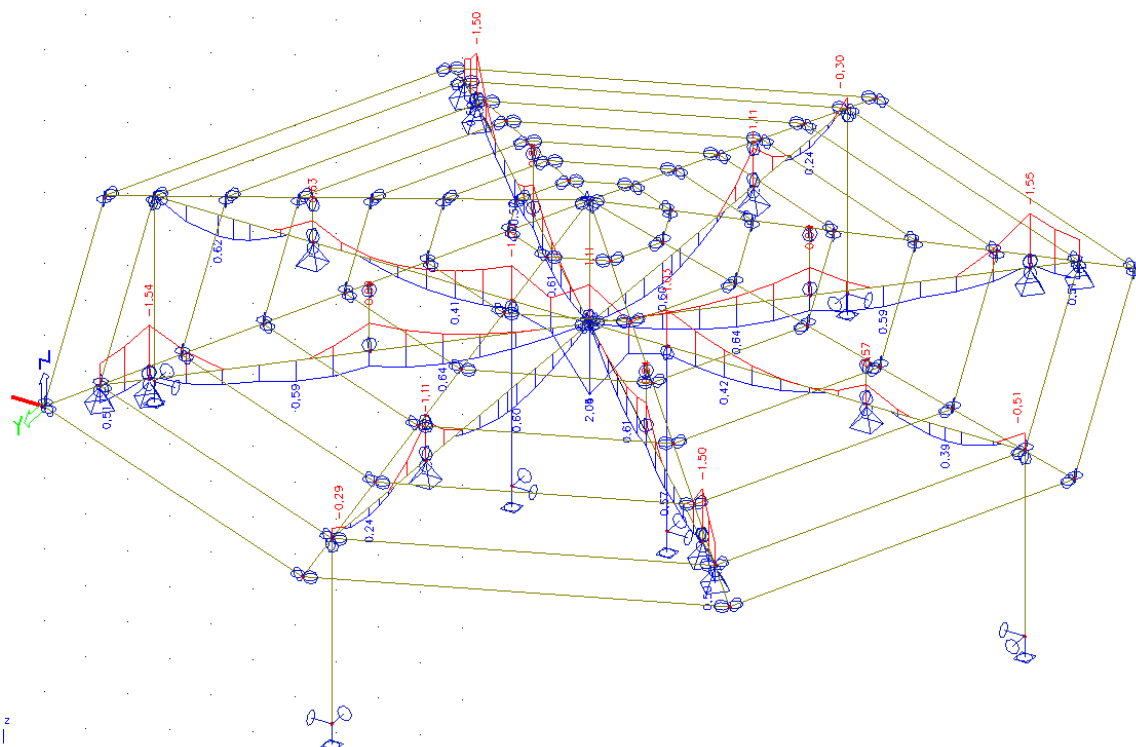
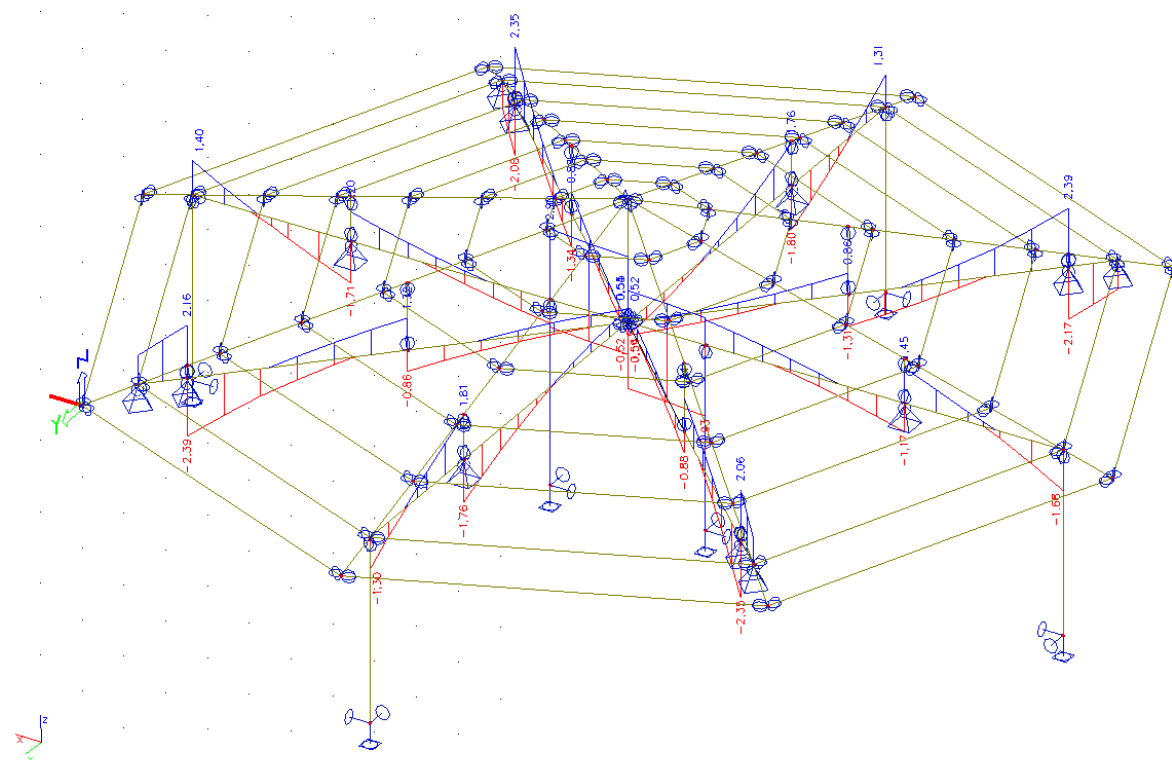
## Vzpěry

$N_x$  [kN]

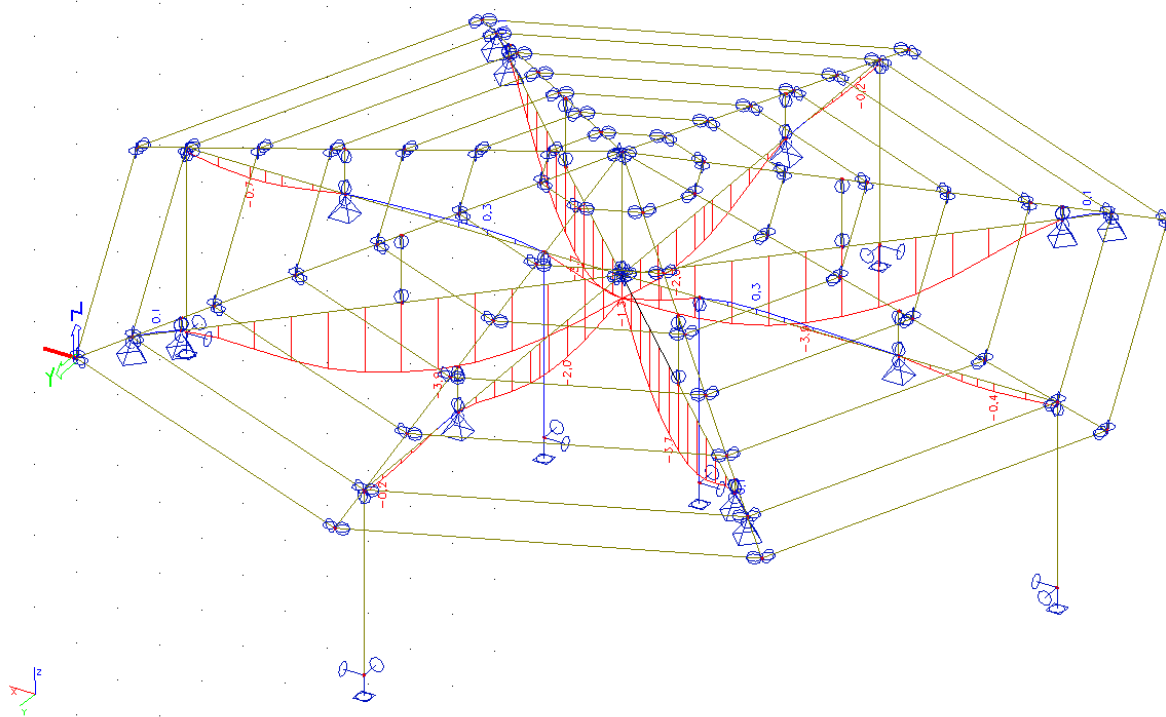


Vnitřní průvlaky:

*My [kNm]*

 $V_z \text{ [kN]}$ 

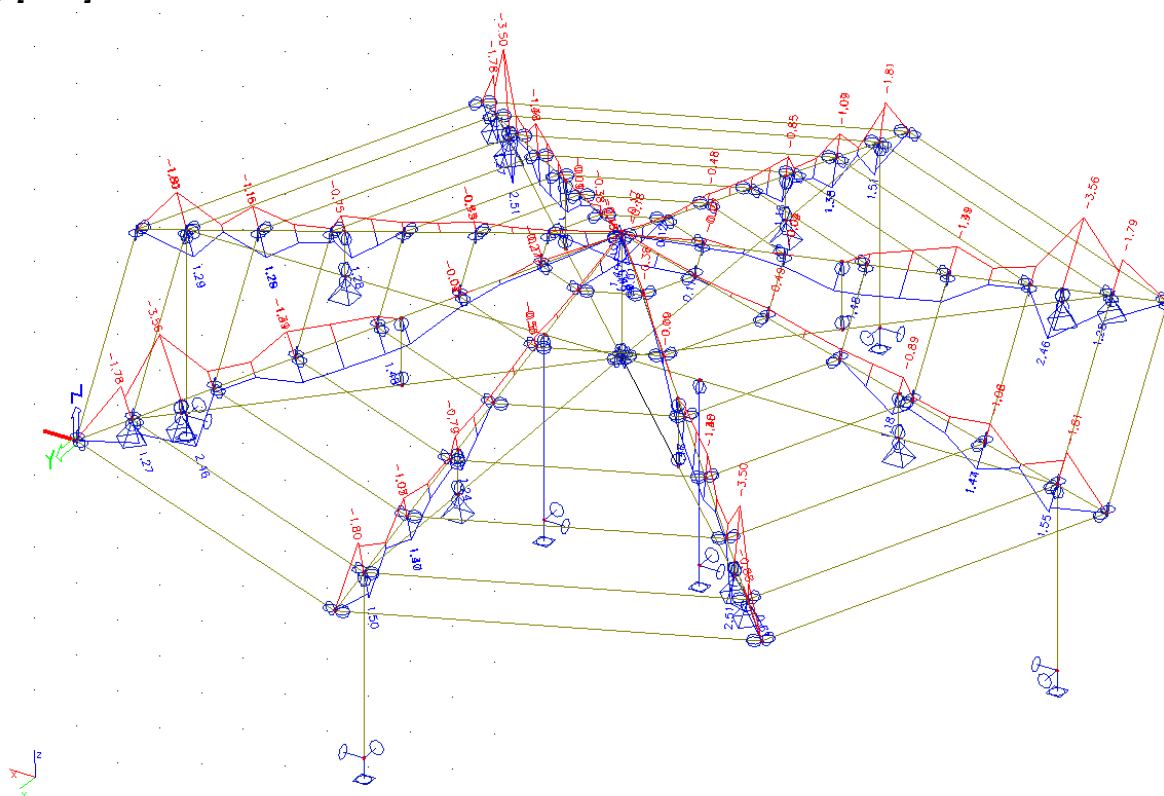
def [mm]



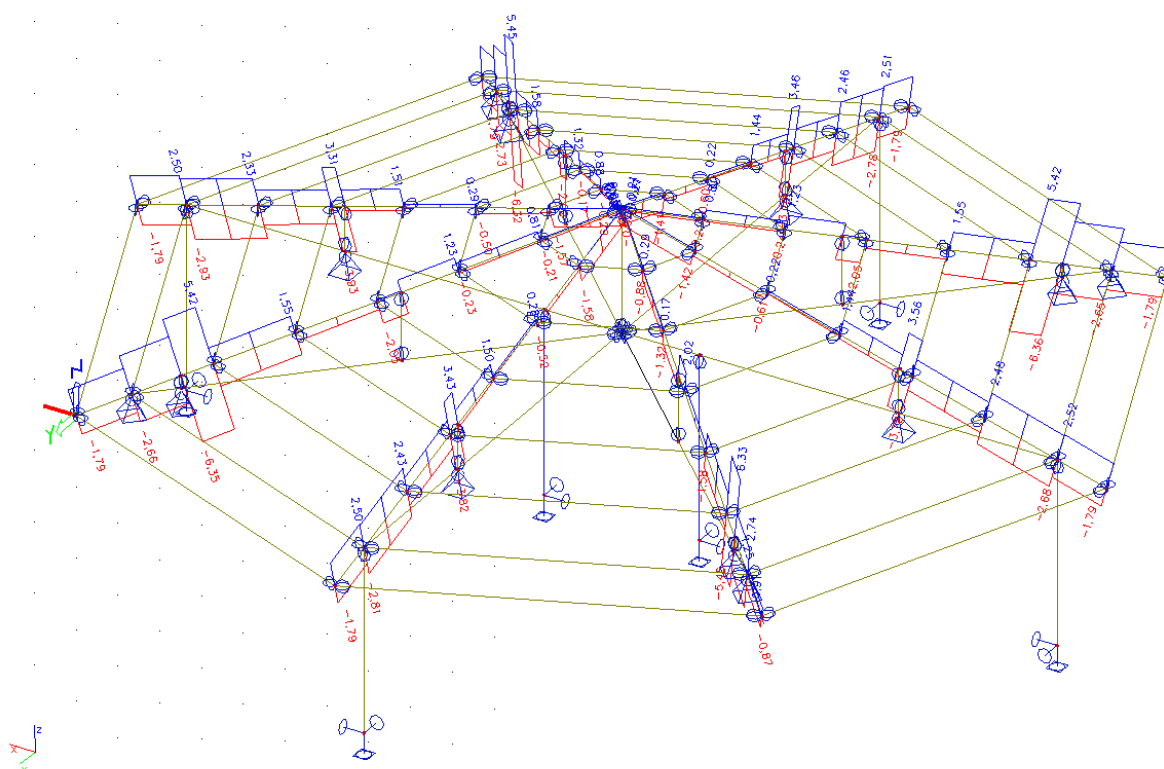
Výsledný průhyb-svislý 1/1580 rozpětí – VYHOVÍ

Krokve:

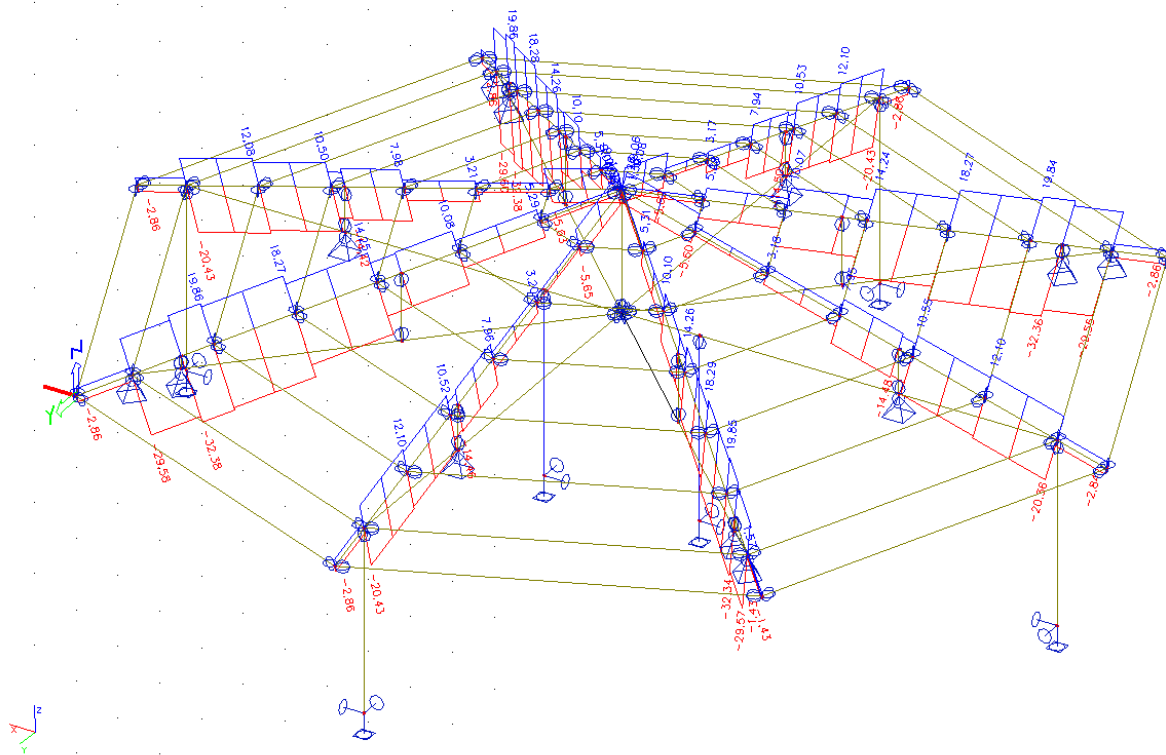
$M_y$  [kNm]



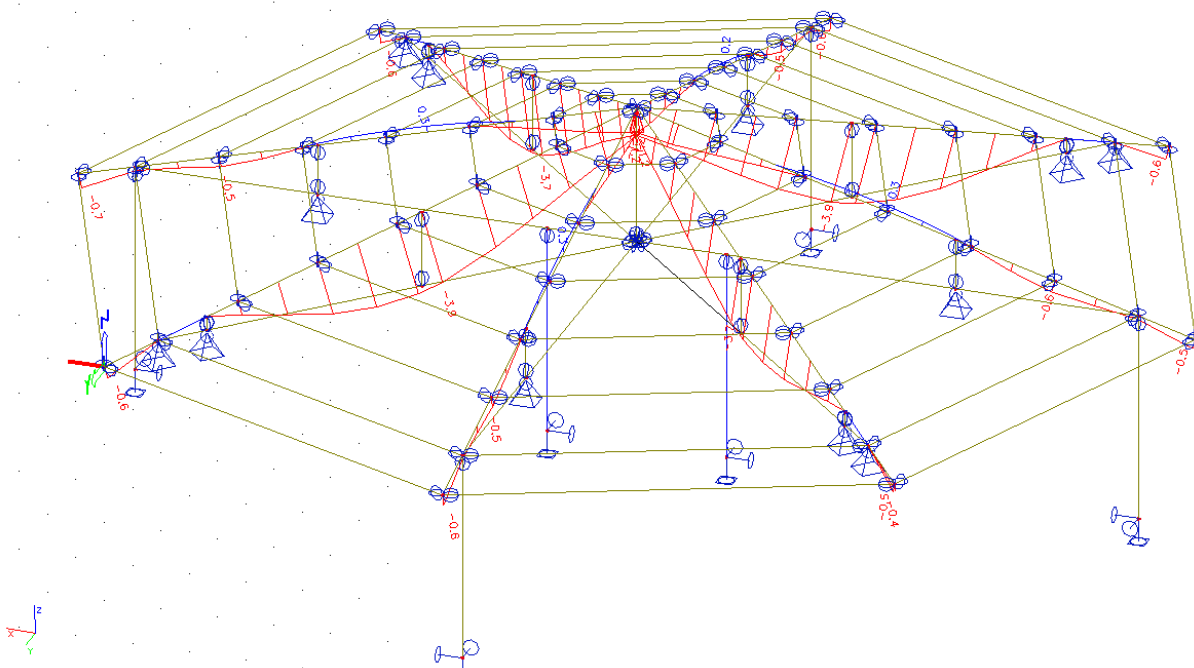
$V_z$  [kN]



$N_x$  [kN]



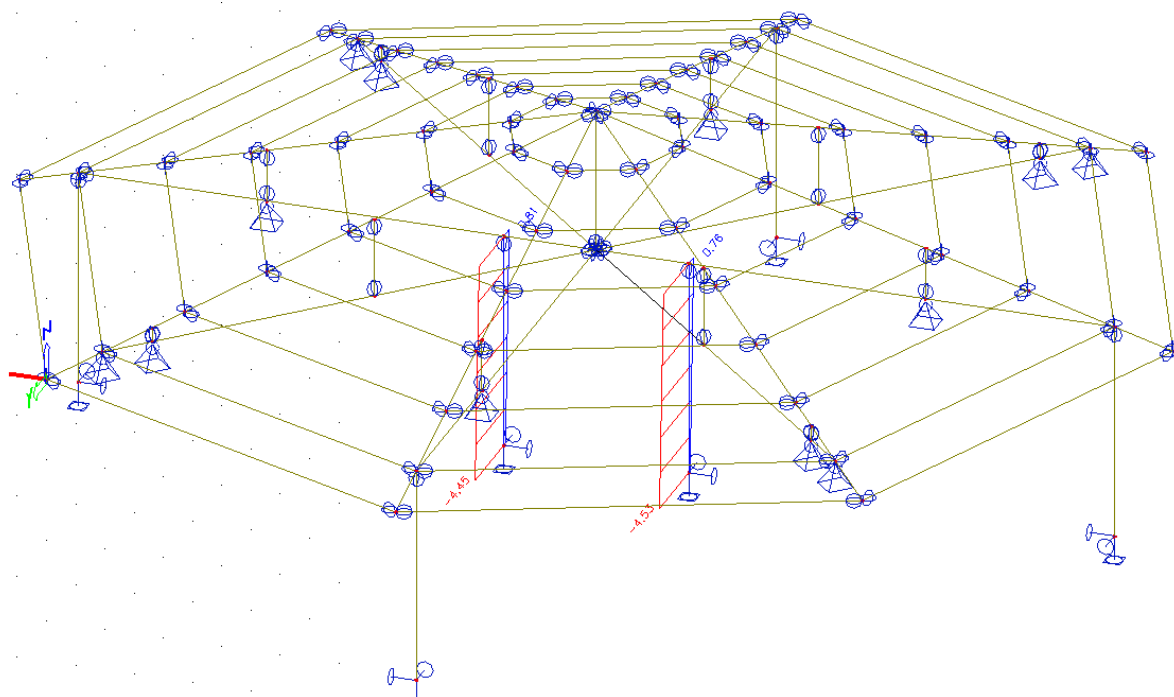
def [mm]



Výsledný průhyb-svislý 1/1475 rozpětí – VYHOVÍ

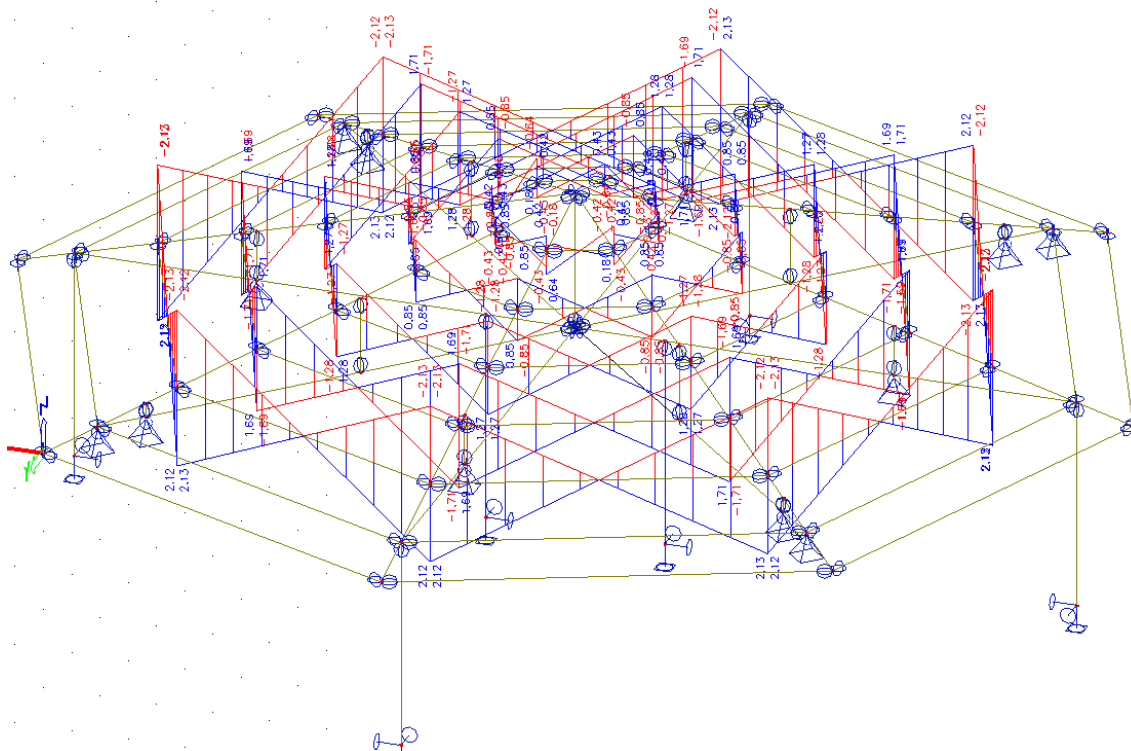
Vnitřní sloupky:

$N_x$  [kN]

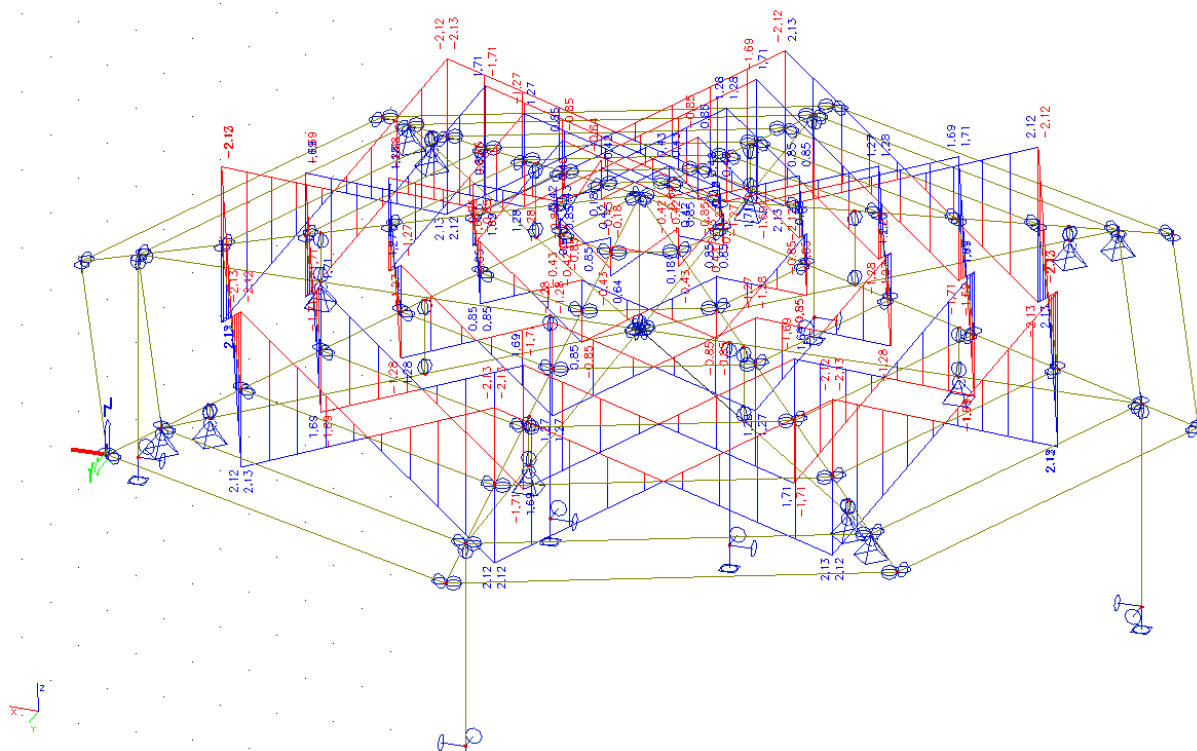


Latě:

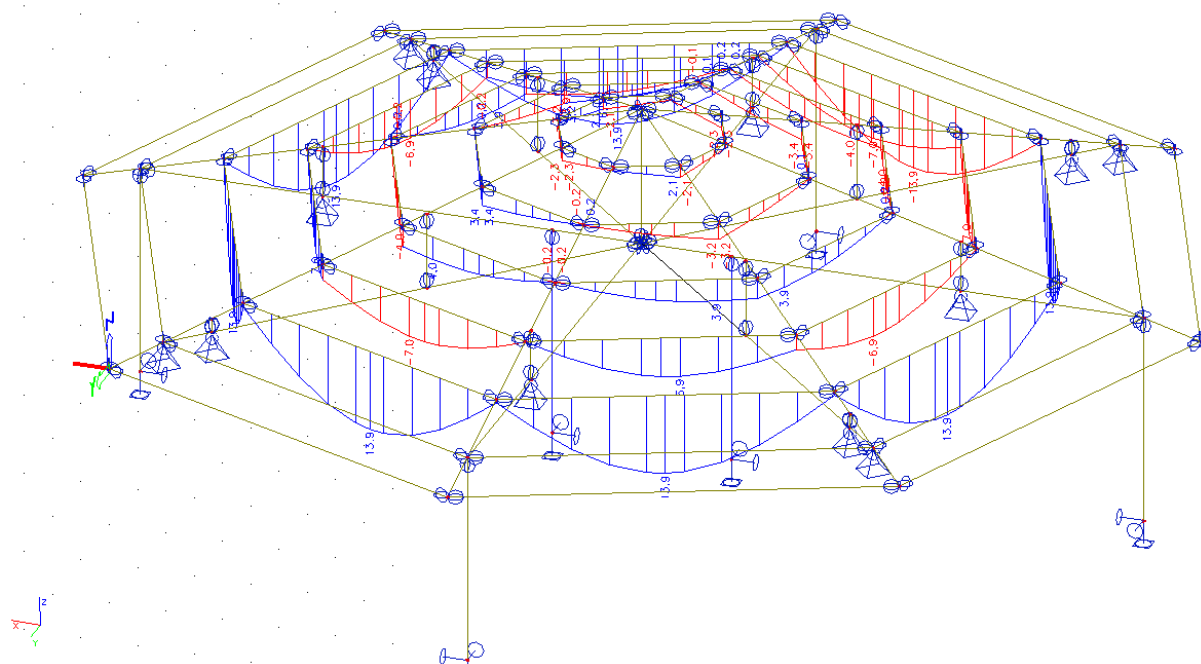
$M_y$  [kNm]



$V_z$  [kN]



def [mm]



Výsledný průhyb-svislý 1/285 rozpětí – VYHOVÍ



### 6.2.9. Posouzení

Materiálové charakteristiky: dřevěné konstrukce, dle EN 338-pevnostní třída C22

-rostlé dřevo, zabudované v třídě provozu 2 (půdní prostory rodinného domu)

$K_{mod}=0,8$  - pro kombinaci stálého, střednědobého (užitné) a krátkodobého zatížení (vítr, sníh)

$K_{def}=0,8$  – v třídě provozu 2

$\gamma_M=1,3$

#### -pevnosti:charakteristické

pevnost v ohybu:  $f_{mk}=22 \text{ MPa}$

pevnost v tlaku( $\parallel$  s vlákny):  $f_{cok}=20 \text{ MPa}$

pevnost v tahu ( $\parallel$  s vlákny):  $f_{tok}=13 \text{ MPa}$

pevnost v smyku:  $f_{vk}=2,4 \text{ MPa}$

#### -pevnosti:návrhové

pevnost v ohybu:  $f_{md} = K_{mod} x \frac{f_{mk}}{\gamma_M} = 0,8 x \frac{22}{1,3} = 13,54 \text{ MPa}$

pevnost v tlaku( $\parallel$  s vlákny):  $f_{cod} = K_{mod} x \frac{f_{cok}}{\gamma_M} = 0,8 x \frac{20}{1,3} = 12,31 \text{ MPa}$

pevnost v tahu( $\parallel$  s vlákny):  $f_{tod} = K_{mod} x \frac{f_{tok}}{\gamma_M} = 0,8 x \frac{13}{1,3} = 08,00 \text{ MPa}$

pevnost v smyku:  $f_{vd} = K_{mod} x \frac{f_{vk}}{\gamma_M} = 0,8 x \frac{2,4}{1,3} = 01,47 \text{ MPa}$

#### -modul pružnosti:

$$E_{0,05} = 6700 \text{ MPa}$$

-použitá norma pro návrh a posouzení konstrukce: EN 1995-1-1

Materiálové charakteristiky: ocelové konstrukce

-ocel S235, dle EN 10027

$f_y=235 \text{ MPa}$

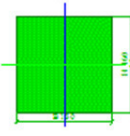
$f_u=360 \text{ MPa}$

$\gamma_{Mo}=1,00$

$\gamma_{M1}=1,00$

-použitá norma pro návrh a posouzení konstrukce: ČSN EN 1993

### 6.2.9.1 Obvodové průvlaky

	Jméno	OBVOD_PRVLK 160/160		
	Detailní	160; 160		
	Typ	RECT		
	Material	C22		
	Výroba	Dřevo		
	Vzpěr y-y, z-z	b	b	
	Výpočet FEM	x		
	Obrázek			
	Material	C22		
	A [m 2]	2,56E-02		
	A y, z [m 2]	2,56E-02		2,56E-02
	I y, z [m 4]	5,46E-05		5,46E-05
	I t [m 4], w [m 6]	1,39E-04		0,00E+00
	alfa [deg]	0		
	Wel y, z [m 3]	6,83E-04		6,83E-04
	Wpl y, z [m 3]	1,02E-03		1,02E-03
	c YLSS, ZLSS [mm]	80		80
	d y, z [mm]	0		0
	AL [m 2/m]	6,40E-01		

MSU: vzpěrný tlak + ohyb(bez ztráty stability)

Nd= -3,08 KN-vzpěrný tlak

Md= -2,89 KNm

-tlak:  $\sigma_{c,o,d} = \frac{Nd}{A} = \frac{3,08 \times 10^3}{25600} = 0,120 \text{ MPa}$

-ohyb:  $\sigma_{m,d} = \frac{Md}{W_y} = \frac{2,89 \times 10^6}{682600} = 4,23 \text{ MPa}$

vzpěrný tlak

$$i_y = \sqrt{\frac{I_y}{A}} = 46,18 \text{ mm} \quad i_z = \sqrt{\frac{I_z}{A}} = 46,18 \text{ mm}$$

Lef,y= 5255 mm -vybočení v rovině konstrukce

Lef,z= 5255 mm -vybočení z roviny konstrukce

-štíhlostní poměry:

$$\lambda_{y,z} = \frac{L_{ef,z}}{i_z} = \frac{5255}{46,18} = 113,79 \Rightarrow \text{rozhoduje}$$

-kritické napětí v tlaku:

$$\sigma_{c,crit} = \pi^2 \frac{E_{0,05}}{\lambda^2} = \pi^2 \frac{6700}{113,79^2} = 5,107 \text{ MPa}$$

$$\lambda_{rel} = \sqrt{\frac{f_{cok}}{\sigma_{c,crit}}} = \sqrt{\frac{20}{5,107}} = 1,978 \text{ MPa}$$

-součinitel pro prvky, splňující meze zakřivení

$\beta_c = 0,2$  -pro rostlé dřevo

-součinitel vzpěrnosti

$$k = 0,5 \left[ 1 + \beta_c (\lambda_{rel} - 0,3) + \lambda_{rel}^2 \right] = 0,5 \left[ 1 + 0,2(1,978 - 0,3) + 1,978^2 \right] = 2,624$$

$$k_c = \frac{1}{k + \sqrt{k^2 - \lambda_{rel}^2}} = \frac{1}{2,624 + \sqrt{2,624^2 - 1,978^2}} = 0,229$$

ohyb (bez ztráty stability)

-průřez je symetrický a tento nemá sklon ke klopení

posouzení:

$$\frac{\sigma_{c,o,d}}{k_c \times f_{cod}} + \frac{\sigma_{m,d}}{k_{crit} \times f_{md}} = \frac{0,120}{0,229 \times 12,31} + \frac{4,23}{1,0 \times 13,54} = 0,042 + 0,312 = 0,354 \leq 1 \Rightarrow \underline{\text{vyhovuje}}$$

MSU:smyk za ohybu

Vd= +/-02,66 KN

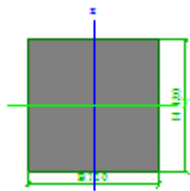
-smyk: 
$$\tau_{vd} = \frac{3}{2} \times \frac{Q_d}{A} = \frac{3}{2} \times \frac{2,66 \times 10^3}{25600} = 0,155 \text{ MPa}$$

posouzení:

$$\tau_{vd} = 0,155 \text{ MPa} \leq k_{cr} \times f_{vd} = 0,67 \times 1,47 = 0,9849 \text{ MPa} \Rightarrow \underline{\text{vyhovuje}}$$

### 6.2.9.2 Obvodové sloupky

0.2.0.2 Osvaldové cípky

	Jméno	SLP 120/120		
	Detailní	120; 120		
	Typ	RECT		
	Material	C22		
	Výroba	Dřevo		
	Vzpěr y-y, z-z	b	b	
	Výpočet FEM	x		
	Obrázek			
	Material	C22		
	A [m 2]	1,44E-02		
	A y, z [m 2]	1,44E-02		1,44E-02
	I y, z [m 4]	1,73E-05		1,73E-05
	I t [m 4], w [m 6]	4,40E-05		0,00E+00
	alfa [deg]	0		
	Wel y, z [m 3]	2,88E-04		2,88E-04
	Wpl y, z [m 3]	4,32E-04		4,32E-04
	c YLSS, ZLSS [mm]	60		60
	d y, z [mm]	0		0
	AL [m 2/m]	4,80E-01		

MSU: vzpěrný tlak

Nd= -18,87 KN-vzpěrný tlak

-tlak: 
$$\sigma_{c,o,d} = \frac{Nd}{A} = \frac{18,87 \times 10^3}{14400} = 1,310 \text{ MPa}$$

$$i_y = \sqrt{\frac{I_y}{A}} = 34,66 \text{ mm}$$

$$i_z = \sqrt{\frac{I_z}{A}} = 34,66 \text{ mm}$$

Lef,y= 2600 mm -vybočení v rovině konstrukce

Lef,z= 2600 mm -vybočení z roviny konstrukce

-štíhlostní poměry:

$$\lambda_{z} = \frac{L_{ef,z}}{i_z} = \frac{2600}{34,66} = 75,014 \Rightarrow \text{rozhoduje}$$

-kritické napětí v tlaku:

$$\sigma_{c,crit} = \pi^2 \frac{E_{0,05}}{\lambda^2} = \pi^2 \frac{6700}{75,014^2} = 11,75 \text{ MPa}$$

$$\lambda_{rel} = \sqrt{\frac{f_{cok}}{\sigma_{c,crit}}} = \sqrt{\frac{20}{11,75}} = 1,304 \text{ MPa}$$

-součinitel pro prvky, splňující meze zakřivení

$\beta_c = 0,2$  -pro rostlé dřevo

-součinitel vzpěrnosti

$$k = 0,5 \left[ 1 + \beta_c (\lambda_{rel} - 0,3) + \lambda_{rel}^2 \right] = 0,5 \left[ 1 + 0,2(1,304 - 0,3) + 1,304^2 \right] = 1,523$$

$$k_c = \frac{1}{k + \sqrt{k^2 - \lambda_{rel}^2}} = \frac{1}{1,523 + \sqrt{1,523^2 - 1,304^2}} = 0,450$$

posouzení:

$$\frac{\sigma_{c,o,d}}{k_c \cdot x_{fcd}} = \frac{1,310}{0,450 \times 12,31} = 0,236 \leq 1 \Rightarrow \underline{\text{vyhovuje}}$$

MSU: prostý tah

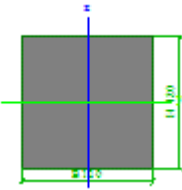
Nd= +11,84 KN-tah

$$\text{-tah: } \sigma_{t,o,d} = \frac{Nd}{A} = \frac{11,84 \times 10^3}{14400} = 0,822 \text{ MPa}$$

posouzení:

$$\frac{\sigma_{t,o,d}}{f_{t,od}} = \frac{0,822}{8,00} = 0,102 \leq 1 \Rightarrow \underline{\text{vyhovuje}}$$

## 6.2.9.2 Vzpěry

	Jméno	VZPR 120/120	
	Detailní	120; 120	
	Typ	RECT	
	Material	C22	
	Výroba	Dřevo	
	Vzpěr y-y, z-z	b	
	Výpočet FEM	x	
Obrázek			
	Material	C22	
	A [m 2]	1,44E-02	
		1,44E-02	1,44E-02
	A y, z [m 2]		
	I y, z [m 4]	1,73E-05	1,73E-05
	I t [m 4], w [m 6]	4,40E-05	0,00E+00
	alfa [deg]	0	
	Wel y, z [m 3]	2,88E-04	2,88E-04
	Wpl y, z [m 3]	4,32E-04	4,32E-04
	c YLSS, ZLSS [mm]	60	60
	d y, z [mm]	0	0
AL [m 2/m]	4,80E-01		

MSU: vzpěrný tlak

Nd= -10,49 KN-vzpěrný tlak

$$\text{-tlak: } \sigma_{c,o,d} = \frac{Nd}{A} = \frac{10,49 \times 10^3}{14400} = 0,728 \text{ MPa}$$

$$i = \sqrt{\frac{I}{A}} = 34,66 \text{ mm}$$

Lef,y= 950 mm -vybočení v rovině konstrukce

Lef,z= 950 mm -vybočení z roviny konstrukce

-štíhlostní poměry:

$$\lambda_{z} = \frac{L_{ef,z}}{i_z} = \frac{950}{34,66} = 27,40 \Rightarrow \text{rozhoduje}$$

-kritické napětí v tlaku:

$$\sigma_{c,crit} = \pi^2 \frac{E_{0,05}}{\lambda^2} = \pi^2 \frac{6700}{27,40^2} = 88,079 \text{ MPa}$$

$$\lambda_{rel} = \sqrt{\frac{f_{cok}}{\sigma_{c,crit}}} = \sqrt{\frac{20}{88,079}} = 0,476 \text{ MPa}$$

-součinitel pro prvky, splňující meze zakřivení

$\beta_c = 0,2$  -pro rostlé dřevo

-součinitel vzpěrnosti

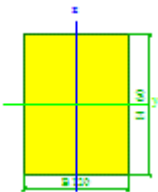
$$k = 0,5 \left[ 1 + \beta_c (\lambda_{rel} - 0,3) + \lambda_{rel}^2 \right] = 0,5 \left[ 1 + 0,2(0,476 - 0,3) + 1,355^2 \right] = 1,261$$

$$k_c = \frac{1}{k + \sqrt{k^2 - \lambda_{rel}^2}} = \frac{1}{1,261 + \sqrt{1,261^2 - 0,476^2}} = 0,411$$

posouzení:

$$\frac{\sigma_{c,o,d}}{k_c x f_{cod}} = \frac{0,728}{0,411 \times 12,31} = 0,143 \leq 1 \Rightarrow \underline{\text{vyhovuje}}$$

### 6.2.9.3 Vnitřní průvlaky

	Jméno	VNITR_PRV 120/160		
	Detailní	120; 160		
	Typ	RECT		
	Material	C22		
	Výroba	Dřevo		
	Vzpěr y-y, z-z	b		
	Výpočet FEM	x		
	Obrázek			
	Material	C22		
	A [m 2]	1,92E-02		
	A y, z [m 2]	1,92E-02	1,92E-02	
	I y, z [m 4]	4,10E-05	2,30E-05	
	I t [m 4], w [m 6]	7,23E-05	0,00E+00	
	alfa [deg]	0		
	Wel y, z [m 3]	5,12E-04	3,84E-04	
	Wpl y, z [m 3]	7,68E-04	5,76E-04	
	c YLSS, ZLSS [mm]	60	80	
	d y, z [mm]	0	0	
	AL [m 2/m]	5,60E-01		

MSU: ohyb(se ztrátou stability)

Md= -1,95 KNm

$$\text{-ohyb: } \sigma_{m,d} = \frac{Md}{W_y} = \frac{1,95 \times 10^6}{512000} = 3,808 \text{ MPa}$$

-kritické napětí za ohybu:

Lef=0,9x6165=5550 mm

$$\sigma_{m,crit} = \frac{0,78xb^2xE_{0,05}}{hxLef} = \frac{0,78x120^2x6700}{160x5550} = 84,74 \text{ MPa}$$

-poměrná štíhlost:

$$\lambda_{rel,m} = \sqrt{\frac{fmk}{\sigma_{m,crit}}} = \sqrt{\frac{22}{84,74}} = 0,509$$

-součinitel příčné a torzní stability: pro  $\lambda_{rel,m} \leq 0,75 \rightarrow k_{crit} = 1,0$

posouzení:

$$\frac{\sigma_{m,d}}{k_{crit}f_{md}} = \frac{3,808}{1,0 \times 13,54} = 0,281 \leq 1 \Rightarrow \underline{\text{vyhovuje}}$$

MSU:smyk za ohybu

Vd= +/-02,39 KN

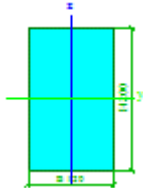
$$\text{-smyk: } \tau_{vd} = \frac{3}{2} \times \frac{Q_d}{A} = \frac{3}{2} \times \frac{2,39 \times 10^3}{19200} = 0,186 \text{ MPa}$$

posouzení:

$$\tau_{vd} = 0,186 \text{ MPa} \leq k_{cr} \times f_{vd} = 0,67 \times 1,47 = 0,9849 \text{ MPa} \Rightarrow \underline{\text{vyhovuje}}$$



## 6.2.9.4 Krokve

	Jméno	KROKV 120/200		
	Detailní	120; 200		
	Typ	RECT		
	Material	C22		
	Výroba	Dřevo		
	Vzpěr y-y, z-z	b	b	
	Výpočet FEM	x		
	Obrázek			
	Material	C22		
	A [m 2]	2,40E-02		
	A y, z [m 2]	2,40E-02		2,40E-02
	I y, z [m 4]	8,00E-05		2,88E-05
	I t [m 4], w [m 6]	9,76E-05		0,00E+00
	alfa [deg]	0		
	Wel y, z [m 3]	8,00E-04		4,80E-04
	Wpl y, z [m 3]	1,20E-03		7,20E-04
	c YLSS, ZLSS [mm]	60		100
	d y, z [mm]	0		0
	AL [m 2/m]	6,40E-01		

MSU: vzpěrný tlak + ohyb(se ztrátou stability)

Nd= -32,38 KN-vzpěrný tlak

Md= -3,56 KNm

-tlak:  $\sigma_{c,o,d} = \frac{Nd}{A} = \frac{32,38 \times 10^3}{24000} = 1,349 \text{ MPa}$

-ohyb:  $\sigma_{m,d} = \frac{Md}{W_y} = \frac{3,56 \times 10^6}{800000} = 4,45 \text{ MPa}$

vzpěrný tlak

$$i_y = \sqrt{\frac{I_y}{A}} = 57,73 \text{ mm} \quad i_z = \sqrt{\frac{I_z}{A}} = 34,64 \text{ mm}$$

Lef,y= 2870 mm -vybočení v rovině konstrukce

Lef,z= 1050 mm -vybočení z roviny konstrukce, krokve držena latěmi po cca. 1050mm

-štíhlostní poměry:

$$\lambda_{y} = \frac{L_{ef,y}}{i_y} = \frac{2870}{57,73} = 49,71 \quad \lambda_{z} = \frac{L_{ef,z}}{i_z} = \frac{1050}{34,64} = 30,31$$

-kritické napětí v tlaku:

$$\sigma_{c,crit} = \pi^2 \frac{E_{0,05}}{\lambda^2} = \pi^2 \frac{6700}{49,71^2} = 26,76 \text{ MPa}$$

$$\lambda_{rel} = \sqrt{\frac{f_{cok}}{\sigma_{c,crit}}} = \sqrt{\frac{20}{26,76}} = 0,864 \text{ MPa}$$

-součinitel pro prvky, splňující meze zakřivení

$\beta_c = 0,2$  -pro rostlé dřevo

-součinitel vzpěrnosti

$$k = 0,5 \left[ 1 + \beta_c (\lambda_{rel} - 0,3) + \lambda_{rel}^2 \right] = 0,5 \left[ 1 + 0,2(0,864 - 0,3) + 0,864^2 \right] = 0,929$$

$$k_c = \frac{1}{k + \sqrt{k^2 - \lambda_{rel}^2}} = \frac{1}{0,929 + \sqrt{0,929^2 - 0,864^2}} = 0,787$$

ohyb (se ztrátou stability)

-kritické napětí za ohybu:

Lef=0,9x2870=2580 mm

$$\sigma_{m,crit} = \frac{0,78xb^2xE_{0,05}}{hxLef} = \frac{0,78x120^2x6700}{200x5760} = 65,32 \text{ MPa}$$

-poměrná štíhlost:

$$\lambda_{rel,m} = \sqrt{\frac{fmk}{\sigma_{m,crit}}} = \sqrt{\frac{22}{65,32}} = 0,580$$

-součinitel příčné a torzní stability: pro  $\lambda_{rel,m} \leq 0,75 \rightarrow k_{crit} = 1,0$

posouzení:

$$\frac{\sigma_{c,o,d}}{k_c x f_{cod}} + \frac{\sigma_{m,d}}{k_{crit} x f_{md}} = \frac{1,349}{0,787 \times 12,31} + \frac{4,45}{1,0 \times 13,54} = 0,139 + 0,328 = 0,467 \leq 1 \Rightarrow \underline{\text{vyhovuje}}$$

MSU:smyk za ohybu

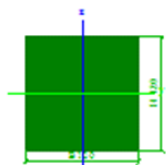
Vd= +/-6,35 KN

$$\text{-smyk: } \tau_{vd} = \frac{3}{2} x \frac{Q_d}{A} = \frac{3}{2} x \frac{6,35 \times 10^3}{24000} = 0,396 \text{ MPa}$$

posouzení:

$$\tau_{vd} = 0,396 \text{ MPa} \leq k_{cr} x f_{vd} = 0,67 \times 1,47 = 0,9849 \text{ MPa} \Rightarrow \underline{\text{vyhovuje}}$$

### 6.2.9.5 Latě

	Jméno	LATE_120x120		
	Detailní	120; 120		
	Typ	RECT		
	Material	C22		
	Výroba	Dřevo		
	Vzpěr y-y, z-z	b		b
	Výpočet FEM	x		
	Obrázek			
	Material	C22		
	A [m 2]	1,44E-02		
	A y, z [m 2]	1,44E-02	1,44E-02	
	I y, z [m 4]	1,73E-05	1,73E-05	
	I t [m 4], w [m 6]	4,40E-05	0,00E+00	
	alfa [deg]	0		
	Wel y, z [m 3]	2,88E-04	2,88E-04	
	Wpl y, z [m 3]	4,32E-04	4,32E-04	
	c YLSS, ZLSS [mm]	60	60	
	d y, z [mm]	0	0	
	AL [m 2/m]	4,80E-01		

MSU: ohyb(bez ztráty stability)

-navržený průřez je  $b=h$  a tento nemá sklon ke ztrátě stability za ohybu

$M_d = -2,10 \text{ KNm}$

$$\text{-ohyb: } \sigma_{m,d} = \frac{M_d}{W_y} = \frac{2,10 \times 10^6}{288000} = 7,29 \text{ MPa}$$

posouzení:

$$\frac{\sigma_{m,d}}{k_{crit} f_{md}} = \frac{7,29}{1,0 \times 13,54} = 0,538 \leq 1 \Rightarrow \underline{\text{vyhovuje}}$$

MSU:smyk za ohybu

$V_d = \pm 2,12 \text{ KN}$

$$\text{-smyk: } \tau_{vd} = \frac{3}{2} \times \frac{Q_d}{A} = \frac{3}{2} \times \frac{2,12 \times 10^3}{14400} = 0,220 \text{ MPa}$$

posouzení:

$$\tau_{vd} = 0,220 \text{ MPa} \leq k_{cr} \times f_{vd} = 0,67 \times 1,47 = 0,9849 \text{ MPa} \Rightarrow \underline{\text{vyhovuje}}$$

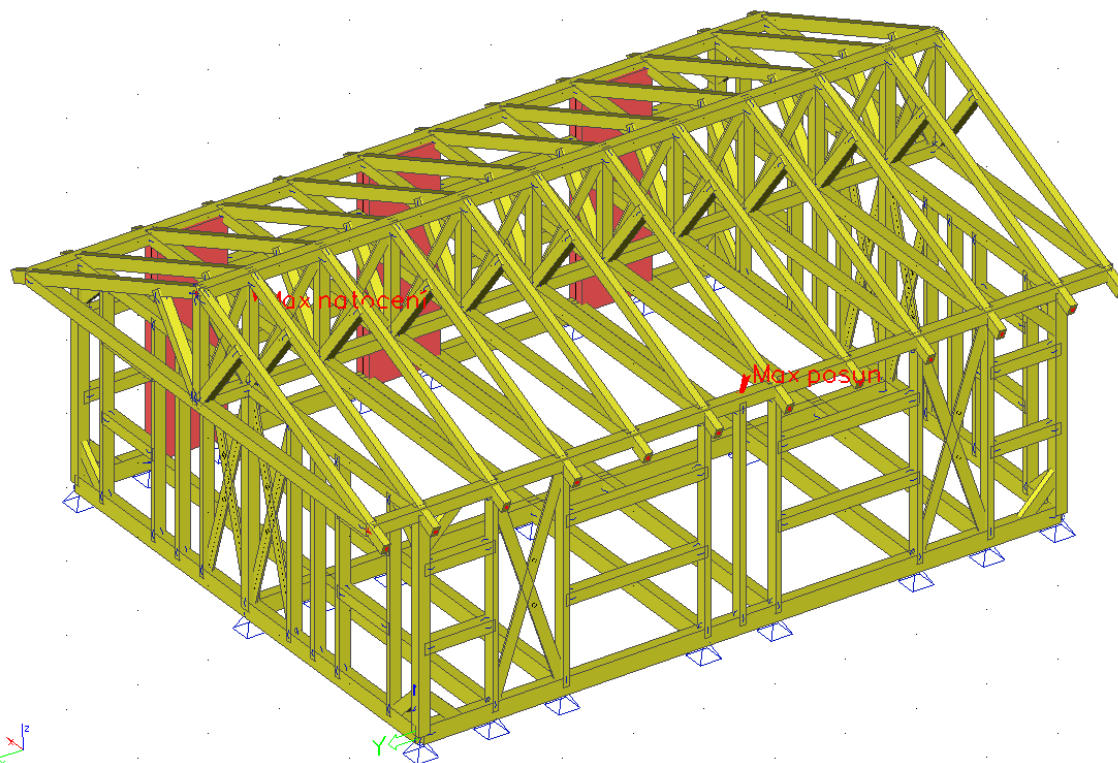
## 6.2.10. Předběžný výkaz-výměr

### Výkaz materiálu

Jméno	Hmotnost [kg]	Povrch [m 2]	Objem [m 3]				
Celkový součet :	2153,67	174	6,02E+00				
Průřez	Materiál	Jednotková hmotnost [kg/m]	Délka [m]	Hmotnost [kg]	Povrch [m 2]	Objemová hmotnost [kg/m 3]	Objem [m 3]
SLP 120/120 - RECT (120; 120)	C22	4,9	12,125	59,36	5,82	340	1,75E-01
VNITR_PRV 120/160 - RECT (120; 160)	C22	6,53	49,324	321,99	27,621	340	9,47E-01
OBVOD_PRVLK 160/160 - RECT (160; 160)	C22	8,7	79,785	694,45	51,062	340	2,04E+00
KROKV 120/200 - RECT (120; 200)	C22	8,16	57,755	471,28	36,963	340	1,39E+00
VZPR 120/120 - RECT (120; 120)	C22	4,9	7,007	34,31	3,363	340	1,01E-01
2xU100 - 2Uc (U100; 0; 100)	S 235	21,19	5,2	110,21	3,868	7850	1,40E-02
LATE_120x120 - RECT (120; 120)	C22	4,9	94,377	462,07	45,301	340	1,36E+00

### 6.3. Posouzení nosné konstrukce\_130\_venkovní učebna

#### 6.3.1. Model konstrukce.



Nosná konstrukce venkovní učebny je řešena jako těžký dřev. skelet obdélníkového půdorysu se sedlovou střechou.

Veškeré prvky jsou z plných dřev. průřezů (hranolů) z běžného řeziva třídy C22.

Konstrukce je řešena jako staticky neurčitá prutová 3D sestava, koncové podpory pod základovými trámy jsou kloubové-neposuvné, sloupy řešeny jako stojky.

#### 6.3.2. Protokol o výpočtu

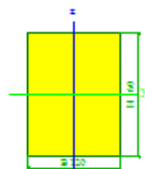
Počet 2D prvků	9
Počet 1D prvků	423
Počet uzlů sítě	264
Počet rovnic	1584
Zatěžovací stavy	ZS 1 4.0_go
	ZS 2 4.1_gk
	ZS 3 2.0_sk
	ZS 4 3.0_qk
	ZS 5 1.1_wk-
	ZS 6 1.2_wk-
	ZS 7 1.1_wk+
	ZS 8 4.2_gk
Ohybová teorie	Mindlin
Spuštění výpočtu	27.3.2018 12:24
Konec výpočtu	27.3.2018 12:24

### 6.3.3. Materiály

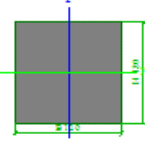
Dřev. hranoly z řeziva třídy C22 (bývalé ozn. S I nebo S10).

### 6.3.4. Průřezy

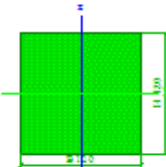
Vazník krokův:

	Jméno	VAZ_KROKV_120/160		
	Detailní	120; 160		
	Typ	RECT		
	Material	C22		
	Výroba	Dřevo		
	Vzpěr y-y, z-z	b	b	
	Výpočet FEM	x		
	Obrázek			
	Material	C22		
	A [m 2]	1,92E-02		
	A y, z [m 2]	1,92E-02	1,92E-02	
	I y, z [m 4]	4,10E-05	2,30E-05	
	I t [m 4], w [m 6]	7,23E-05	0,00E+00	
	alfa [deg]	0		
	Wel y, z [m 3]	5,12E-04	3,84E-04	
	Wpl y, z [m 3]	7,68E-04	5,76E-04	
	c YLSS, ZLSS [mm]	60	80	
	d y, z [mm]	0	0	
	AL [m 2/m]	5,60E-01		

Vazník průvlak:

	Jméno	VAZ_PRVLK_120/120		
	Detailní	120; 120		
	Typ	RECT		
	Material	C22		
	Výroba	Dřevo		
	Vzpěr y-y, z-z	b	b	
	Výpočet FEM	x		
	Obrázek			
	Material	C22		
	A [m 2]	1,44E-02		
	A y, z [m 2]	1,44E-02		1,44E-02
	I y, z [m 4]	1,73E-05		1,73E-05
	I t [m 4], w [m 6]	4,40E-05		0,00E+00
	alfa [deg]	0		
	Wel y, z [m 3]	2,88E-04		2,88E-04
	Wpl y, z [m 3]	4,32E-04		4,32E-04
	c YLSS, ZLSS [mm]	60		60
	d y, z [mm]	0		0
	AL [m 2/m]	4,80E-01		

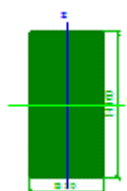
Vazník vzpěra:

	Jméno	VAZ_VZP_120/120	
	Detailní	120; 120	
	Typ	RECT	
	Material	C22	
	Výroba	Dřevo	
	Vzpěr y-y, z-z	b	
	Výpočet FEM	x	
	Obrázek		
	Material	C22	
	A [m 2]	1,44E-02	
	A y, z [m 2]	1,44E-02	1,44E-02
	I y, z [m 4]	1,73E-05	1,73E-05
	I t [m 4], w [m 6]	4,40E-05	0,00E+00
	alfa [deg]	0	
	Wel y, z [m 3]	2,88E-04	2,88E-04
	Wpl y, z [m 3]	4,32E-04	4,32E-04
	c YLSS, ZLSS [mm]	60	60
	d y, z [mm]	0	0
	AL [m 2/m]	4,80E-01	

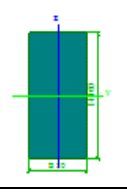




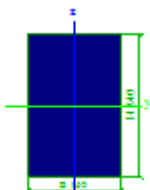
Sloupek:

	Jméno	SLP_80/160		
	Detailní	80; 160		
	Typ	RECT		
	Material	C22		
	Výroba	Dřevo		
	Vzpěr y-y, z-z	b		b
	Výpočet FEM	x		
	Obrázek			
	Material	C22		
	A [m 2]	1,28E-02		
	A y, z [m 2]	1,28E-02	1,28E-02	
	I y, z [m 4]	2,73E-05	6,83E-06	
	I t [m 4], w [m 6]	2,38E-05	0,00E+00	
	alfa [deg]	0		
	Wel y, z [m 3]	3,41E-04	1,71E-04	
	Wpl y, z [m 3]	5,12E-04	2,56E-04	
	c YLSS, ZLSS [mm]	40	80	
	d y, z [mm]	0	0	
	AL [m 2/m]	4,80E-01		

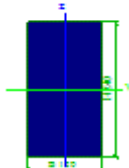
Zavětrování:

	Jméno	ZAVTR_80/160			
	Detailní	80; 160			
	Typ	RECT			
	Material	C22			
	Výroba	Dřevo			
	Vzpěr y-y, z-z	b			b
	Výpočet FEM	x			
	Obrázek				
	Material	C22			
	A [m 2]	1,28E-02			
	A y, z [m 2]	1,28E-02	1,28E-02		
	I y, z [m 4]	2,73E-05	6,83E-06		
	I t [m 4], w [m 6]	2,38E-05	0,00E+00		
	alfa [deg]	0			
	Wel y, z [m 3]	3,41E-04	1,71E-04		
	Wpl y, z [m 3]	5,12E-04	2,56E-04		
	c YLSS, ZLSS [mm]	40	80		
	d y, z [mm]	0	0		
	AL [m 2/m]	4,80E-01			

## Trám základový-obvod.:

	Jméno	TRM_ZKL-OBVD_160/240	
	Detailní	160; 240	
	Typ	RECT	
	Material	C22	
	Výroba	Dřevo	
	Vzpěr y-y, z-z	b	
	Výpočet FEM	x	
	Obrázek		
	Material	C22	
	A [m 2]	3,84E-02	
	A y, z [m 2]	3,84E-02	3,84E-02
	I y, z [m 4]	1,84E-04	8,19E-05
	I t [m 4], w [m 6]	2,69E-04	0,00E+00
	alfa [deg]	0	
	Wel y, z [m 3]	1,54E-03	1,02E-03
	Wpl y, z [m 3]	2,30E-03	1,54E-03
	c YLSS, ZLSS [mm]	80	120
	d y, z [mm]	0	0
	AL [m 2/m]	8,00E-01	

## Trám základový:

	Jméno	TRM_ZKL_120/240		
	Detailní	120; 240		
	Typ	RECT		
	Material	C22		
	Výroba	Dřevo		
	Vzpěr y-y, z-z	b		b
	Výpočet FEM	x		
	Obrázek			
	Material	C22		
	A [m 2]	2,88E-02		
	A y, z [m 2]	2,88E-02	2,88E-02	
	I y, z [m 4]	1,38E-04	3,46E-05	
	I t [m 4], w [m 6]	1,21E-04	0,00E+00	
	alfa [deg]	0		
	Wel y, z [m 3]	1,15E-03	5,76E-04	
	Wpl y, z [m 3]	1,73E-03	8,64E-04	
	c YLSS, ZLSS [mm]	60	120	
	d y, z [mm]	0	0	
	AL [m 2/m]	7,20E-01		

### 6.3.5. Zatěžovací stavy

Jméno	Popis	Typ působení	Skupina zatížení	Typ zatížení	Spec	Směr	Působení	Rídící zat. stav
4.0_go	vl tíha	Stálé	stale	Vlastní tíha		-Z		
4.1_gk	stes_plast	Stálé	stale	Standard				
2.0_sk	snih-rovnomerne	Nahodilé	snih	Statické	Standard		Střednědobé	Žádný
3.0_qk	uzitne	Nahodilé	uzit-str	Statické	Standard		Krátkodobé	Žádný
1.1_wk-	vitř_0-sani	Nahodilé	vitř	Statické	Standard		Krátkodobé	Žádný
1.2_wk-	vitř_90-sani	Nahodilé	vitř	Statické	Standard		Krátkodobé	Žádný
1.1_wk+	vitř_0-tlak	Nahodilé	vitř	Statické	Standard		Krátkodobé	Žádný
4.2_gk	podlaha	Stálé	stale	Standard				

### 6.3.6. Kombinace

uvažované kombinace KZS: pro mezní stavy únosnosti typu STR/GEO: (s vl. tíhou)

obecná kombinace: varianta B

$$6.10a \quad \sum \gamma_G G_k + \psi_0 \gamma_{Q,1} Q_{k,1,hlavní} + \sum_{i \geq 1} \psi_0 \gamma_{Q,i} Q_{k,i}$$

$$6.10b \quad \sum \xi_j \times \gamma_G G_k + \gamma_{Q,1} Q_{k,1,hlavní} + \sum_{i \geq 1} \psi_0 \gamma_{Q,i} Q_{k,i}$$

$$\xi_j = 0,85$$

kombinační součinitele:

-pro proměnné zatížení: užité pro střechy kategorie H →  $\psi_0 = 0$  ,  $\psi_1 = 0$  ,  $\psi_2 = 0$

-pro proměnné zatížení: klimatickými vlivy sněh do  $h \leq 1000$  m.n. →  $\psi_0 = 0,5$  ,  $\psi_1 = 0,2$  ,  $\psi_2 = 0$

-pro proměnné zatížení: klimatickými vlivy vítr. →  $\psi_0 = 0,6$  ,  $\psi_1 = 0,2$  ,  $\psi_2 = 0$

Kombinace

Jméno	Typ	Zatěžovací stavy	Souč. [1]
6.10_a01	EN - MSÚ (STR)	1.1_wk+ - vitř_0-tlak	0,9
		4.0_go - vl tíha	1,35
		4.1_gk - stes_plast	1,35
		4.2_gk - podlaha	1,35
6.10_a02	EN - MSÚ (STR)	2.0_sk - snih-rovnomerne	0,75
		4.0_go - vl tíha	1,35
		4.1_gk - stes_plast	1,35
		4.2_gk - podlaha	1,35
6.10_a03	EN - MSÚ (STR)	3.0_qk - uzitne	1,05
		4.0_go - vl tíha	1,35
		4.1_gk - stes_plast	1,35
		4.2_gk - podlaha	1,35
6.10_b01	EN - MSÚ (STR)	1.1_wk+ - vitř_0-tlak	1,5
		4.0_go - vl tíha	1,15
		4.1_gk - stes_plast	1,15
		4.2_gk - podlaha	1,15
6.10_b02	EN - MSÚ (STR)	2.0_sk - snih-rovnomerne	1,5
		4.0_go - vl tíha	1,15
		4.1_gk - stes_plast	1,15
		4.2_gk - podlaha	1,15
6.10_b03	EN - MSÚ (STR)	3.0_qk - uzitne	1,5
		4.0_go - vl tíha	1,15
		4.1_gk - stes_plast	1,15
		4.2_gk - podlaha	1,15

6.10_a04	EN - MSÚ (STR)	1.1_wk+ - vitr_0-tlak	0,9
		3.0_qk - užitne	1,05
		4.0_go - vl tiha	1,35
		4.1_gk - stes_plast	1,35
		4.2_gk - podlaha	1,35
6.10_a05	EN - MSÚ (STR)	2.0_sk - snih-rovnomerne	0,75
		3.0_qk - užitne	1,05
		4.0_go - vl tiha	1,35
		4.1_gk - stes_plast	1,35
		4.2_gk - podlaha	1,35
6.10_b04	EN - MSÚ (STR)	1.1_wk+ - vitr_0-tlak	0,9
		3.0_qk - užitne	1,5
		4.0_go - vl tiha	1,15
		4.1_gk - stes_plast	1,15
		4.2_gk - podlaha	1,15
6.10_b06	EN - MSÚ (STR)	2.0_sk - snih-rovnomerne	1,5
		3.0_qk - užitne	1,05
		4.0_go - vl tiha	1,15
		4.1_gk - stes_plast	1,15
		4.2_gk - podlaha	1,15
6.10_b05	EN - MSÚ (STR)	1.1_wk+ - vitr_0-tlak	1,5
		3.0_qk - užitne	1,05
		4.0_go - vl tiha	1,15
		4.1_gk - stes_plast	1,15
		4.2_gk - podlaha	1,15
6.10_b07	EN - MSÚ (STR)	2.0_sk - snih-rovnomerne	0,75
		3.0_qk - užitne	1,5
		4.0_go - vl tiha	1,15
		4.1_gk - stes_plast	1,15
		4.2_gk - podlaha	1,15
6.10_01	EN - MSÚ (STR)	1.1_wk- - vitr_0-sani	1,5
		4.0_go - vl tiha	1
		4.1_gk - stes_plast	1
		4.2_gk - podlaha	1
6.10_02	EN - MSÚ (STR)	1.2_wk- - vitr_90-sani	1,5
		4.0_go - vl tiha	1
		4.1_gk - stes_plast	1
		4.2_gk - podlaha	1

mezní stavy použitelnosti:

charakteristická kombinace:  $\sum G_k + Q_{k,1,hlavní} + \sum_{i \geq 1} \psi_{0,i} Q_{k,i}$

třída trvání zatížení: sníh-střednědobé, vítr – krátkodobé

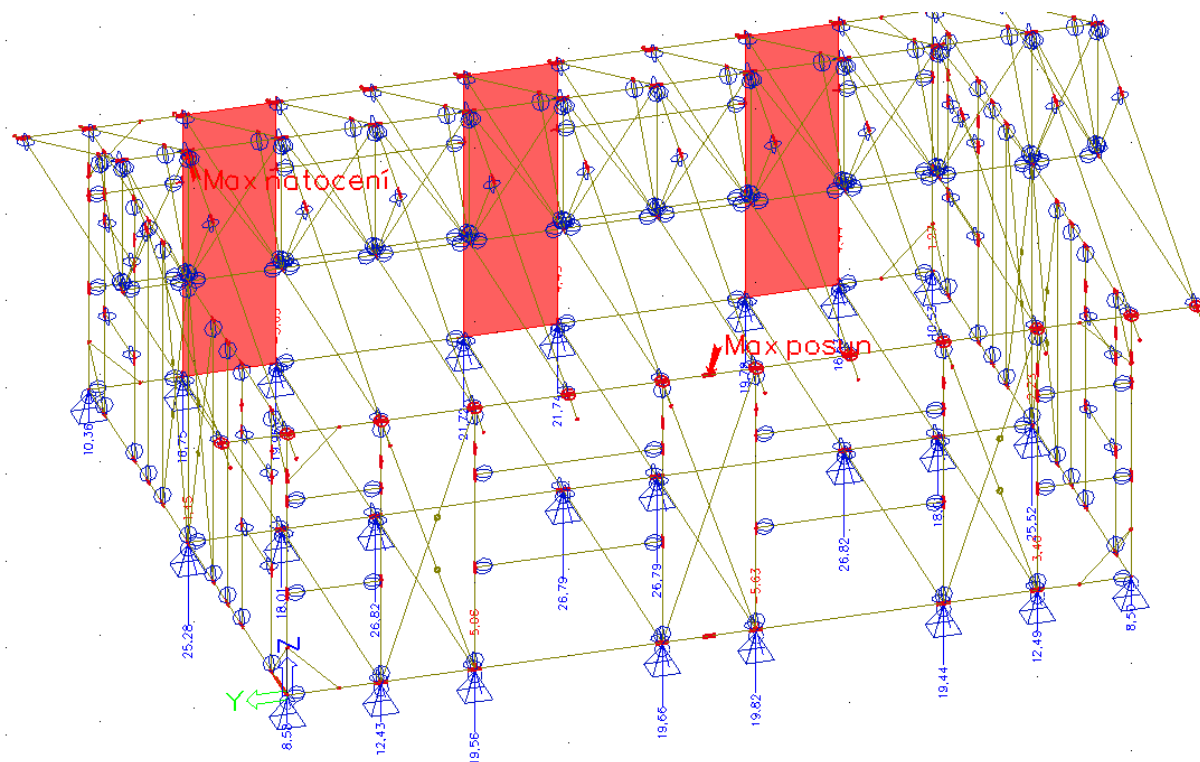
#### Kombinace

Jméno	Typ	Zatěžovací stavy	Souč. [1]
001	EN-MSP char.	2.0_sk - snih-rovnomerne	1
		4.0_go - vl tiha	1
		4.1_gk - stes_plast	1
		4.2_gk - podlaha	1
002	EN-MSP char.	3.0_qk - uzitne	1
		4.0_go - vl tiha	1
		4.1_gk - stes_plast	1
		4.2_gk - podlaha	1
003	EN-MSP char.	1.1_wk+ - vitr_0-tlak	1
		4.0_go - vl tiha	1
		4.1_gk - stes_plast	1
		4.2_gk - podlaha	1
004	EN-MSP char.	1.1_wk- - vitr_0-sani	1
		4.0_go - vl tiha	1
		4.1_gk - stes_plast	1
		4.2_gk - podlaha	1
005	EN-MSP char.	1.2_wk- - vitr_90-sani	1
		4.0_go - vl tiha	1
		4.1_gk - stes_plast	1
		4.2_gk - podlaha	1

### 6.3.8. Reakce podpor

Lineární výpočet, Extrém : Globální

$R_z$  [kN]-reakce v uložení základových trámů



Lineární výpočet, Extrém : Uzel							
Výběr : Sn1, Sn2, Sn3, Sn4, Sn5, Sn6, Sn7, Sn8, Sn9, Sn10, Sn11, Sn12, Sn13, Sn14, Sn15, Sn16, Sn17, Sn18, Sn19, Sn20, Sn21, Sn22, Sn23, Sn24							
Třída : MSU							
Podpora	Stav	Rx [kN]	Ry [kN]	Rz [kN]	Mx [kNm]	My [kNm]	Mz [kNm]
Sn1/N105	6.10_b01/1	-1,7	-1,51	1,91	0	0	0
Sn1/N105	6.10_02/2	0,97	-0,41	2,82	0	0	0
Sn1/N105	6.10_01/3	-1,19	-1,52	0,87	0	0	0
Sn1/N105	6.10_01/4	0,13	0	3,82	0	0	0
Sn1/N105	6.10_b07/5	0,34	-0,01	8,58	0	0	0
Sn1/N105	6.10_a01/6	0,18	0	5,16	0	0	0
Sn2/N103	6.10_b05/7	-1,64	-1,58	10,36	0	0	0
Sn2/N103	6.10_01/4	-0,09	0	3,3	0	0	0
Sn2/N103	6.10_b01/1	-1,54	-1,58	8,09	0	0	0
Sn2/N103	6.10_b06/8	-0,2	0	7,79	0	0	0
Sn2/N103	6.10_02/2	-0,3	-0,49	0,17	0	0	0
Sn2/N103	6.10_a01/6	-0,12	0	4,46	0	0	0
Sn3/N106	6.10_b01/1	-1,81	1,49	1,72	0	0	0
Sn3/N106	6.10_02/2	1,08	-0,75	0,72	0	0	0
Sn3/N106	6.10_01/3	-1,24	1,51	0,78	0	0	0
Sn3/N106	6.10_b07/5	0,31	0,01	8,5	0	0	0
Sn3/N106	6.10_a01/6	0,16	0	5,1	0	0	0
Sn4/N104	6.10_b05/7	-1,75	1,58	10,53	0	0	0
Sn4/N104	6.10_01/4	-0,1	0	3,34	0	0	0
Sn4/N104	6.10_02/2	-0,19	-0,89	-1,27	0	0	0
Sn4/N104	6.10_b01/1	-1,65	1,58	8,25	0	0	0
Sn4/N104	6.10_a01/6	-0,13	0	4,51	0	0	0
Sn5/N162	6.10_01/3	-0,83	-0,44	2,78	0	0	0
Sn5/N162	6.10_02/2	1,37	-0,99	2,4	0	0	0
Sn5/N162	6.10_01/4	0	-0,17	3,03	0	0	0
Sn5/N162	6.10_b04/9	-0,5	-0,49	12,43	0	0	0
Sn5/N162	6.10_a01/6	0	-0,22	4,1	0	0	0
Sn6/N161	6.10_b01/1	-1,25	0,18	9,09	0	0	0
Sn6/N161	6.10_02/2	2,06	-0,89	-5,06	0	0	0

Sn6/N161	6.10_b06/8	0	0,18	17,03	0	0	0
Sn6/N161	6.10_b04/9	-0,75	0,14	19,56	0	0	0
Sn6/N161	6.10_a01/6	0	0,1	6,59	0	0	0
Sn7/N163	6.10_b01/1	-1,25	-0,42	9,16	0	0	0
Sn7/N163	6.10_02/2	1,72	-0,46	2,41	0	0	0
Sn7/N163	6.10_01/3	-1,25	-0,15	4,75	0	0	0
Sn7/N163	6.10_b04/9	-0,75	-0,33	19,66	0	0	0
Sn7/N163	6.10_a01/6	0	-0,24	6,81	0	0	0
Sn8/N166	6.10_b01/1	-1,25	0,45	9,42	0	0	0
Sn8/N166	6.10_02/2	1,72	-1,01	-5,63	0	0	0
Sn8/N166	6.10_b05/7	-1,25	0,45	17,71	0	0	0
Sn8/N166	6.10_b04/9	-0,75	0,35	19,82	0	0	0
Sn8/N166	6.10_a01/6	0	0,24	6,82	0	0	0
Sn9/N160	6.10_b01/1	-1,25	-0,13	8,89	0	0	0
Sn9/N160	6.10_02/2	2,06	-0,67	2,86	0	0	0
Sn9/N160	6.10_01/3	-1,25	-0,04	4,8	0	0	0
Sn9/N160	6.10_b04/9	-0,75	-0,12	19,44	0	0	0
Sn9/N160	6.10_a01/6	0	-0,1	6,59	0	0	0
Sn10/N159	6.10_01/3	-0,83	0,48	2,85	0	0	0
Sn10/N159	6.10_02/2	1,37	-1,64	-3,4	0	0	0
Sn10/N159	6.10_b01/1	-0,83	0,78	5,17	0	0	0
Sn10/N159	6.10_b04/9	-0,5	0,53	12,49	0	0	0
Sn10/N159	6.10_a01/6	0	0,22	4,09	0	0	0
Sn11/N168	6.10_b01/1	-14,1	-3,39	6,64	0	0	0
Sn11/N168	6.10_02/2	4,4	-1,21	7,08	0	0	0
Sn11/N168	6.10_b06/8	0,28	-4,79	17,3	0	0	0
Sn11/N168	6.10_01/3	-9,1	-2,08	4,45	0	0	0
Sn11/N168	6.10_b07/5	0,21	-4,06	19,78	0	0	0
Sn11/N168	6.10_a01/6	0,13	-3,79	7,92	0	0	0
Sn12/N167	6.10_02/2	-5,72	-1,29	-4,44	0	0	0
Sn12/N167	6.10_b01/1	13,87	4,45	8,96	0	0	0
Sn12/N167	6.10_b06/8	-0,32	5,41	15,8	0	0	0
Sn12/N167	6.10_b07/5	-0,25	4,49	16,63	0	0	0
Sn12/N167	6.10_a01/6	-0,15	4,17	8,32	0	0	0
Sn13/N170	6.10_02/2	-0,91	-0,13	5,06	0	0	0
Sn13/N170	6.10_b01/1	0,67	-4,56	9,02	0	0	0
Sn13/N170	6.10_b06/8	0,21	-6,34	20,05	0	0	0
Sn13/N170	6.10_b07/5	0,14	-5,15	21,72	0	0	0
Sn13/N170	6.10_a01/6	0,09	-4,63	9,39	0	0	0
Sn14/N169	6.10_b01/1	-0,84	4,5	8,92	0	0	0
Sn14/N169	6.10_01/4	-0,07	3,43	6,96	0	0	0
Sn14/N169	6.10_02/2	-0,4	-1,69	-4,45	0	0	0
Sn14/N169	6.10_b06/8	-0,21	6,34	20,08	0	0	0
Sn14/N169	6.10_b07/5	-0,14	5,14	21,74	0	0	0
Sn14/N169	6.10_a01/6	-0,09	4,63	9,4	0	0	0
Sn15/N171	6.10_b01/1	-14,26	3,73	7,17	0	0	0
Sn15/N171	6.10_02/2	5,22	-1,23	-3,65	0	0	0
Sn15/N171	6.10_b06/8	0,1	4,93	17,56	0	0	0
Sn15/N171	6.10_b07/5	0,09	4,15	19,96	0	0	0
Sn15/N171	6.10_a01/6	0,05	3,85	8,04	0	0	0
Sn16/N172	6.10_02/2	-5,69	-0,22	4,57	0	0	0
Sn16/N172	6.10_b01/1	12,65	-4,86	9,62	0	0	0
Sn16/N172	6.10_b06/8	-0,59	-5,54	15,97	0	0	0
Sn16/N172	6.10_b07/5	-0,44	-4,58	16,75	0	0	0
Sn16/N172	6.10_a01/6	-0,27	-4,23	8,4	0	0	0
Sn17/N107	6.10_b01/1	-6,71	-6,15	14,82	0	0	0
Sn17/N107	6.10_02/2	1,55	-2,35	-1,45	0	0	0
Sn17/N107	6.10_01/3	-4,22	-6,15	7,45	0	0	0
Sn17/N107	6.10_b06/8	0,26	0	25,28	0	0	0
Sn17/N107	6.10_a01/6	0,12	0	14,01	0	0	0
Sn18/N173	6.10_b01/1	-7,17	6,15	15,64	0	0	0
Sn18/N173	6.10_02/2	2,02	-3,79	-2,23	0	0	0
Sn18/N173	6.10_01/3	-4,46	6,15	7,9	0	0	0
Sn18/N173	6.10_b06/8	0,07	0	25,52	0	0	0
Sn18/N173	6.10_a01/6	0,03	0	14,09	0	0	0
Sn19/N174	6.10_02/2	0	0	1,95	0	0	0
Sn19/N174	6.10_b01/1	0	0	2,23	0	0	0
Sn19/N174	6.10_01/3	0	0	1,94	0	0	0
Sn19/N174	6.10_b07/5	0	0	18	0	0	0
Sn19/N174	6.10_01/4	0	0	1,94	0	0	0
Sn19/N174	6.10_b04/9	0	0	18,01	0	0	0
Sn19/N174	6.10_a01/6	0	0	2,62	0	0	0
Sn20/N175	6.10_b01/1	0	0	3,16	0	0	0

Sn20/N175	6.10_02/2	0	0	2,74	0	0	0
Sn20/N175	6.10_b07/5	0	0	26,82	0	0	0
Sn20/N175	6.10_a01/6	0	0	3,71	0	0	0
Sn21/N176	6.10_01/3	0	0	2,72	0	0	0
Sn21/N176	6.10_02/2	0	0	2,72	0	0	0
Sn21/N176	6.10_b05/7	0	0	19,69	0	0	0
Sn21/N176	6.10_b07/5	0	0	26,79	0	0	0
Sn21/N176	6.10_a01/6	0	0	3,67	0	0	0
Sn22/N177	6.10_b01/1	0	0	3,13	0	0	0
Sn22/N177	6.10_02/2	0	0	2,72	0	0	0
Sn22/N177	6.10_b02/10	0	0	3,13	0	0	0
Sn22/N177	6.10_b07/5	0	0	26,79	0	0	0
Sn22/N177	6.10_a01/6	0	0	3,67	0	0	0
Sn23/N178	6.10_b01/1	0	0	3,16	0	0	0
Sn23/N178	6.10_02/2	0	0	2,74	0	0	0
Sn23/N178	6.10_b07/5	0	0	26,82	0	0	0
Sn23/N178	6.10_a01/6	0	0	3,71	0	0	0
Sn24/N179	6.10_02/2	0	0	1,95	0	0	0
Sn24/N179	6.10_b01/1	0	0	2,23	0	0	0
Sn24/N179	6.10_01/3	0	0	1,94	0	0	0
Sn24/N179	6.10_01/4	0	0	1,94	0	0	0
Sn24/N179	6.10_b04/9	0	0	18,01	0	0	0
Sn24/N179	6.10_a01/6	0	0	2,62	0	0	0



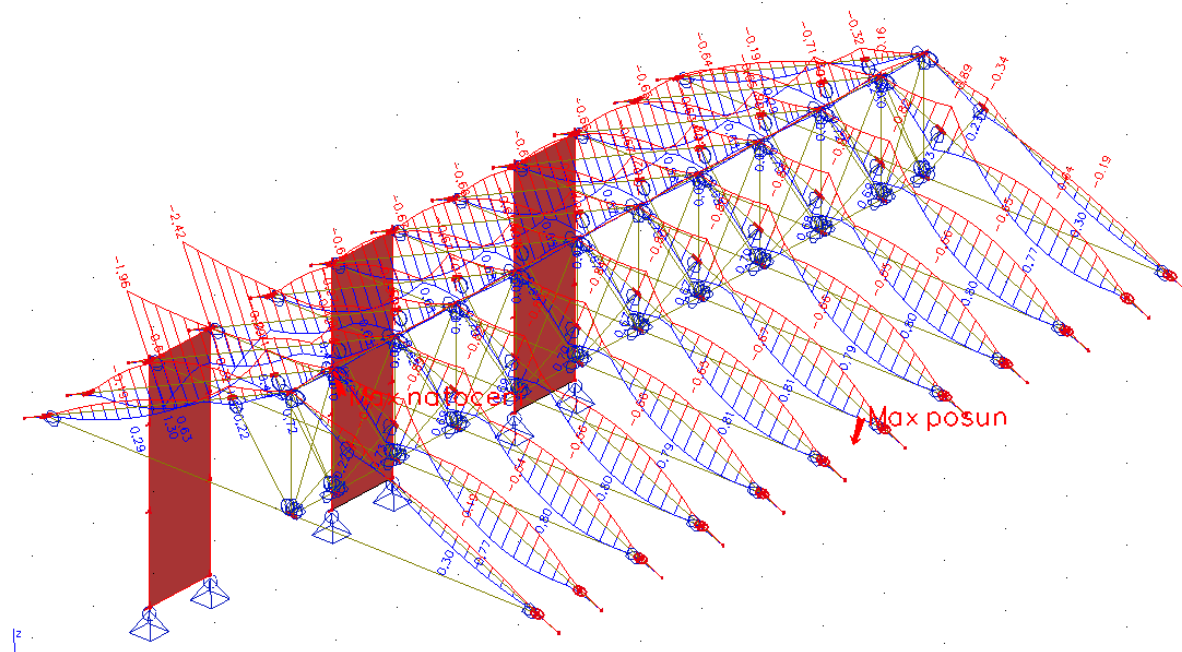
### 6.3.8. Analýza vnitřních sil, průhyby.

Vnitřní síly na prutu

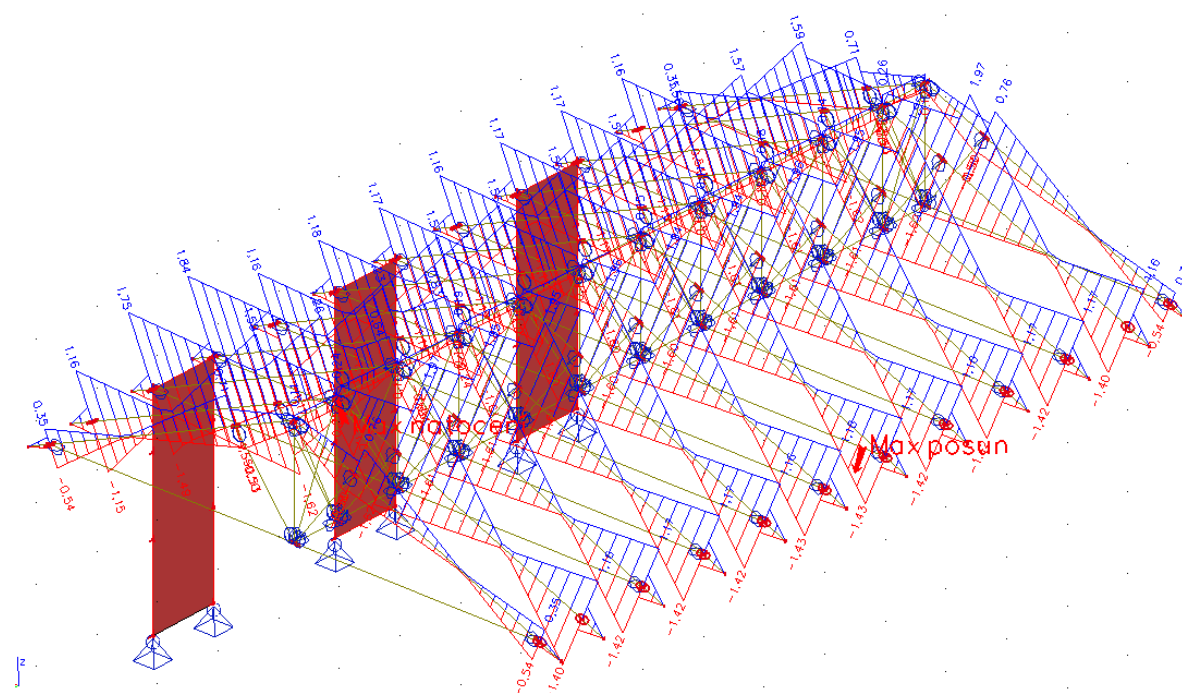
Lineární výpočet, Extrém : Globální, Systém : Hlavní

Vazník krokev

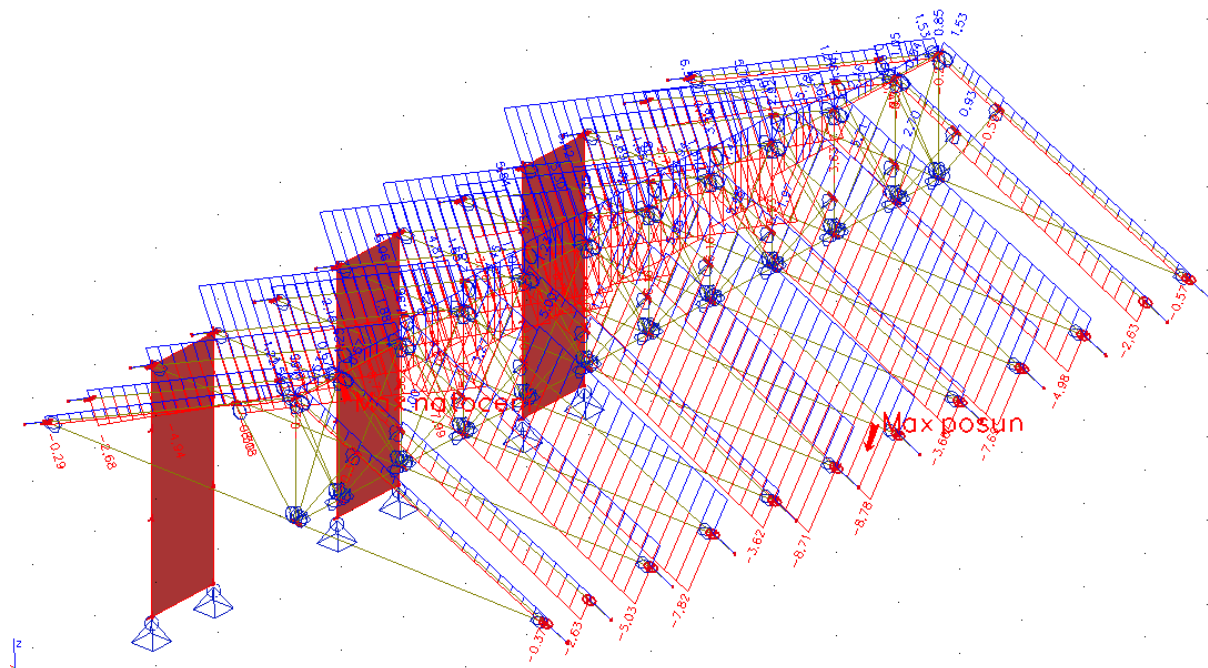
$M_y$  [kNm]



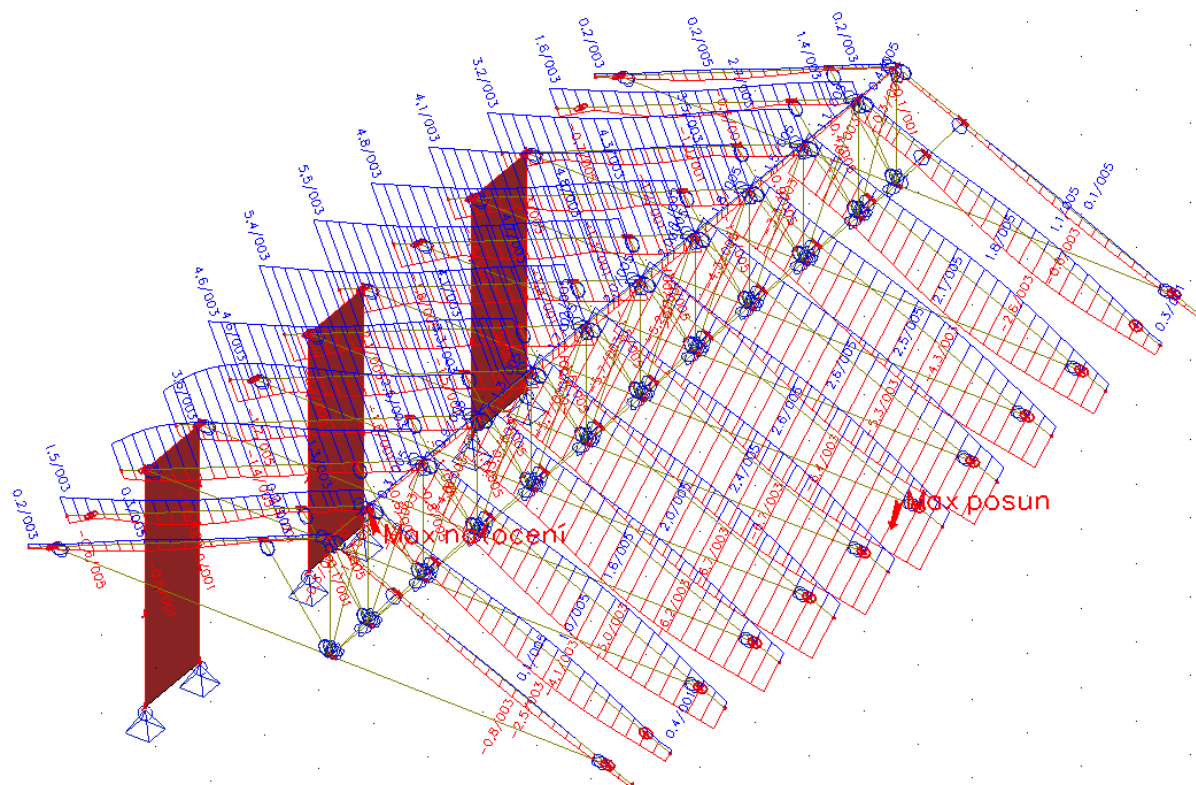
$V_z$  [kN]



$N_x$  [kN]

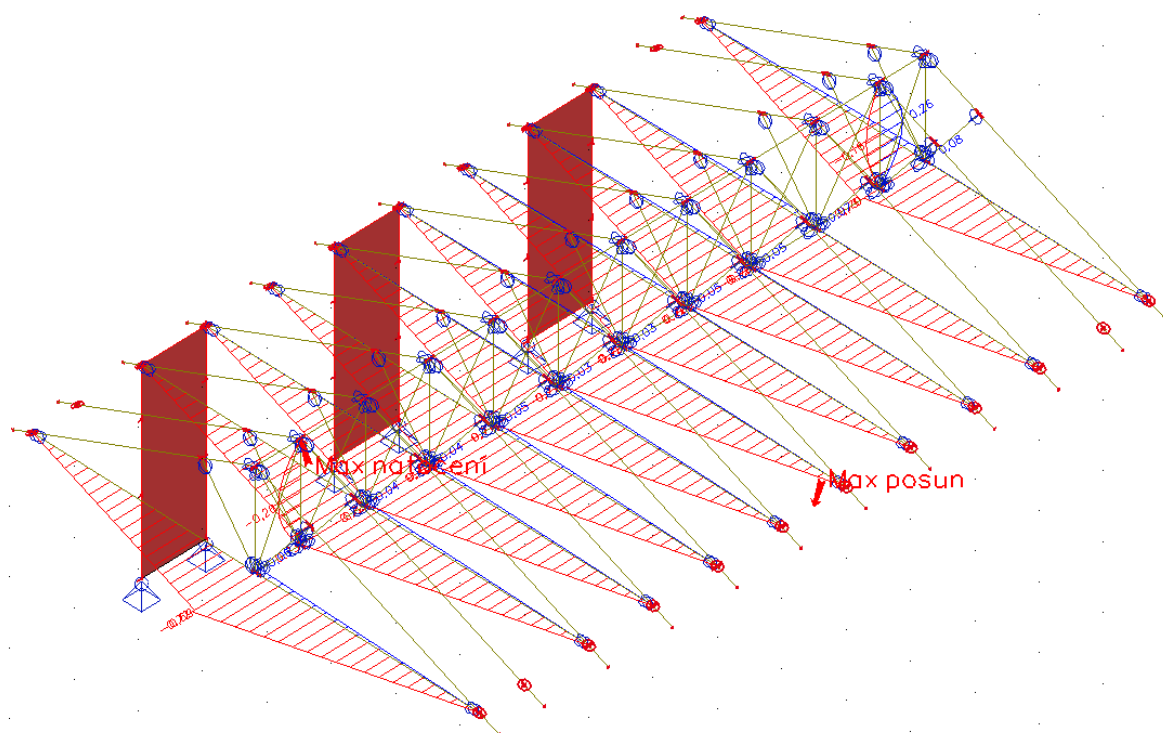


def [mm]

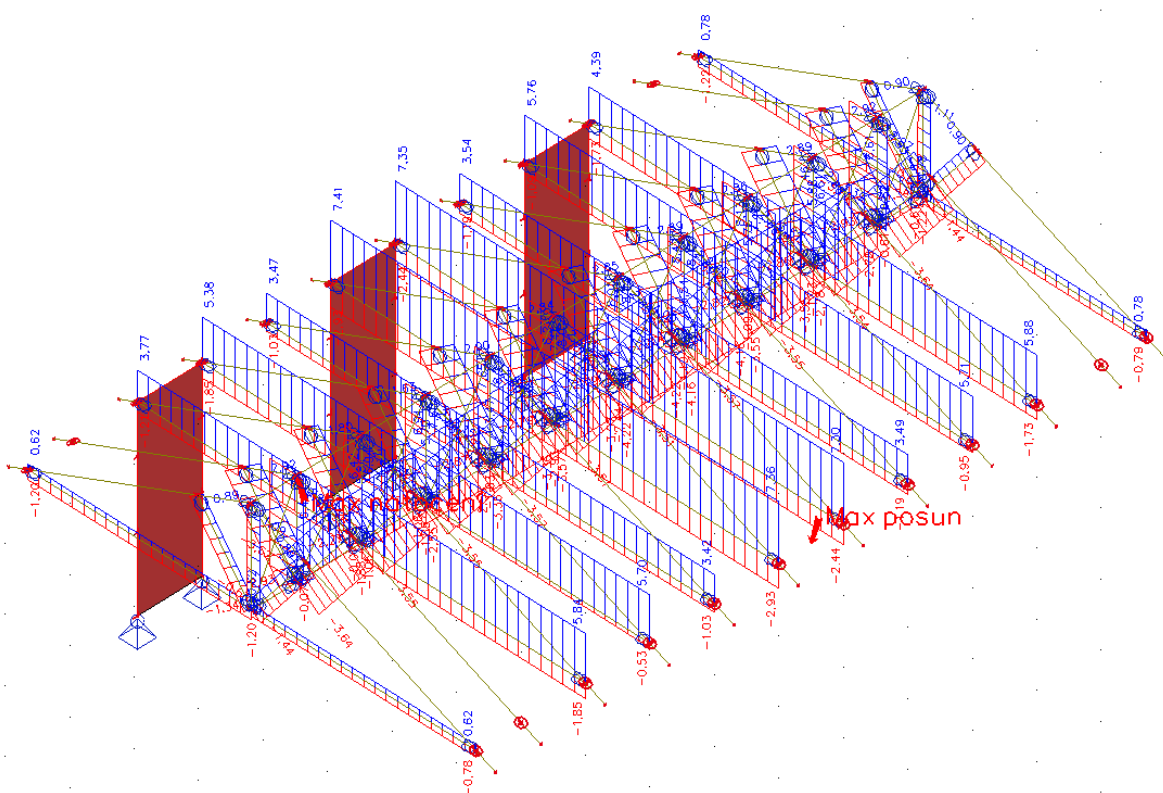


Výsledný průhyb-svislý 1/617 rozpětí – VYHOVÍ  
Výsledný průhyb-svislý 1/766 rozpětí – VYHOVÍ

$M_z$  [kNm]

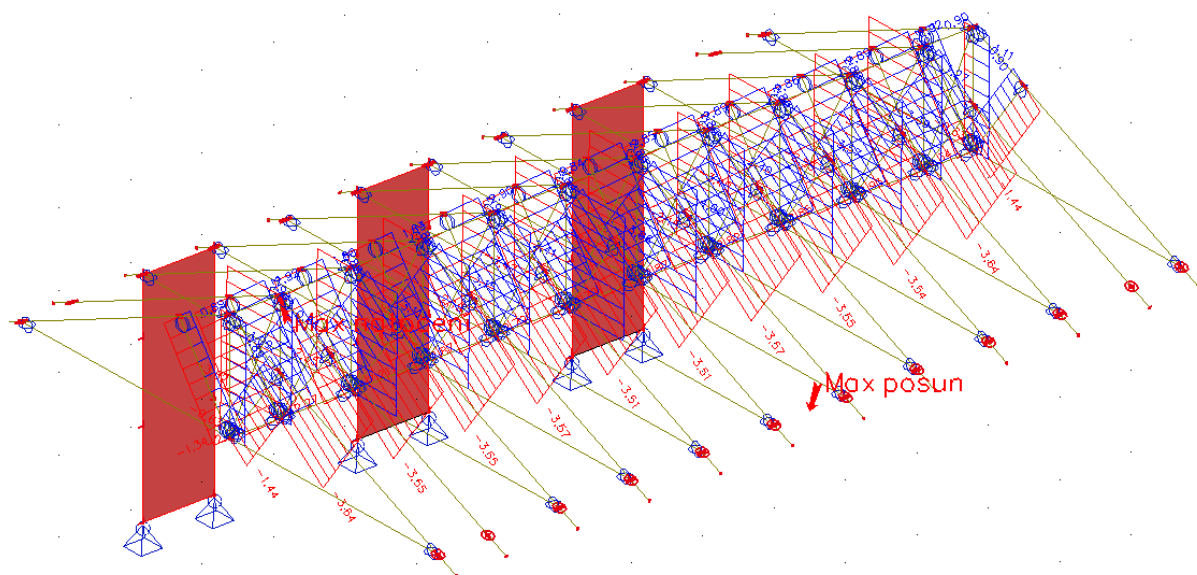


$N_x$  [kN]



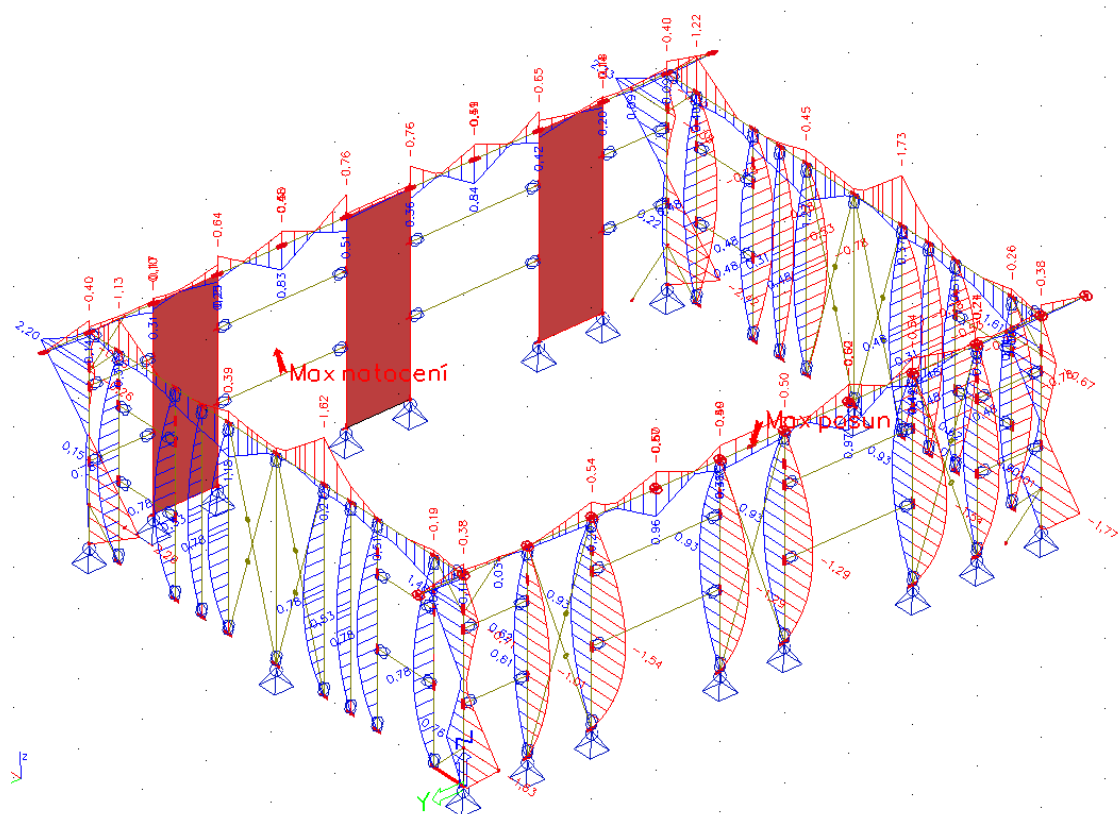
## Vzpěry

$N_x$  [kN]

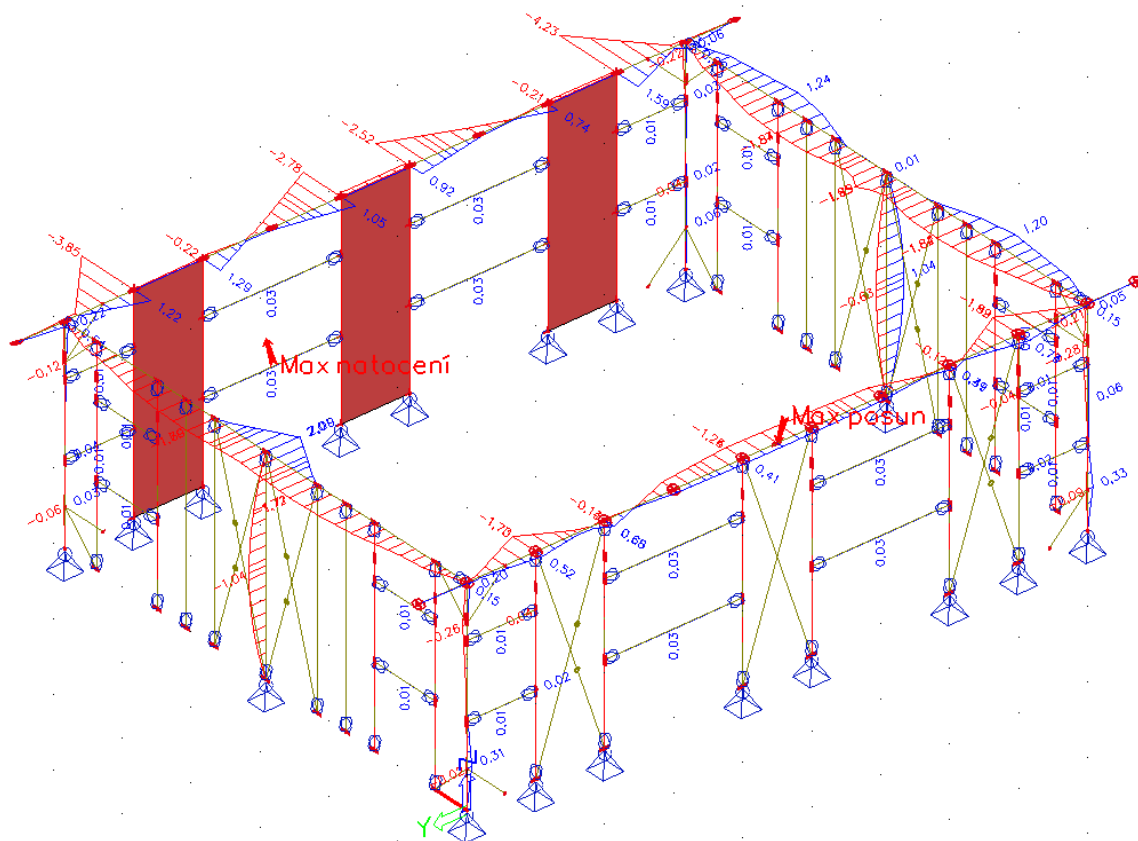


Pozednice a sloupky:

$M_y$  [kNm]

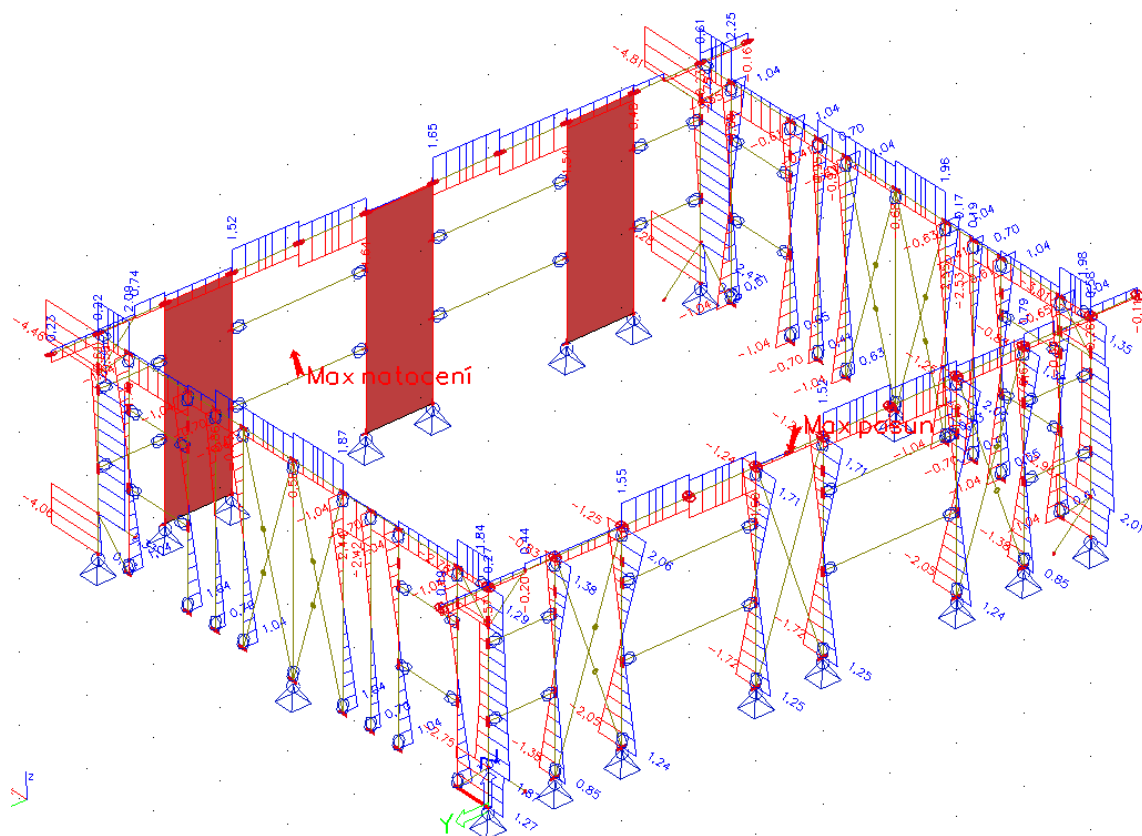


$M_z$  [kNm]

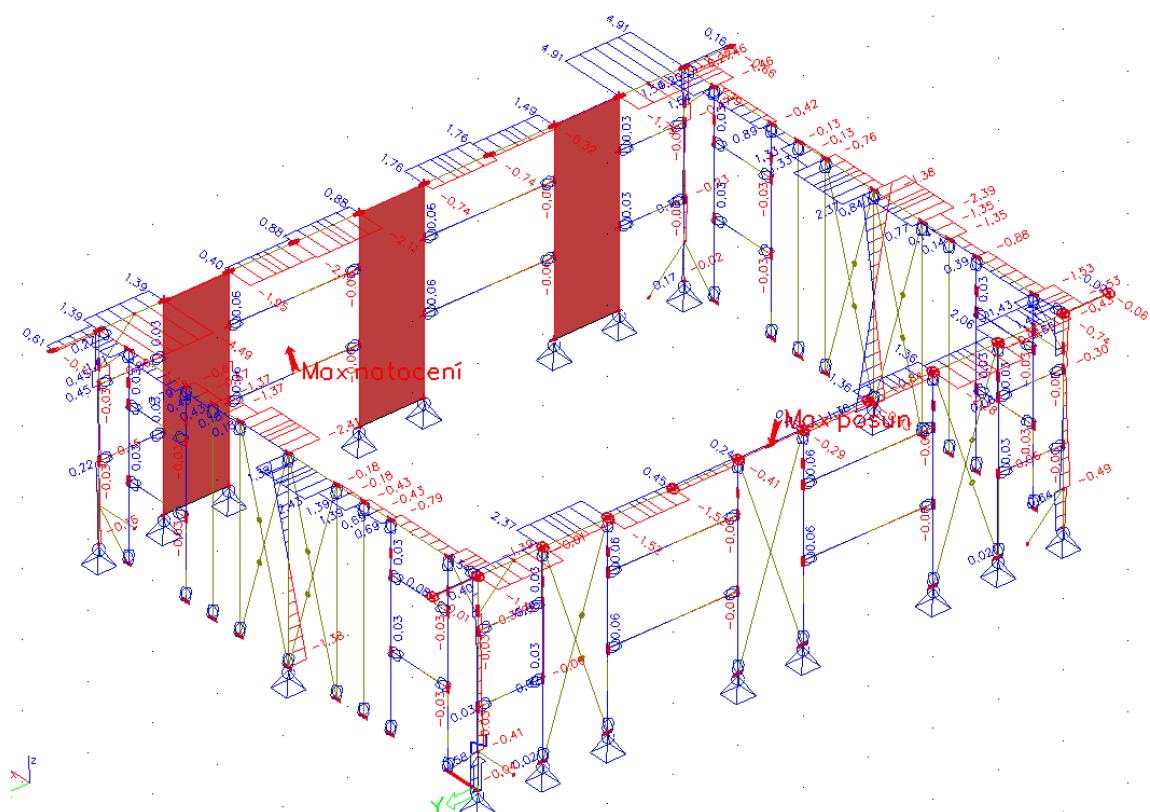




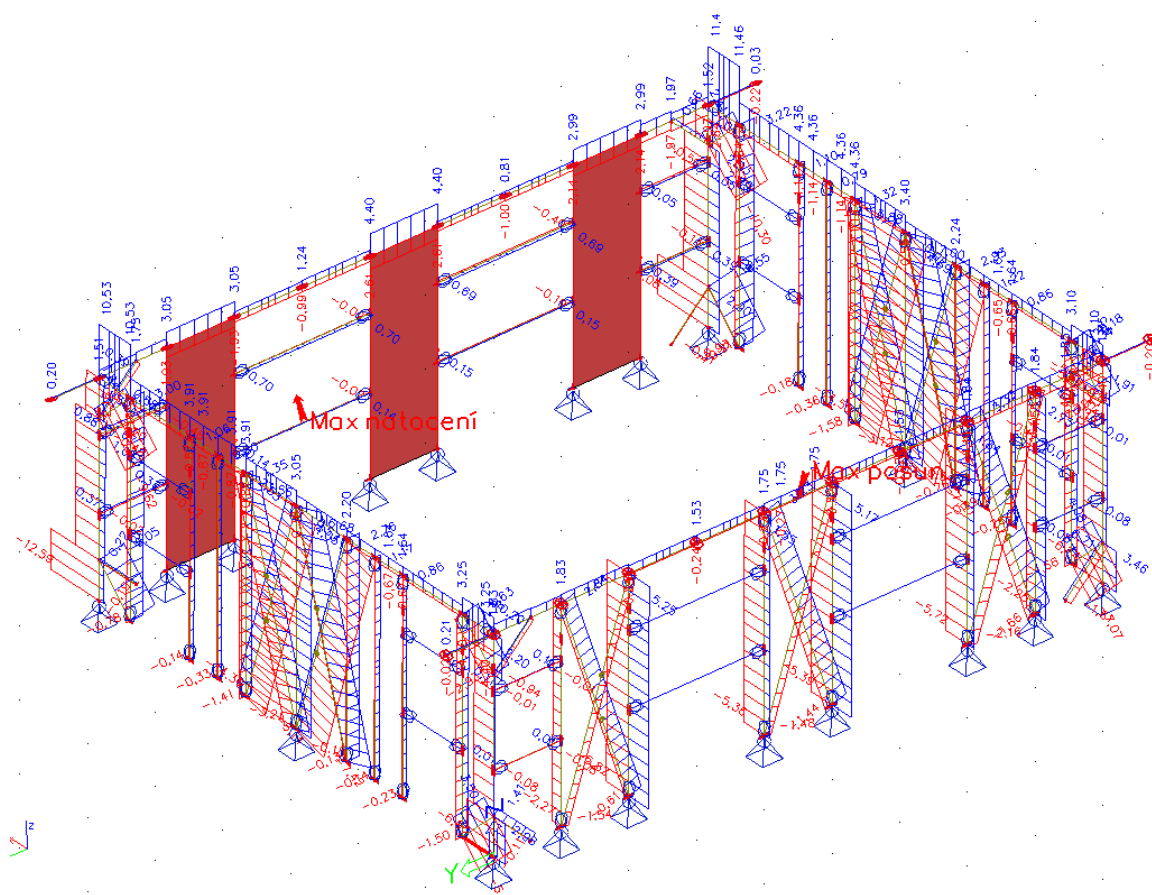
Vz [kN]



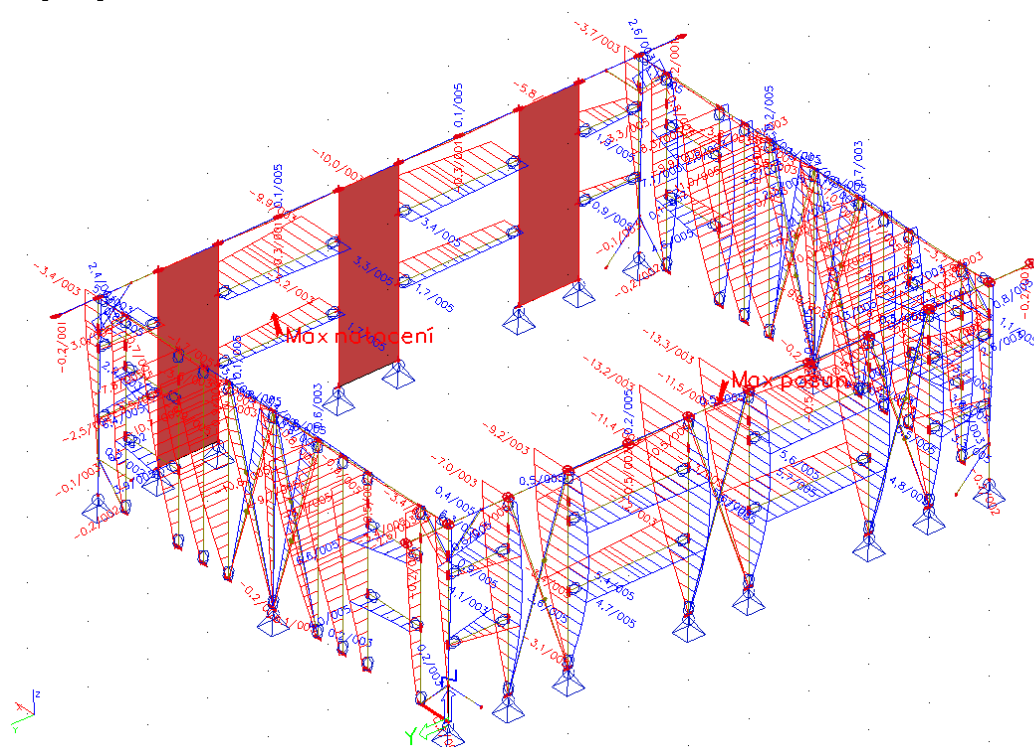
Vy [kN]



$N_x$  [kN]

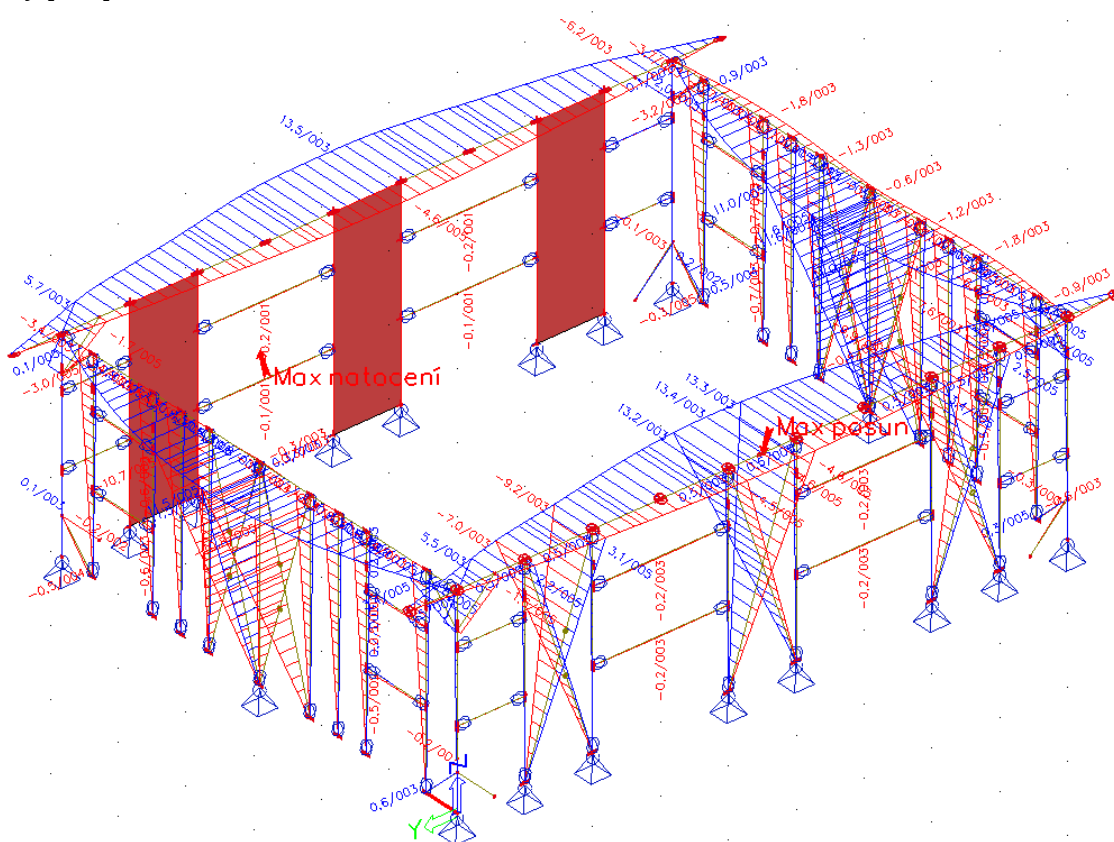


def,x [mm]



Výsledný průhyb sloupku-vodorovný 1/225 výšky – VYHOVÍ

def,y [mm]

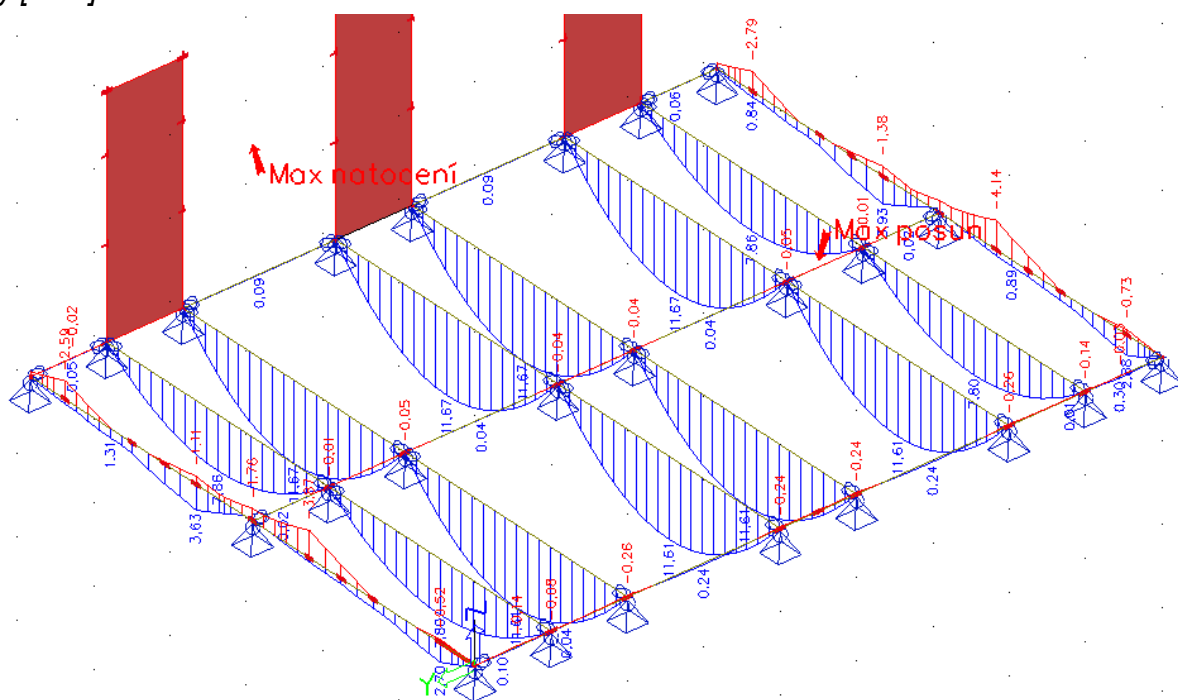


Výsledný průhyb sloupku-vodorovný 1/260 výšky – VYHOVÍ  
Výsledný průhyb pozednice-vodorovný 1/666 délky – VYHOVÍ

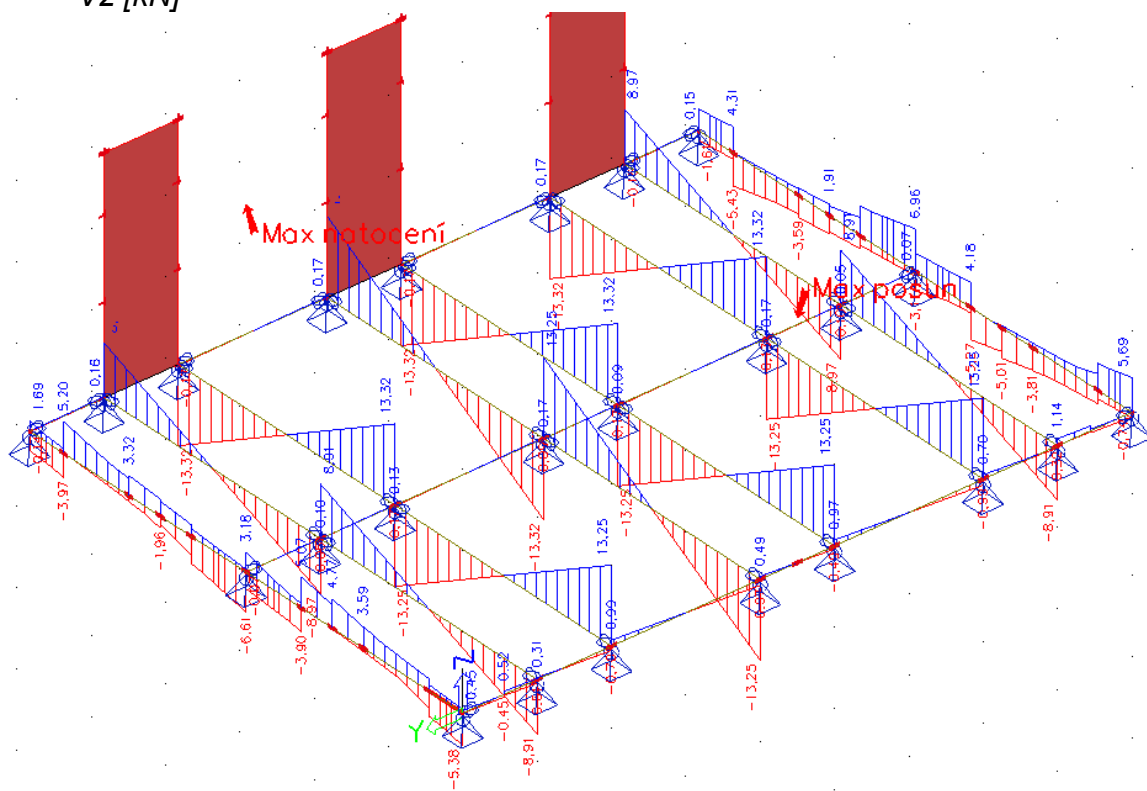


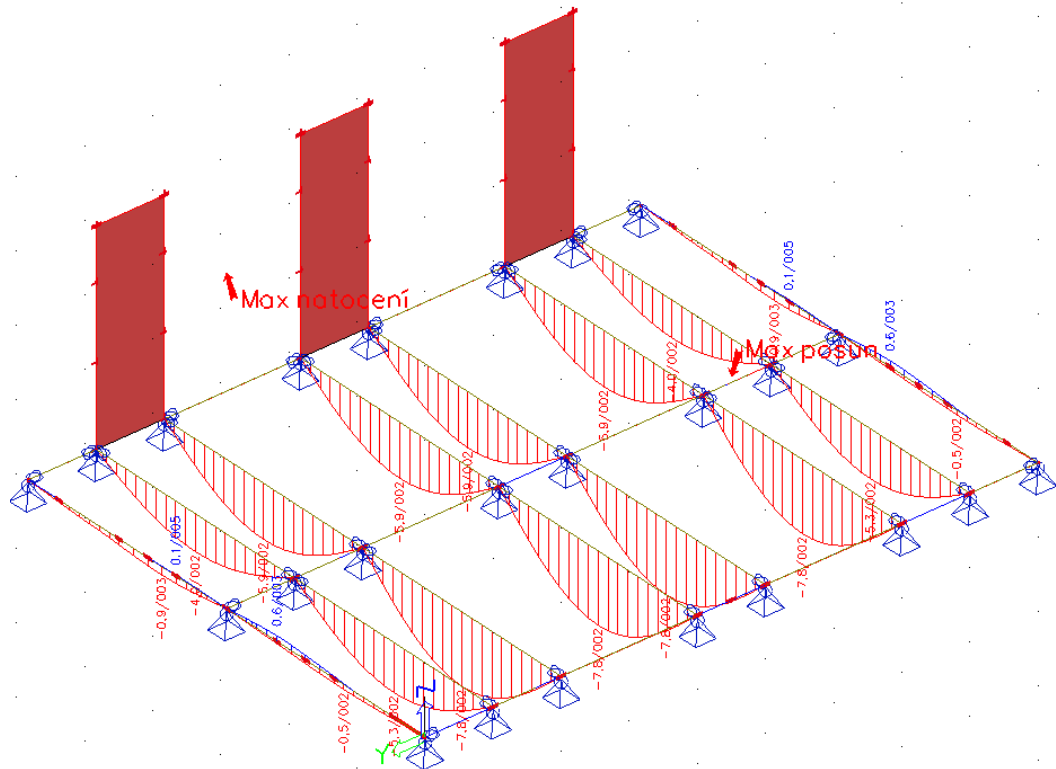
Trámy základové:

$M_y$  [kNm]



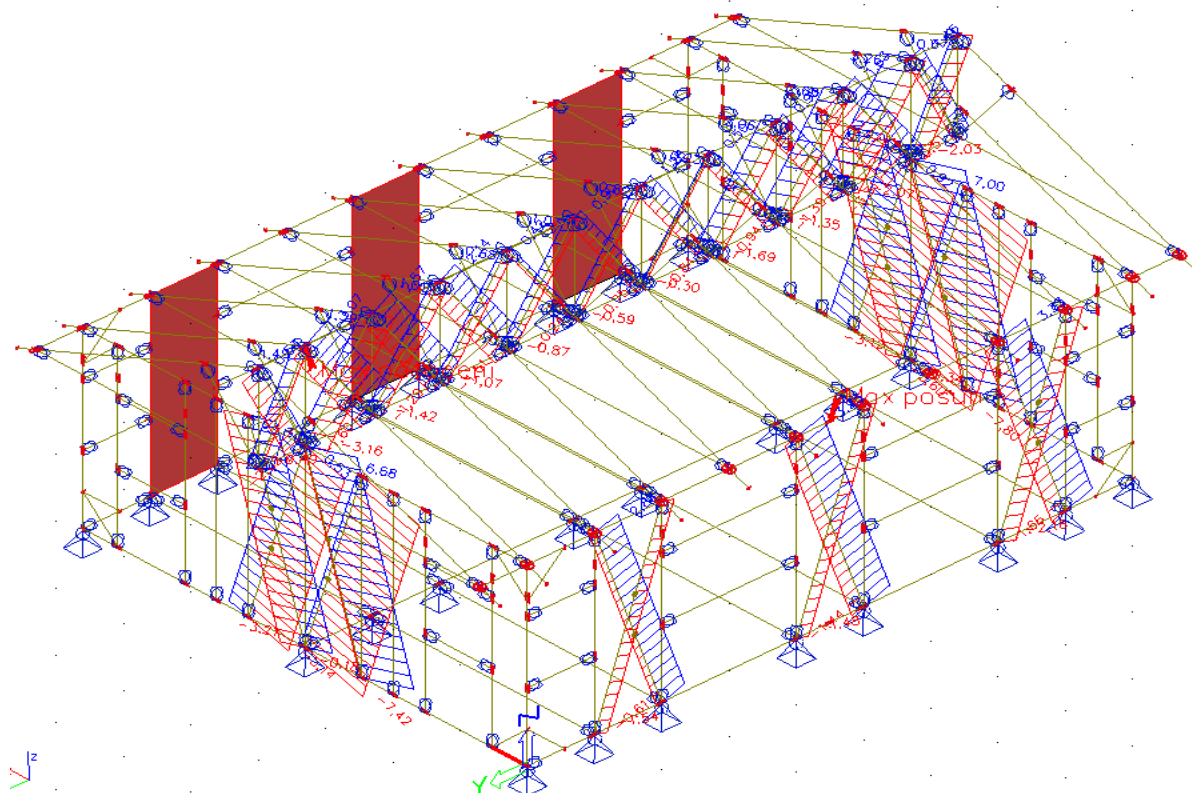
$V_z$  [kN]



$$\text{def } [mm]$$


### Výsledný průhyb-svislý 1/449 rozpětí – VYHOVÍ

## Zavětrování:



### 6.3.9. Posouzení

Materiálové charakteristiky: dřevěné konstrukce, dle EN 338-pevnostní třída C22

-rostlé dřevo, zabudované v třídě provozu 2 (půdní prostory rodinného domu)

Kmod=0,8 - pro kombinaci stálého, střednědobého (užitné) a krátkodobého zatížení (vítr, sníh)

Kdef =0,8 – v třídě provozu 2

$\gamma_M = 1,3$

#### **-pevnosti:charakteristické**

pevnost v ohybu:  $f_{mk} = 22 \text{ MPa}$

pevnost v tlaku(  $\parallel$  s vlákny):  $f_{cok} = 20 \text{ MPa}$

pevnost v tahu (  $\parallel$  s vlákny):  $f_{tok} = 13 \text{ MPa}$

pevnost v smyku:  $f_{vk} = 2,4 \text{ MPa}$

#### **-pevnosti:návrhové**

pevnost v ohybu:  $f_{md} = K_{mod} \times \frac{f_{mk}}{\gamma_M} = 0,8 \times \frac{22}{1,3} = 13,54 \text{ MPa}$

pevnost v tlaku(  $\parallel$  s vlákny):  $f_{cod} = K_{mod} \times \frac{f_{cok}}{\gamma_M} = 0,8 \times \frac{20}{1,3} = 12,31 \text{ MPa}$

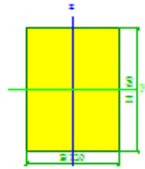
pevnost v tahu(  $\parallel$  s vlákny):  $f_{tod} = K_{mod} \times \frac{f_{tok}}{\gamma_M} = 0,8 \times \frac{13}{1,3} = 8,00 \text{ MPa}$

pevnost v smyku:  $f_{vd} = K_{mod} \times \frac{f_{vk}}{\gamma_M} = 0,8 \times \frac{2,4}{1,3} = 1,47 \text{ MPa}$

**-modul pružnosti:**  $E_{0,05} = 6700 \text{ MPa}$

-použitá norma pro návrh a posouzení konstrukce: EN 1995-1-1

### 6.3.9.1 Vazník kroků

	<b>Jméno</b>	VAZ_KROKV_120/160	
	<b>Detailní</b>	120; 160	
	<b>Typ</b>	RECT	
	<b>Material</b>	C22	
	<b>Výroba</b>	Dřevo	
	<b>Vzpěr y-y, z-z</b>	b	b
	<b>Výpočet FEM</b>	x	
	<b>Obrázek</b>		
	<b>Material</b>	C22	
	<b>A [m 2]</b>	1,92E-02	
	<b>A y, z [m 2]</b>	1,92E-02	1,92E-02
	<b>I y, z [m 4]</b>	4,10E-05	2,30E-05
	<b>I t [m 4], w [m 6]</b>	7,23E-05	0,00E+00
	<b>alfa [deg]</b>	0	
	<b>Wel y, z [m 3]</b>	5,12E-04	3,84E-04
	<b>Wpl y, z [m 3]</b>	7,68E-04	5,76E-04
	<b>c YLSS, ZLSS [mm]</b>	60	80
	<b>d y, z [mm]</b>	0	0
	<b>AL [m 2/m]</b>	5,60E-01	

MSU: vzpěrný tlak + ohyb(se ztrátou stability)

Nd= -8,18 kN-vzpěrný tlak

Md= -2,42 kNm

-tlak:  $\sigma_{c,o,d} = \frac{Nd}{A} = \frac{8,18 \times 10^3}{19200} = 0,426 \text{ MPa}$

-ohyb:  $\sigma_{m,d} = \frac{Md}{W_y} = \frac{2,42 \times 10^6}{192000} = 12,604 \text{ MPa}$

vzpěrný tlak

$$i_y = \sqrt{\frac{I_y}{A}} = 46,21 \text{ mm} \quad i_z = \sqrt{\frac{I_z}{A}} = 34,61 \text{ mm}$$

Lef,y= 4140 mm -vybočení v rovině konstrukce

Lef,z= 4140 mm -vybočení z roviny konstrukce

-štíhlostní poměry:

$$\lambda_{,y} = \frac{L_{ef,y}}{i_y} = \frac{4140}{46,21} = 89,59 \quad \lambda_{,z} = \frac{L_{ef,z}}{i_z} = \frac{4140}{34,61} = 119,61 \Rightarrow \text{rozhoduje}$$

-kritické napětí v tlaku:

$$\sigma_{c,crit} = \pi^2 \frac{E_{0,05}}{\lambda^2} = \pi^2 \frac{6700}{119,61^2} = 4,62 \text{ MPa}$$

$$\lambda_{rel} = \sqrt{\frac{f_{cok}}{\sigma_{c,crit}}} = \sqrt{\frac{20}{4,62}} = 2,08 \text{ MPa}$$

-součinitel pro prvky, splňující meze zakřivení

$\beta_c = 0,2$  -pro rostlé dřevo

-součinitel vzpěrnosti

$$k = 0,5 \left[ 1 + \beta_c (\lambda_{rel} - 0,3) + \lambda_{rel}^2 \right] = 0,5 \left[ 1 + 0,2(2,08 - 0,3) + 2,08^2 \right] = 2,84$$

$$k_c = \frac{1}{k + \sqrt{k^2 - \lambda_{rel}^2}} = \frac{1}{2,84 + \sqrt{2,84^2 - 2,08^2}} = 0,209$$

ohyb (se ztrátou stability)

-kritické napětí za ohybu:

$$L_{ef} = 0,9 \times 4140 = 3725 \text{ mm}$$

$$\sigma_{m,crit} = \frac{0,78 \times b^2 \times E_{0,05}}{h \times L_{ef}} = \frac{0,78 \times 120^2 \times 6700}{160 \times 3725} = 126,25 \text{ MPa}$$

-poměrná štíhlost:

$$\lambda_{rel,m} = \sqrt{\frac{f_{mk}}{\sigma_{m,crit}}} = \sqrt{\frac{22}{126,25}} = 0,417$$

-součinitel příčné a torzní stability: pro  $\lambda_{rel,m} \leq 0,75 \rightarrow k_{crit} = 1,0$

posouzení:

$$\frac{\sigma_{c,o,d}}{k_c \times f_{cod}} + \frac{\sigma_{m,d}}{k_{crit} \times f_{md}} = \frac{0,426}{0,209 \times 12,31} + \frac{12,604}{1,0 \times 13,54} = 0,165 + 0,930 = 1,095 \cong 1,0 \leq 1 \Rightarrow \underline{\text{vyhovuje}}$$

MSU: tah + ohyb

Nd = +7,41 kN-tah

Md = -2,42 kNm

$$\text{-tah: } \sigma_{t,o,d} = \frac{N_d}{A} = \frac{7,41 \times 10^3}{19200} = 0,385 \text{ MPa}$$

$$\text{-ohyb: } \sigma_{m,d} = \frac{M_d}{W_y} = \frac{2,42 \times 10^6}{192000} = 12,604 \text{ MPa}$$

posouzení:

$$\frac{\sigma_{t,o,d}}{f_{tod}} + \frac{\sigma_{m,d}}{f_{md}} = \frac{0,385}{8,00} + \frac{12,604}{13,54} = 0,048 + 0,930 = 0,978 \leq 1 \Rightarrow \underline{\text{vyhovuje}}$$

MSU: smyk za ohybu

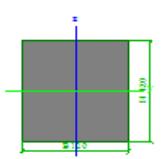
Vd = +/- 4,06 kN

$$\text{-smyk: } \tau_{vd} = \frac{3}{2} \times \frac{Q_d}{A} = \frac{3}{2} \times \frac{4,06 \times 10^3}{19200} = 0,317 \text{ MPa}$$

posouzení:

$$\tau_{vd} = 0,317 \text{ MPa} \leq k_{cr} \times f_{vd} = 0,67 \times 1,47 = 0,9849 \text{ MPa} \Rightarrow \underline{\text{vyhovuje}}$$

### 6.3.9.2 Vazník průvlak

	Jméno	VAZ_PRVLK_120/120	
	Detailní	120; 120	
	Typ	RECT	
	Material	C22	
	Výroba	Dřevo	
	Vzpěr y-y, z-z	b	b
	Výpočet FEM	x	
	Obrázek		
	Material	C22	
	A [m 2]	1,44E-02	
	A y, z [m 2]	1,44E-02	1,44E-02
	I y, z [m 4]	1,73E-05	1,73E-05
	I t [m 4], w [m 6]	4,40E-05	0,00E+00
	alfa [deg]	0	
	Wel y, z [m 3]	2,88E-04	2,88E-04
	Wpl y, z [m 3]	4,32E-04	4,32E-04
	c YLSS, ZLSS [mm]	60	60
	d y, z [mm]	0	0
	AL [m 2/m]	4,80E-01	

MSU: vzpěrný tlak + ohyb(bez ztráty stability)

Nd= -2,93 KN-vzpěrný tlak

Md= -0,71 KNm

$$\text{-tlak: } \sigma_{c,o,d} = \frac{Nd}{A} = \frac{2,93 \times 10^3}{14400} = 0,203 \text{ MPa}$$

$$\text{-ohyb: } \sigma_{m,d} = \frac{Md}{W_z} = \frac{0,71 \times 10^6}{288000} = 2,465 \text{ MPa}$$

vzpěrný tlak

$$i_y = \sqrt{\frac{I_y}{A}} = 34,66 \text{ mm} \quad i_z = \sqrt{\frac{I_z}{A}} = 34,66 \text{ mm}$$

Lef,y= 3505 mm -vybočení v rovině konstrukce

Lef,z= 3505 mm -vybočení z roviny konstrukce

-štíhlostní poměry:

$$\lambda_{y,z} = \frac{L_{ef}}{i} = \frac{3505}{34,61} = 101,25 \Rightarrow \text{rozhoduje}$$

-kritické napětí v tlaku:

$$\sigma_{c,crit} = \pi^2 \frac{E_{0,05}}{\lambda^2} = \pi^2 \frac{6700}{101,25^2} = 6,45 \text{ MPa}$$

$$\lambda_{rel} = \sqrt{\frac{f_{cok}}{\sigma_{c,crit}}} = \sqrt{\frac{20}{6,45}} = 1,76 \text{ MPa}$$

-součinitel pro prvky, splňující meze zakřivení

$\beta_c = 0,2$  -pro rostlé dřevo

-součinitel vzpěrnosti

$$k = 0,5 \left[ 1 + \beta_c (\lambda_{rel} - 0,3) + \lambda_{rel}^2 \right] = 0,5 \left[ 1 + 0,2(1,76 - 0,3) + 1,76^2 \right] = 2,19$$

$$k_c = \frac{1}{k + \sqrt{k^2 - \lambda_{rel}^2}} = \frac{1}{2,19 + \sqrt{2,19^2 - 1,76^2}} = 0,286$$

posouzení:

$$\frac{\sigma_{c,o,d}}{k_c x f_{cod}} + \frac{\sigma_{m,d}}{f_{md}} = \frac{0,203}{0,286 \times 12,31} + \frac{2,645}{13,54} = 0,057 + 0,195 = 0,252 \leq 1 \Rightarrow \underline{\text{vyhovuje}}$$

MSU: tah + ohyb

Nd= +7,36 KN-tah

Md= -2,42 KNm

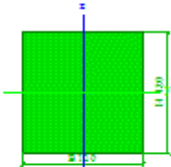
$$\text{-tah: } \sigma_{t,o,d} = \frac{Nd}{A} = \frac{7,36 \times 10^3}{14400} = 0,511 \text{ MPa}$$

$$\text{-ohyb: } \sigma_{m,d} = \frac{Md}{W_z} = \frac{0,71 \times 10^6}{288000} = 2,465 \text{ MPa}$$

posouzení:

$$\frac{\sigma_{t,o,d}}{f_{tod}} + \frac{\sigma_{m,d}}{f_{md}} = \frac{0,511}{8,00} + \frac{2,465}{13,54} = 0,064 + 0,182 = 0,245 \leq 1 \Rightarrow \underline{\text{vyhovuje}}$$

### 6.3.9.3 Vazník vzpěry

	Jméno	VAZ_VZP_120/120		
	Detailní	120; 120		
	Typ	RECT		
	Material	C22		
	Výroba	Dřevo		
	Vzpěr y-y, z-z	b		b
	Výpočet FEM	x		
	Obrázek			
	Material	C22		
	A [m 2]	1,44E-02		
	A y, z [m 2]	1,44E-02	1,44E-02	
	I y, z [m 4]	1,73E-05	1,73E-05	
	I t [m 4], w [m 6]	4,40E-05	0,00E+00	
	alfa [deg]	0		
	Wel y, z [m 3]	2,88E-04	2,88E-04	
	Wpl y, z [m 3]	4,32E-04	4,32E-04	
	c YLSS, ZLSS [mm]	60	60	
	d y, z [mm]	0	0	
	AL [m 2/m]	4,80E-01		

MSU: vzpěrný tlak

Nd= -4,28 KN-vzpěrný tlak

-tlak:  $\sigma_{c,o,d} = \frac{Nd}{A} = \frac{4,28 \times 10^3}{14400} = 0,297 \text{ MPa}$

vzpěrný tlak

$$i_y = \sqrt{\frac{I_y}{A}} = 34,66 \text{ mm} \quad i_z = \sqrt{\frac{I_z}{A}} = 34,66 \text{ mm}$$

Lef,y= 1420 mm -vybočení v rovině konstrukce

Lef,z= 1420 mm -vybočení z roviny konstrukce

-štíhlostní poměry:

$$\lambda_{y,z} = \frac{L_{ef}}{i} = \frac{1420}{34,61} = 41,28 \Rightarrow \text{rozhoduje}$$

-kritické napětí v tlaku:

$$\sigma_{c,crit} = \pi^2 \frac{E_{0,05}}{\lambda^2} = \pi^2 \frac{6700}{41,28^2} = 38,80 \text{ MPa}$$

$$\lambda_{rel} = \sqrt{\frac{f_{cok}}{\sigma_{c,crit}}} = \sqrt{\frac{20}{38,80}} = 0,717 \text{ MPa}$$

-součinitel pro prvky, splňující meze zakřivení

$\beta_c = 0,2$  -pro rostlé dřevo

-součinitel vzpěrnosti



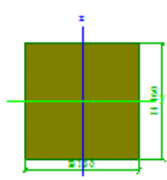
$$k = 0,5[1 + \beta_c (\lambda_{rel} - 0,3) + \lambda_{rel}^2] = 0,5[1 + 0,2(0,717 - 0,3) + 0,717^2] = 0,798$$

$$k_c = \frac{1}{k + \sqrt{k^2 - \lambda_{rel}^2}} = \frac{1}{0,798 + \sqrt{0,798^2 - 0,717^2}} = 0,870$$

posouzení:

$$\frac{\sigma_{c,o,d}}{k_c x f_{cod}} = \frac{0,297}{0,870 \times 12,31} = 0,027 \leq 1 \Rightarrow \underline{\text{vyhovuje}}$$

### 6.3.9.4 Pozednice

	Jméno	POZDN_160/160	
	Detailní	160; 160	
	Typ	RECT	
	Material	C22	
	Výroba	Dřevo	
	Vzpěr y-y, z-z	b	b
	Výpočet FEM	x	
	Obrázek		
	Material	C22	
	A [m 2]	2,56E-02	
	A y, z [m 2]	2,56E-02	2,56E-02
	I y, z [m 4]	5,46E-05	5,46E-05
	I t [m 4], w [m 6]	1,39E-04	0,00E+00
	alfa [deg]	0	
	Wel y, z [m 3]	6,83E-04	6,83E-04
	Wpl y, z [m 3]	1,02E-03	1,02E-03
	c YLSS, ZLSS [mm]	80	80
	d y, z [mm]	0	0
	AL [m 2/m]	6,40E-01	

MSU: šikmý ohyb (bez ztráty stability)

Md,y= -1,76 KNm

Md,z= -4,23 KNm

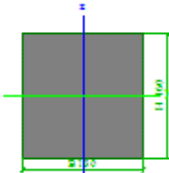
$$\text{-ohyb: } \sigma_{m,y,d} = \frac{Md,y}{W_y} = \frac{1,76 \times 10^6}{683000} = 2,576 \text{ MPa}$$

$$\text{-ohyb: } \sigma_{m,z,d} = \frac{Md,z}{W_z} = \frac{4,23 \times 10^6}{683000} = 6,19 \text{ MPa}$$

posouzení:

$$\frac{\sigma_{m,y,d}}{f_{md}} + \frac{\sigma_{m,z,d}}{f_{md}} = \frac{2,576}{13,54} + \frac{6,19}{13,54} = 0,190 + 0,457 = 0,647 \leq 1 \Rightarrow \underline{\text{vyhovuje}}$$

### 6.3.9.5 Sloupek

	Jméno	SLP_160/160		
	Detailní	160; 160		
	Typ	RECT		
	Material	C22		
	Výroba	Dřevo		
	Vzpěr y-y, z-z	b		b
	Výpočet FEM	x		
	Obrázek			
	Material	C22		
	A [m 2]	2,56E-02		
	A y, z [m 2]	2,56E-02	2,56E-02	
	I y, z [m 4]	5,46E-05	5,46E-05	
	I t [m 4], w [m 6]	1,39E-04	0,00E+00	
	alfa [deg]	0		
	Wel y, z [m 3]	6,83E-04	6,83E-04	
	Wpl y, z [m 3]	1,02E-03	1,02E-03	
	c YLSS, ZLSS [mm]	80	80	
	d y, z [mm]	0	0	
	AL [m 2/m]	6,40E-01		

MSU: vzpěrný tlak + ohyb(bez ztráty stability)

Nd= -12,59 KN-vzpěrný tlak

Md= -2,42 KNm

-tlak:  $\sigma_{c,o,d} = \frac{Nd}{A} = \frac{12,59 \times 10^3}{25600} = 0,491 \text{ MPa}$

-ohyb:  $\sigma_{m,d} = \frac{Md}{W} = \frac{2,42 \times 10^6}{683000} = 3,543 \text{ MPa}$

vzpěrný tlak

$$i_y = \sqrt{\frac{I_y}{A}} = 46,18 \text{ mm} \quad i_z = \sqrt{\frac{I_z}{A}} = 46,18 \text{ mm}$$

Lef,y= 3010 mm -vybočení v rovině konstrukce

Lef,z= 3010 mm -vybočení z roviny konstrukce

-štíhlostní poměry:

$$\lambda_{y,z} = \frac{L_{ef}}{i} = \frac{3010}{46,18} = 65,18 \Rightarrow \text{rozhoduje}$$

-kritické napětí v tlaku:

$$\sigma_{c,crit} = \pi^2 \frac{E_{0,05}}{\lambda^2} = \pi^2 \frac{6700}{68,18^2} = 15,56 \text{ MPa}$$

$$\lambda_{rel} = \sqrt{\frac{f_{cok}}{\sigma_{c,crit}}} = \sqrt{\frac{20}{15,56}} = 1,13 \text{ MPa}$$

-součinitel pro prvky, splňující meze zakřivení

$\beta_c = 0,2$  -pro rostlé dřevo

-součinitel vzpěrnosti

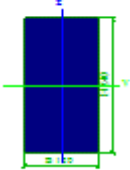
$$k = 0,5 \left[ 1 + \beta_c (\lambda_{rel} - 0,3) + \lambda_{rel}^2 \right] = 0,5 \left[ 1 + 0,2(1,13 - 0,3) + 1,13^2 \right] = 1,22$$

$$k_c = \frac{1}{k + \sqrt{k^2 - \lambda_{rel}^2}} = \frac{1}{1,22 + \sqrt{1,22^2 - 1,13^2}} = 0,595$$

posouzení:

$$\frac{\sigma_{c,o,d}}{k_c x f_{cod}} + \frac{\sigma_{m,d}}{f_{md}} = \frac{0,491}{0,595 \times 12,31} + \frac{3,543}{13,54} = 0,067 + 0,261 = 0,328 \leq 1 \Rightarrow \underline{\text{vyhovuje}}$$

### 6.3.9.6 Trám základový

	Jméno	TRM_ZKL_120/240	
	Detailní	120; 240	
	Typ	RECT	
	Material	C22	
	Výroba	Dřevo	
	Vzpěr y-y, z-z	b	
	Výpočet FEM	*	
	Obrázek		
	Material	C22	
	A [m 2]	2,88E-02	
	A y, z [m 2]	2,88E-02	2,88E-02
	I y, z [m 4]	1,38E-04	3,46E-05
	I t [m 4], w [m 6]	1,21E-04	0,00E+00
	alfa [deg]	0	
	Wel y, z [m 3]	1,15E-03	5,76E-04
	Wpl y, z [m 3]	1,73E-03	8,64E-04
	c YLSS, ZLSS [mm]	60	120
	d y, z [mm]	0	0
	AL [m 2/m]	7,20E-01	

MSU: ohyb(se ztrátou stability)

Md= -11,67 KNm

$$\text{-ohyb: } \sigma_{m,d} = \frac{Md}{W_y} = \frac{11,67 \times 10^6}{1152000} = 10,13 \text{ MPa}$$

-kritické napětí za ohybu:

Lef=0,9x3505=3155 mm

$$\sigma_{m,crit} = \frac{0,78xb^2xE_{0,05}}{hxLef} = \frac{0,78 \times 120^2 \times 6700}{240 \times 3155} = 99,38 \text{ MPa}$$

-poměrná štíhlost:

$$\lambda_{rel,m} = \sqrt{\frac{fmk}{\sigma_{m,crit}}} = \sqrt{\frac{22}{99,38}} = 0,470$$

-součinitel příčné a torzní stability: pro  $\lambda_{rel,m} \leq 0,75 \rightarrow k_{crit} = 1,0$

posouzení:

$$\frac{\sigma_{m,d}}{k_{crit} \times f_{md}} = \frac{10,13}{1,0 \times 13,54} = 0,748 \leq 1 \Rightarrow \underline{\text{vyhovuje}}$$

MSU:smyk za ohybu

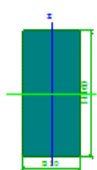
Vd= +/-13,32 KN

$$\text{-smyk: } \tau_d = \frac{3}{2} \times \frac{Q_d}{A} = \frac{3}{2} \times \frac{13,32 \times 10^3}{28800} = 0,693 \text{ MPa}$$

posouzení:

$$\tau_d = 0,693 \text{ MPa} \leq k_{cr} \times f_{vd} = 0,67 \times 1,47 = 0,9849 \text{ MPa} \Rightarrow \underline{\text{vyhovuje}}$$

### 6.3.9.7 Zavětrování

	Jméno	ZAVTR_80/160		
	Detailní	80; 160		
	Typ	RECT		
	Material	C22		
	Výroba	Dřevo		
	Vzpěr y-y, z-z	b		b
	Výpočet FEM	x		
	Obrázek			
	Material	C22		
	A [m 2]	1,28E-02		
	A y, z [m 2]	1,28E-02	1,28E-02	
	I y, z [m 4]	2,73E-05	6,83E-06	
	I t [m 4], w [m 6]	2,38E-05	0,00E+00	
	alfa [deg]	0		
	Wel y, z [m 3]	3,41E-04	1,71E-04	
	Wpl y, z [m 3]	5,12E-04	2,56E-04	
	c YLSS, ZLSS [mm]	40	80	
	d y, z [mm]	0	0	
	AL [m 2/m]	4,80E-01		

MSU: vzpěrný tlak

Nd= -7,80 KN-vzpěrný tlak

-tlak: 
$$\sigma_{c,o,d} = \frac{Nd}{A} = \frac{7,80 \times 10^3}{12800} = 0,609 \text{ MPa}$$

vzpěrný tlak

$$i_y = \sqrt{\frac{I_y}{A}} = 46,18 \text{ mm} \quad i_z = \sqrt{\frac{I_z}{A}} = 23,09 \text{ mm}$$

Lef,y= 3170 mm -vybočení v rovině konstrukce

Lef,z= 3170 mm -vybočení z roviny konstrukce

-štíhlostní poměry:

$$\lambda_{y,z} = \frac{L_{ef}}{i} = \frac{3170}{23,09} = 137,28 \Rightarrow \text{rozhoduje}$$

-kritické napětí v tlaku:

$$\sigma_{c,crit} = \pi^2 \frac{E_{0,05}}{\lambda^2} = \pi^2 \frac{6700}{137,28^2} = 3,508 \text{ MPa}$$

$$\lambda_{rel} = \sqrt{\frac{f_{cok}}{\sigma_{c,crit}}} = \sqrt{\frac{20}{3,508}} = 2,387 \text{ MPa}$$

-součinitel pro prvky, splňující meze zakřivení

$\beta_c = 0,2$  -pro rostlé dřevo

-součinitel vzpěrnosti

$$k = 0,5 \left[ 1 + \beta_c (\lambda_{rel} - 0,3) + \lambda_{rel}^2 \right] = 0,5 \left[ 1 + 0,2(2,387 - 0,3) + 2,387^2 \right] = 3,557$$

$$k_c = \frac{1}{k + \sqrt{k^2 - \lambda_{rel}^2}} = \frac{1}{3,557 + \sqrt{3,557^2 - 2,387^2}} = 0,161$$

posouzení:

$$\frac{\sigma_{c,o,d}}{k_c \cdot f_{cod}} = \frac{0,609}{0,161 \times 12,31} = 0,306 \leq 1 \Rightarrow \underline{\text{vyhovuje}}$$

MSU: tah

Nd= +7,80 KN-tah

-tlak:  $\sigma_{t,o,d} = \frac{Nd}{A} = \frac{7,80 \times 10^3}{12800} = 0,609 \text{ MPa}$

posouzení:

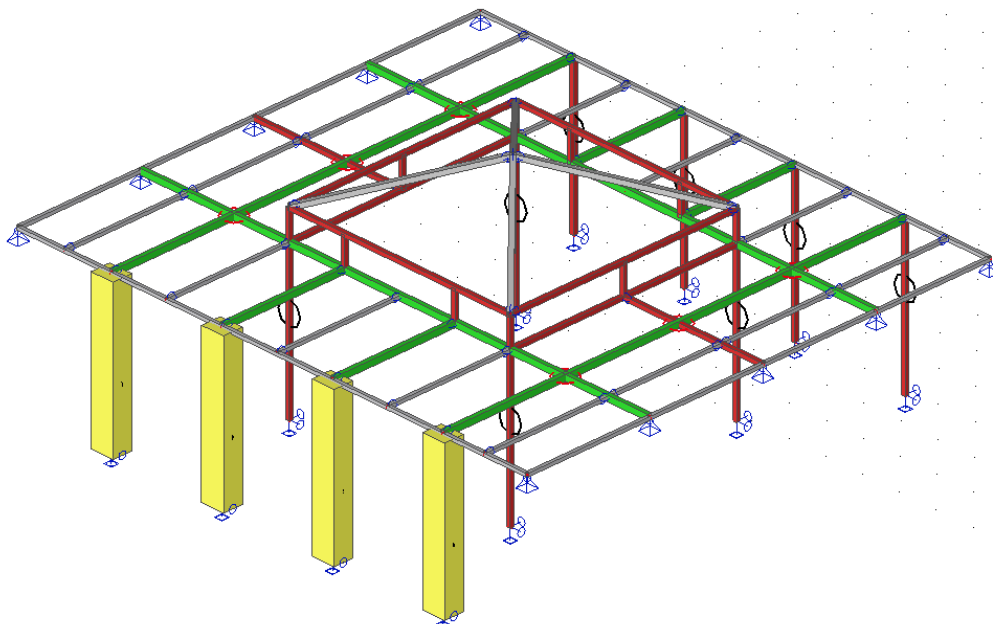
$$\frac{\sigma_{t,o,d}}{f_{tod}} = \frac{0,609}{8,00} = 0,076 \leq 1 \Rightarrow \underline{\text{vyhovuje}}$$

### 6.3.10 Předběžný výkaz-výměr

Jméno	Hmotnost [kg]	Povrch [m 2]	Objem [m 3]					
Celkový součet :	3652,39	314,82	1,07E+01					
Průřez	Materiál	Jednotková hmotnost [kg/m]	Délka [m]	Hmotnost [kg]	Povrch [m 2]	Objemová hmotnost [kg/m 3]	Objem [m 3]	
VAZ_PRVLK_120/120 - RECT (120; 120)	C22	4,9	79,8	390,7	38,304	340	1,15E+00	
VAZ_KROKV_120/160 - RECT (120; 160)	C22	6,53	109,86	717,16	61,521	340	2,11E+00	
VAZ_VZP_120/120 - RECT (120; 120)	C22	4,9	52,056	254,86	24,987	340	7,50E-01	
POZDN_160/160 - RECT (160; 160)	C22	8,7	37,89	329,79	24,25	340	9,70E-01	
SLP_160/160 - RECT (160; 160)	C22	8,7	15,75	137,09	10,08	340	4,03E-01	
SLP_80/160 - RECT (80; 160)	C22	4,35	111,145	483,7	53,35	340	1,42E+00	
ZAVTR_80/160 - RECT (80; 160)	C22	4,35	83,224	362,19	39,947	340	1,07E+00	
TRM_ZKL-OBVD_160/240 - RECT (160; 240)	C22	13,06	59,05	770,96	47,24	340	2,27E+00	
TRM_ZKL_120/240 - RECT (120; 240)	C22	9,79	21,03	205,93	15,142	340	6,06E-01	

## 6.4. Posouzení zastřešení atria\_110\_hlavní objekt

### 6.4.1. Model konstrukce.



Zastřešení atria soustavou ocel. válcovaných nosníků, střecha plochá ve středu se „stanovým světlíkem“. Zastřešení je uloženo částečně na obvodové zdivo okolních objektů a částečně na vlastních sloupech, taktéž z ocel. válcovaných profilů a stávajících zděných pilířích uzavírajících prostor atria.

Stávající zděné pilíře z CP b x h , 600 x 500 mm, výšky 3,140 metru založené na základových patkách cca. 1,0 x 1,0 metru do hloubky 0,6 – 0,7 metru pod terén (potvrzeno STP). Dle STP určena návrh. pevnost  $f_d=2,29$  MPa, dle STP zemina v základech klasifikována jako G3-G-F s orientační únosností  $R_d=360$  KPa

Celá konstrukce je řešena jako staticky neurčitý 2D rovinný rošt. Krajní podpory kloubové-neposuvné, sloupy řešeny jako stojky

### 6.4.2. Protokol o výpočtu

Počet 2D prvků	0
Počet 1D prvků	120
Počet uzlů sítě	81
Počet rovnic	486
Zatěžovací stavy	ZS 1 4.0_go
	ZS 2 4.1_gk
	ZS 3 2.0_sk
	ZS 4 3.0_qk
	ZS 5 1.1_wk0
	ZS 6 1.2_wk90
Ohybová teorie	Mindlin
Spuštění výpočtu	1.4.2018 18:46
Konec výpočtu	1.4.2018 18:46

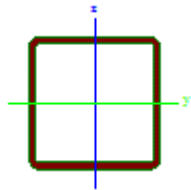
### 6.4.3. Materiály

Ocel. válcované profily z konstrukční oceli S235, stávající pilíře zděné z CP s  $f_d=2,29$  MPa.

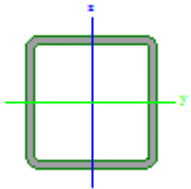


#### 6.4.4. Průřezy

Primární ocel. nosníky:

	<b>Jméno</b>	JA 150/100/5,0	
	<b>Typ</b>	VHP150/100x5.0	
	<b>Zdroj hodnot</b>	VHP - Technische Daten / Voest-Alpine Krems / 04/99	
	<b>Materiál</b>	S 235	
	<b>Výroba</b>	tvářený za studena	
	<b>Vzpěr y-y, z-z</b>	c	
	<b>Obrázek</b>		
	<b>A [m 2]</b>	2,34E-03	
	<b>A y, z [m 2]</b>	9,36E-04	1,40E-03
	<b>I y, z [m 4]</b>	7,19E-06	3,84E-06
	<b>I w [m 6], t [m 4]</b>	1,17E-08	8,07E-06
	<b>Wel y, z [m 3]</b>	9,59E-05	7,68E-05
	<b>Wpl y, z [m 3]</b>	1,16E-04	8,82E-05
	<b>d y, z [mm]</b>	0	0
	<b>c YLSS, ZLSS [mm]</b>	50	75
	<b>alfa [deg]</b>	0	
	<b>AL [m 2/m]</b>	4,88E-01	

Sekundární ocel. nosníky:

	Jméno	JA 80/80/5,0	
	Typ	SHS80/80/5.0	
	Zdroj hodnot	British Standard / BS 5950 part 1 : 1990 & EN 10210-2	
	Materiál	S 235	
	Výroba	tvářený za studena	
	Vzpěr y-y, z-z	c	
	Obrázek		
	A [m 2]	1,47E-03	
	A y, z [m 2]	7,35E-04	7,35E-04
	I y, z [m 4]	1,37E-06	1,37E-06
	I w [m 6], t [m 4]	1,37E-09	2,17E-06
	Wel y, z [m 3]	3,42E-05	3,42E-05
	Wpl y, z [m 3]	4,06E-05	4,06E-05
	d y, z [mm]	0	0
	c YLSS, ZLSS [mm]	40	40
	alfa [deg]	0	
	AL [m 2/m]	3,12E-01	



Stávající zděné pilíře z CP:

<b>Jméno</b>	ZDN_PILIR_500/600	
<b>Typ</b>	RECT	
<b>Detailní</b>	600; 500	
<b>Materiál</b>	ZDIVO CP	
<b>Výroba</b>	obecný	
<b>Vzpěr y-y, z-z</b>	b	b
<b>Výpočet FEM</b>	✓ x o x	
<b>Obrázek</b>		
<b>A [m 2]</b>	3,00E-01	
<b>A y, z [m 2]</b>	2,50E-01	2,50E-01
<b>I y, z [m 4]</b>	9,00E-03	6,25E-03
<b>I w [m 6], t [m 4]</b>	0,00E+00	1,25E-02
<b>Wel y, z [m 3]</b>	3,00E-02	2,50E-02
<b>Wpl y, z [m 3]</b>	4,50E-02	3,75E-02
<b>d y, z [mm]</b>	0	0
<b>c YLSS, ZLSS [mm]</b>	250	300
<b>alfa [deg]</b>	0	
<b>AL [m 2/m]</b>	2,20E+00	

#### 6.4.5. Zatěžovací stavy

Jméno	Popis	Typ působení	Skupina zatížení	Typ zatížení	Spec	Směr	Působení	Rídící zat. stav
4.0_go	vl tíha	Stálé	stale	Vlastní tíha		-Z		
4.1_gk	stes_plast	Stálé	stale	Standard				
2.0_sk	snih	Nahodilé	snih	Statické	Standard		Střednědobé	Žádný
3.0_qk	uzitne	Nahodilé	uzit-str	Statické	Standard		Krátkodobé	Žádný
1.1_wk0	vitř-sani	Nahodilé	vitř	Statické	Standard		Krátkodobé	Žádný
1.2_wk90	vitř-sani	Nahodilé	vitř	Statické	Standard		Krátkodobé	Žádný

#### 6.4.6. Kombinace

uvažované kombinace KZS: pro mezní stavy únosnosti typu STR/GEO: (s vl. tíhou)

obecná kombinace: varianta B

$$6.10a \sum \gamma_G G_k + \psi_0 \gamma_{Q,1} Q_{k,1,hlavní} + \sum_{i \geq 1} \psi_0 \gamma_{Q,i} Q_{k,i}$$

$$6.10b \sum \xi_j \times \gamma_G G_k + \gamma_{Q,1} Q_{k,1,hlavní} + \sum_{i \geq 1} \psi_0 \gamma_{Q,i} Q_{k,i}$$

$$\xi_j = 0,85$$

kombinační součinitele:

-pro proměnné zatížení: užité pro střechy kategorie H →  $\psi_0 = 0$  ,  $\psi_1 = 0$  ,  $\psi_2 = 0$

-pro proměnné zatížení: klimatickými vlivy sněh do  $h \leq 1000$  m.n. →  $\psi_0 = 0,5$  ,  $\psi_1 = 0,2$  ,  $\psi_2 = 0$

-pro proměnné zatížení: klimatickými vlivy vítr. →  $\psi_0 = 0,6$  ,  $\psi_1 = 0,2$  ,  $\psi_2 = 0$

#### Kombinace

Jméno	Typ	Zatěžovací stavy	Souč. [-]
6.10_a01	EN - MSÚ (STR)	2.0_sk - snih	0,75
		4.0_go - vl tiha	1,35
		4.1_gk - stes_plast	1,35
6.10_b01	EN - MSÚ (STR)	2.0_sk - snih	1,5
		4.0_go - vl tiha	1,15
		4.1_gk - stes_plast	1,15
6.10_b02	EN - MSÚ (STR)	3.0_qk - uzitne	1,5
		4.0_go - vl tiha	1,15
		4.1_gk - stes_plast	1,15
6.10_01	EN - MSÚ (STR)	1.1_wk0 - vitr-sani	1,5
		4.0_go - vl tiha	1
		4.1_gk - stes_plast	1
6.10_02	EN - MSÚ (STR)	1.2_wk90 - vitr-sani	1,5
		4.0_go - vl tiha	1
		4.1_gk - stes_plast	1

uvažované kombinace KZS: pro mezní stavy použitelnosti:

charakteristická kombinace:  $\sum G_k + Q_{k,1,hlavní} + \sum_{i \geq 1} \psi_{0,i} Q_{k,i}$

třída trvání zatížení: sníh-střednědobé, vítr – krátkodobé

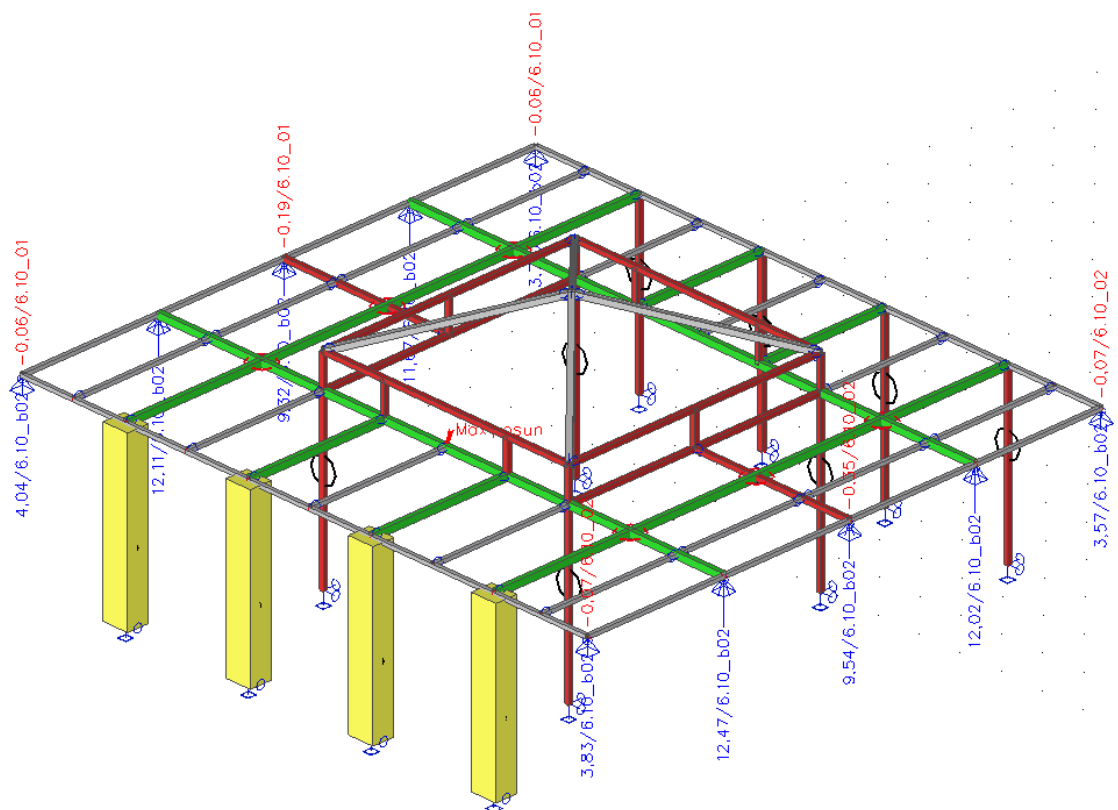
#### Kombinace

Jméno	Typ	Zatěžovací stavy	Souč. [-]
001	EN-MSP char.	2.0_sk - snih	1
		4.0_go - vl tiha	1
		4.1_gk - stes_plast	1
002	EN-MSP char.	1.1_wk0 - vitr-sani	1
		4.0_go - vl tiha	1
		4.1_gk - stes_plast	1
003	EN-MSP char.	1.2_wk90 - vitr-sani	1
		4.0_go - vl tiha	1
		4.1_gk - stes_plast	1

### 6.4.7. Reakce podpor

Lineární výpočet, Extrém : Globální

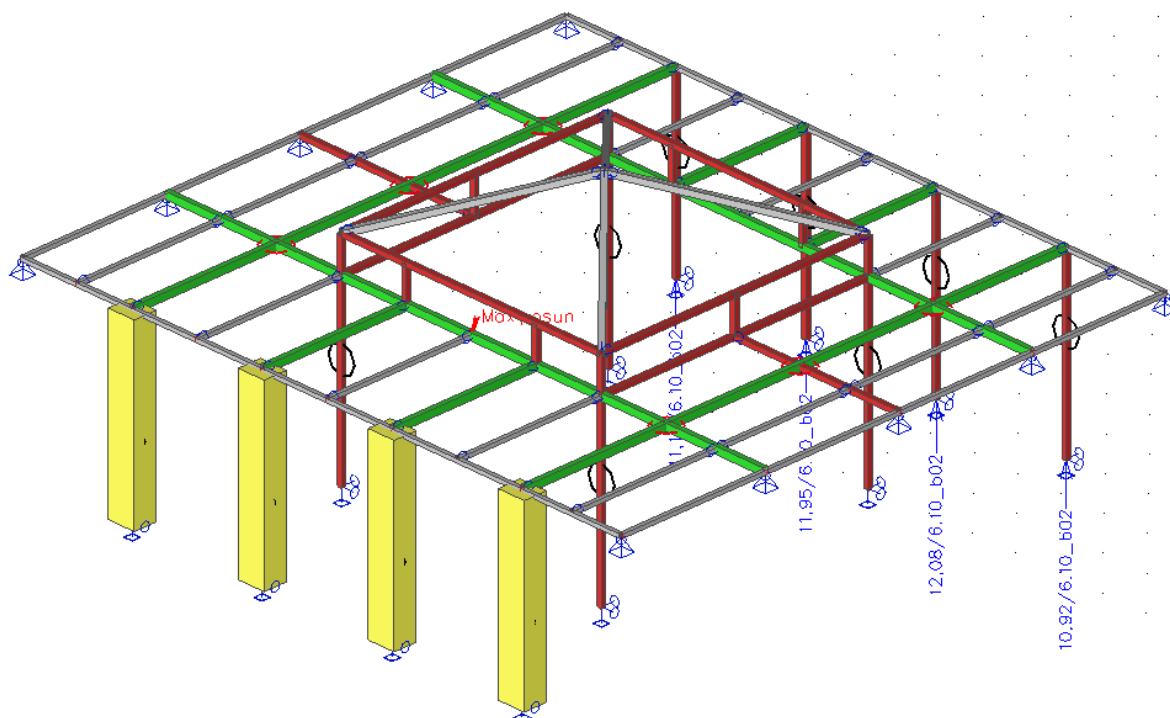
$R_z$  [kN]-reakce v uložení sekundárních nosníků do bočních stěn



Lineární výpočet, Extrém : Uzel							
Výběr : Sn19, Sn9, Sn10, Sn20, Sn21, Sn14, Sn13, Sn12, Sn22							
Třída : MSU							
Podpora	Stav	Rx [kN]	Ry [kN]	Rz [kN]	Mx [kNm]	My [kNm]	Mz [kNm]
Sn19/N53	6.10_01/3	-1,48	1,26	-0,06	0	0	0
Sn19/N53	6.10_02/2	0,96	-0,83	-0,07	0	0	0
Sn19/N53	6.10_b02/1	0	0	3,83	0	0	0
Sn19/N53	6.10_a01/4	0	0	1,52	0	0	0
Sn9/N27	6.10_01/3	-0,17	2,07	0,08	0	0	0
Sn9/N27	6.10_a01/4	0,91	0	5,22	0	0	0
Sn9/N27	6.10_02/2	0,4	-1,4	0,12	0	0	0
Sn9/N27	6.10_b02/1	0,66	0	12,47	0	0	0
Sn10/N25	6.10_02/2	-1,56	-1,83	-0,35	0	0	0
Sn10/N25	6.10_01/3	1,5	2,69	-0,23	0	0	0

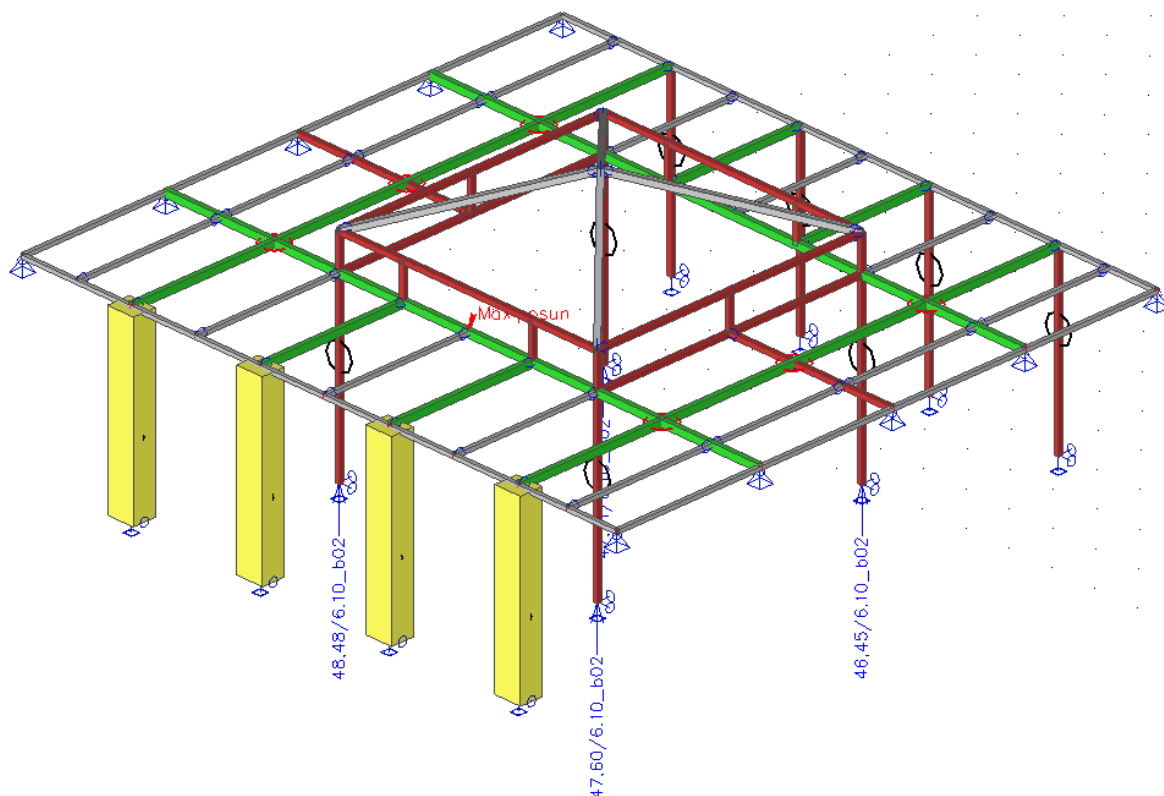
Sn10/N25	6.10_b02/1	- 0,05	0	<b>9,54</b>	0	0	0
Sn10/N25	6.10_a01/4	- 0,02	0	3,74	<b>0</b>	<b>0</b>	<b>0</b>
Sn20/N55	6.10_02/2	- <b>1,11</b>	- <b>0,98</b>	<b>-0,07</b>	0	0	0
Sn20/N55	6.10_01/3	<b>1,69</b>	<b>1,44</b>	-0,06	0	0	0
Sn20/N55	6.10_b02/1	0	0	<b>3,57</b>	0	0	0
Sn20/N55	6.10_a01/4	0	0	1,41	<b>0</b>	<b>0</b>	<b>0</b>
Sn21/N54	6.10_01/3	- <b>1,55</b>	<b>1,22</b>	<b>-0,06</b>	0	0	0
Sn21/N54	6.10_02/2	<b>1,02</b>	- <b>0,84</b>	-0,06	0	0	0
Sn21/N54	6.10_b02/1	0	0	<b>3,78</b>	0	0	0
Sn21/N54	6.10_a01/4	0	0	1,5	<b>0</b>	<b>0</b>	<b>0</b>
Sn14/N32	6.10_02/2	- <b>2,18</b>	- <b>1,41</b>	<b>0,14</b>	0	0	0
Sn14/N32	6.10_b01/5	- <b>0,11</b>	0,01	6,94	0	0	0
Sn14/N32	6.10_01/3	-0,6	<b>2</b>	0,17	0	0	0
Sn14/N32	6.10_b02/1	- 0,54	0,01	<b>11,67</b>	0	0	0
Sn14/N32	6.10_a01/4	- 0,87	0,01	4,93	<b>0</b>	<b>0</b>	<b>0</b>
Sn13/N31	6.10_01/3	<b>-1,5</b>	<b>2,29</b>	<b>-0,19</b>	0	0	0
Sn13/N31	6.10_02/2	<b>0,07</b>	- <b>1,56</b>	-0,09	0	0	0
Sn13/N31	6.10_b02/1	0,06	0	<b>9,32</b>	0	0	0
Sn13/N31	6.10_a01/4	0,02	0	3,68	<b>0</b>	<b>0</b>	<b>0</b>
Sn12/N29	6.10_02/2	- <b>2,58</b>	- <b>1,22</b>	<b>0,11</b>	0	0	0
Sn12/N29	6.10_b01/5	- <b>0,19</b>	0	7,18	0	0	0
Sn12/N29	6.10_01/3	- 0,77	<b>1,81</b>	0,12	0	0	0
Sn12/N29	6.10_b02/1	- 0,67	0	<b>12,11</b>	0	0	0
Sn12/N29	6.10_a01/4	- 0,92	0	5,09	<b>0</b>	<b>0</b>	<b>0</b>
Sn22/N52	6.10_02/2	- <b>0,89</b>	- <b>0,71</b>	-0,06	0	0	0
Sn22/N52	6.10_01/3	<b>1,35</b>	<b>1,07</b>	<b>-0,06</b>	0	0	0
Sn22/N52	6.10_b02/1	0	0	<b>4,04</b>	0	0	0
Sn22/N52	6.10_a01/4	0	0	1,6	<b>0</b>	<b>0</b>	<b>0</b>

$R_z$  [kN]-reakce pod ocel. sloupky zastřešení atria



Lineární výpočet, Extrém : Uzel							
Výběr : Sn25, Sn26, Sn27, Sn28							
Třída : MSU							
Podpora	Stav	Rx [kN]	Ry [kN]	Rz [kN]	Mx [kNm]	My [kNm]	Mz [kNm]
Sn25/N72	6.10_b02/1	0	0	10,92	0	0	0
Sn25/N72	6.10_01/3	0	0	0,21	0	0	0
Sn25/N72	6.10_02/2	0	0	0,12	0	0	0
Sn25/N72	6.10_a01/4	0	0	4,67	0	0	0
Sn26/N73	6.10_01/3	0	0	0,33	0	0	0
Sn26/N73	6.10_b02/1	0	0	12,08	0	0	0
Sn26/N73	6.10_02/2	0	0	0,34	0	0	0
Sn26/N73	6.10_a01/4	0	0	5,27	0	0	0
Sn27/N74	6.10_b02/1	0	0	11,95	0	0	0
Sn27/N74	6.10_01/3	0	0	0,33	0	0	0
Sn27/N74	6.10_02/2	0	0	0,33	0	0	0
Sn27/N74	6.10_a01/4	0	0	5,21	0	0	0
Sn28/N75	6.10_02/2	0	0	0,26	0	0	0
Sn28/N75	6.10_b02/1	0	0	11,1	0	0	0
Sn28/N75	6.10_01/3	0	0	0,2	0	0	0
Sn28/N75	6.10_a01/4	0	0	4,75	0	0	0

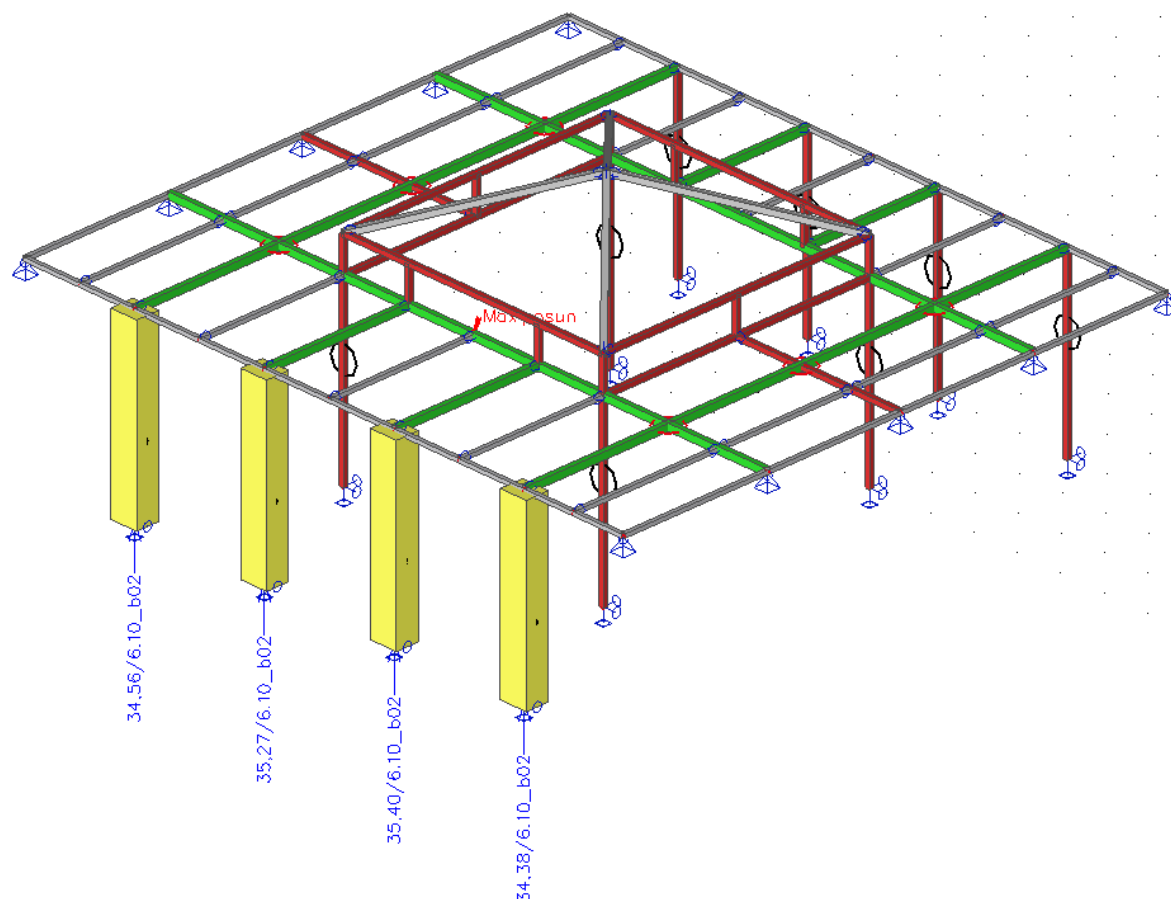
$R_z$  [kN]-reakce pod ocel. sloupky světlíku



Lineární výpočet, Extrém : Uzel							
Výběr : Sn15, Sn16, Sn17, Sn18							
Třída : MSU							
Podpora	Stav	Rx [kN]	Ry [kN]	Rz [kN]	Mx [kNm]	My [kNm]	Mz [kNm]
Sn15/N44	6.10_b02/1	0	0	47,6	0	0	0
Sn15/N44	6.10_02/2	0	0	18,49	0	0	0
Sn15/N44	6.10_01/3	0	0	17,79	0	0	0
Sn15/N44	6.10_a01/4	0	0	30,52	0	0	0
Sn16/N45	6.10_b02/1	0	0	46,45	0	0	0
Sn16/N45	6.10_02/2	0	0	18,11	0	0	0
Sn16/N45	6.10_01/3	0	0	9,51	0	0	0
Sn16/N45	6.10_a01/4	0	0	30,09	0	0	0
Sn17/N46	6.10_01/3	0	0	8,93	0	0	0
Sn17/N46	6.10_b02/1	0	0	47,31	0	0	0
Sn17/N46	6.10_02/2	0	0	9,3	0	0	0
Sn17/N46	6.10_a01/4	0	0	30,47	0	0	0
Sn18/N47	6.10_01/3	0	0	18,43	0	0	0
Sn18/N47	6.10_b02/1	0	0	48,48	0	0	0
Sn18/N47	6.10_02/2	0	0	8,83	0	0	0
Sn18/N47	6.10_a01/4	0	0	30,91	0	0	0



$R_z$  [kN]-reakce pod zděným. pilířem



Lineární výpočet, Extrém : Uzel							
Výběr : Sn2, Sn1, Sn3, Sn4							
Třída : MSU							
Podpora	Stav	Rx [kN]	Ry [kN]	Rz [kN]	Mx [kNm]	My [kNm]	Mz [kNm]
Sn2/N13	6.10_02/2	0	-3,1	20,06	0	0	0
Sn2/N13	6.10_b02/1	0	0	35,4	0	0	0
Sn2/N13	6.10_01/3	0	2,76	20,06	0	0	0
Sn2/N13	6.10_a01/4	0	0	32,16	0	0	0
Sn1/N1	6.10_b02/1	0	0	34,38	0	0	0
Sn1/N1	6.10_02/2	0	-3,1	19,85	0	0	0
Sn1/N1	6.10_01/3	0	2,76	19,9	0	0	0
Sn1/N1	6.10_a01/4	0	0	31,62	0	0	0
Sn3/N15	6.10_b02/1	0	0	35,27	0	0	0
Sn3/N15	6.10_02/2	0	-3,1	20,05	0	0	0
Sn3/N15	6.10_01/3	0	2,76	20,06	0	0	0
Sn3/N15	6.10_a01/4	0	0	32,1	0	0	0
Sn4/N3	6.10_02/2	0	-3,1	19,97	0	0	0
Sn4/N3	6.10_b02/1	0	0	34,56	0	0	0
Sn4/N3	6.10_01/3	0	2,76	19,91	0	0	0
Sn4/N3	6.10_a01/4	0	0	31,69	0	0	0

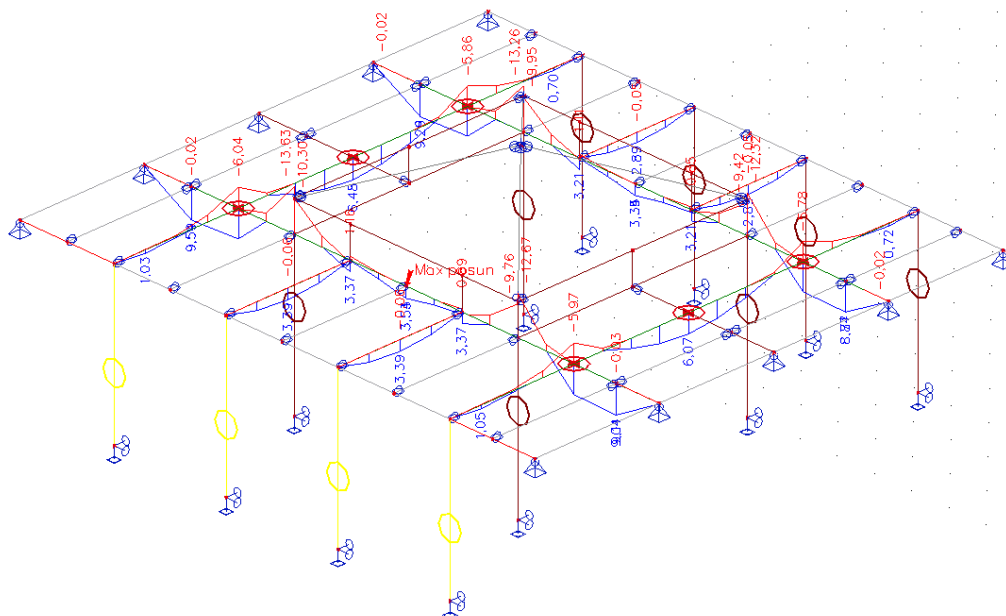
#### 6.4.8. Analýza vnitřních sil, průhyby.

Vnitřní síly na prutu

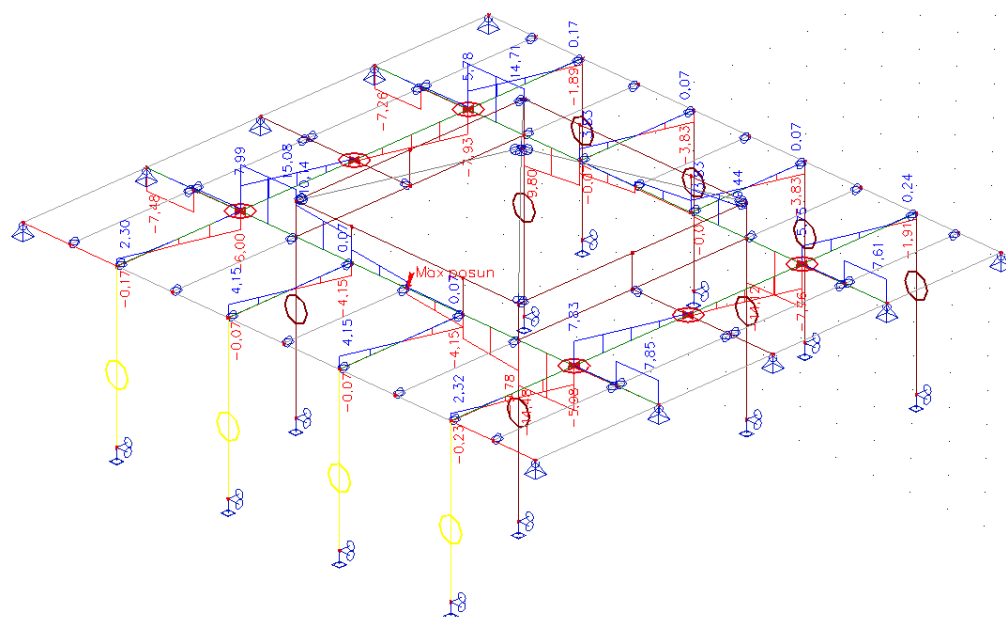
Lineární výpočet, Extrém : Globální, Systém : Hlavní

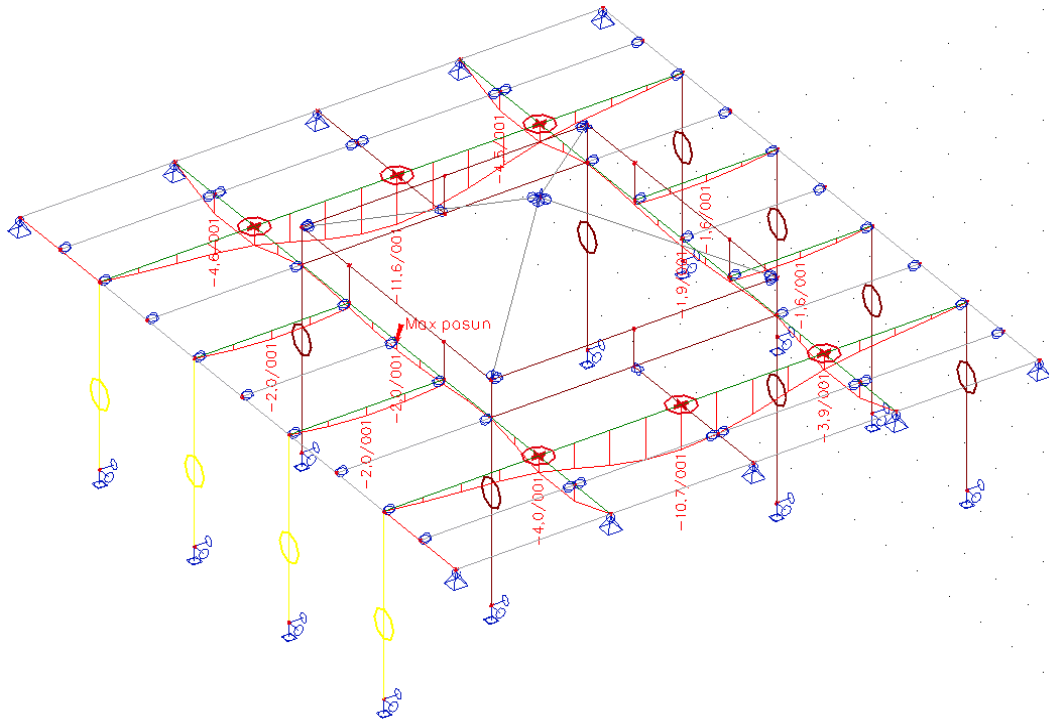
Primární ocel. nosníky

$M_y$  [kNm]



$V_z$  [kN]

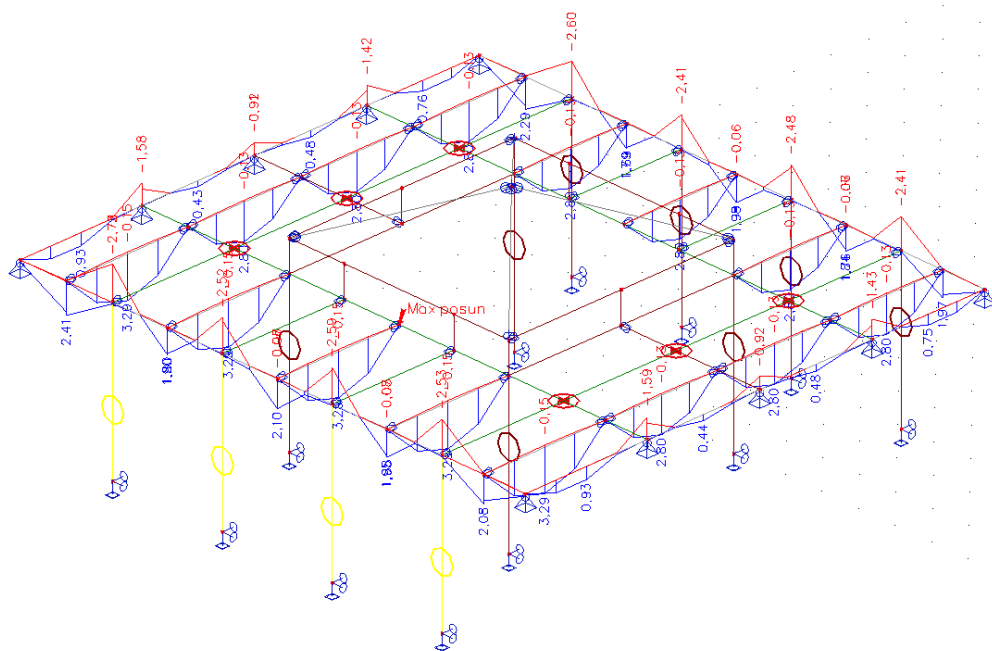


$$def [mm]$$


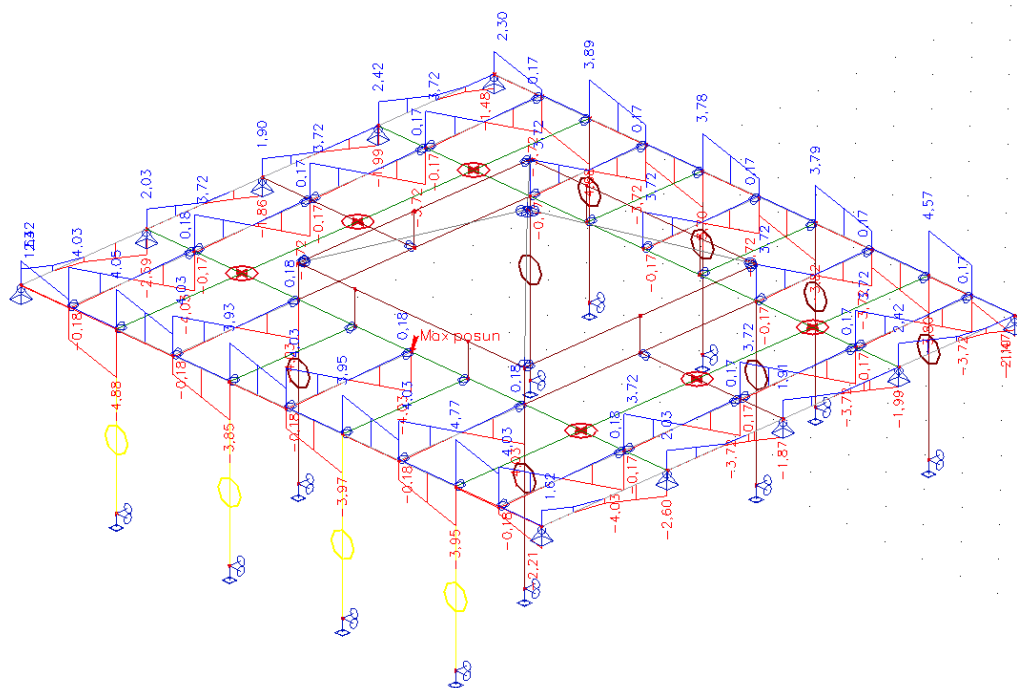
**Výsledný průhyb-svislý 1/1061 rozpětí – VYHOVÍ**  
**Výsledný průhyb-svislý 1/1632 rozpětí – VYHOVÍ**

## Sekundární ocel. nosníky

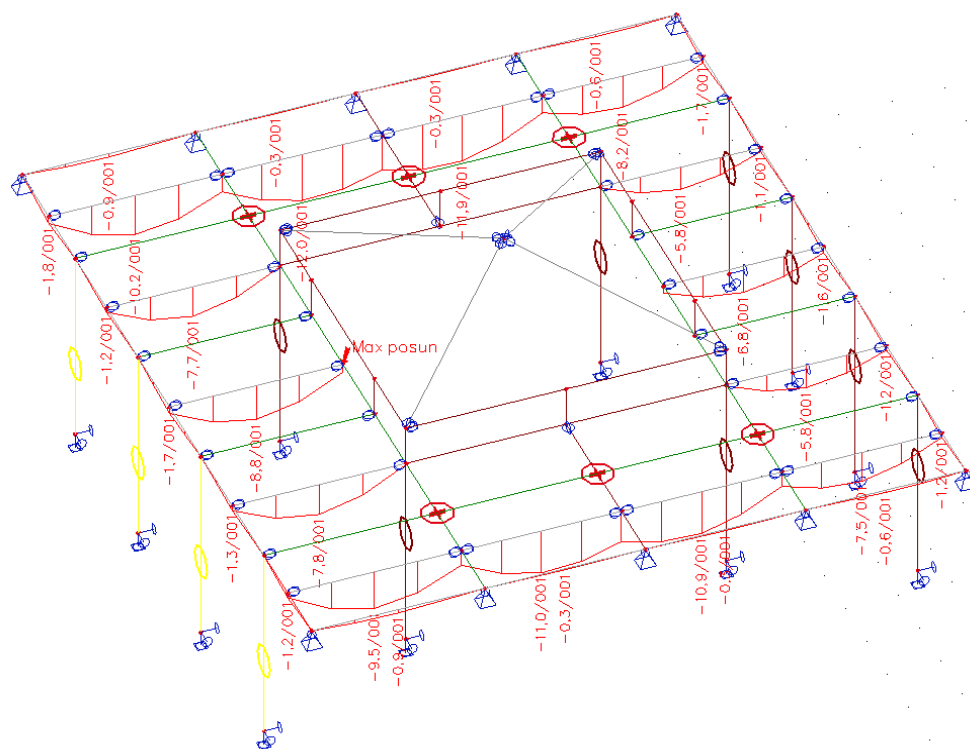
$M_y$  [kNm]



$V_z$  [kN]

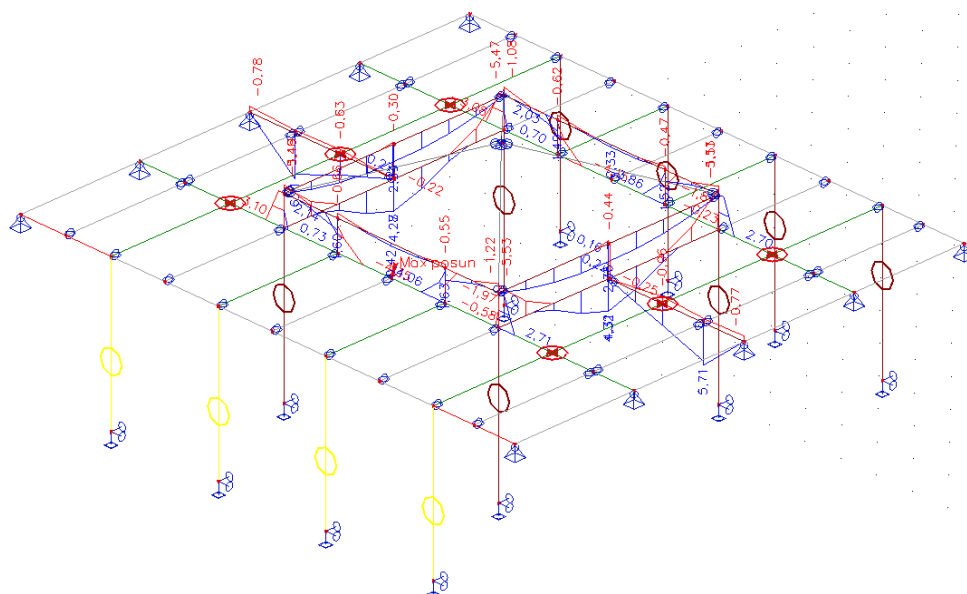


def [mm]

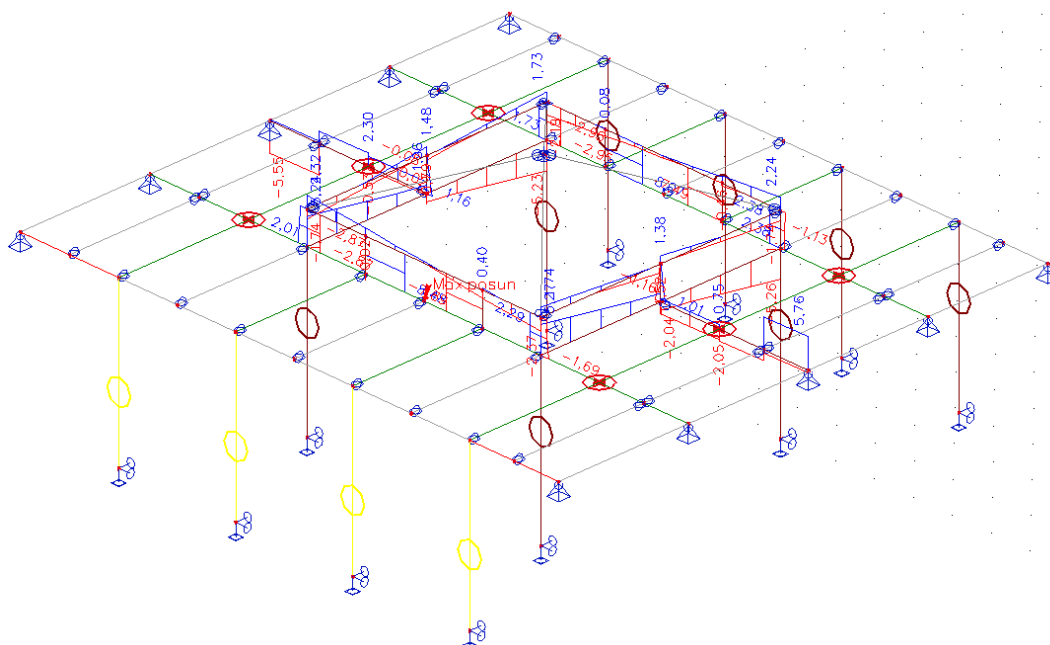


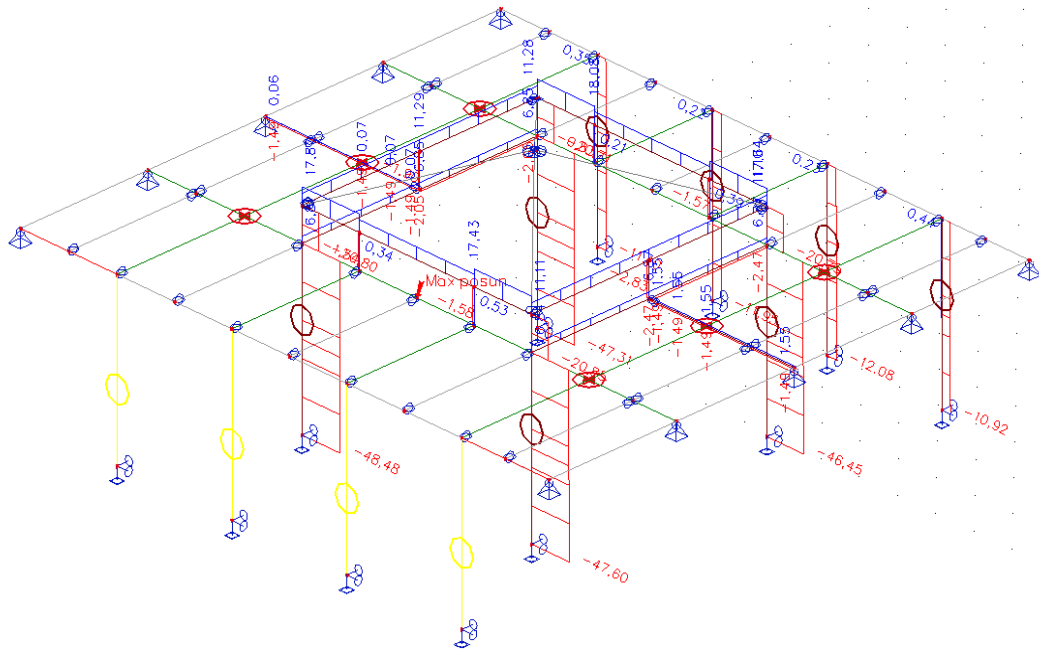
Výsledný průhyb-svislý 1/1025 rozpětí – VYHOVÍ  
Výsledný průhyb-svislý 1/371 rozpětí – VYHOVÍ

$M_y$  [kNm]

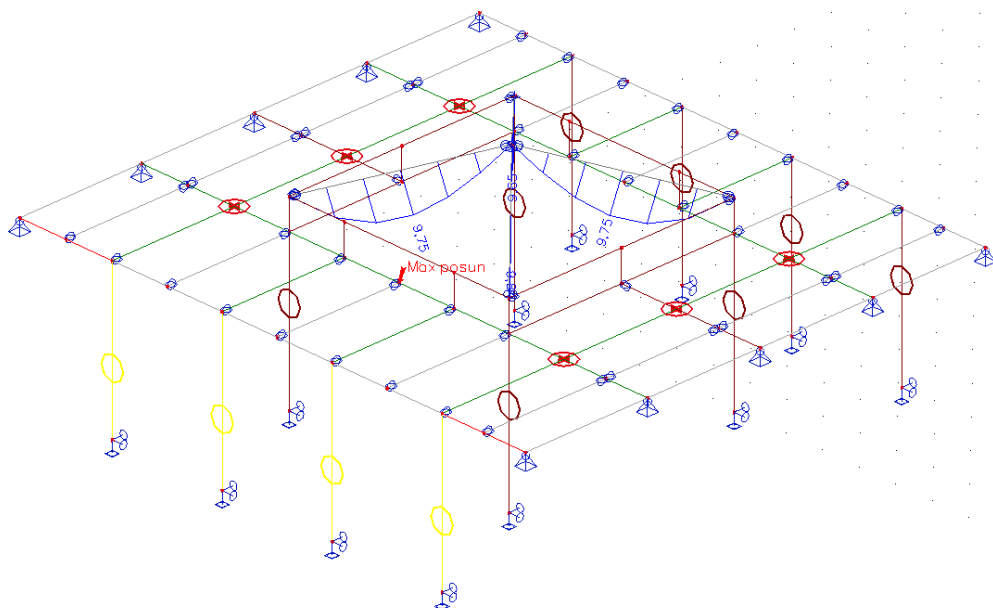


$V_z$  [kN]

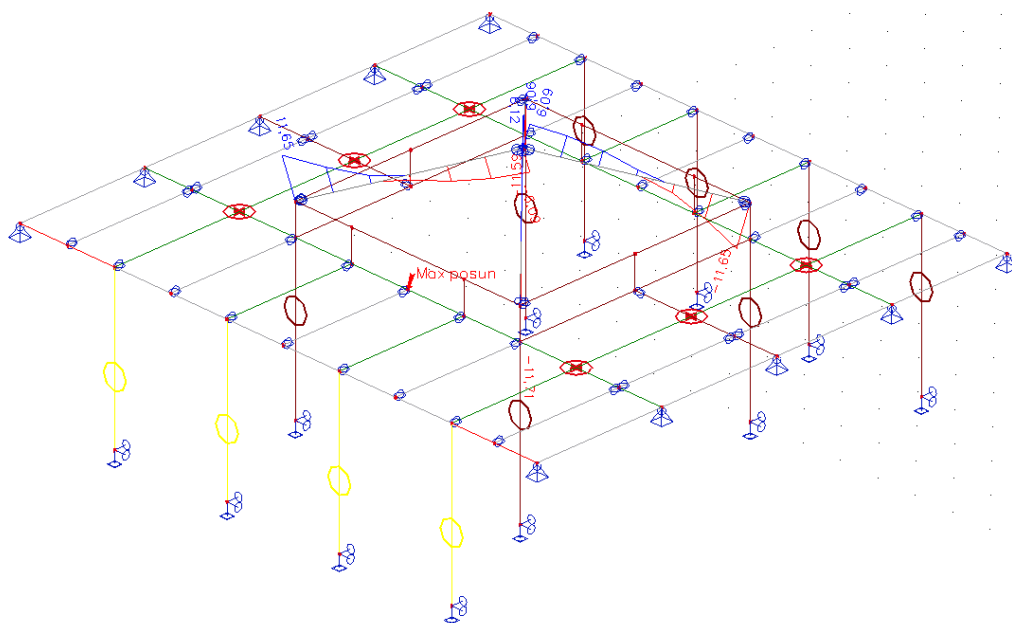


$N_x \text{ [kN]}$ 

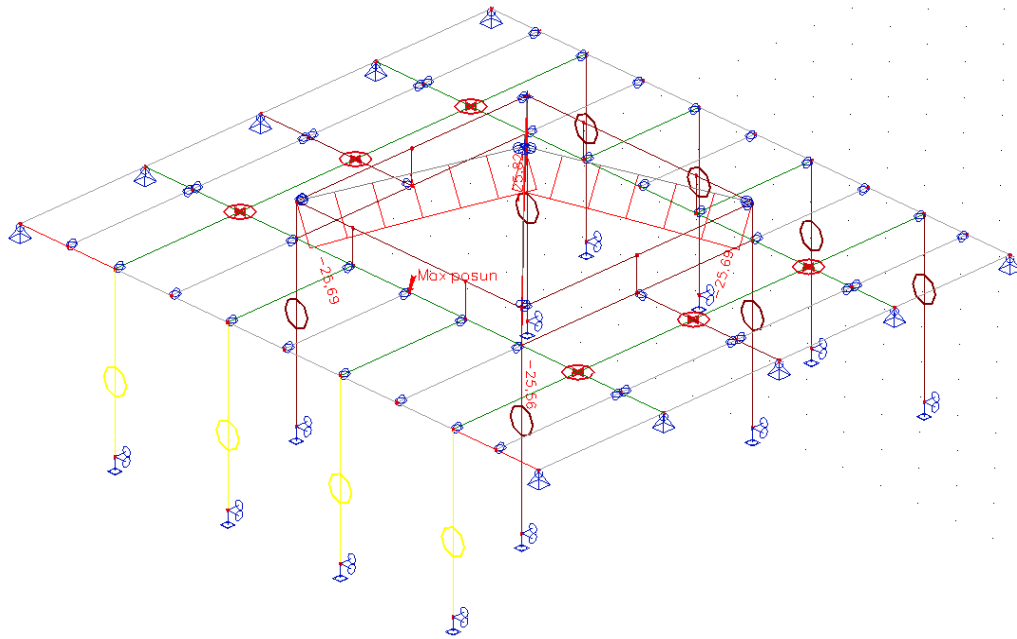
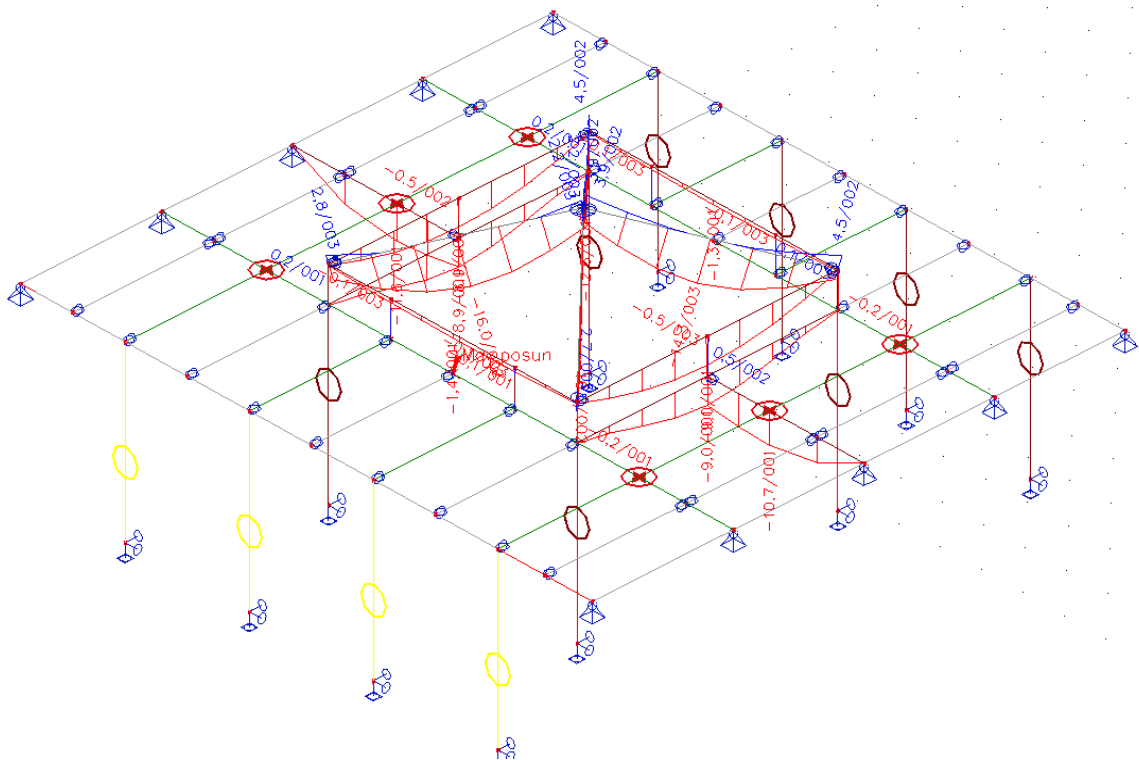
$M_y$  [kNm]



$V_z$  [kN]



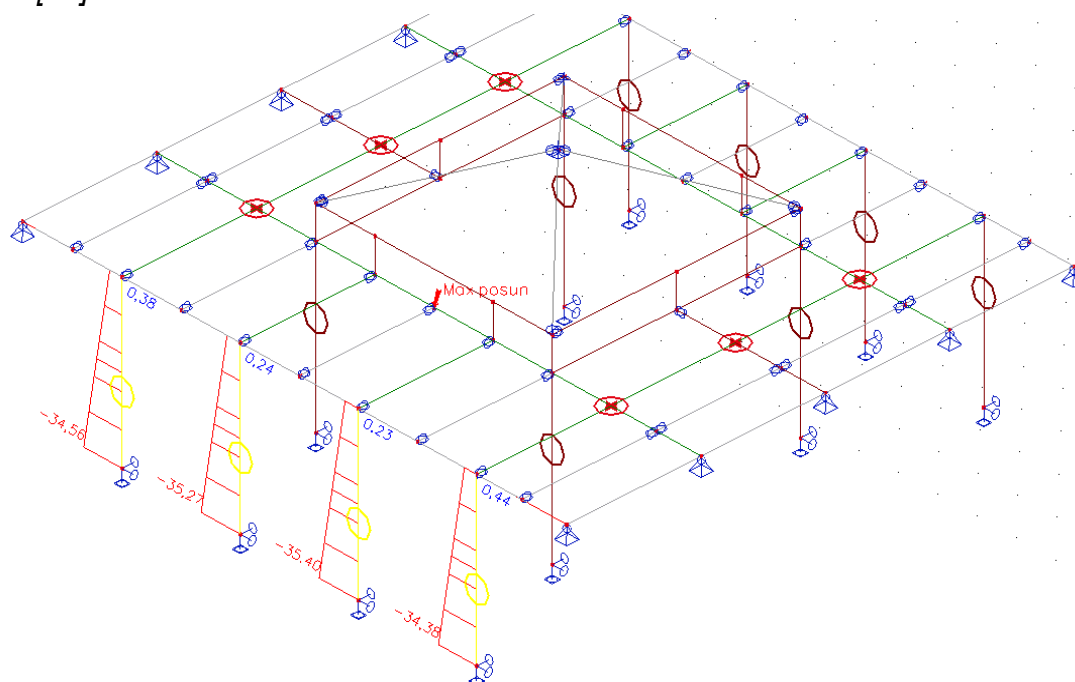


$N_x [kN]$ 
$$\text{def } [mm]$$


### Výsledný průhyb-svislý 1/275 rozpětí – VYHOVÍ

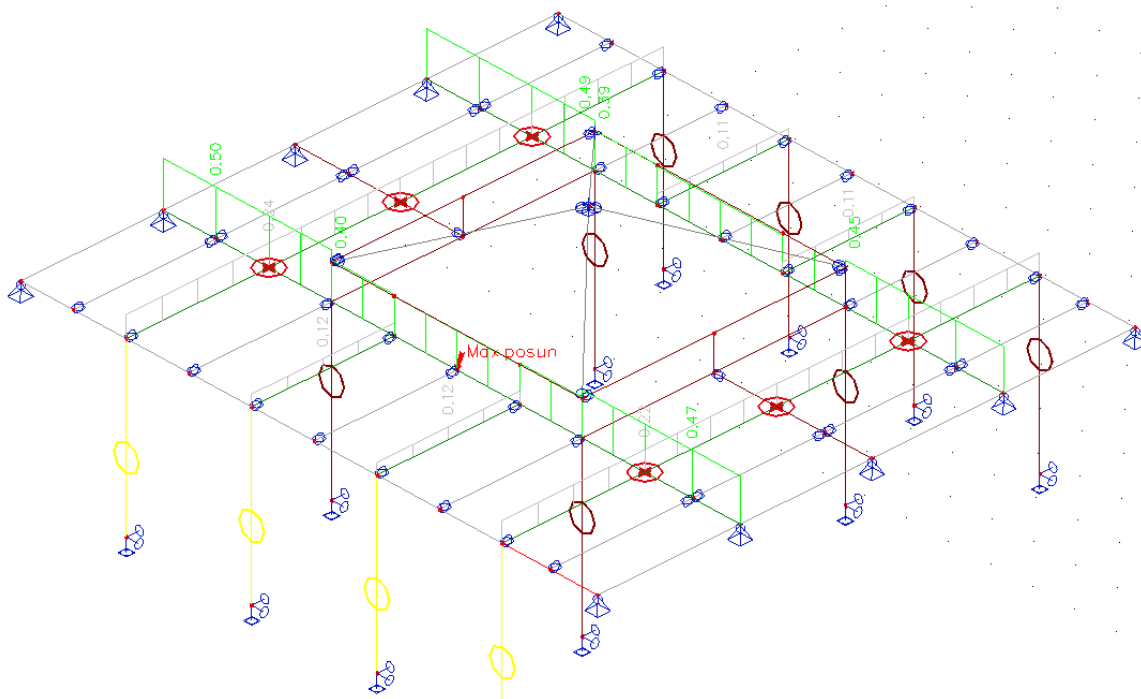
Stávající zděné pilíře z CP:

$N_x$  [kN]



## 6.4.9. Posouzení

Primární ocel. nosníky: □ 150x100x5,0

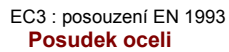


EC3 : posouzení EN 1993

### Posudek oceli

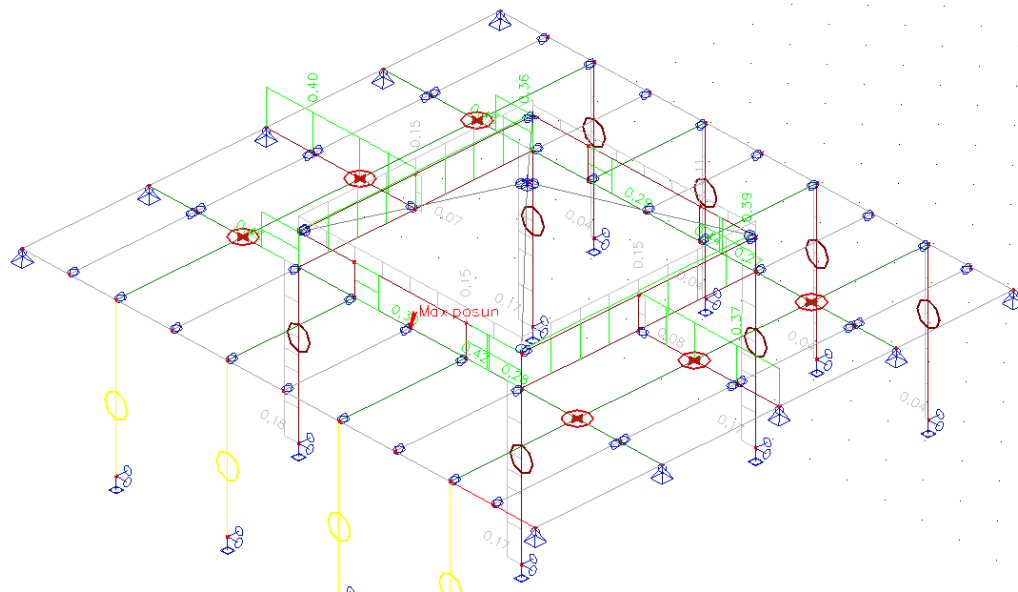
Stav	Prut	css	mat	dx [mm]	jed.posudek [-]	pevnost [-]	stab. posudek [-]
6.10_b02/1	B9	JA 150/100/5,0 - VHP150/100x5,0	S 235	0	0,4	0,38	0,4
6.10_b02/1	B11	JA 150/100/5,0 - VHP150/100x5,0	S 235	6000	0,39	0,36	0,39
6.10_b02/1	B13	JA 150/100/5,0 - VHP150/100x5,0	S 235	3265	0,22	0,22	0,22
6.10_b02/1	B14	JA 150/100/5,0 - VHP150/100x5,0	S 235	3265	0,24	0,22	0,24
6.10_b02/1	B20	JA 150/100/5,0 - VHP150/100x5,0	S 235	1142,5	0,47	0,33	0,47
6.10_b02/1	B21	JA 150/100/5,0 - VHP150/100x5,0	S 235	3785	0,45	0,45	0,45
6.10_b02/1	B22	JA 150/100/5,0 - VHP150/100x5,0	S 235	2765	0,5	0,35	0,5
6.10_b02/1	B24	JA 150/100/5,0 - VHP150/100x5,0	S 235	0	0,49	0,48	0,49
6.10_b02/1	B25	JA 150/100/5,0 - VHP150/100x5,0	S 235	1632,49	0,12	0,12	0,12
6.10_b02/1	B26	JA 150/100/5,0 - VHP150/100x5,0	S 235	1632,49	0,12	0,12	0,12
6.10_b02/1	B37	JA 150/100/5,0 - VHP150/100x5,0	S 235	1507,49	0,11	0,11	0,11
6.10_b02/1	B38	JA 150/100/5,0 - VHP150/100x5,0	S 235	1507,49	0,11	0,11	0,11

---



D.1.2b - Stavebně konstrukční řešení  
Projektová dokumentace pro územní řízení+stavební povolení

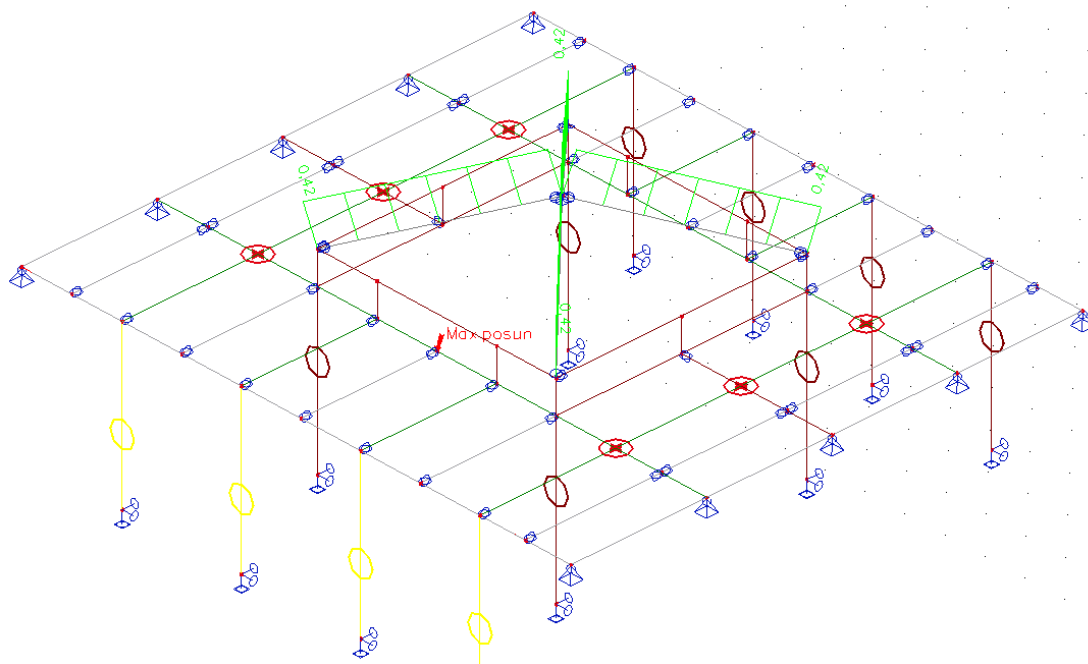
Ocel. nosníky konstrukce světlíku a sloupky: □ 100x100x5,0



**Posudek oceli**

Stav	Prut	css	mat	dx [mm]	jed.posudek [-]	pevnost [-]	stab. posudek [-]
6.10_01/3	B10	JA 100/100/5,0 - SHS100/100/5,0	S 235	6030	0,39	0,26	0,39
6.10_b02/1	B15	JA 100/100/5,0 - SHS100/100/5,0	S 235	765	0,42	0,3	0,42
6.10_b02/1	B16	JA 100/100/5,0 - SHS100/100/5,0	S 235	765	0,44	0,3	0,44
6.10_b02/1	B17	JA 100/100/5,0 - SHS100/100/5,0	S 235	765	0,45	0,3	0,45
6.10_b02/1	B18	JA 100/100/5,0 - SHS100/100/5,0	S 235	765	0,45	0,3	0,45
6.10_b02/1	B19	JA 100/100/5,0 - SHS100/100/5,0	S 235	1142,5	0,37	0,37	0,37
6.10_b02/1	B23	JA 100/100/5,0 - SHS100/100/5,0	S 235	2765	0,4	0,4	0,4
6.10_01/3	B27	JA 100/100/5,0 - SHS100/100/5,0	S 235	4500	0,15	0,13	0,15
6.10_b02/1	B28	JA 100/100/5,0 - SHS100/100/5,0	S 235	3015	0,15	0,15	0,15
6.10_b02/1	B29	JA 100/100/5,0 - SHS100/100/5,0	S 235	1500	0,11	0,1	0,11
6.10_b02/1	B30	JA 100/100/5,0 - SHS100/100/5,0	S 235	3015	0,15	0,15	0,15
6.10_01/3	B31	JA 100/100/5,0 - SHS100/100/5,0	S 235	0	0,08	0,08	0,08
6.10_b02/1	B32	JA 100/100/5,0 - SHS100/100/5,0	S 235	0	0,28	0,26	0,28
6.10_b02/1	B33	JA 100/100/5,0 - SHS100/100/5,0	S 235	0	0,3	0,28	0,3
6.10_01/3	B34	JA 100/100/5,0 - SHS100/100/5,0	S 235	0	0,07	0,07	0,06
6.10_b02/1	B35	JA 100/100/5,0 - SHS100/100/5,0	S 235	0	0,29	0,27	0,29
6.10_b02/1	B36	JA 100/100/5,0 - SHS100/100/5,0	S 235	0	0,27	0,25	0,27
6.10_b02/1	B43	JA 100/100/5,0 - SHS100/100/5,0	S 235	3830	0,17	0,11	0,17
6.10_b02/1	B44	JA 100/100/5,0 - SHS100/100/5,0	S 235	3830	0,17	0,11	0,17
6.10_b02/1	B45	JA 100/100/5,0 - SHS100/100/5,0	S 235	3830	0,17	0,11	0,17
6.10_b02/1	B46	JA 100/100/5,0 - SHS100/100/5,0	S 235	3830	0,18	0,11	0,18
6.10_01/3	B64	JA 100/100/5,0 - SHS100/100/5,0	S 235	6030	0,36	0,25	0,36
6.10_b02/1	B69	JA 100/100/5,0 - SHS100/100/5,0	S 235	3830	0,04	0,02	0,04
6.10_b02/1	B70	JA 100/100/5,0 - SHS100/100/5,0	S 235	3830	0,04	0,03	0,04
6.10_b02/1	B71	JA 100/100/5,0 - SHS100/100/5,0	S 235	3830	0,04	0,03	0,04
6.10_b02/1	B72	JA 100/100/5,0 - SHS100/100/5,0	S 235	3830	0,04	0,03	0,04

Ocel. nosníky střechy světlíku: □ 120x120x6,0



#### Posudek oceli

Stav	Prut	css	mat	dx [mm]	jed.posudek [-]	pevnost [-]	stab. posudek [-]
6.10_b01/5	B39	JA 120/120/6,0 - SHS120/120/6.3	S 235	0	0,42	0,06	0,42
6.10_b01/5	B40	JA 120/120/6,0 - SHS120/120/6.3	S 235	4417,505	0,42	0,06	0,42
6.10_b01/5	B41	JA 120/120/6,0 - SHS120/120/6.3	S 235	4376,465	0,42	0,06	0,42
6.10_b01/5	B42	JA 120/120/6,0 - SHS120/120/6.3	S 235	4396,931	0,42	0,06	0,42

### Stávající zděné pilíře z CP:

Stávající zděný pilíř b x h , 600 x 500 mm, výška pilíře cca. 3410 mm  
dle STP určena návrhová pevnost zdiva v tlaku  $f_d=2,29$  MPa

$N_{d,max} = -35,40$  KN -vzpěrný tlak

únosnost pilíře v tlaku:  $N_{RD} = \Phi(i, m) \times b_{ef} \times t_{ef} \times f_d$

-únosnost pilíře v hlavě/patě:

vliv výstřednosti:  $ea = \frac{hef}{450} = \frac{2,557}{450} = 0,005m$

$$ei = \frac{Mi}{Ni} + ea = 0 + 0,005 = 0,005m \geq 0,05t = 0,05 \times 0,500 = 0,025m$$

$$\rightarrow ei = \min.ei = 0,025m$$

zmenšující součinitel v hlavě/patě:  $\Phi i = 1 - 2 \frac{ei}{t} = 1 - 2 \frac{0,025}{0,500} = 0,9$

únosnost pilíře v tlaku v hlavě/patě:

$$N_{RD,i} = \Phi(i, m) \times b_{ef} \times t_{ef} \times f_d = 0,9 \times 0,600 \times 0,500 \times 2,29 = 0,618MPa = 618KN$$

-únosnost pilíře v střední pětíně výšky:

vliv výstřednosti od účinků zatížení:

$$ea = 0,005m$$

$$em = \frac{Mm}{Nm} + ea = 0 + 0,005 = 0,005m \geq 0,05t = 0,05 \times 0,500 = 0,025m$$

$$\rightarrow em = \min.em = 0,025m$$

výstřednost od účinků dotvarování:  $ek = 0$

výstřednost zatížení ve střední pětíně:

$$emk = em + ek = 0,025 + 0 = 0,025 \geq 0,05t = 0,05 \times 0,500 = 0,025m$$

poměrná výstřednost:  $\frac{emk}{t} = \frac{0,025}{0,500} = 0,05$  , štíhlostní poměr:  $\frac{hef}{tef} = \frac{2557}{500} = 5,114$

zmenšující součinitel v střední pětíně pro  $K_E = 1000 \rightarrow \Phi m = 0,891$

únosnost pilíře v tlaku v střední pětíně:

$$N_{RD,m} = \Phi(i, m) \times b_{ef} \times t_{ef} \times f_d = 0,891 \times 0,600 \times 0,500 \times 2,29 = 0,612MPa = 612KN$$

posouzení:

$$N_{ed} = 35,40KN \leq \min N_{RD,mi}, N_{RD,m} = 612KN \Rightarrow \underline{\text{vyhovuje}}$$

### Základy po stávajících pilířích:

Bet. základové patky cca. 1,0 x 1,0 metru do hloubky 0,6 – 0,7 metru pod terén. Únosnost základové půdy určena na  $R_d=360$  KPa.

posouzení:

$$\sigma = \frac{N_{d,max}}{A_{ef}} + m, \text{ zakladu} = \frac{35,40}{1,0 \times 1,0} + (1,0 \times 1,0 \times 0,7 \times 25 \times 1,35) = 59,025KPa \leq R_d = 360KPa$$

$\Rightarrow$  vyhovuje

#### 6.4.10. Předběžný výkaz-výměr

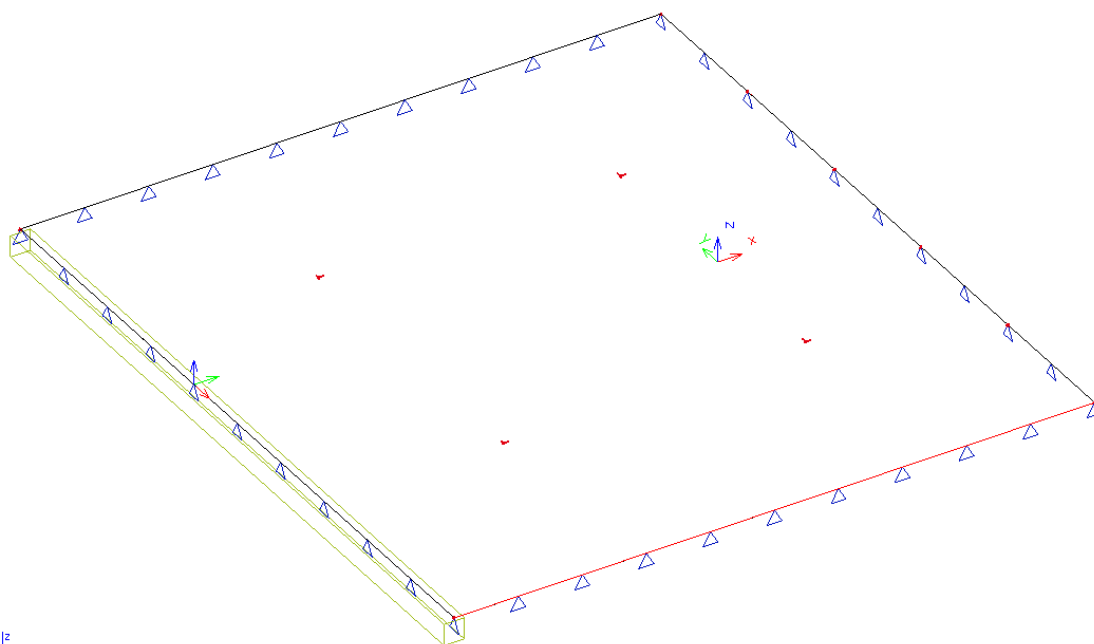
##### Výkaz materiálu

Jméno	Hmotnost [kg]	Povrch [m 2]	Objem [m 3]				
Celkový součet :	3891,31	101,983	4,96E-01				
Průřez	Materiál	Jednotková hmotnost [kg/m]	Délka [m]	Hmotnost [kg]	Povrch [m 2]	Objemová hmotnost [kg/m 3]	Objem [m 3]
JA 100/100/5,0 - SHS100/100/5.0	S 235	14,68	82,225	1207,02	32,237	7850	1,54E-01
JA 150/100/5,0 - VHP150/100x5.0	S 235	18,37	64,81	1190,49	31,611	7850	1,52E-01
JA 80/80/5,0 - SHS80/80/5.0	S 235	11,54	95,71	1104,45	29,868	7850	1,41E-01
JA 120/120/6,0 - SHS120/120/6.3	S 235	22,14	17,588	389,35	8,266	7850	4,96E-02



## 6.5. Posouzení nosné konstrukce\_110\_hlavní budova\_základy zastřešení atria

### 6.5.1. Model konstrukce.



Z konstrukčního hlediska je základová deska na terénu žb. monolitická tl. 130mm z C25/30-XC2-S4-Dmax22.

Celý model je staticky neučitý, složen z 2D prvků (desky) a 1D prvků (obvodové žebro).

Vodorovné konstrukce:

Základová deska na terénu (řešena stejně jako ostatní desky) je podepřena celoplošnou pružnou podporou simulující uložení na základovou zeminu pomocí Winklerova modelu. Uvažované konstanty odpovídají předpokládanému podloží v dané hloubce (cca. 8,5m pod terénem), tedy hutnému štěrkovému násypu:  $C_{1,z}=75,000$  MPa/m ,  $C_{1,x}=C_{1,x}=25,000$  MPa/m ,  $C_{2x}=C_{2x}=12,500$  MPa/m.

### 6.5.2. Protokol o výpočtu

Počet 2D prvků	198
Počet 1D prvků	14
Počet uzlů sítě	216
Počet rovnic	1296
Zatěžovací stavy	ZS 1 4.0_go
	ZS 2 4.1.1_gk
	ZS 3 2.0_sk
	ZS 4 3.1_qk
	ZS 5 1.1_wk0
	ZS 6 1.2_wk90
	ZS 7 4.2_gk
	ZS 8 3.2_qk
	ZS 9 4.1.0_gk0
Ohybová teorie	Mindlin
Spuštění výpočtu	11.4.2018 11:15
Konec výpočtu	11.4.2018 11:15

### 6.5.3. Materiály

Žb. desky z C25/30-XC2-S4-Dmax22.

### 6.5.4. Průřezy a tl.

Žb. základová deska tl. 130mm

### 6.5.5. Zatěžovací stavy

Jméno	Popis	Typ působení	Skupina zatížení	Typ zatížení	Spec	Směr	Působení	Rídící zat. stav
4.0_go	vl tíha	Stálé	stale	Vlastní tíha		-Z		
4.1.1_gk	stes_plast	Stálé	stale	Standard				
2.0_sk	snih	Nahodilé	snih	Statické	Standard		Střednědobé	Žádný
3.1_qk	uzitne	Nahodilé	uzit-str	Statické	Standard		Krátkodobé	Žádný
1.1_wk0	vitr-sani	Nahodilé	vitr	Statické	Standard		Krátkodobé	Žádný
1.2_wk90	vitr-sani	Nahodilé	vitr	Statické	Standard		Krátkodobé	Žádný
4.2_gk	podlaha	Stálé	stale	Standard				
3.2_qk	uzitne	Nahodilé	uzit-str	Statické	Standard		Krátkodobé	Žádný
4.1.0_gk0	ocel_kce	Stálé	stale	Standard				

### 6.5.6. Kombinace

uvažované kombinace KZS: pro mezní stavy únosnosti typu STR/GEO: (s vl. tíhou)

obecná kombinace: varianta B

$$6.10a \sum \gamma_G G_k + \psi_0 \gamma_{Q,1} Q_{k,1,hlavní} + \sum_{i \geq 1} \psi_0 \gamma_{Q,i} Q_{k,i}$$

$$6.10b \sum \xi_j \times \gamma_G G_k + \gamma_{Q,1} Q_{k,1,hlavní} + \sum_{i \geq 1} \psi_0 \gamma_{Q,i} Q_{k,i}$$

$$\xi_j = 0,85$$

kombinační součinitele:

-pro proměnné zatížení: užitné pro střechy kategorie H →  $\psi_0 = 0$  ,  $\psi_1 = 0$  ,  $\psi_2 = 0$

-pro proměnné zatížení: klimatickými vlivy sních do  $h \leq 1000$  m.n. →  $\psi_0 = 0,5$  ,  $\psi_1 = 0,2$  ,  $\psi_2 = 0$

-pro proměnné zatížení: klimatickými vlivy vítr. →  $\psi_0 = 0,6$  ,  $\psi_1 = 0,2$  ,  $\psi_2 = 0$

Kombinace

Jméno	Typ	Zatěžovací stavy	Souč. [1]
6.10_a01	EN - MSÚ (STR)	2.0_sk - snih	0,75
		4.0_go - vl tíha	1,35
		4.1.0_gk0 - ocel_kce	1,35
		4.1.1_gk - stes_plast	1,35
		4.2_gk - podlaha	1,35
6.10_b01	EN - MSÚ (STR)	2.0_sk - snih	1,5
		4.0_go - vl tíha	1,15
		4.1.0_gk0 - ocel_kce	1,15
		4.1.1_gk - stes_plast	1,15
		4.2_gk - podlaha	1,15
6.10_b02	EN - MSÚ (STR)	3.1_qk - užitne	1,5
		3.2_qk - užitne	1,5
		4.0_go - vl tíha	1,15
		4.1.0_gk0 - ocel_kce	1,15
		4.1.1_gk - stes_plast	1,15
		4.2_gk - podlaha	1,15

6.10_01	EN - MSÚ (STR)	1.1_wk0 - vitr- sani	1,5
		4.0_go - vl tiha	1
		4.1.0_gk0 - ocel_kce	1
		4.1.1_gk - stes_plast	1
		4.2_gk - podlaha	1
6.10_02	EN - MSÚ (STR)	1.2_wk90 - vitr- sani	1,5
		4.0_go - vl tiha	1
		4.1.0_gk0 - ocel_kce	1
		4.1.1_gk - stes_plast	1
		4.2_gk - podlaha	1

uvažované kombinace KZS: pro mezní stavy použitelnosti:

charakteristická kombinace:  $\sum G_k + Q_{k,1,hlavní} + \sum_{i \geq 1} \psi_{0,i} Q_{k,i}$

třída trvání zatížení: sníh-střednědobé, vítr – krátkodobé

#### Kombinace

Jméno	Typ	Zatěžovací stavy	Souč. [1]
001	EN-MSP char.	2.0_sk - snih	1
		4.0_go - vl tiha	1
		4.1.0_gk0 - ocel_kce	1
		4.1.1_gk - stes_plast	1
		4.2_gk - podlaha	1
002	EN-MSP char.	1.1_wk0 - vitr-sani	1
		4.0_go - vl tiha	1
		4.1.0_gk0 - ocel_kce	1
		4.1.1_gk - stes_plast	1
		4.2_gk - podlaha	1
003	EN-MSP char.	1.2_wk90 - vitr- sani	1
		4.0_go - vl tiha	1
		4.1.0_gk0 - ocel_kce	1
		4.1.1_gk - stes_plast	1
		4.2_gk - podlaha	1

### 6.5.7. Reakce podpor

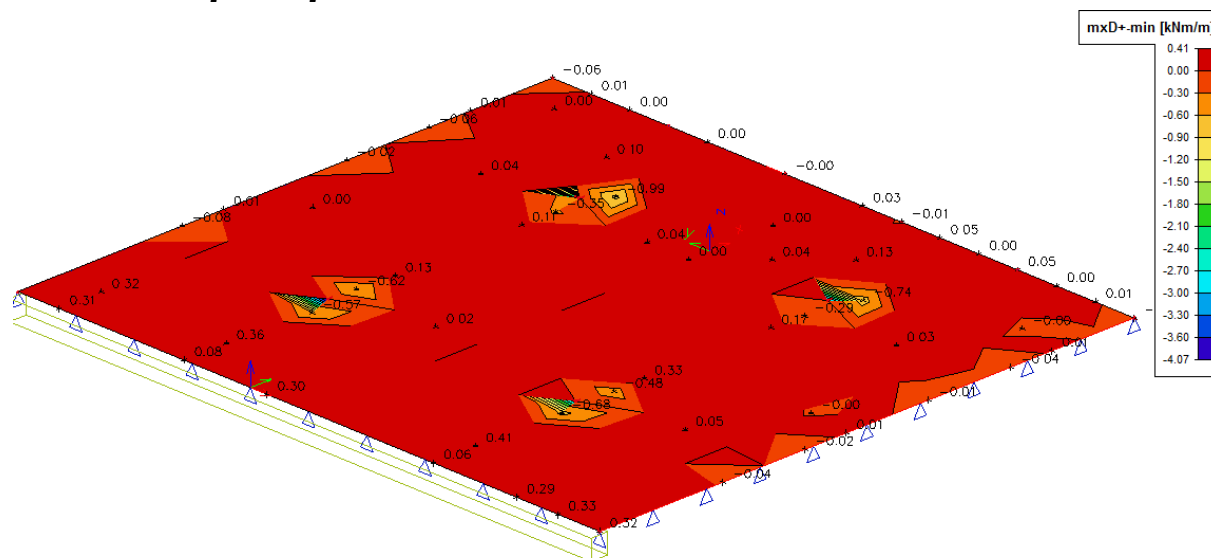
Lineární výpočet, Extrém : Globální  
Zanedbatelné

### 6.5.8. Analýza vnitřních sil, průhyby.

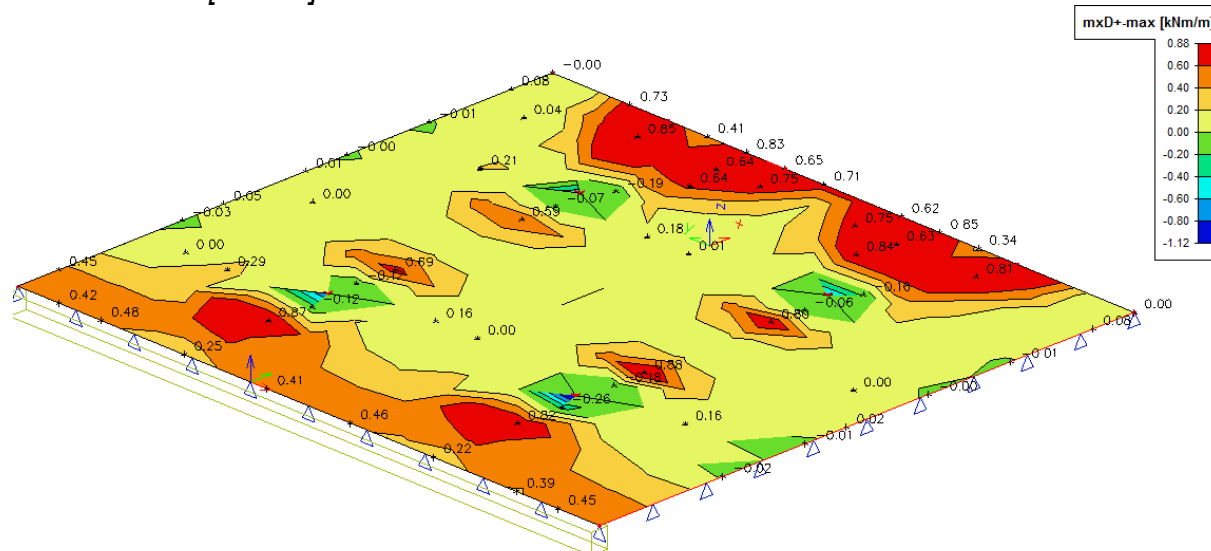
Vnitřní síly na prutu  
Lineární výpočet, Extrém : Globální, Systém : Hlavní

#### Základová deska

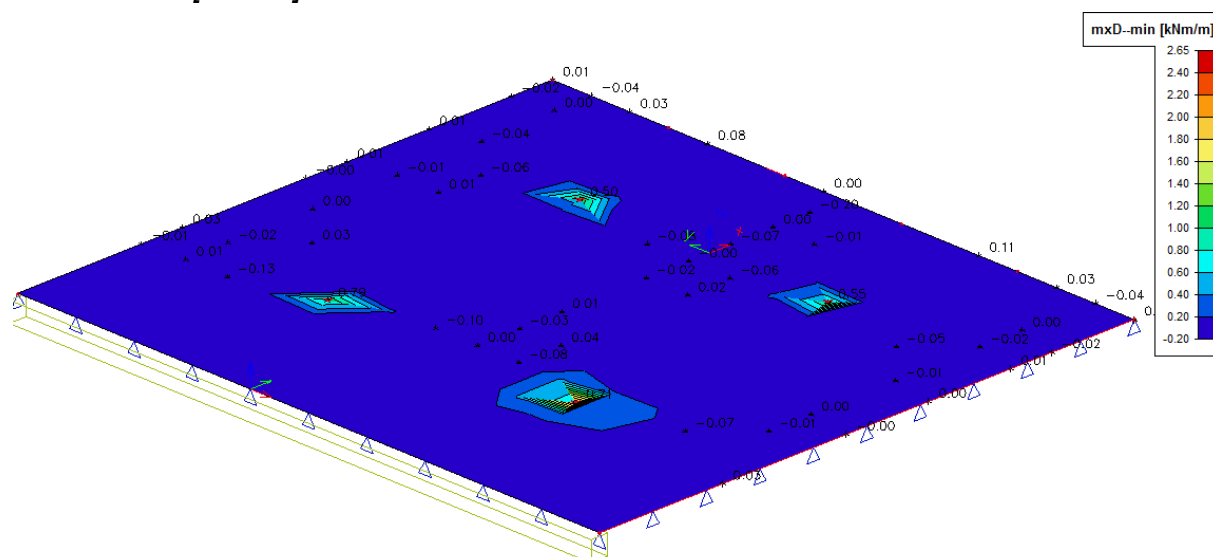
*mxD+ min. [kNm/m]*



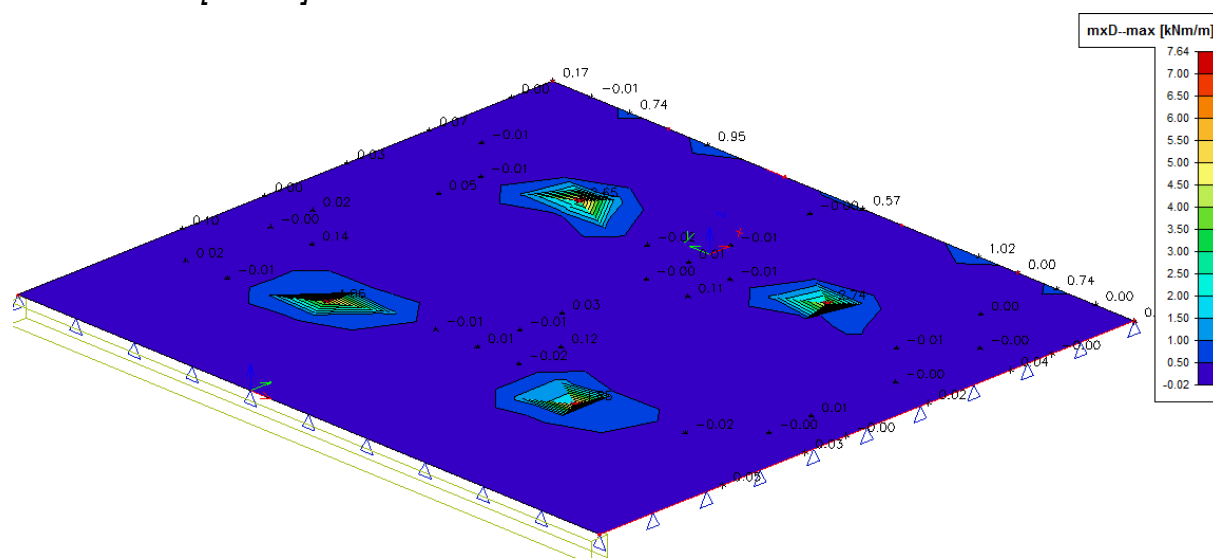
*mxD+ max. [kNm/m]*



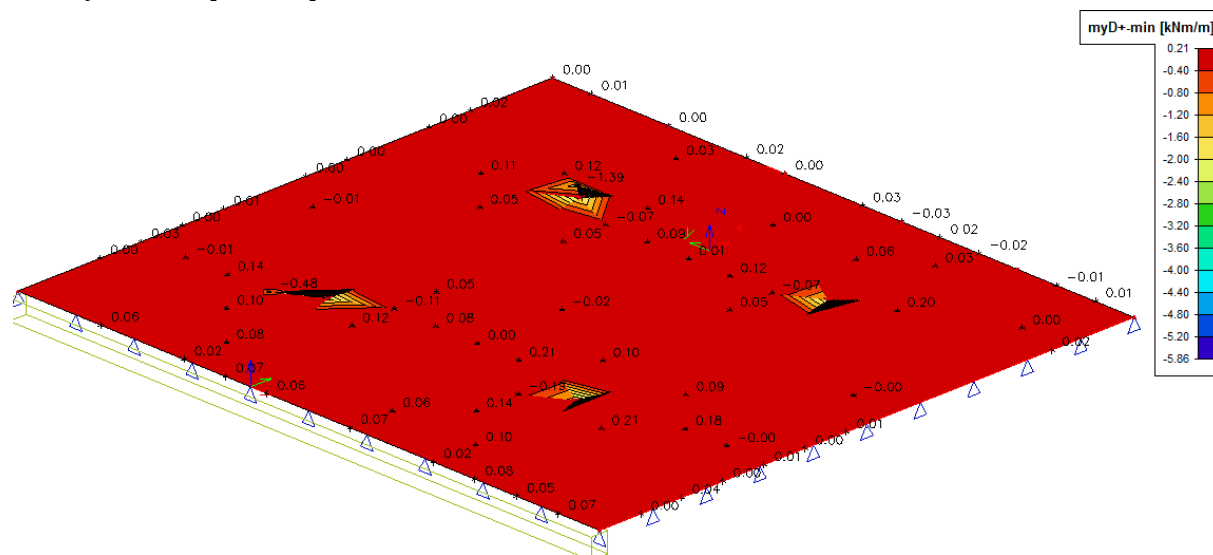
*mxD- min. [kNm/m]*



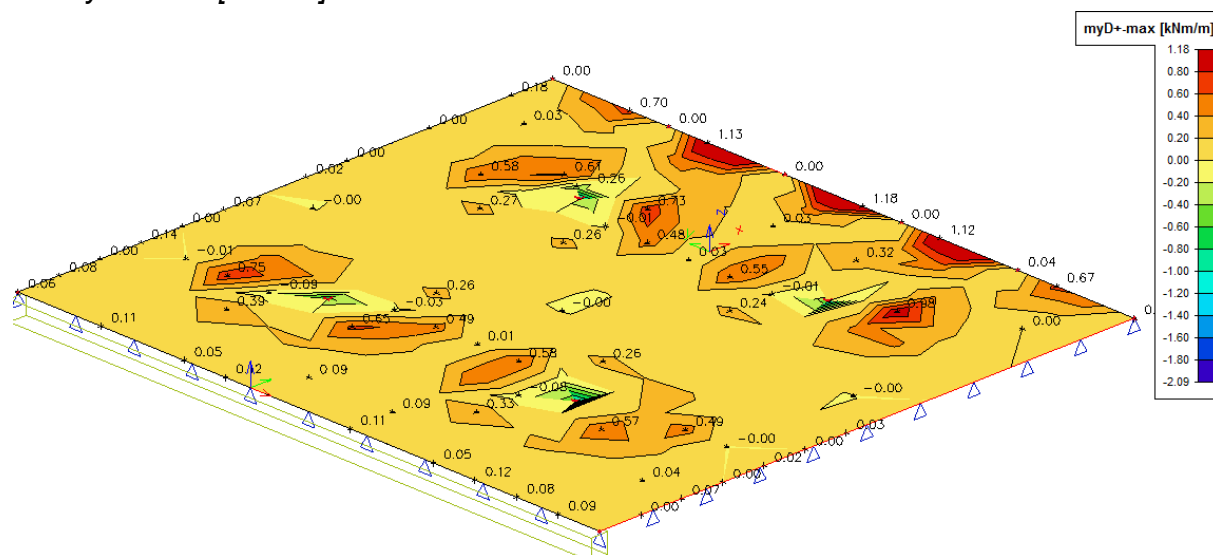
*mxD- max. [kNm/m]*



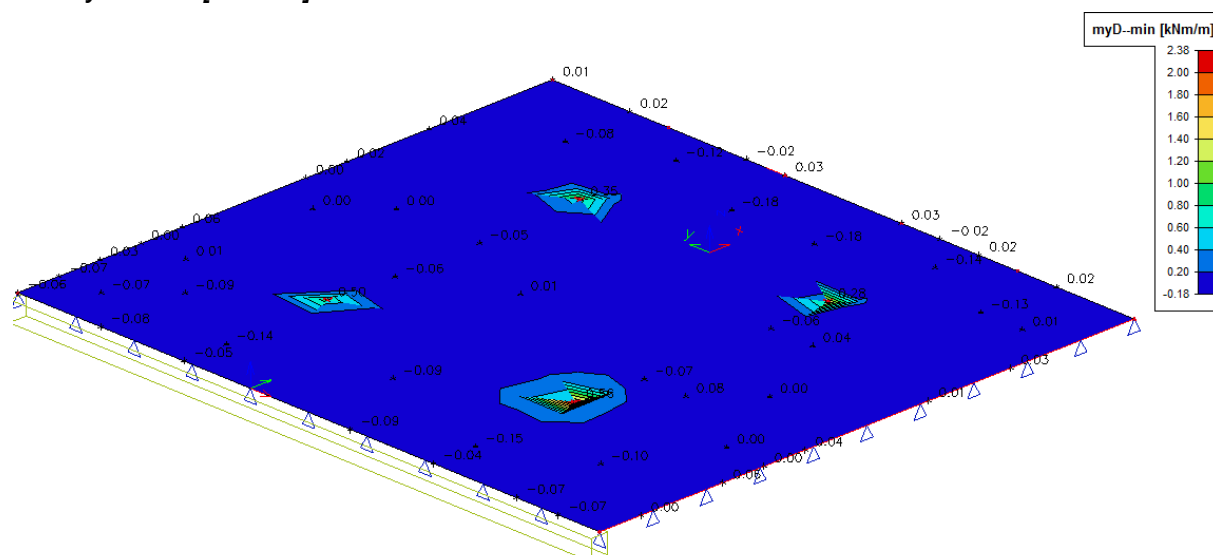
*myD+ min. [kNm/m]*



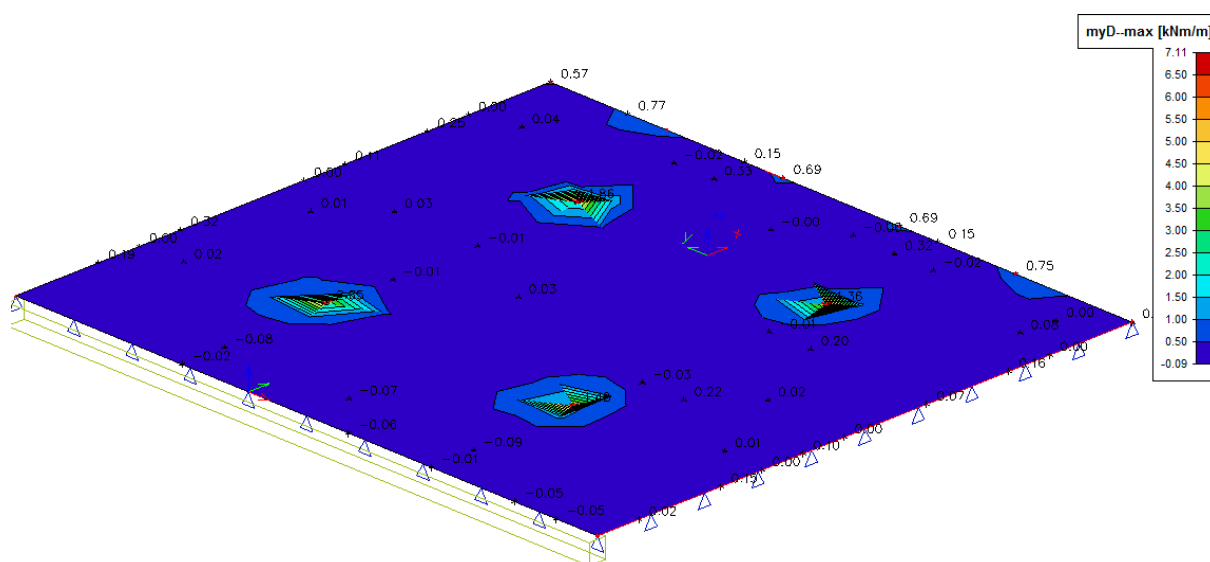
*myD+ max. [kNm/m]*



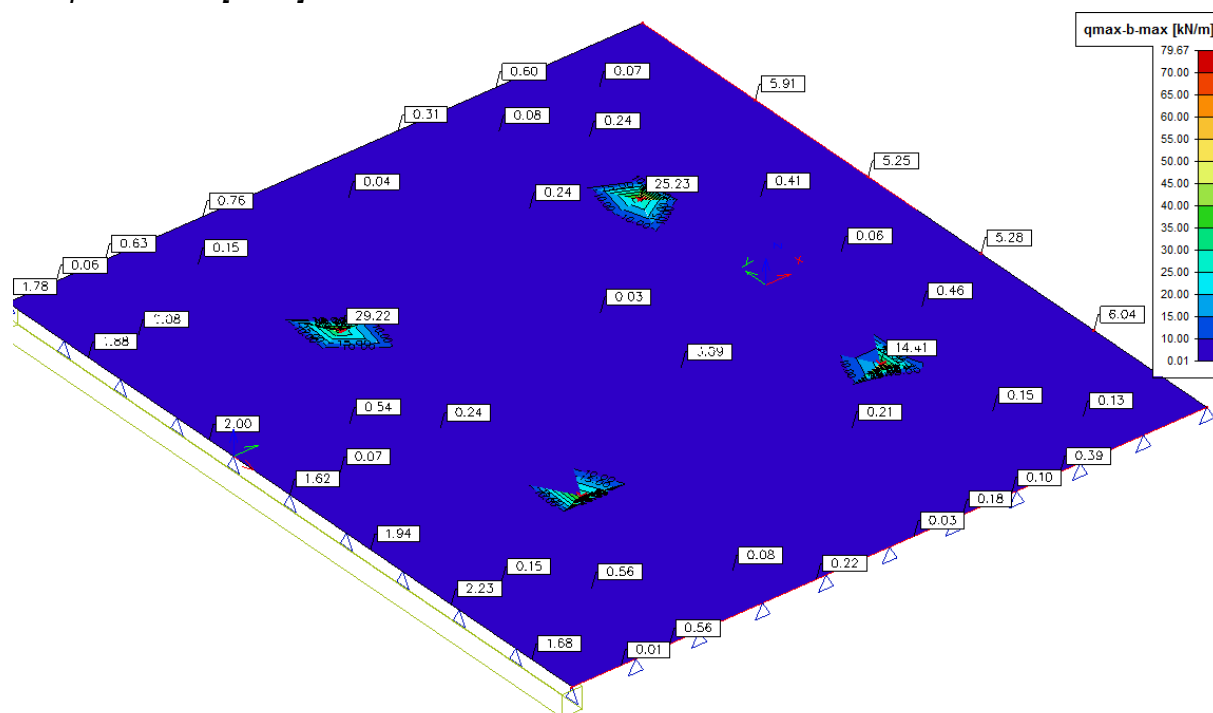
*myD- min. [kNm/m]*



*myD- max. [kNm/m]*



$q_{max} - max. [kN/m]$





## 6.5.9. Posouzení

Materiálové charakteristiky: žb. konstrukce  
veškerá výztuž ocel R 10505 =>  $f_{yd}=434,78\text{MPa}$

bet. třídy C25/30 =>  $f_{cd}=16,67\text{MPa}$

$f_{ctm}=2,60\text{MPa}$

$f_{ctk}=1,80\text{MPa}$

dle ČSN EN 206-1 ve stupni vlivu prostředí XC1 (min.třída C25/30-splněno pro C25/30)

konstrukční třída S4

-použitá norma pro návrh a posouzení konstrukce: ČSN EN 1992

### 6.5.9.1 Základová deska

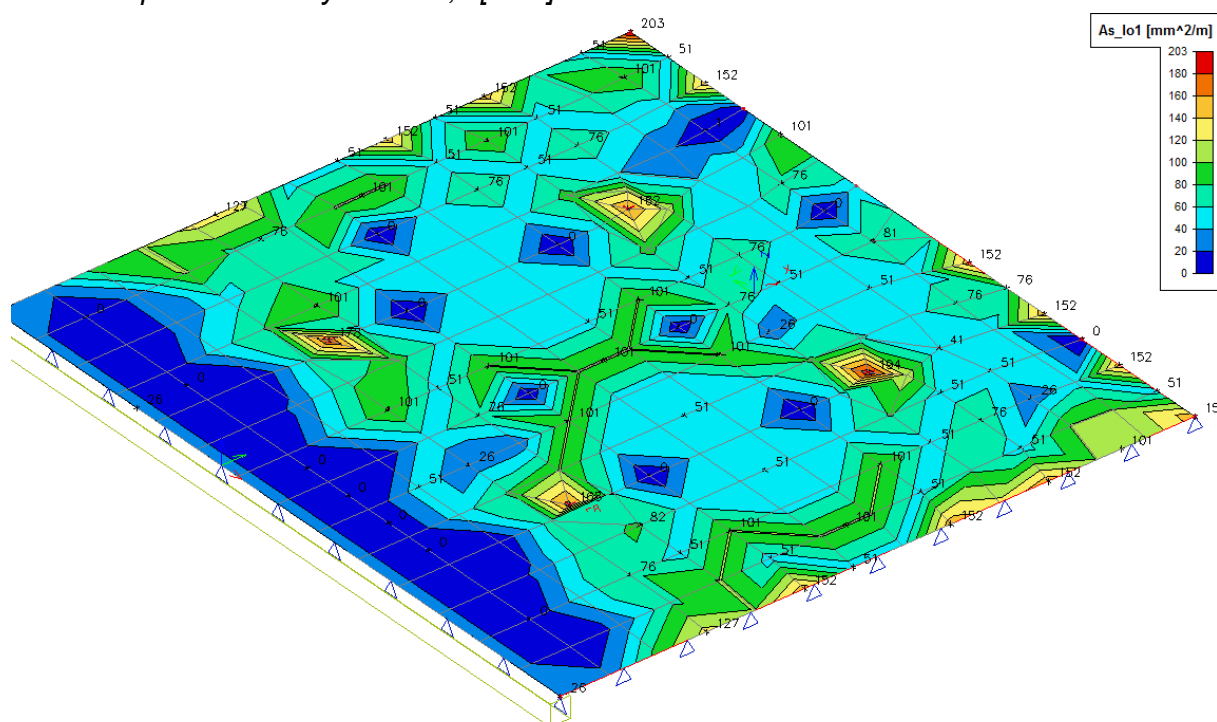
dolní výztuž:

hd 130 mm

min.krytí dolní 50 mm

min.krytí horní 20 mm

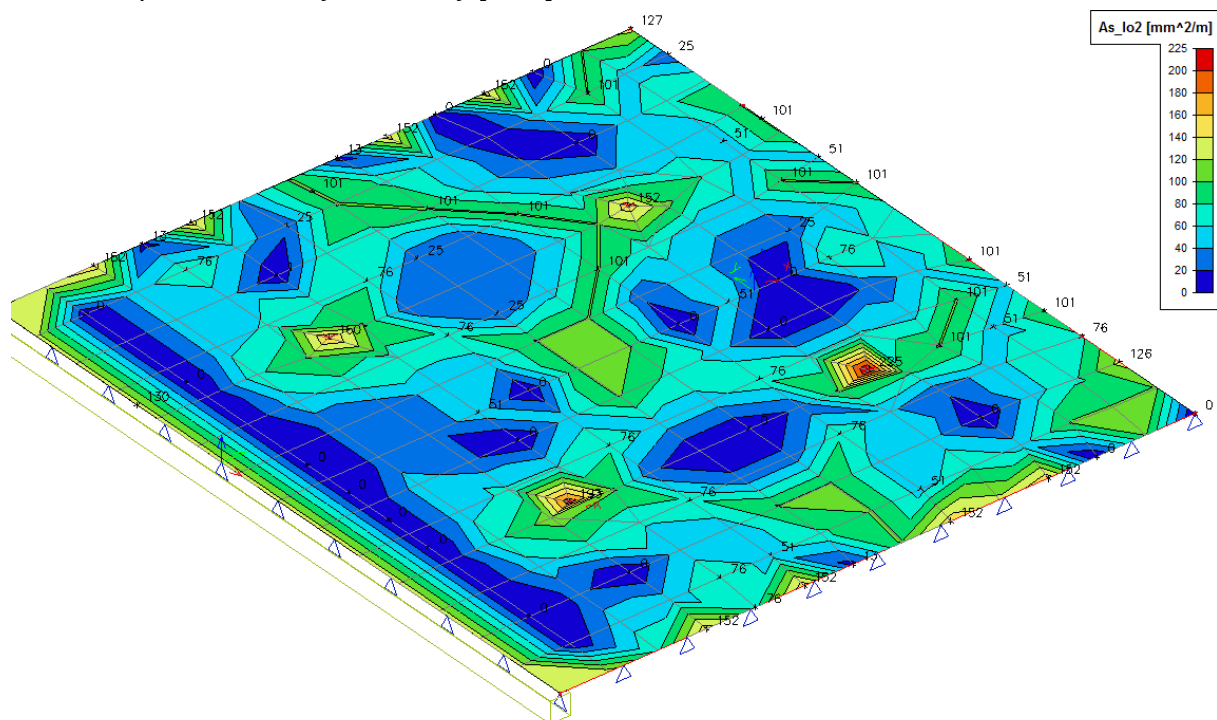
*nutná plocha dolní výztuže  $A_{s,x}$  [ $\text{mm}^2$ ]*



MSU: návrh. ohyb. výztuž: síť Ø6/100/100  $A_s = 283\text{mm}^2 \geq A_{s,\min} = 104\text{mm}^2$

€	€,bal		p,min		p		p,max	
0,12	<0,45	ano	0,0013	<	0,0037			
					0,0022	<	0,04	ano

nutná plocha dolní výztuže  $A_{s,y}$  [mm<sup>2</sup>]



MSU: návrh. ohyb. výztuž: síť Ø6/100/100  $A_s = 283 \text{ mm}^2 \geq A_{s, \min} = 104 \text{ mm}^2$

ε	ε <sub>bal</sub>		ρ <sub>min</sub>		ρ		ρ <sub>max</sub>	
0,12	<0,45	ano	0,0013	<	0,0037			
					0,0022	<	0,04	ano

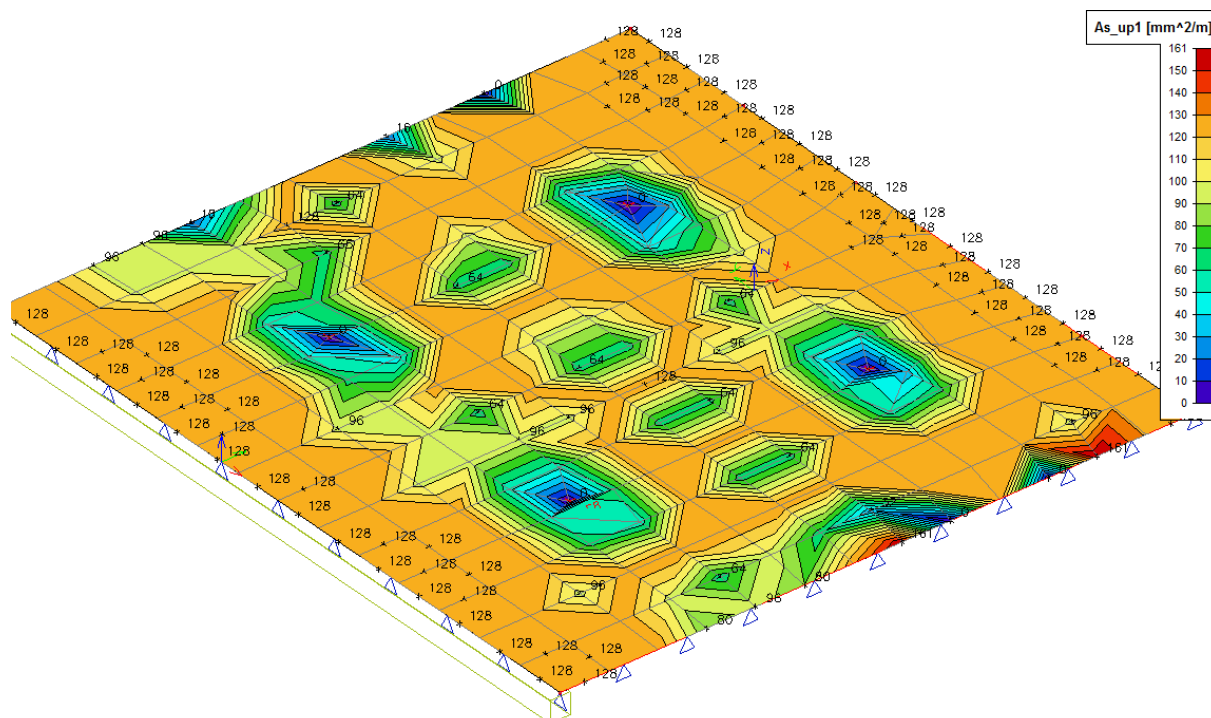
horní výztuž:

hd 130 mm

min.krytí dolní 50 mm

min.krytí horní 20 mm

*nutná plocha horní výztuže  $A_{s,x}$  [mm<sup>2</sup>]*



MSU: návrh. ohyb. výztuž: síť Ø6/100/100  $A_s = 283\text{mm}^2 \geq A_{s,\min} = 158\text{mm}^2$

ε	ε <sub>bal</sub>		ρ <sub>min</sub>		ρ		ρ <sub>max</sub>	
0,079	<0,45	ano	0,0013	<	0,0024			
					0,0022	<	0,04	ano



### 6.5.9.2 Základová deska protlačení pod ocel. sloupky

výztuž: dolní (pod sloupky): síť Ø6/100/100  $A_s = 283\text{mm}^2$

výztuž: dolní (pod sloupky): síť Ø6/100/100  $A_s = 283\text{mm}^2$

hd 130 mm

min.krytí dolní 50 mm

min.krytí horní 20 mm

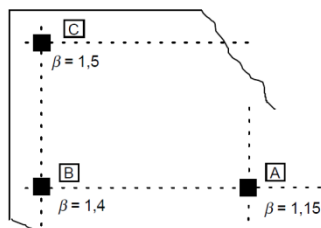
ocel. sloupek z JA 100/100/5,0 je uložen na styč. plechu P5-200x200 z oceli S235 a tento kotven 4x chem. kotvou k základové desce tl. 130mm z C25/30

účinná výška průřezu:  $d_x=d_y=130-50-6/2-6/2=75\text{mm}$

kontrol. obvod.:  $u_0=4 \times 200=800\text{mm}$

max. smykové napětí:  $N_{Ed} = 29,29\text{KN}$

pro vnitřní sloup  $\beta = 1,15$   
pro okrajový sloup  $\beta = 1,4$   
pro rohový sloup  $\beta = 1,5$



$$v_{Ed} = \beta \frac{N_{Ed}}{u_0 \times d} = 1,15 \times \frac{29,25}{0,8 \times 0,075} = 561,39\text{KPa} = 0,56\text{MPa}$$

max. únosnost ve smyku při protlačení (pro  $u_0$ ):  $V_{Rd,max}$

$$v = 0,6 \times (1 - f_{ck} / 250) = 0,54$$

$$V_{Rd,max} = 0,5 \times v \times f_{cd} = 0,4 \times 0,54 \times 16,67 = 3,60\text{MPa}$$

podmínka spolehlivosti:

-základní na kontrolovaném obvodu roznášecí patky stojky

$$V_{Rd,max} \geq v_{Ed}$$

$$3,60\text{MPa} \geq 0,56\text{MPa} \Rightarrow \text{vyhovuje}$$

smyk. únosnost desky při protlačení bez smyk. výztuže (pro  $u_0$ ):  $V_{Rd,C}$

$$C_{Rd,c} = \frac{0,18}{\gamma_c} = \frac{0,18}{1,5} = 0,12$$

$$k = 1 + \sqrt{\frac{200}{d}} = 1 + \sqrt{\frac{200}{75}} = 2,63 \leq 2,0 \Rightarrow k = 2,0$$

$$\rho_x = \rho_y = \frac{A_s}{b \times d} = 0,00377 \quad \rho_1 = \sqrt{\rho_x \rho_y} = 0,00377 \leq 0,02$$

$$\text{normálová napětí v celé šíři pole desky: } \sigma_x = 1,6\text{MPa} \text{ a } \sigma_y = 1,4\text{MPa} \quad \sigma_{cp} = \frac{\sigma_x + \sigma_y}{2} = \frac{1,6 + 1,4}{2} = 1,5\text{MPa}$$

$$V_{Rd,C} = C_{Rd,c} k (100 \times \rho \times f_{ck})^{\frac{1}{3}} + k_1 \times \sigma_{cp} \geq (0,035 k^{\frac{3}{2}} \times f_{ck}^{\frac{1}{2}})$$

$$V_{Rd,C} = 0,12 \times 2,0 \times (100 \times 0,00377 \times 16,67)^{\frac{1}{3}} + 0,1 \times 1,5 = 0,442 + 0,15 = 0,592\text{MPa} \geq (0,035 \times 2^{\frac{3}{2}} \times 16,67^{\frac{1}{2}}) = 0,404\text{MPa}$$

podmínka spolehlivosti:

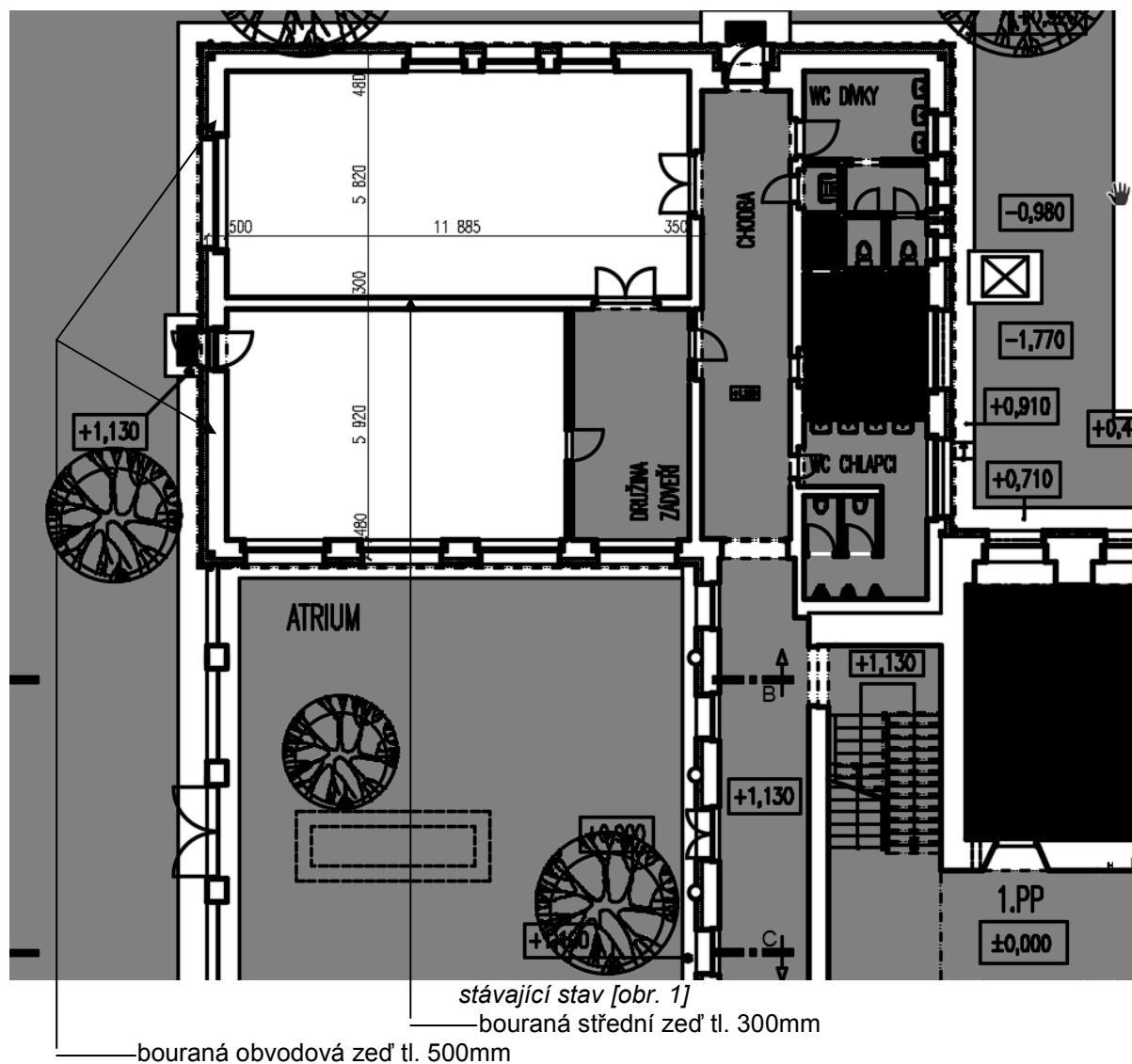
-základní na kontrolovaném obvodu roznášecí patky stojky

$$V_{Rd,C} \geq v_{Ed}$$

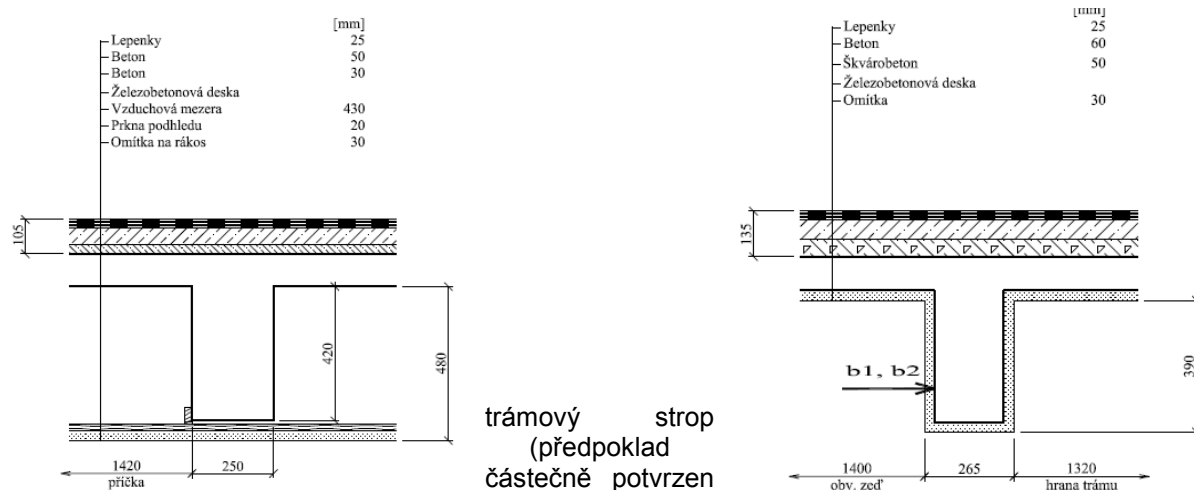
$$0,592\text{MPa} \geq 0,56\text{MPa} \Rightarrow \text{vyhovuje}$$

→není potřeba žádné smykové výztuže v místě protlačení

### 6.6. Posouzení nosné konstrukce 110 hlavní budova přístavba jídelny



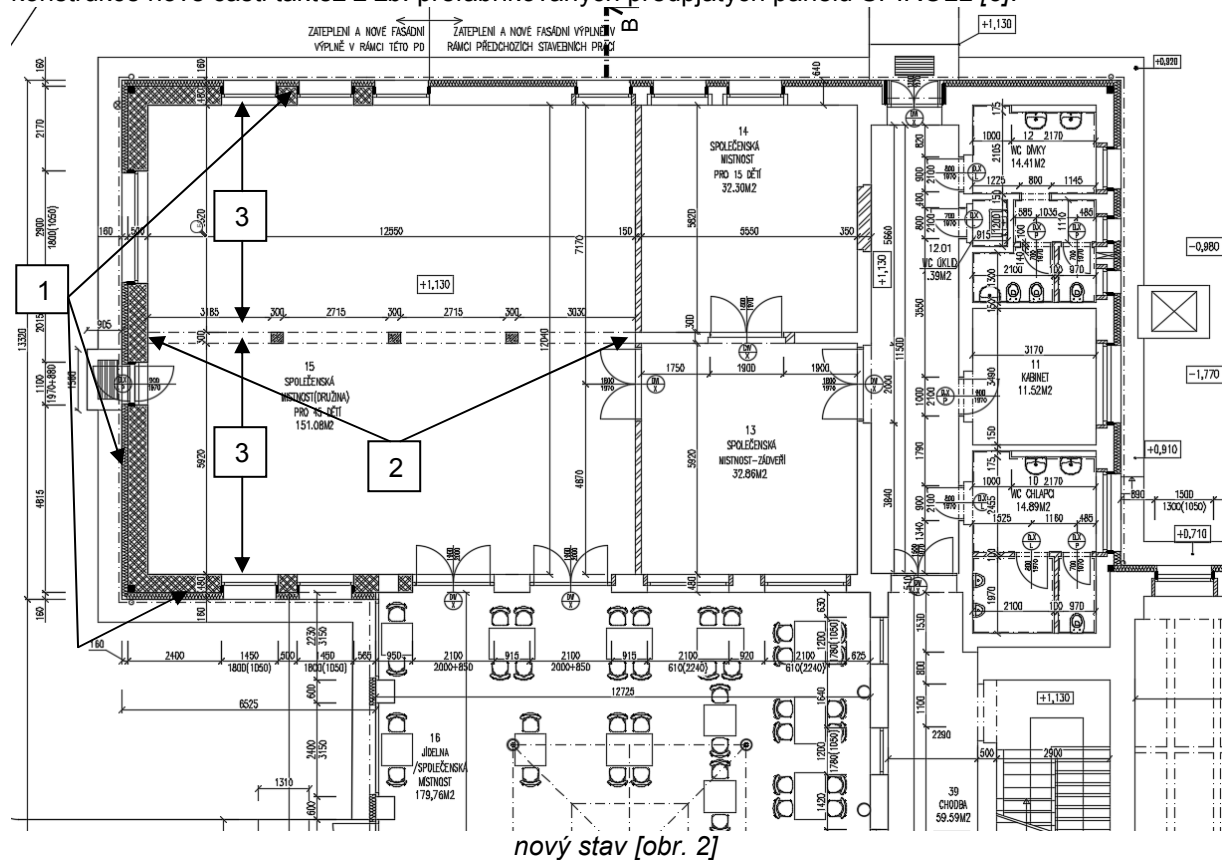
Stávající nosná konstrukce [obr. 1] přizemního pavilonu zděná podélná (zdivo z CP 480/500mm obvodové a 300mm vnitřní, STP určena návrh. pevnost  $f_d=2,29$  MPa). Plochá střecha/ žb. monolitický



STP - ve fázi DSP), trámy (b x h , 250/260 x 390/420 mm po cca 1660mm-osově), deska (odhad tl. 80/160mm - STP nepotvrzen) z betonu C12/15 (vyhodnoceno ve STP).

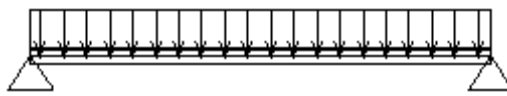
Objekt pavilonu je dle STP založen plošně na základových pasech šířky zhruba stejné jako obvodové zdivo, tedy 500mm (předpoklad STP nepotvrzen) do hloubky 0,6-0,7 metru pod terén.

Předmět úprav [obr. 2] spočívá v rozšíření (prodloužení) pavilonu [1] a změně vnitřní dispozice vybouráním střední nosné zdi a její nahrazení žb. prefabrikovanými sloupy a průvlakem [2]. Stropní konstrukce nové části taktéž z žb. prefabrikovaných předpjatých panelů SPIROLL [3].



## 6.7. Posouzení nosné konstrukce nové ploché střechy (nad přístavbou pavilonu)

### 6.7.1. Model konstrukce.



Celá konstrukce nové střechy je příčně rozdělena na dva trakty (jak vyplývá z dispozičního řešení):

krajní levý na rozpětí  $L_0=5920 \text{ mm} \rightarrow L=6215 \text{ mm}$

krajní pravý na rozpětí  $L_0=5820 \text{ mm} \rightarrow L=6110 \text{ mm}$

Střešní panel na příslušné rozpětí traktu je řešen jako prostý, staticky určitý nosník s dvěma kloubovými podporami, které symbolizují uložení na vnitřní a obvodové nosné zdivo P10/P15.

### 6.7.2. Protokol o výpočtu

Pro staticky určitou a jednoduchou konstrukci proveden pouze ruční.

### 6.7.3. Materiály

Předpjaté stropní panely SPIROLL tl. 160mm

### 6.7.4. Průřezy

Předpjaté stropní panely SPIROLL tl. 160mm, běžné skladebné šířky 1200mm

### 6.7.5. Zatěžovací stavy

Jméno	Popis	Typ působení	Skupina zatížení	Typ zatížení	Spec	Směr	Působení	Řídící zat. stav
stálé	stálé	stálé	stálé	vlastní tíha		-Z		
stálé	stálé - ostatní (vrstvy střechy)	stálé	stálé			-Z		
sníh	sníh	Nahodilé	sníh	Statické	Standard		Střednědobé	Žádný
užitné	užitné	Nahodilé	užitné	Statické	Standard		Krátkodobé	Žádný

### 6.7.6. Kombinace

uvažované kombinace KZS: pro mezní stavy únosnosti typu STR/GEO: (s vl. tíhou)

obecná kombinace: varianta B

$$6.10 \sum \gamma_G G_k + \gamma_{Q,1} Q_{k,1,\text{hlavní}} + \sum_{i \geq 1} \psi_{0i} \gamma_{Q,i} Q_{k,i}$$

plochá střecha	zatížení charakteristické plošné ( $\text{kN/m}^2$ )	zat. šířka (m)	zatížení charakteristické liniové ( $\text{kN/m}^1$ )	$\gamma_F$ (-)	zatížení návrhové liniové ( $\text{kN/m}^1$ )
stále	2,450	1,20	2,94	1,35	3,97
proměnné-klimat.-sníh	0,450	1,20	0,54	1,50	0,81
proměnné-užitné	0,750	1,20	0,90	1,50	1,35
<b>Celkem:</b>			<b>4,38</b>		<b>6,13</b>



### 6.7.7. Reakce podpor

Lineární výpočet, Extrém : Globální

Krajní levý trakt.

$R_z = 19,05 \text{ KN}$

Krajní pravý trakt.

$R_z = 18,72 \text{ KN}$

### 6.7.8. Analýza vnitřních sil, průhyby.

Vnitřní síly na prutu

Lineární výpočet, Extrém : Globální, Systém : Hlavní

Krajní levý trakt.

$M_y = 29,59 \text{ KNm}$

$V_z = 19,05 \text{ KN}$

$M_k = 21,14 \text{ KNm}$

Krajní pravý trakt.

$M_y = 28,60 \text{ KNm}$

$V_z = 18,72 \text{ KN}$

$M_k = 20,43 \text{ KNm}$

### 6.7.9. Posouzení

Návrh: stropní panel: PPD 165 (5x9,3) tl. 160mm – všechny trakty

MSU: Krajní levý trakt.  $L = 6200 \text{ mm}$

$M_y = 29,59 \text{ KNm} \leq M_{RD} = 41,4 \text{ KNm} \Rightarrow \text{vyhovuje}$

$V_z = 19,05 \text{ KN} \leq V_{RD} = 50,6 \text{ KN} \Rightarrow \text{vyhovuje}$

MSU: Střední trakt.  $L = 6100 \text{ mm}$

$M_y = 28,60 \text{ KNm} \leq M_{RD} = 41,4 \text{ KNm} \Rightarrow \text{vyhovuje}$

$V_z = 18,72 \text{ KN} \leq V_{RD} = 50,6 \text{ KN} \Rightarrow \text{vyhovuje}$

MSP: Krajní levý trakt.  $L = 6200 \text{ mm}$

$M_k = 21,14 \text{ KNm} \leq M_{r,cr} = 35,40 \text{ KNm} \Rightarrow \text{vyhovuje}$

MSP: Krajní pravý trakt.  $L = 6100 \text{ mm}$

$M_k = 20,43 \text{ KNm} \leq M_{r,cr} = 35,40 \text{ KNm} \Rightarrow \text{vyhovuje}$

## 6.8. Posouzení nosné konstrukce stávající ploché střechy (nad pavilonem)

### 6.8.1. Model konstrukce.



Celá konstrukce nové střechy je příčně rozdělena na dva trakty (jak vyplývá z dispozičního řešení):

krajní levý na rozpětí  $L=5920$  mm

krajní pravý na rozpětí  $L=5820$  mm

Žb. monolitická deska s trámy stávajícího stropu/ploché střechy je řešena jako spojitý, staticky neurčitý nosník o dvou polích s kloubovými podporami, krajní symbolizují uložení na obvodové nosné zdivo P10/P15 a vnitřní nový vnitřní průvlak (místo bourané střední nosné zdi).

### 6.8.2. Protokol o výpočtu

Počet 2D prvků	0
Počet 1D prvků	5
Počet uzlů sítě	6
Počet rovnic	36
Zatěžovací stavy	ZS 1 4.0_gk0
	ZS 2 2.0_sk
	ZS 3 3.0_qk
	ZS 4 4.1_gk1
	ZS 5 4.2_gk2
Spuštění výpočtu	13.4.2018 10:04
Konec výpočtu	13.4.2018 10:04

### 6.8.3. Materiály

Stávající monolit. žb. konstrukce desky z bet. C12/15, potvrzeno STP

### 6.8.4. Průřezy

Tl. žb. monolit. desky odhad tl. 80/160mm - STP nepotvrzen

### 6.8.5. Zatěžovací stavy

Jméno	Popis	Typ působení	Skupina zatížení	Typ zatížení	Spec	Směr	Působení	Rídicí zat. stav
4.0_gk0	vl. tíha	Stálé	stale	Vlastní tíha		-Z		
2.0_sk	snih	Nahodilé	snih	Statické	Standard		Krátkodobé	Žádný
3.0_qk	uzitne	Nahodilé	uzitne	Statické	Standard		Krátkodobé	Žádný
4.1_gk1	ostn_stale	Stálé	stale	Standard				
4.2_gk2	VZT techno	Stálé	stale	Standard				

### 6.8.6. Kombinace

uvažované kombinace KZS: pro mezní stavy únosnosti typu STR/GEO: (s vl. tíhou)  
obecná kombinace: varianta B

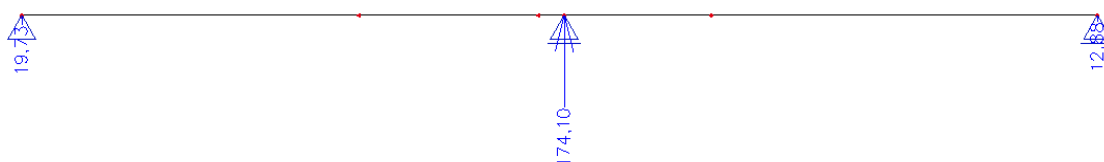
$$6.10 \sum \gamma_G G_k + \gamma_{Q,1} Q_{k,1,hlavni} + \sum_{i \geq 1} \psi_0 \gamma_{Q,i} Q_{k,i}$$

Jméno	Typ	Zatěžovací stavy	Souč. [1]
6.10	EN-MSÚ	2.0_sk - snih	1,5
		3.0_qk - užitne	1,5
		4.0_gk0 - vl. tíha	1,35
		4.1_gk1 - ostn_stale	1,35
		4.2_gk2 - VZT techno	1,5

### 6.8.7. Reakce podpor

Lineární výpočet, Extrém : Globální

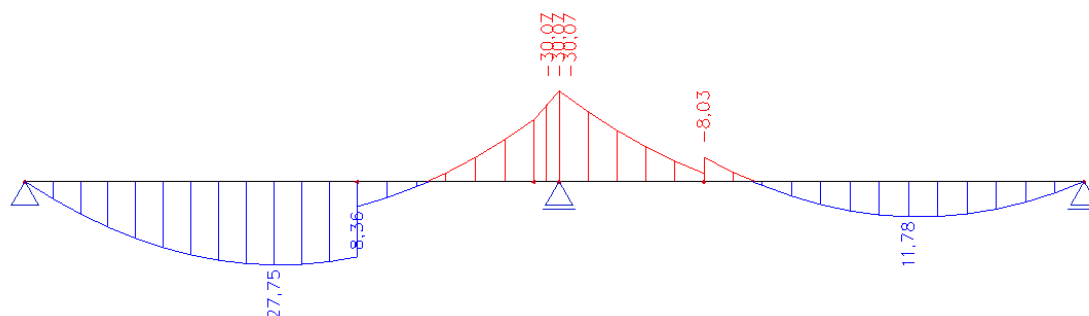
$R_z$  [kN]-reakce uložení na obvodové a vnitřní průvlak



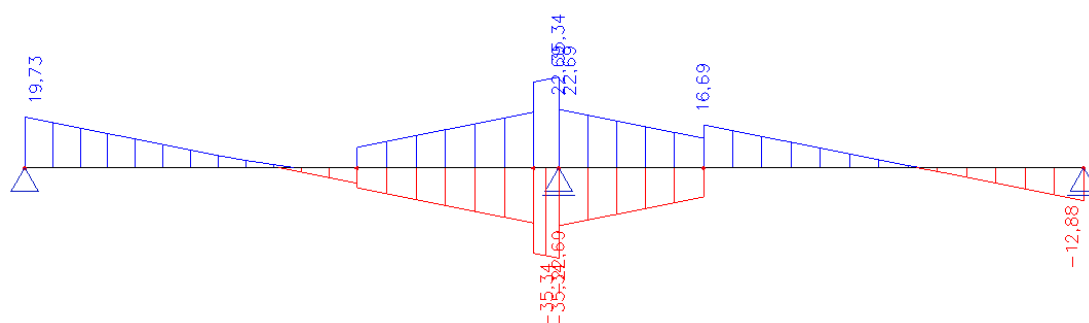
### 6.8.8. Posouzení/kontrola stávající žb. monolit desky

TI. desky se nachází v intervalu 80/160 mm (nepotvrzeno STP), druh poloha a množství výztuže STP ve fázi DSP nezjišťováno. V další fázi STP-DPS bude podrobněji doplněno a na základě těchto informací pak bude provedeno opětovné hodnocení a přijata další opatření (ponechání v provozu se stávajícím průřezem a vyztužením, doplnění výztuže např. uhlík lamelami nebo uložení VZT jednotek na roznášecí ocel. rošt atd.)

$M_y$  [kNm]



$V_z$  [kN]



dolní/horní výztuž:

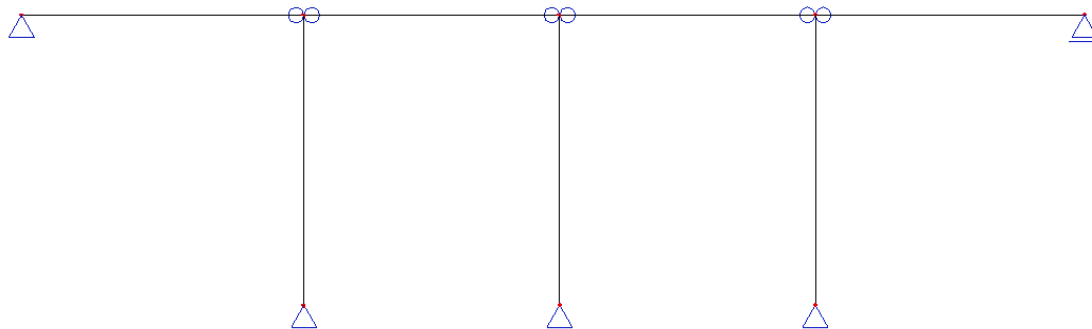
hd	120	mm
krytí	15	mm
min. krytí	15	mm
bw	1	m
beton Fcd	8	MPa
ocel fyk	434,78	MPa
beton fctm	1,6	MPa

bod	návrh výz.		As,x (m2)	profil	d	x			z	Mrd(KNm)		1Med1(KNm)	
	<b>Ø12</b>		0,001131	12	99	0,077	horní		0,068	<b>33,5691024</b>	<b>&gt;</b>	<b>30,07</b>	<b>ano</b>
		As,min	8,237E-05										

Min. plocha stávající výztuže v desce musí být  $A_{s,min}=1131 \text{ mm}^2$  (což odpovídá Ø12 po 100mm) pro bezpečné splnění MSU při změně provozního režimu (zvětšení zatížení osazením VZT jednotek) V dalších fázích dokumentace (DPS a vyšší), nutno provést podrobný STP průzkum s potvrzením druhu a jakosti výztuže v desce stropu a přesným stanovením únosnosti stávajícího stropu. V případě nevyhovujícím požadavkům MSU budou přijata další opatření (doplnění výztuže např. uhlík lamelami nebo uložení VZT jednotek na roznášecí ocel. rošt atd.).

## 6.9. Posouzení nosné konstrukce průvlaku a sloupů

### 6.9.1. Model konstrukce.



Celá konstrukce průvlaku a sloupů nahrazuje vybourávanou střední zeď tl. 300mm která plní funkci střední podpory stávajícího žb. monolit. stropu/ploché střechy a i nové části stropu/ploché střechy z předpjatých panelů SPIROLL.

Konstrukce je rozdělena na jednotlivé trakty (vždy jeden průvlak) podporovaných sloupy.

Průvlaky jsou řešeny jako prosté nosníky vždy kloubově uloženy na sloupy, krajní průvlaky pak uloženy na zbytek stávající střední zdi tl. 300mm a na novou obvodovou zeď tl. 500mm.

### 6.9.2. Protokol o výpočtu

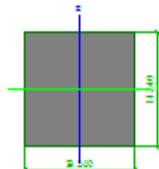
Počet 2D prvků	0
Počet 1D prvků	7
Počet uzlů sítě	8
Počet rovnic	48
Zatěžovací stavy	ZS 1 4.0_gk0
	ZS 2 4.1_gk1
	ZS 3 4.1_gk2
Spuštění výpočtu	13.4.2018 12:22
Konec výpočtu	13.4.2018 12:22

### 6.9.3. Materiály

Žb. prefa průvlak a sloupy z C30/37-XC1-S4

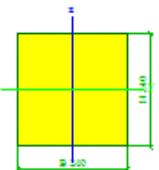
## 6.9.4. Průřezy

### Průvlak

	Jméno	PRVLK		
	Detailní	240; 240		
	Typ	RECT		
	Material	C30/37		
	Výroba	beton		
	Vzpěr y-y, z-z	b	b	
	Výpočet FEM	x		
	Obrázek			
	Material	C30/37		
	A [m 2]	5,76E-02		
	A y, z [m 2]	4,80E-02	4,80E-02	
	I y, z [m 4]	2,76E-04	2,76E-04	
	I t [m 4], w [m 6]	4,66E-04	0,00E+00	
	alfa [deg]	0		
	Wel y, z [m 3]	2,30E-03	2,30E-03	
	Wpl y, z [m 3]	3,46E-03	3,46E-03	
	c YLSS, ZLSS [mm]	120	120	
	d y, z [mm]	0	0	
	AL [m 2/m]	9,60E-01		

### Sloup

Group

	Jméno	SLP	
	Detailní	240; 240	
	Typ	RECT	
	Material	C30/37	
	Výroba	beton	
	Vzpěr y-y, z-z	b	b
	Výpočet FEM	x	
	Obrázek		
	Material	C30/37	
	A [m 2]	5,76E-02	
	A y, z [m 2]	4,80E-02	4,80E-02
	I y, z [m 4]	2,76E-04	2,76E-04
	I t [m 4], w [m 6]	4,66E-04	0,00E+00
	alfa [deg]	0	
	Wel y, z [m 3]	2,30E-03	2,30E-03
	Wpl y, z [m 3]	3,46E-03	3,46E-03
	c YLSS, ZLSS [mm]	120	120
	d y, z [mm]	0	0
	AL [m 2/m]	9,60E-01	

### 6.9.5. Zatěžovací stavy

Jméno	Popis	Typ působení	Skupina zatížení	Typ zatížení	Směr
4.0_gk0	vl. tíha	Stálé	stale	Vlastní tíha	-Z
4.1_gk1	ulož:žb. stropu	Stálé+proměnné	reakce od ulož. stropu	Standard	
4.1_gk2	ulož:SPIROLL. stropu	Stálé+proměnné	reakce od ulož. stropu	Standard	

### 6.9.6. Kombinace

uvažované kombinace KZS: pro mezní stavy únosnosti typu STR/GEO: (s vl. tíhou)  
obecná kombinace: varianta B

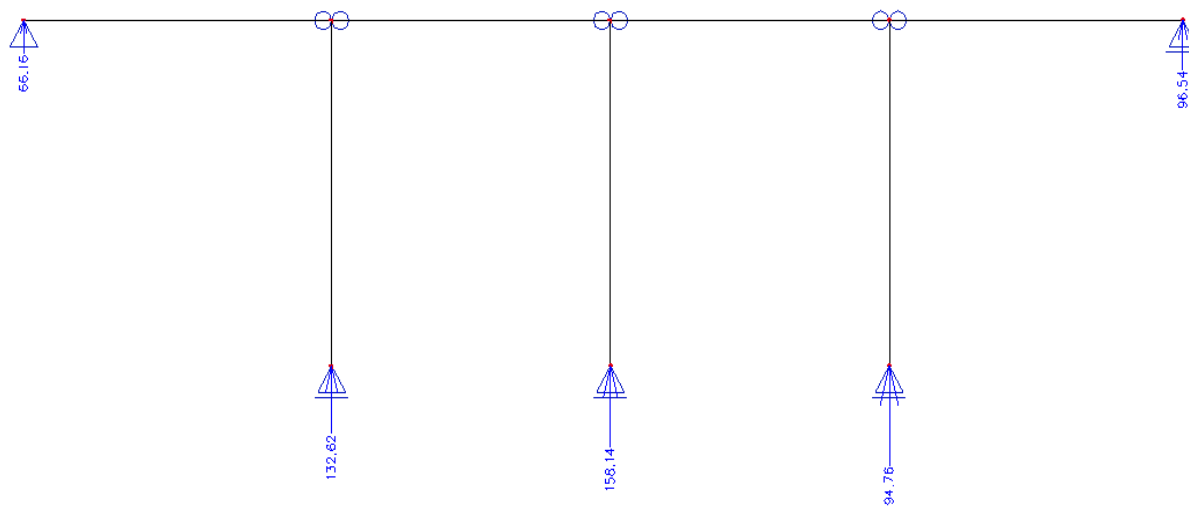
$$6.10 \sum \gamma_G G_k + \gamma_{Q,1} Q_{k,1,hlavni} + \sum_{i \geq 1} \psi_0 \gamma_{Q,i} Q_{k,i}$$

Jméno	Typ	Zatěžovací stavy	Souč. [1]
6.10	Obálka - únosnost	4.0_gk0 - vl. tíha	1,35
		4.1_gk1 - ulož:žb. stropu	1
		4.1_gk2 - ulož:SPIROLL. stropu	1

### 6.9.7. Reakce podpor

Lineární výpočet, Extrém : Globální

$R_z$  [kN]

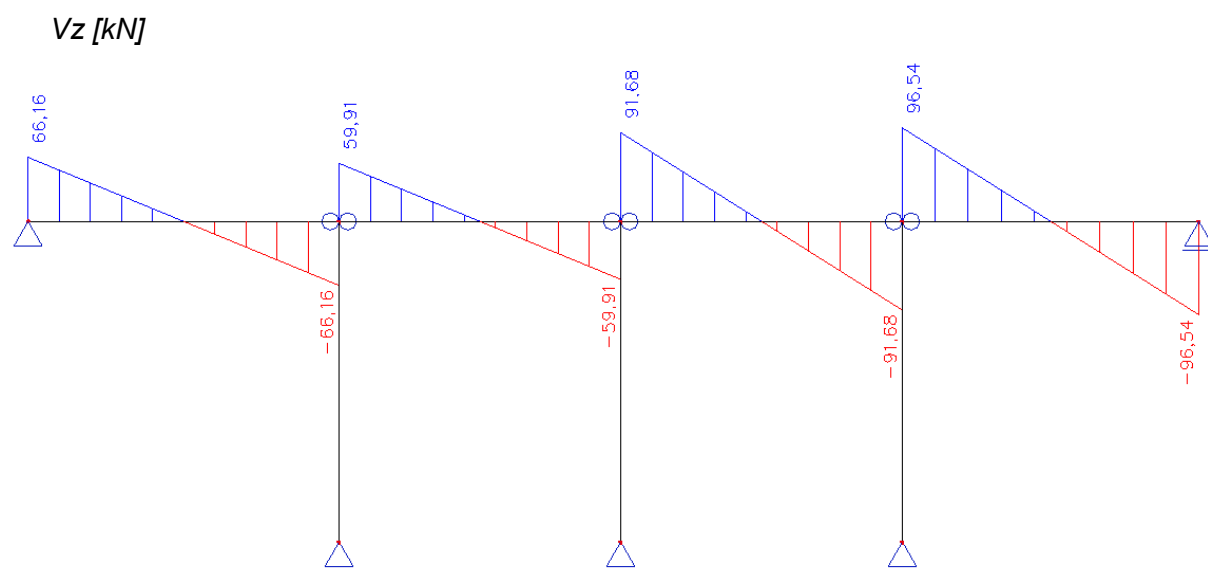
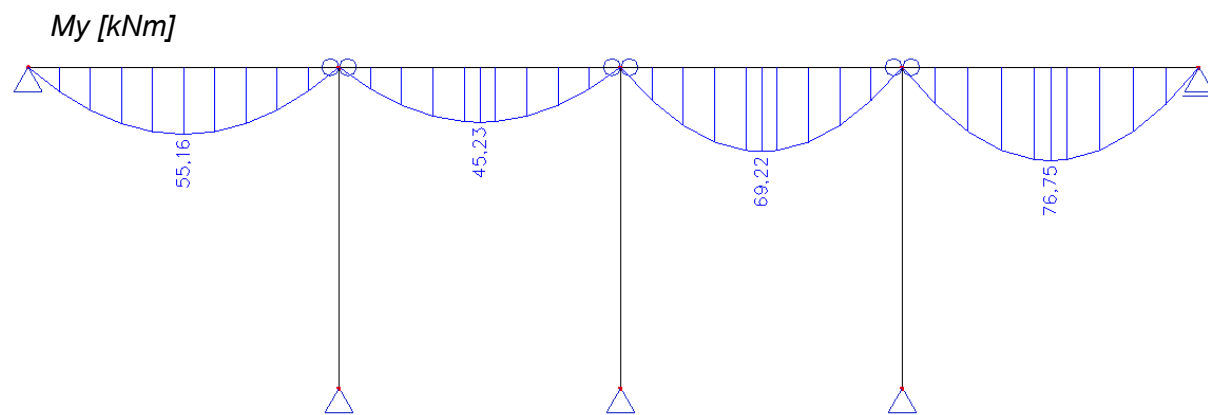


### 6.9.8. Analýza vnitřních sil, průhyby.

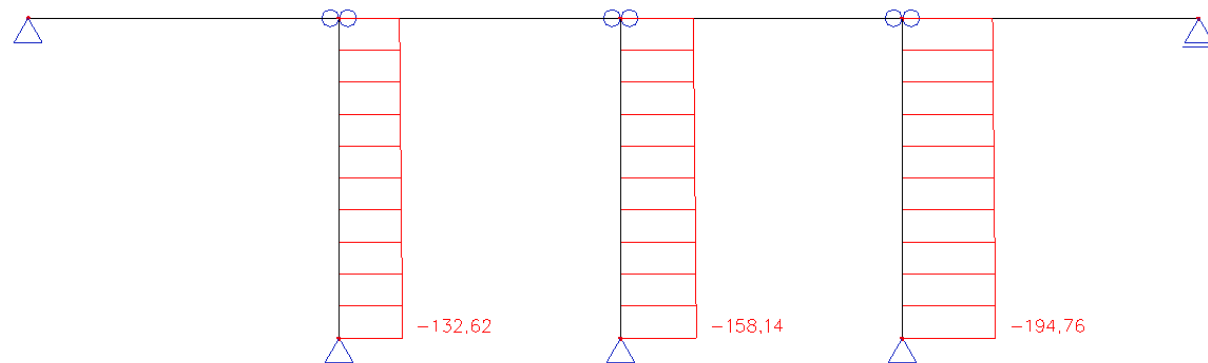
Vnitřní síly na prutu

Lineární výpočet, Extrém : Globální, Systém : Hlavní

průvlak:



sloup:





### 6.9.9. Posouzení

bet. třídy C30/37 =>  $f_{cd}=20,00$  MPa

$f_{ctm}=2,90$  MPa

$f_{ctk}=2,00$  MPa

dle ČSN EN 206-1 ve stupni vlivu prostředí XC1 (min.třída C25/30-splněno pro C30/37)  
konstrukční třída S4, min. krytí výztuže 10mm

-použitá norma pro návrh a posouzení konstrukce: ČSN EN 1992

#### Prefa.-průvlak 240x240

hd 240 mm  
krytí 20 mm  
min. krytí 10 mm  
bw 0,24 m  
beton  $F_{cd}$  20 MPa  
ocel  $f_{yk}$  434,78 MPa  
beton  $f_{ctm}$  2,9 MPa

MSU: ohyb. výztuž: 5ØR16

bod	návrh výz.		$A_{s,x}$ (m2)	profil	d	x			z	Mrd(KNm)		1Med1(KNm)	
	<b>5Ø16</b>		0,001005	16	227	0,114			0,181	<b>79,3001279</b>	>	<b>76,75</b>	<b>ano</b>
		$A_{s,min}$	8,216E-05										

€	€,bal		$\rho_{min}$		$\rho$		$\rho_{max}$	
0,501	<0,617	<b>ano</b>	0,0013	<	<b>0,0184</b>			
					<b>0,0168</b>	<	0,04	<b>ano</b>

MSU: smyk. výztuž: dvojstříh. třmínek 2ØR8

v 0,528													
bod	návrh únosnost tlak diag. VRD,max		VED,max		návrh výz. třm. <b>2Ø6</b>	max. vzdál. s (mm)	s (mm)	omezení stupně vyztužení					
	<b>158,6044726</b>	>	<b>96,54</b>	<b>ano</b>	0,000101	170	<b>150</b>	0,00280556	>	0,0008764	<b>ano</b>		
						400							
	smyk únosnost VRD,s		VED,max										
	<b>132,8244266</b>	>	<b>96,54</b>	<b>ano</b>									

MSP: ohyb. štíhlost

L= 3180 mm

ohyb. štíhlost l/d	$\lambda_{D,tab}$ $\rho$ 1,84 %		
<b>14,00881057</b>	<	<b>14</b>	<b>ano</b>

### Prefa.-sloup 240x240

MSU:tlak+prostý ohyb.

odhad vyztužení:

$$\frac{N_{Ed}}{b \times h \times f_{cd}} = \frac{194,76}{0,24 \times 0,24 \times (20,00 \times 10^3)} = 0,169m$$

$$\frac{M_{Ed}}{b \times h^2 \times f_{cd}} = 0,0m$$

$$\frac{d_1}{h} = \frac{d_2}{h} = \frac{0,015}{0,24} = 0,10m \rightarrow \omega = 0$$

$$\sum A_s = \frac{\omega \times b \times h \times f_{cd}}{f_{yd}} = 0 \times 10^{-6}$$

odhad výztuže:

výztuž: 8ØR10=>As1=As2= 628 × 10<sup>-6</sup> m<sup>2</sup>

$$\xi_{bal,1} = 0,617$$

$$\xi_{bal,2} = 2,641$$

účinná výška průřezu: d=240-20-(10/2)=215 mm  
d<sub>1</sub>= d<sub>2</sub>=25 mm

-kontrola stupně vyztužení

-tlačená výztuž

$$A_{s2,min} = \frac{0,05 \times N_{Ed}}{f_{yd}} = \frac{0,05 \times 194,76}{434,78 \times 10^3} = 22,39 \times 10^{-6} m^2 \leq A_{s2} = 628 \times 10^{-6} m^2$$

$$A_{s2,min} = 0,0014c = 0,001 \times (0,24 \times 0,24) = 57,6 \times 10^{-6} m^2 \leq A_{s2} = 628 \times 10^{-6} m^2$$

$$A_{s2,max} = 0,04Ac = 0,04 \times (0,24 \times 0,24) = 2304 \times 10^{-6} m^2 \geq A_{s2} = 628 \times 10^{-6} m^2$$

MSU:smyk

třmínky: 2ØR6 po 160mm =>Asw= 56,6 × 10<sup>-6</sup> m<sup>2</sup>

-kontrola vzdálenosti třmínků:

$$s=160 \text{ mm} \leq 0,75d = 0,75 \times 215 = 161 \text{ mm} \\ \leq 400 \text{ mm}$$

### Základy pod prefa sloupem:

Bet. základové pasy šířky 0,65 metru do hloubky 0,6 – 0,7 metru pod terén. Únosnost základové půdy určena na R<sub>d</sub>=360 KPa.

posouzení:

$$\sigma = \frac{Nd, \max}{A_{ef}} + m, \text{ zakladu} = \frac{194,76}{0,65 \times 1,0} + (0,65 \times 1,00 \times 0,7 \times 25 \times 1,35) = 314,98 \text{ KPa} \leq R_d = 360 \text{ KPa}$$

=> vyhovuje

## 6.10.Posouzení a výsledky výpočtu

Konstrukcí byly posouzeny na mezní stav únosnosti a mezní stav použitelnosti. Je konstatováno, že navržený statický a konstrukční model na dané zatížení vyhoví.

## 7. Závěr

Statický výpočet ověřil návrhové parametry jednotlivých hlavních konstrukčních prvků stavby. Realizace stavby, její provedení a následné užívání nebude mít negativní vliv na statiku navrženého objektu a nedojde k jeho poškození, zřícení ani nadměrné deformaci všech konstrukčních součástí nebo konstrukce jako celku. Vliv stavby z hlediska statiky navrhovaného objektu na okolní pozemky a stavby je zanedbatelný. Návrh konstrukce je proveden v souladu s platnými ČSN EN a právními předpisy.

V dalších stupních projektové dokumentace budou jak nosné konstrukce v tomto stat. výpočtu tak další nosné konstrukce podrobněji staticky posuzovány a dle jejich výstupů bude následně vypracována dodavatelská či dílenská projektová dokumentace.

**Tato dokumentace nenahrazuje výrobní ani dílenskou dokumentaci a ve vyšším stupni projektové dokumentace je nutno vyhotovit řádnou výrobní a dílenskou dokumentaci!**

V Praze, 04/2018